



TUGAS AKHIR – RC184803

**DESAIN MODIFIKASI GEDUNG APARTEMEN TOWER 2
THE ARUNDAYA SURABAYA DENGAN
MENGGUNAKAN METODE BETON PRACETAK DAN
DUAL SYSTEM SESUAI ACI 318M-14**

VINSON INTAR ZAKARIA
NRP. 03111540000057

Dosen Pembimbing
Prof. Tavio, S.T., M.T., Ph.D.
Dr. Ir. Djoko Irawan, M.S.

DEPARTEMEN TEKNIK SIPIL
Fakultas Teknik Sipil, Lingkungan, dan Kebumian
Institut Teknologi Sepuluh Nopember
Surabaya
2019



TUGAS AKHIR (RC184803)

**DESAIN MODIFIKASI GEDUNG APARTEMEN TOWER 2
THE ARUNDAYA SURABAYA DENGAN
MENGGUNAKAN METODE BETON PRACETAK DAN
DUAL SYSTEM SESUAI ACI 318M-14**

VINSON INTAR ZAKARIA
NRP. 03111540000057

Dosen Pembimbing I
Prof. Tavio, S.T., M.T., Ph.D.

Dosen Pembimbing II
Dr. Ir. Djoko Irawan, M.S.

DEPARTEMEN TEKNIK SIPIL
Fakultas Teknik Sipil, Lingkungan, dan Kebumian
Institut Teknologi Sepuluh Nopember
Surabaya
2019

“Halaman ini sengaja dikosongkan...”



FINAL PROJECT (RC184803)

**MODIFICATION DESIGN OF TOWER 2 THE ARUNDAYA
SURABAYA APARTMENT BUILDING USING PRECAST
CONCRETE METHOD AND DUAL SYSTEM AS STATED
IN ACI 318M-14**

VINSON INTAR ZAKARIA
NRP. 03111540000057

Academic Supervisor I
Prof. Tavio, S.T., M.T., Ph.D.

Academic Supervisor II
Dr. Ir. Djoko Irawan, M.S.

CIVIL ENGINEERING DEPARTMENT
Faculty of Civil Engineering, Environment and Potential
Sepuluh Nopember Institute of Technology
Surabaya
2019

“Halaman ini sengaja dikosongkan...”

**DESAIN MODIFIKASI GEDUNG APARTEMEN TOWER 2
THE ARUNDAYA SURABAYA DENGAN
MENGGUNAKAN METODE BETON PRACETAK DAN
DUAL SYSTEM SESUAI ACI 318M-14**

TUGAS AKHIR

Diajukan Untuk Memenuhi Salah Satu Syarat
Memperoleh Gelar Sarjana Teknik
pada
Bidang Studi Struktur
Program Studi S-1 Departemen Teknik Sipil
Fakultas Teknik Sipil, Lingkungan, dan Kebumian
Institut Teknologi Sepuluh Nopember

Oleh:

VINSON INTAR ZAKARIA
NRP. 03111540000057

Disetujui oleh Pembimbing Tugas Akhir

1. Prof. Tavio, S.T., M.T., Ph.D.

2. Dr. Ir. Djoko Irawan, M.S.

**SURABAYA
JANUARI 2019**

“Halaman ini sengaja dikosongkan...”

**DESAIN MODIFIKASI GEDUNG APARTEMEN TOWER 2
THE ARUNDAYA SURABAYA DENGAN
MENGGUNAKAN METODE BETON PRACETAK DAN
DUAL SYSTEM SESUAI ACI 318M-14**

Nama Mahasiswa : Vinson Intar Zakaria
NRP : 03111540000057
Departemen : Teknik Sipil FTSLK – ITS
Dosen Pembimbing : Prof. Tavio, S.T., M.T., Ph.D.
Dr. Ir. Djoko Irawan, M.S.

ABSTRAK

Pertumbuhan penduduk yang pesat di kota Surabaya turut mendorong kebutuhan lahan untuk tempat tinggal. Akan tetapi, dengan lahan yang semakin terbatas berdampak pada sulitnya para pengembang properti untuk menyediakan tempat tinggal yang layak huni. Konsep hunian vertikal merupakan solusi yang paling tepat untuk mengatasi permasalahan keterbatasan lahan dan kebutuhan rumah untuk tempat tinggal. Salah satu pengembang properti yang menggunakan konsep hunian vertikal adalah PT. Kopel Lahan Andalan (KOPELLAND) yang mendirikan apartemen The Arundaya Surabaya.

Dalam bidang teknik sipil, metode konstruksi gedung beton bertulang yang umum digunakan adalah beton konvensional (cast-in-situ) dan beton pracetak. Gedung Apartemen The Arundaya Surabaya terdiri atas 48 lantai dan 4 basement (1 semi basement dan 3 basement) yang pada kondisi sebenarnya dirancang dengan menggunakan metode beton konvensional (cast-in-situ). Metode konstruksi seperti ini akan membutuhkan waktu yang lama dalam pengerjaannya dan juga kualitas beton yang dihasilkan tidak menentu karena dipengaruhi oleh faktor cuaca dan kualitas sumber daya manusia. Maka dari itu, dalam tugas akhir ini akan dilakukan modifikasi desain menjadi 12 lantai dan 1 basement. Elemen struktur bangunan, yaitu pelat, balok, dan kolom akan dimodifikasi juga dengan menggunakan metode beton

pracetak. Sistem bangunan yang dipakai adalah sistem ganda (dual system).

Bagian sambungan merupakan hal yang terpenting dalam suatu struktur beton pracetak. Kinerja sambungan sangat berhubungan dengan keadaan batas struktural, proses produksi, ereksi, dan pemeliharaan struktur itu sendiri. Desain sambungan yang tepat merupakan kunci utama untuk keberhasilan prefabrikasi. Penulis menggunakan produk dari Peikko Group dan NMB Splice Sleeve untuk sambungannya.

Untuk melakukan analisa struktur dan desain bangunan, penulis menggunakan ETABS 2016 sebagai program bantu. Tujuan dari tugas akhir ini adalah menghasilkan bangunan struktur beton bertulang yang tahan gempa dengan metode beton pracetak untuk mempercepat waktu konstruksi. Beberapa peraturan dan referensi dalam mendesain beton pracetak antara lain ACI 318M-14, ASCE/SEI 7-16, PPIUG 1983, SNI 1726:2012, dan PCI Design Handbook Precast and Prestressed Concrete Sixth Edition.

Kata kunci: *Beton Pracetak, Beton Bertulang, Sistem Ganda, Sambungan Pracetak, Sambungan Basah, Sambungan Mekanis, Splice Sleeve Connection, Rebar Couplers.*

MODIFICATION DESIGN OF TOWER 2 THE ARUNDAYA SURABAYA APARTMENT BUILDING USING PRECAST CONCRETE METHOD AND DUAL SYSTEM AS STATED IN ACI 318M-14

Student Name : Vinson Intar Zakaria
Student ID : 03111540000057
Departement : Teknik Sipil FTSLK – ITS
Academic Supervisor : Prof. Tavio, S.T., M.T., Ph.D.
Dr. Ir. Djoko Irawan, M.S.

ABSTRACT

Rapid population growth in Surabaya influences the demand for residential area. However, the limited availability of residential area makes property developers barely able to provide decent homes standard. Vertical living is such an obvious solution to the challenge of housing growing and limited availability of residential area. One of the property developers who has applied this solution is PT. Kopel Lahan Andalan (KOPELLAND) that is currently building The Arundaya Surabaya Apartment.

In civil engineering, the commonly used construction methods for reinforced concrete building are conventional (cast-in-situ) concrete and precast concrete. The Arundaya Surabaya apartment has 48 floors and 4 basements (1 semi basement and 3 basements) and it is built using conventional method (cast-in-situ). Building using this method not only takes a significant amount of time but also causes uncertainty in concrete strength due to some factors, such as weather and human resources. In this final project, The Arundaya Surabaya Apartment will be modified to only have 12 floors and 1 basement. The structural elements of the building, specifically slab, beam and column, are also modified using precast concrete method. The system used in this building is dual system.

Connections are among the most essential parts in precast structures. Their performance relates to the structural limit states,

as well as to manufacture, erection and maintenance of the structure itself. Proper design of connections is one major key to a successful prefabrication. The writer uses products from Peikko Group and NMB Splice Sleeve for the connections. The analysis of connections is based on ACI 318M-14.

In order to get the structural analysis and design of the building, the writer uses ETABS 2016 as the engineering software. The objective of this final project is to produce an earthquake resistant reinforced concrete building using precast concrete method to save construction time. Some codes and references for designing precast concrete are ACI 318M-14, ASCE/SEI 7-16, PPIUG 1983, SNI 1726:2012 and PCI Design Handbook Precast and Prestressed Concrete Sixth Edition

Keywords: *Precast Concrete, Reinforced Concrete, Dual System, Precast Connections, Wet Connections, Mechanical Connections, Splice Sleeve Connections, Rebar Couplers.*

KATA PENGANTAR

Puji syukur kepada Tuhan Yang Maha Esa karena atas berkat dan rahmatNya penulis dapat menyelesaikan tugas akhir dengan baik dan sesuai waktu yang ditetapkan.

Tugas akhir ini berjudul “Desain Modifikasi Gedung Apartemen Tower 2 The Arundaya Surabaya dengan Menggunakan Metode Beton Pracetak dan *Dual System* Sesuai ACI 318M-14”. Dalam tugas akhir ini secara garis besar membahas tentang perencanaan elemen beton pracetak, yaitu pelat, balok, dan kolom serta sambungan yang digunakan dan elemen struktur lainnya.

Penulis mengucapkan terima kasih yang sebesar-besarnya kepada:

1. Bapak Prof. Tavio, S.T., M.T., Ph.D. selaku dosen pembimbing I tugas akhir yang telah memberikan banyak arahan serta bimbingan dalam penyusunan tugas akhir ini.
2. Bapak Dr. Ir. Djoko Irawan, M.S. selaku dosen pembimbing II tugas akhir yang telah memberikan banyak arahan serta bimbingan dalam penyusunan tugas akhir ini.
3. Ibu Endah Wahyuni, S.T., M.Sc., Ph.D. selaku dosen pengajar mata kuliah Teknik Penulisan Ilmiah yang telah memberikan banyak masukan serta koreksi dalam penyusunan tugas akhir ini.
4. Bapak Cahyono Bintang Nurcahyo, S.T., M.T. selaku dosen wali yang selalu memberikan *support* dan arahan kepada penulis.
5. Bapak Tri Joko Wahyu Adi, S.T., M.T. Ph.D. selaku ketua Departemen Teknik Sipil FTSLK – ITS.
6. Bapak dan Ibu dosen serta staf pengajar Departemen Teknik Sipil FTSLK – ITS.
7. Rekan-rekan mahasiswa serta semua pihak yang telah membantu penyusunan tugas akhir ini.

Penulis juga menyadari bahwa tugas akhir ini masih jauh dari kesempurnaan. Oleh sebab itu, kritik dan saran yang bersifat membangun sangat penulis harapkan demi perkembangan positif bagi penulis.

Demikian tugas akhir ini penulis susun, semoga dapat memberikan manfaat bagi pembaca, penulis, dan semua pihak yang terkait.

Surabaya, Januari 2019

Penulis

DAFTAR ISI

| | |
|--|------|
| HALAMAN JUDUL | i |
| TITLE PAGE | iii |
| LEMBAR PENGESAHAN | v |
| ABSTRAK | vii |
| ABSTRACT | ix |
| KATA PENGANTAR | xi |
| DAFTAR ISI | xiii |
| DAFTAR GAMBAR | xvii |
| DAFTAR TABEL | xxi |
| BAB I PENDAHULUAN | 1 |
| 1.1 Latar Belakang Masalah | 1 |
| 1.2 Rumusan Masalah..... | 4 |
| 1.3 Batasan Masalah | 4 |
| 1.4 Tujuan..... | 5 |
| 1.5 Manfaat..... | 5 |
| BAB II TINJAUAN PUSTAKA | 7 |
| 2.1 Umum..... | 7 |
| 2.2 Beton Pracetak..... | 7 |
| 2.3 Sistem Struktur Gedung | 9 |
| 2.4 Konstruksi Tahan Gempa..... | 11 |
| 2.5 Elemen Struktur Beton Pracetak | 11 |
| 2.5.1 Pelat Pracetak | 11 |
| 2.5.2 Balok Pracetak..... | 13 |
| 2.5.3 Kolom Pracetak | 15 |
| 2.6 Dinding Geser (<i>Shear Wall</i>)..... | 15 |
| 2.7 Sambungan Beton Pracetak..... | 16 |
| 2.7.1 Sambungan Kering dengan Menggunakan Baut..... | 17 |
| 2.7.2 Sambungan Kering dengan Menggunakan Las..... | 17 |
| 2.7.3 Sambungan Basah dengan Cor di Tempat | 18 |
| 2.8 Pengangkatan dan Metode Ereksi Beton Pracetak ... | 19 |
| 2.8.1 Pengangkatan Elemen Beton Pracetak | 19 |

| | |
|---|-----------|
| 2.8.2 Metode Ereksi Beton Pracetak | 21 |
| 2.9 Basement | 22 |
| 2.9.1 <i>Sheet Pile Wall</i> | 23 |
| 2.9.2 <i>Soldier Pile Wall</i> | 24 |
| 2.9.3 <i>Contiguous Bored Pile Wall</i> | 24 |
| 2.9.4 <i>Secant Pile Wall</i> | 24 |
| 2.9.5 <i>Diaphragm Wall</i> | 25 |
| 2.10 Pondasi | 25 |
| 2.10.1 Pondasi Dangkal..... | 25 |
| 2.10.2 Pondasi Dalam..... | 27 |
| BAB III METODOLOGI | 29 |
| 3.1 Umum..... | 29 |
| 3.2 Bagan Alir Perencanaan | 29 |
| 3.3 Pengumpulan Data | 31 |
| 3.3.1 Data Awal..... | 31 |
| 3.3.2 Data Modifikasi..... | 32 |
| 3.4 Studi Literatur | 32 |
| 3.5 <i>Preliminary Design</i> | 33 |
| 3.5.1 Perencanaan Dimensi Pelat | 33 |
| 3.5.2 Perencanaan Dimensi Balok..... | 35 |
| 3.5.3 Perencanaan Dimensi Kolom | 35 |
| 3.6 Permodelan dan Pembebanan dengan Analisa Struktur | 36 |
| 3.6.1 Penggunaan Analisa Struktur | 36 |
| 3.6.2 Perhitungan Gaya Dalam | 36 |
| 3.6.3 Kontrol Permodelan Struktur | 36 |
| 3.7 Pembebanan | 39 |
| 3.7.1 Beban Statis..... | 40 |
| 3.7.2 Beban Dinamis | 41 |
| 3.7.3 Kombinasi Pembebanan | 43 |
| 3.8 Perencanaan Struktur Sekunder..... | 43 |
| 3.8.1 Perencanaan Balok Anak..... | 43 |
| 3.8.2 Perencanaan Tangga..... | 44 |
| 3.9 Perencanaan Struktur Primer..... | 44 |
| 3.9.1 Penulangan Balok..... | 44 |

| | |
|--|-----|
| 3.9.2 Penulangan Kolom | 49 |
| 3.9.3 Penulangan Dinding Geser..... | 51 |
| 3.9.4 Penulangan Pelat | 53 |
| 3.10 Perencanaan Sambungan..... | 56 |
| 3.10.1 Sambungan <i>Base Plate</i> – Kolom / Kolom – Kolom | 58 |
| 3.10.2 Sambungan Balok – Kolom | 59 |
| 3.10.3 Sambungan Balok Induk – Balok Anak. | 61 |
| 3.10.4 Sambungan Balok – Pelat | 61 |
| 3.11 Perencanaan <i>Basement</i> | 62 |
| 3.12 Perencanaan Pondasi | 63 |
| 3.12.1 Daya Dukung Tiang Pancang Vertikal... | 63 |
| 3.12.2 Perhitungan Jumlah Tiang Pancang | 63 |
| 3.13 Gambar Teknik..... | 64 |
| BAB IV PEMBAHASAN | 65 |
| 4.1 <i>Preliminary Design</i> | 65 |
| 4.1.1 Perencanaan Dimensi Balok..... | 65 |
| 4.1.2 Perencanaan Dimensi Pelat | 67 |
| 4.1.3 Perencanaan Dimensi Kolom | 69 |
| 4.1.4 Perencanaan Dimensi Dinding Geser..... | 76 |
| 4.2 Pembebaan dan Analisa Struktur | 77 |
| 4.2.1 Umum..... | 77 |
| 4.2.2 Permodelan Struktur..... | 77 |
| 4.2.3 Pembebaan Gravitasi..... | 78 |
| 4.2.4 Pembebaan Gempa Dinamis | 86 |
| 4.3 Struktur Sekunder | 97 |
| 4.3.1 Umum..... | 97 |
| 4.3.2 Perencanaan Tangga..... | 98 |
| 4.3.3 Perencanaan Pelat Lantai dan Pelat Atap | 109 |
| 4.3.4 Perencanaan Balok Anak..... | 126 |
| 4.3.5 Gaya <i>Uplift</i> untuk Pelat <i>Basement</i> | 145 |
| 4.4 Struktur Primer | 146 |
| 4.4.1 Umum..... | 146 |
| 4.4.2 Perencanaan Balok Induk..... | 146 |
| 4.4.3 Perencanaan Kolom..... | 179 |

| | |
|--|-----|
| 4.4.4 Perencanaan <i>Shear Wall</i> | 188 |
| 4.5 Perencanaan Sambungan Elemen Pracetak | 194 |
| 4.5.1 Umum..... | 194 |
| 4.5.2 Konsep Desain Sambungan..... | 194 |
| 4.5.3 Perencanaan Konsol pada Elemen Pracetak | 195 |
| 4.5.4 Perencanaan Sambungan Balok – Kolom | 201 |
| 4.5.5 Perencanaan Sambungan Balok Anak – Balok Induk | 208 |
| 4.5.6 Perencanaan Sambungan Balok – Pelat . | 212 |
| 4.5.7 Perencanaan Sambungan Kolom – Kolom | 213 |
| 4.6 Perencanaan Pondasi..... | 215 |
| 4.6.1 Umum..... | 215 |
| 4.6.2 Beban Struktur..... | 215 |
| 4.6.3 Spesifikasi Tiang Pancang | 216 |
| 4.6.4 Data Tanah | 217 |
| 4.6.5 Daya Dukung Pondasi..... | 217 |
| 4.6.6 Perencanaan Poer pada Kolom..... | 227 |
| 4.6.7 Perencanaan Sloof | 234 |
| BAB V PENUTUP..... | 237 |
| 5.1 Kesimpulan..... | 237 |
| 5.2 Saran..... | 239 |
| DAFTAR PUSTAKA..... | 241 |
| LAMPIRAN | 247 |

DAFTAR GAMBAR

| | |
|--|----|
| Gambar 2.1 Filosofi Bangunan Tahan Gempa | 11 |
| Gambar 2.2 <i>Hollow Core Slab</i> | 12 |
| Gambar 2.3 <i>Solid Flat Slab</i> | 12 |
| Gambar 2.4 Pelat Pracetak <i>Single Tee</i> | 13 |
| Gambar 2.5 Pelat Pracetak <i>Double Tees</i> | 13 |
| Gambar 2.6 <i>Rectangular Beam</i> | 14 |
| Gambar 2.7 <i>L-Shaped Beam</i> | 14 |
| Gambar 2.8 <i>Inverted Tee Beam</i> | 14 |
| Gambar 2.9 (a) <i>Single Storey</i> dan (b) <i>Multi Storey Column</i> | 15 |
| Gambar 2.10 Sambungan Menggunakan Baut..... | 17 |
| Gambar 2.11 Sambungan Menggunakan Las..... | 18 |
| Gambar 2.12 Sambungan Balok – Kolom dengan Cor di Tempat | 18 |
| Gambar 2.13 Empat Titik Angkat pada Pelat Pracetak | 19 |
| Gambar 2.14 Delapan Titik Angkat pada Pelat Pracetak | 20 |
| Gambar 2.15 Pengangkatan Balok Pracetak | 20 |
| Gambar 2.16 Pengangkatan pada Elemen Kolom..... | 21 |
| Gambar 2.17 Metode Ereksi Arah Vertikal..... | 22 |
| Gambar 2.18 Metode Ereksi Arah Horizontal..... | 22 |
| Gambar 2.19 <i>Sheet Pile Wall</i> | 23 |
| Gambar 2.20 <i>Soldier Pile Wall</i> | 24 |
| Gambar 2.21 <i>Contiguous Bored Pile Wall</i> | 24 |
| Gambar 2.22 <i>Secant Pile Wall</i> | 24 |
| Gambar 2.23 <i>Diaphragm Wall</i> | 25 |
| Gambar 2.24 Pondasi Telapak..... | 26 |
| Gambar 2.25 Pondasi Rakit..... | 26 |
| Gambar 2.26 Pondasi Batu Kali | 27 |
| Gambar 2.27 Pondasi Sumuran | 28 |
| Gambar 2.28 Pondasi Tiang | 28 |
| Gambar 3.1 Bagan Alir Penyelesaian Tugas Akhir..... | 31 |
| Gambar 3.2 Penentuan Simpangan Antar Lantai | 39 |
| Gambar 3.3 Pengangkatan Balok Pracetak | 48 |
| Gambar 3.4 Bidang Momen Balok Pracetak Saat Pengangkatan | 49 |

| | |
|---|-----|
| Gambar 3.5 Posisi Titik Angkat Pelat (4 Buah Titik Angkat)..... | 55 |
| Gambar 3.6 Posisi Titik Angkat Pelat (8 Buah Titik Angkat)..... | 56 |
| Gambar 3.7 Peikko Coupler | 56 |
| Gambar 3.8 NMB Splice Sleeve | 57 |
| Gambar 3.9 Sambungan Tipe 1 | 57 |
| Gambar 3.10 Sambungan Tipe 2 | 58 |
| Gambar 3.11 Pemasangan Sambungan Kolom | 59 |
| Gambar 3.12 Detail Penulangan Balok – Kolom | 60 |
| Gambar 3.13 Parameter Geometri Konsol Pendek..... | 60 |
| Gambar 3.14 Sambungan Balok Induk – Balok Anak | 61 |
| Gambar 3.15 Sambungan Balok – Pelat..... | 62 |
| Gambar 4.1 Denah Balok Rencana | 67 |
| Gambar 4.2 Denah Pelat Rencana | 68 |
| Gambar 4.3 Kolom Tinjau Desain Awal..... | 70 |
| Gambar 4.4 Permodelan Struktur pada ETABS | 78 |
| Gambar 4.5 Grafik Spektrum Respons Desain..... | 88 |
| Gambar 4.6 Denah Tangga..... | 99 |
| Gambar 4.7 Potongan A-A Tangga | 99 |
| Gambar 4.8 Beban pada Tangga | 101 |
| Gambar 4.9 Gaya Dalam Bidang N, D, dan M | 103 |
| Gambar 4.10 Pelat Lantai Tinjau | 110 |
| Gambar 4.11 Potongan Pelat S2 Setelah Komposit | 111 |
| Gambar 4.12 Potongan Pelat S2 Sebelum Komposit | 114 |
| Gambar 4.13 Potongan Pelat S2 Saat Pengangkatan..... | 116 |
| Gambar 4.14 Momen Saat Pengangkatan 4 Titik..... | 117 |
| Gambar 4.15 Jenka PSA Short Inserts | 121 |
| Gambar 4.16 Kait JL | 121 |
| Gambar 4.17 Denah Balok Anak | 127 |
| Gambar 4.18 Distribusi Beban Pelat pada Balok Anak | 127 |
| Gambar 4.19 Titik Angkat Balok Anak | 139 |
| Gambar 4.20 Jenka PSA Short Inserts | 144 |
| Gambar 4.21 Kait JL | 144 |
| Gambar 4.22 Denah Balok Induk..... | 147 |
| Gambar 4.23 Distribusi Beban pada Balok Induk..... | 148 |
| Gambar 4.24 Kombinasi Beban | 148 |

| | |
|---|-----|
| Gambar 4.25 Titik Angkat Balok Induk..... | 173 |
| Gambar 4.26 Jenka PSA Short Inserts | 178 |
| Gambar 4.27 Kait JL | 178 |
| Gambar 4.28 Denah Kolom..... | 179 |
| Gambar 4.29 Diagram Interaksi Gaya Aksial dan Momen | 182 |
| Gambar 4.30 Jenka PSA Short Inserts | 187 |
| Gambar 4.31 Kait JL | 188 |
| Gambar 4.32 Lokasi <i>Shear Wall</i> | 189 |
| Gambar 4.33 Diagram Interaksi <i>Shear Wall</i> | 193 |
| Gambar 4.34 Detail Sambungan Balok – Kolom..... | 195 |
| Gambar 4.35 Detail Sambungan Kolom – Pondasi..... | 195 |
| Gambar 4.36 Detail Penulangan Konsol Pendek | 196 |
| Gambar 4.37 Ilustrasi Sambungan Kolom – Kolom | 214 |
| Gambar 4.38 Grafik Daya Dukung Tanah | 220 |
| Gambar 4.39 Tiang Pancang Grup 1 | 222 |
| Gambar 4.40 Tiang Pancang Grup 2 | 223 |
| Gambar 4.41 Tiang Pancang Grup 3 | 224 |
| Gambar 4.42 Defleksi Akibat Gaya Lateral Tiang..... | 224 |
| Gambar 4.43 Pembebanan Poer Tipe 1 | 230 |
| Gambar 4.44 Pembebanan Poer Tipe 1 | 232 |
| Gambar 4.45 Diagram Interaksi P-M Sloof | 235 |

“Halaman ini sengaja dikosongkan...”

DAFTAR TABEL

| | |
|--|----|
| Tabel 2.1 Kelebihan dan Kelemahan Beton Pracetak | 7 |
| Tabel 3.1 Tinggi Minimum Pelat Non Prategang Satu Arah | 33 |
| Tabel 3.2 Tinggi Minimum Balok..... | 35 |
| Tabel 3.3 Koefisien C_u | 37 |
| Tabel 3.4 Koefisien C_t dan x | 37 |
| Tabel 3.5 Simpangan Ijin Struktur | 38 |
| Tabel 3.6 Jenis dan Besar Beban Mati | 40 |
| Tabel 3.7 Jenis Beban dan Besar Beban Hidup..... | 41 |
| Tabel 3.8 Nilai β_1 | 44 |
| Tabel 3.9 Angka Pengali Beban Statis Ekivalen untuk Menghitung Gaya Pengangkatan dan Gaya Dinamis | 49 |
| Tabel 3.10 Penulangan Minimum untk Dinding Dalam Bidang $Vu \leq 0,5 \phi Vc$ | 52 |
| Tabel 3.11 Nilai Vc untuk <i>Two-Way Shear</i> | 64 |
| Tabel 4.1 Rekapitulasi Perhitungan Dimensi Balok Induk | 66 |
| Tabel 4.2 Rekapitulasi Perhitungan Dimensi Balok Anak..... | 67 |
| Tabel 4.3 Rekapitulasi Tebal Pelat Lantai dan Atap | 69 |
| Tabel 4.4 Beban yang diterima Kolom untuk Lt. 6 – Lt. 12 | 71 |
| Tabel 4.5 Beban yang diterima Kolom untuk Lt. 1 – Lt. 5 | 73 |
| Tabel 4.6 Rekapitulasi Pembebanan..... | 80 |
| Tabel 4.7 Hasil Pembebanan pada ETABS | 85 |
| Tabel 4.8 Kontrol Pembebanan Gravitasi | 85 |
| Tabel 4.9 Nilai Periode Fundamental (T) dan Percepatan Respons Spektrum | 87 |
| Tabel 4.10 Nilai Parameter Perioda Pendekatan C_t dan x | 88 |
| Tabel 4.11 Koefisien Batas Atas Perioda | 89 |
| Tabel 4.12 Periode Fundamental | 90 |
| Tabel 4.13 Berat Seismik Bangunan | 91 |
| Tabel 4.14 Gaya Geser Dinamik | 92 |
| Tabel 4.15 Rekapitulasi Gaya Geser Statik - Dinamik..... | 92 |
| Tabel 4.16 Gaya Geser Dinamik Setelah Faktor Skala | 93 |
| Tabel 4.17 Rekapitulasi Gaya Geser Statik - Dinamik Setelah Koreksi Faktor Skala..... | 93 |

| | |
|--|-----|
| Tabel 4.18 Kontrol Sistem Ganda | 93 |
| Tabel 4.19 Total Partisipasi Massa..... | 94 |
| Tabel 4.20 Simpangan Antar Tingkat Ijin X | 95 |
| Tabel 4.21 Simpangan Antar Tingkat Ijin Y | 95 |
| Tabel 4.22 Kontrol Eksentrisitas Aktual | 97 |
| Tabel 4.23 Perhitungan Eksentrisitas Rencana Tiap Lantai | 97 |
| Tabel 4.24 Rekapitulasi Penulangan Tangga | 108 |
| Tabel 4.25 Rekapitulasi Tulangan Pelat..... | 125 |
| Tabel 4.26 Rekapitulasi Tulangan Balok Anak..... | 145 |
| Tabel 4.27 Rekapitulasi Tulangan Pelat <i>Basement</i> | 146 |
| Tabel 4.28 Perhitungan M_{pr} Balok Induk | 161 |
| Tabel 4.29 Rekapitulasi Tulangan Balok Induk (1) | 178 |
| Tabel 4.30 Rekapitulasi Tulangan Balok Induk (2) | 179 |
| Tabel 4.31 Gaya Aksial dan Momen K1 | 180 |
| Tabel 4.32 Rekapitulasi Tulangan Kolom..... | 188 |
| Tabel 4.33 Rekapitulasi Tulangan Konsol Pendek..... | 200 |
| Tabel 4.34 Rekapitulasi <i>Single-Sided Connection</i> | 205 |
| Tabel 4.35 Rekapitulasi <i>Double-Sided Connection</i> (1) | 206 |
| Tabel 4.36 Rekapitulasi <i>Double-Sided Connection</i> (2)..... | 207 |
| Tabel 4.37 Rekapitulasi <i>Single-Sided Connection</i> | 211 |
| Tabel 4.38 Rekapitulasi <i>Double-Sided Connection</i> | 211 |
| Tabel 4.39 Beban pada Kolom | 216 |
| Tabel 4.40 Hasil Perhitungan Daya Dukung Tanah | 219 |
| Tabel 4.41 Kontrol Beban Maksimum Tiang Pancang Grup 1 ..223 | 223 |
| Tabel 4.42 Kontrol Beban Maksimum Tiang Pancang Grup 2 ..223 | 223 |
| Tabel 4.43 Kontrol Beban Maksimum Tiang Pancang Grup 3 ..224 | 224 |
| Tabel 4.44 Kontrol Kekuatan Tiang Tipe 1 Terhadap Gaya Lateral | 226 |
| Tabel 4.45 Kontrol Kekuatan Tiang Tipe 2 Terhadap Gaya Lateral | 227 |
| Tabel 4.46 Kontrol Kekuatan Tiang Tipe 3 Terhadap Gaya Lateral | 227 |
| Tabel 5.1 Dimensi Struktur Sekunder | 237 |
| Tabel 5.2 Dimensi Struktur Primer dan Pondasi | 237 |

BAB I

PENDAHULUAN

1.1 Latar Belakang Masalah

Kota Surabaya merupakan kota terbesar kedua di Indonesia. Sebagai salah satu kota besar di Indonesia, pertumbuhan penduduk yang terjadi tergolong pesat. Berdasarkan data Dinas Kependudukan dan Catatan Sipil kota Surabaya, jumlah penduduk kota Surabaya hingga akhir Agustus 2017 mencapai 3.057.766 jiwa. Sementara itu, angka laju pertumbuhan penduduk di kota Surabaya menunjukkan angka rata-rata sebesar 0,55% tiap tahunnya. Dengan jumlah penduduk yang terus bertambah secara konstan tiap tahunnya, maka kebutuhan akan tempat tinggal juga semakin meningkat.

Kebutuhan tanah untuk tempat tinggal penduduk di kota Surabaya semakin hari semakin meningkat. Padahal, ketersediaan lahan untuk dijadikan sebagai tempat tinggal sangat terbatas dan tidak dapat bertambah. Kota Surabaya sendiri memiliki luas wilayah kota sebesar 374,8 km² sehingga menjadikan kota ini memiliki kepadatan penduduk sebesar 8.158 jiwa tiap km². Keterbatasan lahan dan permintaan lahan yang tinggi dari masyarakat inilah yang mengakibatkan harga tanah terus meningkat dan di beberapa wilayah mengalami lonjakan harga yang cukup signifikan. Apabila hal ini dibiarkan terus berlanjut dan tidak dilakukan kontrol yang baik, maka dapat menciptakan suatu keadaan lingkungan dan tatanan kota yang kurang rapi sehingga tatanan kota menjadi kurang sedap untuk dipandang. Kurang rapinya tatanan kota ini sendiri ditimbulkan karena banyak *developer* properti yang memaksakan lahan yang semestinya digunakan sebagai area hijau kota melainkan malah dipaksakan untuk digunakan sebagai tempat tinggal.

Oleh karena itu, apartemen hadir memberikan solusi untuk permasalahan keterbatasan lahan yang mulai terjadi di kota Surabaya. Konsep dasar yang dimiliki apartemen ialah hunian vertikal. Hunian vertikal memiliki perbandingan jumlah penduduk

yang menempati suatu lahan yang lebih tinggi dibandingkan dengan hunian pada umumnya seperti perumahan. Dengan konsep hunian vertikal ini, kebutuhan lahan untuk tempat tinggal yang terus meningkat setiap tahunnya dan keterbatasan lahan tidak lagi menjadi masalah. Efektivitas yang tinggi dalam mengatasi permasalahan kebutuhan tempat tinggal seiring dengan keterbatasan lahan di kota Surabaya inilah yang membuat permintaan apartemen di kota Surabaya meningkat.

Seiring dengan meningkatnya permintaan apartemen, maka muncul pula tuntutan pekerjaan konstruksi apartemen yang cepat dan efisien. Kebutuhan akan bangunan bertingkat mendorong timbulnya kebutuhan akan suatu rancangan struktur yang ekonomis, dapat dilaksanakan dengan cepat dan efisien tanpa mengurangi kekakuan antar komponen struktur bangunan (Tjahjono dan Purnomo, 2004). Dalam penerapannya, metode konstruksi yang umum digunakan pada bangunan struktur beton bertulang ada dua, yaitu cor di tempat (beton konvensional) dan pracetak. Pada beton konvensional, elemen struktur dicor langsung di lokasi dimana elemen tersebut akan diletakkan. Sedangkan pada beton pracetak elemen struktur dicor dahulu dipabrik dan kemudian dirakit di lokasi proyek.

Sehubungan dengan hal tersebut, metode beton pracetak merupakan alternatif yang dinilai tepat untuk diterapkan karena memiliki beberapa keunggulan. Beberapa keunggulan dari beton pracetak antara lain ialah kecepatan dalam proses pelaksanaan pembangunan proyek sehingga durasi proyek secara keseluruhan menjadi lebih pendek, tidak memerlukan jumlah pekerja yang banyak karena beton telah dicetak dipabrik terlebih dahulu, kualitas beton yang dihasilkan tinggi dan sesuai dengan mutu rencana karena dalam pembuatannya tidak dipengaruhi oleh faktor cuaca, memiliki dampak positif terhadap *scheduling* proyek terutama kemudahan dalam pengawasan dan pengendalian biaya serta jadwal pengerjaan, tercapainya tingkat fleksibilitas dalam proses perancangan, pekerjaan di lokasi proyek menjadi lebih sederhana, kontinuitas proses konstruksi dapat terjaga sehingga

perencanaan kegiatan dapat lebih akurat, dan tidak membutuhkan tempat penyimpanan material terlalu luas (Ervianto, 2006). Selain itu, pekerjaan konstruksi dengan metode pracetak juga dapat meningkatkan efisiensi energi serta mendukung pelestarian lingkungan karena *waste material* yang dihasilkan dari metode pracetak lebih sedikit dibandingkan dengan metode beton konvensional atau yang biasa dikenal dengan beton cor di tempat (Adiasa, 2015).

Indonesia merupakan daerah rawan gempa bumi, begitu juga dengan kota Surabaya. Dalam Kategori Desain Seismik (KDS), kota Surabaya termasuk ke dalam kategori D. Oleh karena itu, dalam perencanaan metode beton pracetak ini akan digunakan perkuatan dinding geser (*shear wall*). Dinding geser (*shear wall*) merupakan dinding yang berfungsi sebagai pengaku yang menerus sampai ke pondasi dan juga merupakan dinding inti untuk memperkuat seluruh bangunan yang dirancang untuk menahan gaya geser, gaya lateral akibat gempa bumi. Hal penting lainnya yang perlu diperhatikan dalam metode beton pracetak adalah cara penyambungan. Sambungan merupakan elemen sangat penting dalam desain struktur bangunan tahan gempa. Keruntuhan bangunan akibat gempa ditentukan oleh kualitas sambungannya. Agar bangunan memiliki performa baik saat menerima beban gempa, maka harus dipenuhi syarat sambungan balok – kolom (Indrayana, 2013). Pada metode beton konvensional, sistem sambungan yang direncanakan ialah kuat dan kaku. Namun, secara natural pada metode beton pracetak sistem sambungan yang dihasilkan tidak akan sekaku dan setegar sistem sambungan pada beton konvensional. Oleh karena itu, masalah sambungan pada beton pracetak perlu perhatian khusus, terutama apartemen ini berada di kota Surabaya dengan Kategori Desain Seismik termasuk kedalam kategori D.

Tugas akhir ini membahas tentang modifikasi pembangunan gedung Apartemen Tower 2 The Arundaya Surabaya dengan menggunakan metode beton pracetak dengan sistem bangunan *dual system* (Struktur Rangka Pemikul Momen

dan Sistem Dinding Struktural). Jenis sambungan yang dipakai dalam perencanaan gedung apartemen ini adalah sambungan mekanis dan mengacu pada peraturan ACI 318M-14.

1.2 Rumusan Masalah

Berdasarkan uraian latar belakang diatas, maka dapat disimpulkan beberapa rumusan masalah, antara lain:

1. Bagaimana menentukan *preliminary design* struktur primer dan struktur sekunder yang sesuai dengan hasil perencanaan?
2. Bagaimana perhitungan pembebanan setelah perencanaan struktur?
3. Bagaimana melakukan analisa permodelan struktur dengan menggunakan *software* ETABS 2016?
4. Bagaimana penulangan elemen struktur yang efektif dan efisien untuk menahan beban-beban yang bekerja?
5. Bagaimana merencanakan sambungan antar elemen struktur pracetak?
6. Bagaimana membuat gambar teknik dari hasil analisa perhitungan dan perencanaan?

1.3 Batasan Masalah

Pada tugas akhir ini, permasalahan dibatasi pada pokok-pokok pembahasan sebagai berikut:

1. Perencanaan elemen struktur pracetak hanya pada kolom, balok, dan pelat (kecuali pelat *basement*, *pile cap*, dan *shear wall*).
2. Melakukan perencanaan pondasi dan *basement*.
3. Tidak menghitung dinding penahan tanah pada struktur *basement*.
4. Tidak melakukan analisa waktu dan biaya pelaksanaan konstruksi

5. Tidak merencanakan sistem utilitas bangunan, saluran pembuangan, saluran air bersih, jaringan listrik, dan *finishing*.

1.4 Tujuan

Tujuan dari tugas akhir ini antara lain sebagai berikut:

1. Menentukan *preliminary design* struktur primer dan struktur sekunder yang sesuai dengan hasil modifikasi.
2. Menghitung pembebanan setelah perencanaan struktur.
3. Melakukan analisa permodelan struktur dengan menggunakan *software* ETABS 2016.
4. Merencanakan penulangan elemen struktur yang efektif dan efisien untuk menahan beban-beban yang bekerja.
5. Merencanakan sambungan antar elemen struktur pracetak.
6. Membuat gambar teknik dari hasil analisa perhitungan dan perencanaan.

1.5 Manfaat

Manfaat dari penulisan tugas akhir ini antara lain sebagai berikut:

1. Memahami perancangan pada struktur gedung bertingkat dengan metode pracetak.
2. Menjadi referensi bagi para pembaca tentang pembangunan dengan metode beton pracetak dalam semua komponen struktur serta sambungannya.
3. Menambah wawasan pengetahuan penulis tentang beton pracetak sehingga bermanfaat pada masa mendatang ketika memasuki dunia kerja.

“Halaman ini sengaja dikosongkan...”

BAB II

TINJAUAN PUSTAKA

2.1 Umum

Pada tinjauan pustaka ini akan dibahas berbagai dasar teori yang berkaitan dengan perencanaan gedung Apartemen Tower 2 The Arundaya Surabaya dengan sistem pracetak.

2.2 Beton Pracetak

Pada dasarnya, beton pracetak tidak jauh berbeda dengan beton konvensional atau yang biasa dikenal dengan beton cor di tempat (*cast in-situ*). Beton pracetak merupakan beton yang dibuat di pabrik atau di *ground floor* proyek yang kemudian di angkat untuk dipasang pada tempatnya (Wibowo, 2006). Dengan demikian, perbedaan utama antara beton pracetak dengan beton konvensional terletak pada pembuatan secara pabrikasi, penyatuhan dan pemasangan, serta cara penyambungan antar komponen join (Abduh, 2007). Adapun juga kelebihan dan kelemahan dari penggunaan beton pracetak terhadap beton konvensional dapat dilihat pada Tabel 2.1.

Tabel 2.1 Kelebihan dan Kelemahan Beton Pracetak

| Kelebihan | Kelemahan |
|--|--|
| Penyederhanaan pelaksanaan konstruksi di lokasi proyek | Tidak ekonomis bagi produksi tipe elemen yang jumlahnya sedikit |
| Waktu konstruksi yang lebih singkat | Perlu ketelitian yang tinggi agar tidak terjadi deviasi yang besar antara elemen yang satu dengan elemen yang lain sehingga tidak menyulitkan dalam pemasangan di lapangan |

| | |
|---|---|
| Mampu mereduksi biaya konstruksi karena waktu konstruksi yang lebih singkat | Panjang dan bentuk elemen pracetak yang terbatas sesuai dengan kapasitas alat angkut |
| Penggunaan material yang optimum serta mutu material yang dihasilkan baik karena dilaksanakan dengan standar standar baku dan pengawasan dengan sistem komputer yang teliti dan ketat | Jarak maksimum transportasi yang ekonomis dengan menggunakan truk adalah antara 150 hingga 350 km, sedangkan untuk angkutan laut jarak maksimum yang ekonomis dapat mencapai lebih dari 1000 km |
| Lebih ekonomis karena penggunaan cetakan beton yang tidak banyak variasi dan bisa digunakan berulang-ulang | Hanya dapat dilaksanakan di daerah yang sudah tersedia peralatan untuk <i>handling and erection</i> |
| Tidak dibutuhkan lahan proyek yang luas, mengurangi kebisingan, lebih bersih, dan ramah lingkungan | Masalah sambungan merupakan persoalan utama yang dihadapi pada perencanaan beton pracetak sehingga harus benar-benar direncanakan secara detail |
| Produksinya hampir tidak terpengaruh oleh cuaca | Kerusakan yang mungkin timbul selama proses transportasi |
| Kebutuhan jumlah tenaga kerja dapat disesuaikan dengan kebutuhan produksi | Diperlukan tenaga kerja dengan keahlian tinggi untuk penggerjaannya |

Sumber: Wahyudi dan Hanggoro, 2010

Menurut Wahyudi dan Hanggoro (2010), desain beton pracetak tidak jauh berbeda dengan beton konvensional, beban-beban yang diperhitungkan sama, faktor-faktor koefisien yang digunakan pun juga sama. Hanya saja, ada beberapa hal yang harus diperhatikan, antara lain:

- a. Desain pracetak memperhitungkan kondisi pengangkatan beton saat umur beton belum mencapai 24 jam. Apakah dengan kondisi beton yang sangat muda saat diangkat akan terjadi retak (*crack*) atau tidak. Di sini dibutuhkan analisa desain tersendiri, dan tentunya tidak pernah diperhitungkan saat menganalisa beton secara konvensional.
- b. Desain pracetak memperhitungkan metode pengangkatan, penyimpanan beton pracetak di *stockyard*, pengiriman beton pracetak, dan pemasangan beton pracetak di proyek. Kebanyakan beton pracetak dibuat di pabrik.
- c. Pada desain pracetak menambahkan desain sambungan. Desain sambungan di sini, didesain lebih kuat dari yang disambung.

2.3 Sistem Struktur Gedung

Tinggi atau rendahnya suatu bangunan berkaitan erat dengan masalah sistem pembebanan lateral. Semakin tinggi suatu bangunan, maka sistem pembebanan lateral yang berupa beban angin dan beban gempa akan semakin besar pula (Juwana, 2005). Semakin tinggi suatu bangunan, pentingnya aksi gaya lateral menjadi makin berarti. Pertimbangan kekakuan menentukan jenis rancangan. Derajat kekuannya terutama bergantung pada jenis sistem struktur yang dipilih (Schueller, 1991).

Untuk itu dikenal beberapa sistem struktur, terutama dalam kaitannya dengan kemampuan suatu struktur untuk menahan beban lateral. Sistem struktur yang umum digunakan sebagai penahan gaya gempa dalam perencanaan gedung antara lain Sistem Dinding Struktural (SDS), Sistem Rangka Pemikul Momen (SRPM), dan Sistem Ganda atau *Dual System* (Paulay dan Priestley, 1992).

SRPM adalah sistem rangka dimana komponen-komponen struktur dan join-joinnya menahan gaya-gaya yang bekerja melalui aksi lentur, geser, dan aksial. SRPM dapat dikelompokkan menjadi tiga, yaitu:

- Sistem Rangka Pemikul Momen Biasa (SRPMB). Sistem ini pada dasarnya memiliki tingkat daktilitas terbatas dan hanya cocok digunakan di daerah dengan risiko gempa yang rendah.
- Sistem Rangka Pemikul Momen Menengah (SRPMM). Sistem ini memiliki tingkat daktilitas sedang dan digunakan di daerah dengan risiko gempa sedang.
- Sistem Rangka Pemikul Momen Khusus (SRPMK). Sistem ini memiliki tingkat daktilitas tinggi atau daktilitas penuh dan harus digunakan pada daerah dengan tingkat risiko gempa yang tinggi.

SDS adalah dinding yang di proporsikan untuk menahan kombinasi gaya geser dan momen gaya aksial yang ditimbulkan oleh gempa. *Shear wall* pada dasarnya merupakan dinding struktural. Dinding struktural dapat dikelompokan menjadi dua, yaitu:

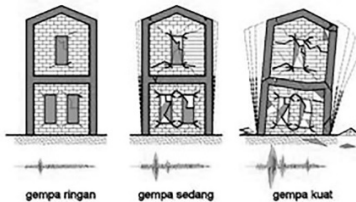
- Dinding struktural beton biasa (SDSB). Sistem dinding ini memiliki tingkat daktilitas terbatas dapat digunakan pada daerah risiko gempa rendah dan menengah.
- Dinding struktural beton Khusus (SDSK). Sistem dinding ini memiliki tingkat daktilitas penuh atau tinggi, digunakan pada daerah risiko gempa tinggi.

Dual System dapat diartikan sebagai kesatuan sistem struktur yang terdiri dari rangka ruang yang memikul seluruh beban gravitasi dan pemikul beban lateral berupa dinding geser atau rangka pengaku dengan rangka pemikul momen. Rangka pemikul momen harus direncanakan secara terpisah mampu memikul sekurang-kurangnya 25% dari seluruh beban lateral. Sedangkan *shear wall* akan menerima paling banyak 75% dari beban lateral yang bekerja. Dengan besarnya beban lateral yang mampu diterima oleh *shear wall*, maka dimensi rangka utama dapat diperkecil sehingga perancangan struktur bisa lebih efisien dan ekonomis (Wulandari, 2006).

2.4 Konstruksi Tahan Gempa

Dalam perencanaan suatu struktur gedung pada daerah gempa harus memenuhi filosofi bangunan tahan gempa. Filosofi bangunan tahan gempa adalah bangunan yang didesain apabila terjadi gempa bumi, bangunan harus tetap menjamin keamanan (keselamatan) dan kenyamanan penghuni, pengguna bangunan yang berada di dalamnya. Menurut Teruna (2007), bangunan tahan gempa filosofinya dapat dijelaskan sebagai berikut:

- Bangunan tidak mengalami kerusakan pada elemen struktural maupun non-struktural saat terjadi gempa ringan.
- Bangunan boleh mengalami kerusakan yang dapat diperbaiki pada elemen non-struktural, sedangkan elemen struktural tidak boleh mengalami kerusakan pada saat terjadi gempa sedang.
- Bangunan boleh mengalami kerusakan pada elemen struktural dan non-struktural, tetapi bangunan tidak boleh runtuh pada saat terjadi gempa kuat.



Gambar 2.1 Filosofi Bangunan Tahan Gempa

Sumber: Teruna, 2007

2.5 Elemen Struktur Beton Pracetak

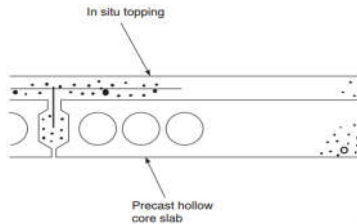
2.5.1 Pelat Pracetak

Pada elemen pelat pracetak, secara garis besar terdapat empat macam pelat pracetak yang umum diproduksi dan digunakan sebagai elemen pracetak, antara lain:

- a. Pelat Pracetak Berlubang (*Hollow Core Slab*)

Pelat ini merupakan pelat pracetak dimana ukuran tebal lebih besar dibanding dengan pelat pracetak tanpa

lubang. Biasanya pelat tipe ini menggunakan kabel pratekan. Keuntungan dari pelat jenis ini adalah lebih ringan, tingkat durabilitas yang tinggi, ketahanan terhadap api sangat tinggi, dan dapat digunakan untuk bentang panjang dengan ketebalan relatif kecil. Kegunaan utamanya untuk pelat lantai atau pelat atap, namun dapat diaplikasikan juga sebagai panel dinding (Jose dan Kumar, 2014). Pelat jenis ini memiliki lebar rata-rata 4 inci hingga 15 inci.



Gambar 2.2 *Hollow Core Slab*

Sumber: Elliott, 2002

b. *Solid Flat Slab*

Solid flat slab atau pelat pracetak tanpa lubang ini lebih tipis dibandingkan dengan pelat pracetak dengan lubang. Keuntungannya adalah lebih mudah dalam proses penyimpanan karena tidak memakan banyak tempat. *Solid flat slab* bisa berupa pratekan atau beton bertulang pada umumnya dengan ketebalan dan lebar bervariasi. Umumnya bentang dari pelat ini antara 5 hingga 35 kaki.



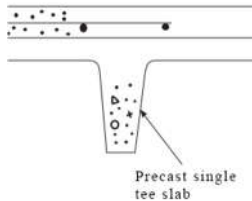
Gambar 2.3 *Solid Flat Slab*

Sumber: PCI Design Handbook, 2004

c. Pelat Pracetak Single Tee

Single tee precast slab merupakan pelat modifikasi dari *solid flat slab* dimana pada pelat ini terdapat kaki vertikal yang membentuk profil ‘T’.

Kelebihan utama dari pelat *single tee* ialah dapat memikul beban yang lebih berat dibandingkan dengan *solid flat slab* pada bentang yang panjang (Hogan, 2013).

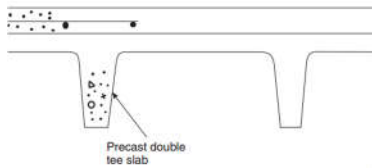


Gambar 2.4 Pelat Pracetak *Single Tee*

Sumber: Elliott, 2002

d. Pelat Pracetak *Double Tees*

Double tees precast slab merupakan pelat modifikasi dari *solid flat slab* dan perkembangan dari *single tee slab* dimana pada pelat ini terdapat dua kaki vertikal yang membentuk dua profil 'T'. Kelebihan utama dari pelat *double tees* ialah dapat memikul beban yang lebih berat dibandingkan dengan *single tee* pada bentang yang lebih panjang meskipun dengan ketebalan yang lebih besar (Hogan, 2013).



Gambar 2.5 Pelat Pracetak *Double Tees*

Sumber: Elliott, 2002

2.5.2 Balok Pracetak

Balok merupakan batang lentur horizontal yang membentang dari satu kolom ke kolom yang lain. Balok memikul beban pelat dan berat sendiri. Selain itu, balok juga berfungsi untuk memikul beban-beban lain yang bekerja pada struktur tersebut. Balok dapat diproduksi dengan berbagai bentang dan macam

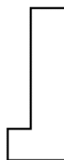
bentuk penampang. Hal yang mempengaruhi penentuan bentuk penampang balok ialah sistem yang akan digunakan, misalnya sistem sambungan antara balok dengan pelat lantai, sistem sambungan antara balok dengan kolom (Ervianto, 2006). Untuk balok pracetak, ada tiga jenis balok yang umum digunakan, yaitu:

- a. Balok Berpenampang Persegi (*Rectangular Beam*)
Menurut Sianturi (2012), balok dengan penampang persegi memiliki beberapa keuntungan, yaitu proses pelaksanaan pabrikasi yang lebih mudah dengan bekisting yang lebih ekonomis serta tidak perlu memperhitungkan tulangan akibat cor sejak awal pelaksanaan.



Gambar 2.6 *Rectangular Beam*
Sumber: PCI Design Handbook, 2004

- b. Balok Berpenampang L (*L-Shaped Beam*)



Gambar 2.7 *L-Shaped Beam*
Sumber: PCI Design Handbook, 2004

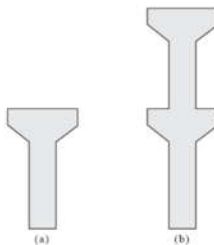
- c. Balok Berpenampang T Terbalik (*Inverted Tee Beam*)



Gambar 2.8 *Inverted Tee Beam*
Sumber: PCI Design Handbook, 2004

2.5.3 Kolom Pracetak

Kolom merupakan batang tekan vertikal dari rangka struktur yang mempunyai fungsi meneruskan beban dari lantai-lantai diatasnya. Oleh karena pada kolom didominasi gaya normal yang bekerja, maka secara teknis kolom juga dapat diproduksi secara pracetak. Jenis kolom yang dapat diproduksi secara pracetak didasarkan pada beberapa hal, yaitu ketinggian bangunan, metode ereksi yang akan digunakan serta kemampuan angkat dari alat bantu atau *tower crane*. Kolom pracetak dapat diproduksi tanpa menyambung atau dengan sambungan. Menurut Ervianto (2006), apabila suatu bangunan memiliki ketinggian dibawah 30 meter, maka penggunaan kolom menerus masih memungkinkan. Namun, untuk bangunan dengan ketinggian lebih dari 30 meter, sebaiknya digunakan kolom dengan sambungan. Dua jenis kolom pracetak yang paling umum digunakan ialah kolom *single storey* serta kolom *multi storey*.



Gambar 2.9 (a) *Single Storey* dan (b) *Multi Storey Column*

Sumber: Brosur Sarawak Consolidated Industries Berhad, 2017

2.6 Dinding Geser (*Shear Wall*)

Dinding geser merupakan struktur kaku yang digunakan untuk menahan gaya geser, momen, dan gaya aksial yang timbul akibat beban gempa. Menurut Imran dan Hendrik (2014), dinding geser yang kaku pada bangunan dapat menyerap sebagian besar beban gempa. Ada beberapa tipe dinding geser, yaitu:

a. *Flexural Wall* (Dinding Langsing)

Dinding geser yang memiliki rasio $h_w/l_w \geq 2$, dimana desainnya dikontrol oleh perilaku lentur.

b. *Squat Wall* (Dinding Pendek)

Dinding geser yang memiliki rasio $h_w/l_w \leq 2$, dimana desainnya dikontrol oleh perilaku geser.

c. *Coupled Shear Wall* (Dinding Berangkai)

Momen guling yang terjadi akibat beban gempa ditahan oleh sepasang dinding, yang dihubungkan oleh balok-balok perangkai, sebagai gaya-gaya tarik dan tekan yang bekerja pada masing-masing dasar pasangan dinding tersebut.

Untuk bangunan dengan jumlah lantai lebih dari 10, dinding geser sangat efektif untuk digunakan karena dapat memperkecil dimensi dan jumlah tulangan yang diperlukan pada kolom. Dengan memperbesar dimensi dinding geser, maka akan membuat dinding geser dapat menerima gaya horizontal yang lebih besar dan penempatan yang tepat dapat mengurangi pergerakan struktur saat terjadi gempa bumi (Chandurkar dan Pajgade, 2013).

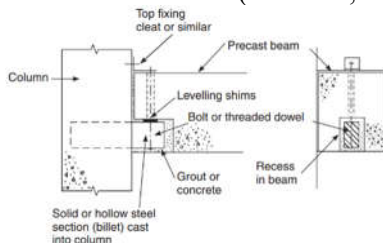
2.7 Sambungan Beton Pracetak

Elemen yang berperan sangat penting dalam desain konstruksi bangunan tahan gempa ialah sambungan. Keruntuhan bangunan akibat gempa terjadi pada sambungan yang relatif kurang kaku atau monolit sehingga lemah dalam menahan beban gempa. Agar bangunan memiliki performa yang baik saat menerima beban gempa, maka harus dipenuhi syarat sambungan balok kolom. Sambungan balok – kolom menempati fungsi yang sangat kritis, karena mekanisme respon struktur terhadap beban terjadi pada penyaluran gaya-gaya dari balok ke kolom-kolom bangunan (Indrayana, 2013).

Secara umum, ada dua jenis sambungan yang biasa digunakan dalam sistem beton pracetak, yaitu sambungan kering (*dry connection*) dan sambungan basah (*wet connection*) (Ervianto, 2006). Untuk sambungan kering dapat digunakan sambungan dengan baut maupun sambungan dengan las. Sementara untuk sambungan basah merupakan sambungan dengan cor langsung di tempat.

2.7.1 Sambungan Kering dengan Menggunakan Baut

Metode penyambungan jenis ini dilakukan dengan memberikan pelat baja pada ujung-ujung kedua elemen beton pracetak yang akan disambung. Pelat baja tersebut ditanam masuk pada daerah tulangan dan dicor pada waktu pembuatan elemen pracetak. Pelat baja dari kedua komponen tersebut disatukan menggunakan alat sambung berupa baut dengan kuat tarik tinggi. Untuk menghindari terjadinya korosi pada pelat baja, setelah proses penyambungan selesai dilakukan maka pelat baja tersebut ditutup dengan adukan semen beton (Ervianto, 2006).

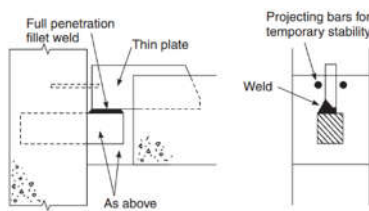


Gambar 2.10 Sambungan Menggunakan Baut

Sumber: Elliott, 2002

2.7.2 Sambungan Kering dengan Menggunakan Las

Alat sambung jenis ini menggunakan pelat baja (pelat sisip) yang ditanam masuk pada daerah tulangan dan ditempatkan pada ujung-ujung beton yang akan disatukan, kemudian di cor pada waktu pembuatan elemen pracetak. Fungsi dari pelat baja ini adalah untuk meneruskan gaya-gaya sehingga pelat baja ini harus benar-benar menyatu dengan material betonnya (Ervianto, 2006). Untuk menyatukan antar pelat sisip dari beton yang akan disambung digunakan pelat baja (pelat sambung) yang dilas ke pelat sisip. Setelah dilas, pelat disambung tersebut kemudian ditutup dengan menggunakan adukan beton. Hal ini dilakukan untuk melindungi pelat penyambung tersebut dari korosi yang membahayakan kekuatan sambungan.

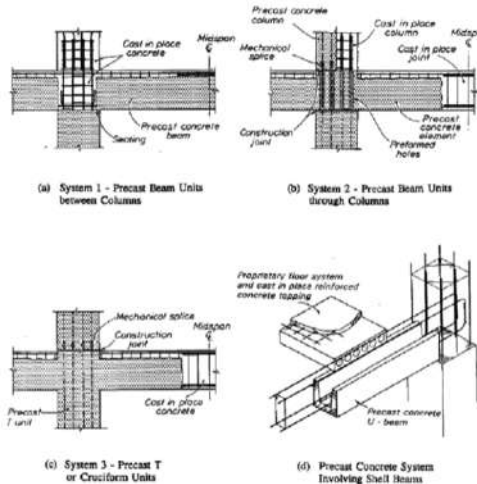


Gambar 2.11 Sambungan Menggunakan Las

Sumber: Elliott, 2002

2.7.3 Sambungan Basah dengan Cor di Tempat

Metode penyambungan jenis ini menggunakan tulangan biasa sebagai penyambung antar komponen beton pracetak. Komponen beton pracetak yang sudah berada di tempatnya akan dicor bagian ujungnya untuk menyambungkan komponen satu dengan yang lain. Sambungan jenis ini lebih sering digunakan dalam pelaksanaan beton pracetak karena menghasilkan struktur yang lebih kaku jika dibanding dengan menggunakan sambungan jenis lain. Selain itu sambungan jenis ini lebih mudah untuk dikerjakan dilapangan (Ervianto, 2006).



Gambar 2.12 Sambungan Balok – Kolom dengan Cor di Tempat

Sumber: Prasetya, 2018

2.8 Pengangkatan dan Metode Ereksi Beton Pracetak

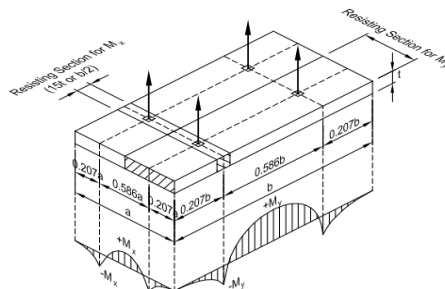
2.8.1 Pengangkatan Elemen Beton Pracetak

Proses pengangkatan beton pracetak merupakan hal yang tidak kalah penting untuk diperhatikan karena kesalahan sedikit dapat mengakibatkan keretakan pada beton itu sendiri. Titik pengangkatan harus ditinjau sedemikian rupa untuk menjaga keseimbangan gaya tegangan beton pada saat diangkat.

a. Pengangkatan Pelat Pracetak

Pemasangan pelat pracetak harus diperhatikan bahwa pelat akan mengalami pengangkatan sehingga perlu perencanaan terhadap tulangan angkat untuk pelat dengan tujuan untuk menghindari tegangan yang disebabkan oleh fleksibilitas dari truk pengangkut dalam perjalanan menuju lokasi proyek. Kondisi tersebut menyebabkan terjadinya momen-momen pada elemen pracetak. Pada saat pengangkatan elemen pracetak, dapat menggunakan bantuan balok angkat (*spreader beam*) yang berfungsi untuk menyeimbangkan elemen pracetak pada saat pengangkatan. Jenis titik angkat pada pelat tersebut dijelaskan berikut ini:

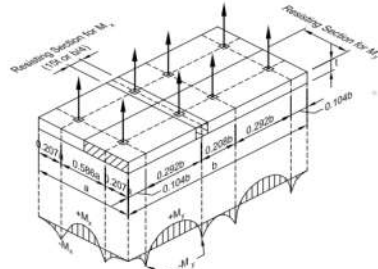
- Empat Titik Angkat



Gambar 2.13 Empat Titik Angkat pada Pelat Pracetak

Sumber: PCI Design Handbook, 2004

- Delapan Titik Angkat



Gambar 2.14 Delapan Titik Angkat pada Pelat Pracetak

Sumber: PCI Design Handbook, 2004

b. Pengangkatan Balok Pracetak

Kondisi pertama adalah saat pengangkatan balok untuk dipasang pada tumpuannya. Pada kondisi ini beban yang bekerja adalah berat sendiri balok pracetak yang ditumpu oleh angkur pengangkatan yang menyebabkan terjadinya momen pada tengah bentang dan pada tumpuan. Ada dua hal yang harus ditinjau dalam kondisi ini, yaitu kekuatan angkur pengangkatan (*lifting anchor*) dan kekuatan lentur penampang beton pracetak.

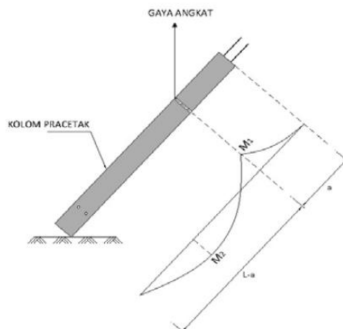


Gambar 2.15 Pengangkatan Balok Pracetak

Sumber: Brosur Beta Concrete Plant & Lifting Equipment, 2018

c. Pengangkatan Kolom Pracetak

Kondisi yang perlu diperhatikan saat proses pengangkatan kolom pracetak adalah saat kolom pracetak dalam posisi miring, karena hal ini dapat menyebabkan momen pada bentang kolom.



Gambar 2.16 Pengangkatan pada Elemen Kolom

Sumber: PCI Design Handbook, 2004

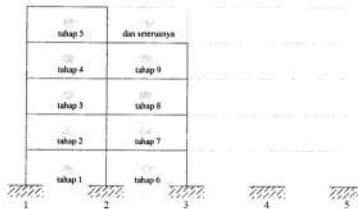
2.8.2 Metode Ereksi Beton Pracetak

Metode ereksi merupakan proses penyatuan komponen beton pracetak menjadi satu kesatuan bangunan yang utuh. Metode yang dapat digunakan dibedakan menjadi dua, yaitu metode vertikal dan metode horizontal (Ervianto, 2006).

a. Metode Vertikal

Ereksi dengan metode vertikal adalah kegiatan penyatuan komponen beton pracetak yang dilaksanakan pada arah vertikal struktur bangunan yang mempunyai kolom menerus dari lantai dasar hingga lantai paling atas, yang dengan cara demikian maka sambungan-sambungan pada lantai di atasnya harus dapat segera bekerja secara efisien. Contohnya ialah komponen beton pracetak yang berbentuk panel atau dinding disebut *tilt-up construction*. Pemasangan komponen ini termasuk metode vertikal

karena sambungan-sambungannya harus segera dapat berfungsi secara efektif.

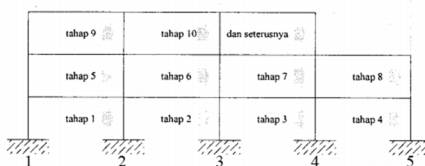


Gambar 2.17 Metode Ereksi Arah Vertikal

Sumber: Ervianto, 2006

b. Metode Horizontal

Penyatuan komponen beton pracetak dengan metode horizontal adalah proses ereksi yang pelaksanaannya tiap satu lantai (arah horizontal bangunan). Metode ini digunakan untuk struktur bangunan yang terdiri dari komponen kolom precast dengan sambungan pada tempat-tempat tertentu. Sambungan pada metode ini tidak harus segera dapat berfungsi sehingga tersedia waktu yang cukup untuk pengerasan beton. Sambungan yang cocok untuk metode ini adalah *in-situ concrete joint*.



Gambar 2.18 Metode Ereksi Arah Horizontal

Sumber: Ervianto, 2006

2.9 Basement

Basement merupakan suatu ruang yang letaknya berada di bawah permukaan tanah. Pada gedung-gedung tinggi, *basement* seringkali dimanfaatkan sebagai area parkir maupun ruang-ruang utilitas.

Dinding *basement* sendiri berfungsi sebagai *retaining wall* atau dinding penahan tanah. Oleh karena itu, dinding *basement* harus dirancang sedemikian rupa agar kokoh dan kuat dalam menahan beban akibat tekanan tanah dan air. Menurut Gue dan Tan (1998), ada beberapa tipe dinding penahan tanah yang umum digunakan pada *basement*, yaitu:

2.9.1 Sheet Pile Wall

Sheet pile wall merupakan jenis dinding penahan tanah yang bersifat sementara. Penggunaan *sheet pile* pada konstruksi *basement* dipengaruhi oleh beberapa faktor, yaitu:

a. Kondisi Tanah dan Kemudahan Pemasangan *Pile*

Lapisan bawah tanah harus memungkinkan *sheet pile* agar dapat mudah digerakkan pada saat pemasangan. Jenis tanah yang biasa digunakan ialah tanah yang memiliki hasil tes SPT dengan nilai N dibawah 50. Sedangkan jenis *sheet pile* yang digunakan bergantung pada kekuatan lentur dan kekuatan untuk mencegah terjadinya *driving*.

b. Kedalaman Galian

Sheet pile cocok digunakan untuk galian dangkal dan sebagai penggunaan sementara karena kekakuan yang rendah dibandingkan dengan tipe dinding penahan tanah yang lain seperti *diaphragm wall*, *contiguous bored pile*, dan *secant pile*.

c. Kadar Air

Sheet pile lebih cocok digunakan untuk jenis tanah yang memiliki kadar air rendah karena rembesan yang sering terjadi.



Gambar 2.19 *Sheet Pile Wall*

Sumber: Gue dan Tan, 2008

2.9.2 *Soldier Pile Wall*

Soldier pile wall memiliki dua komponen utama, yaitu *soldier pile* (komponen vertikal) dan *lagging* (komponen horizontal). *Soldier pile* berfungsi sebagai tumpuan utama untuk kestabilan tanah dan *lagging* berfungsi sebagai tumpuan sekunder untuk mempertahankan bentuk tanah.

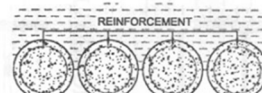


Gambar 2.20 *Soldier Pile Wall*

Sumber: Gue dan Tan, 2008

2.9.3 *Contiguous Bored Pile Wall*

Contiguous bored pile wall dapat berfungsi sebagai dinding penahan tanah sementara maupun permanen dan biasa digunakan pada tanah yang memiliki kekakuan tinggi. Keuntungan penggunaan dinding penahan tanah jenis ini ialah harganya yang lebih murah dan penggeraan konstruksi yang cepat.

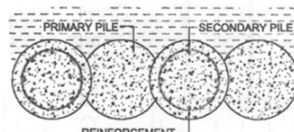


Gambar 2.21 *Contiguous Bored Pile Wall*

Sumber: Gue dan Tan, 2008

2.9.4 *Secant Pile Wall*

Pada dasarnya *secant pile wall* memiliki fungsi yang sama dengan *contiguous bored pile wall*. Namun jenis ini lebih menguntungkan karena dapat digunakan pada tanah dengan kadar air tinggi.



Gambar 2.22 *Secant Pile Wall*

Sumber: Gue dan Tan, 2008

2.9.5 Diaphragm Wall

Diaphragm wall merupakan dinding penahan tanah yang bersifat permanen dan yang paling efektif digunakan untuk tanah dengan kadar air tinggi. Selain itu, pemasangannya juga menimbulkan suara yang minimum dan tidak terjadi vibrasi yang berlebihan.



Gambar 2.23 *Diaphragm Wall*

Sumber: Gue dan Tan, 2008

2.10 Pondasi

Pondasi adalah struktur bagian bawah bangunan yang berhubungan langsung dengan tanah dan suatu bagian dari konstruksi yang berfungsi menahan gaya beban diatasnya. Pondasi dibuat menjadi satu kesatuan dasar bangunan yang kuat yang terdapat dibawah konstruksi. Pondasi dapat didefinisikan sebagai bagian paling bawah dari suatu konstruksi yang kuat dan stabil (*solid*). Dalam perencanaan pondasi untuk suatu struktur dapat digunakan beberapa macam tipe pondasi. Pemilihan pondasi berdasarkan fungsi bangunan atas (*upper structure*) yang akan dipikul oleh pondasi tersebut, besarnya beban dan beratnya bangunan atas, keadaan tanah dimana bangunan tersebut didirikan dan berdasarkan tinjauan dari segi ekonomi.

Menurut Sosrodarsono dan Nakazawa (2000), pondasi dibedakan menjadi dua yaitu pondasi dangkal (*shallow foundation*) dan pondasi dalam (*deep foundation*).

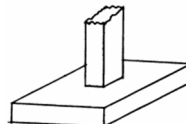
2.10.1 Pondasi Dangkal

Pondasi dangkal disebut juga pondasi langsung, pondasi ini digunakan apabila lapisan tanah pada dasar pondasi yang mampu mendukung beban yang dilimpahkan terletak tidak dalam (berada relatif dekat dengan permukaan tanah). Syarat pondasi dangkal ialah:

- $D / B \leq 1$
- Lapisan tanah keras berada di dekat permukaan tanah
Ada beberapa macam dari pondasi dangkal, yaitu:

a. Pondasi Telapak (*Isolated Footing*)

Pondasi yang berdiri sendiri dalam mendukung kolom atau pondasi yang mendukung bangunan secara langsung pada tanah bilamana terdapat lapisan tanah yang cukup tebal dengan kualitas baik yang mampu mendukung bangunan itu pada permukaan tanah atau sedikit dibawah permukaan tanah. Sistem kerja pondasi ini menerapkan sistem tanam sehingga pondasi telapak ini menahan kolom yang tertanam di dalamnya agar tidak masuk dalam tanah.

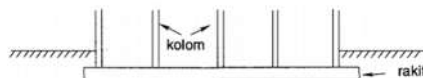


Gambar 2.24 Pondasi Telapak

Sumber: Gunawan, 1991

b. Pondasi Rakit (*Raft Foundation*)

Pondasi yang digunakan untuk mendukung bangunan yang terletak pada tanah lunak atau digunakan bila susunan antar kolom jaraknya sedemikian dekat disemua arahnya, sehingga bila menggunakan pondasi telapak, sisi-sisinya berhimpit satu sama lainnya.



Gambar 2.25 Pondasi Rakit

Sumber: Hardiyatmo, 1996

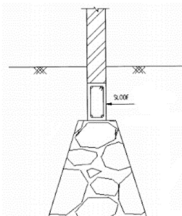
c. Pondasi Rollag Bata

Rollag bata merupakan pondasi sederhana yang fungsinya bukan menyalurkan beban bangunan, melainkan untuk menyeimbangkan posisi lantai agar tidak terjadi

amblas pada ujung lantai. Pondasi ini biasanya digunakan untuk membuat teras rumah, fungsinya hampir sama dengan sloof gantung namun rollag bata tidak sekuat sloof gantung dan tidak semahal sloof gantung.

d. Pondasi Batu Kali

Pondasi batu kali merupakan pondasi penahan dinding yang digunakan pada bangunan sederhana. Pondasi ini terdiri dari batu kali dan perekat yang berupa campuran pasir dan semen. Biasanya campuran agregat untuk merekatkan batu kali ini menggunakan perbandingan 1:3 karena batu kali akan selalu menerima rembesan air yang berasal dari tanah.



Gambar 2.26 Pondasi Batu Kali
Sumber: Pamungkas dan Harianti, 2013

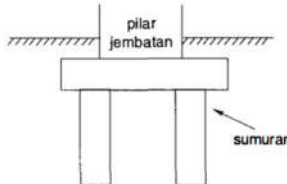
2.10.2 Pondasi Dalam

Pondasi dalam adalah pondasi yang meneruskan beban bangunan ke tanah keras atau batu yang terletak jauh dari permukaan. Syarat pondasi dalam ialah:

- $D / B \geq 4$
 - Lapisan tanah keras berada jauh dari permukaan tanah
- Ada beberapa macam dari pondasi dangkal, yaitu:
- a. Pondasi Sumuran (*Pier Foundation*)

Pondasi sumuran merupakan pondasi peralihan antara pondasi dangkal dan pondasi tiang, digunakan bila tanah dasar yang kuat terletak pada kedalaman yang relatif dalam, dimana pondasi sumuran nilai kedalaman (D_f)

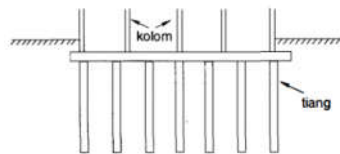
dibagi lebar (B) lebih kecil atau sama dengan 4, sedangkan pondasi dangkal $D_f/B \leq 1$.



Gambar 2.27 Pondasi Sumuran
Sumber: Hardiyatmo, 1996

b. Pondasi Tiang (*Pile Foundation*)

Pondasi tiang digunakan bila tanah pondasi pada kedalaman yang normal tidak mampu mendukung bebananya dan tanah kerasnya terletak pada kedalaman yang sangat dalam. Pondasi tiang umumnya berdiameter lebih kecil dan lebih panjang dibanding dengan pondasi sumuran.



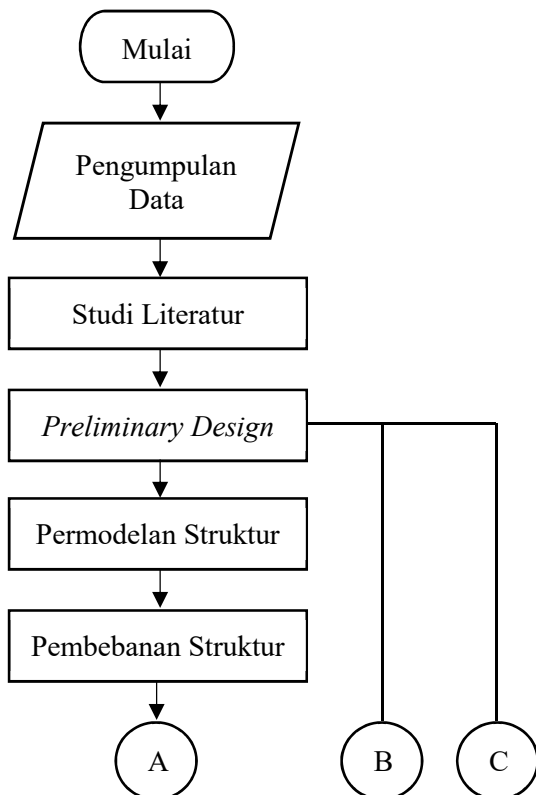
Gambar 2.28 Pondasi Tiang
Sumber: Hardiyatmo, 1996

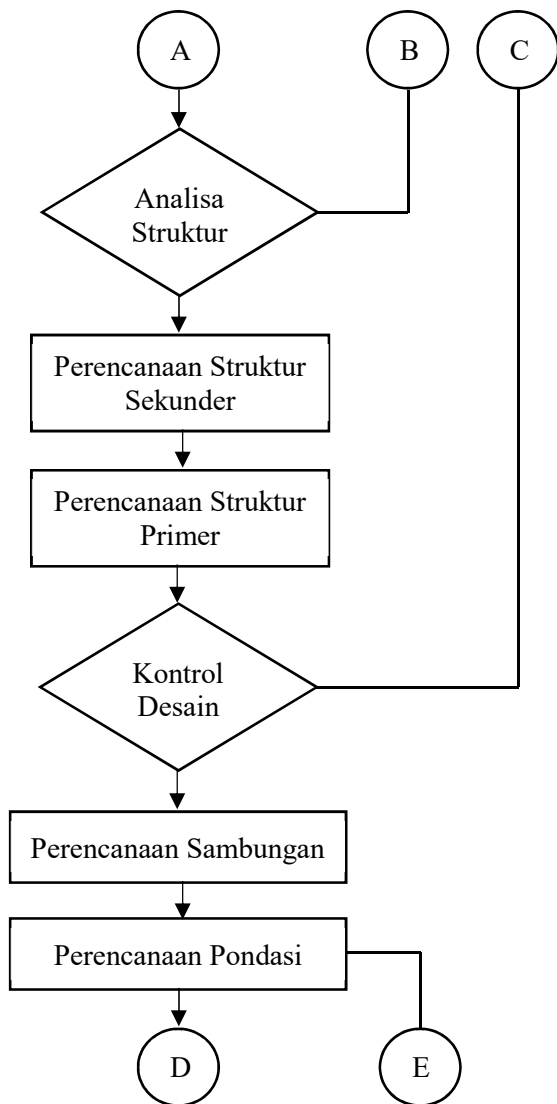
BAB III METODOLOGI

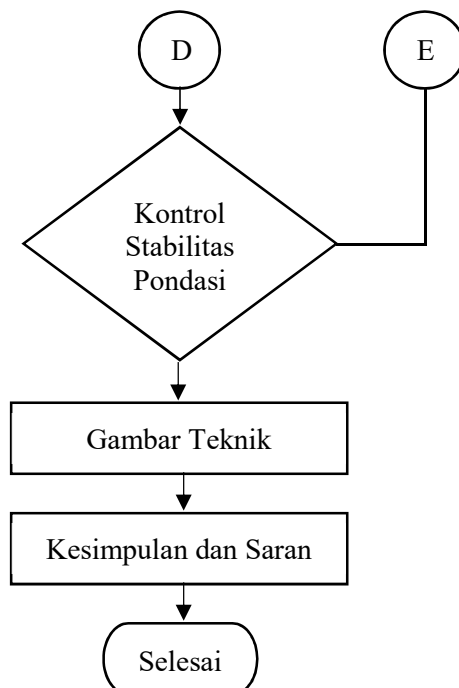
3.1 Umum

Perencanaan gedung Apartemen Tower 2 The Arundaya Surabaya menggunakan metode beton pracetak tentunya harus memiliki susunan pengerjaan sesuai dengan urutan kegiatan yang akan dilakukan. Urutan pelaksanaan dimulai dari pengumpulan data hingga gambar teknik pada bagian akhirnya.

3.2 Bagan Alir Perencanaan







Gambar 3.1 Bagan Alir Penyelesaian Tugas Akhir

3.3 Pengumpulan Data

3.3.1 Data Awal

a. Data Umum Bangunan

| | | |
|-------------------|---|--|
| Nama Gedung | : | Tower 2 The Arundaya Surabaya |
| Lokasi | : | Jalan Kenjeran No. 504, Kalijudan, Mulyorejo, Surabaya, Jawa Timur |
| Fungsi | : | Apartemen |
| Jumlah Lantai | : | 48 lantai (lantai 48 <i>rooftop</i>) |
| Tinggi Bangunan | : | 160 meter |
| Total Luas Area | : | 1050,4 m ² |
| Struktur Bangunan | : | Struktur beton bertulang |

Sistem Bangunan : *Dual System*

b. Data Material

Kekuatan Tekan Beton (f_c') : - MPa

Tegangan Leleh Baja (f_y) : - MPa

Data Tanah : (Lampiran)

3.3.2 Data Modifikasi

a. Data Umum Bangunan

Nama Gedung : The Arundaya Surabaya Tower 2

Lokasi : Jalan Kenjeran No. 504, Kalijudan, Mulyorejo, Surabaya, Jawa Timur

Fungsi : Apartemen

Jumlah Lantai : 12 lantai (lantai 12 atap)

Tinggi Bangunan : 41.70 meter

Total Luas Area : 1050,4 m²

Struktur Bangunan : Struktur beton pracetak

Sistem Bangunan : *Dual System*

b. Data Material

Kekuatan Tekan Beton (f_c') : 35, 40, 45 MPa

Tegangan Leleh Baja (f_y) : 420 MPa

3.4 Studi Literatur

Pada perencanaan bangunan ini, digunakan beberapa buku dan peraturan mengenai perancangan beton pracetak, serta struktur gedung secara umum yang dapat membantu dalam penggeraan tugas akhir ini, diantaranya:

1. ACI 318M-14 *Building Code Requirements for Structural Concrete.*
2. ASCE/SEI 7-16 *Minimum Design Loads and Associated Criteria for Buildings and Other Structures.*

3. SNI 2847:2013 Persyaratan Beton Struktural untuk Bangunan Gedung.
4. SNI 1726:2012 Tata Cara Perencanaan Ketahanan Gempa untuk Struktur Gedung dan Non Gedung.
5. *PCI Design Handbook Precast and Prestress Concrete Sixth Edition.*

3.5 Preliminary Design

Preliminary design adalah desain awal atau estimasi jenis, mutu, serta dimensi material yang akan digunakan untuk membentuk struktur bangunan. Dimensi material dalam gedung ini meliputi balok induk, balok anak, kolom dan pelat. Penentuan *preliminary design* sesuai dengan ketentuan ACI 318M-14.

3.5.1 Perencanaan Dimensi Pelat

Dalam merencanakan pelat, terdapat spesifikasi tebal minimum dalam dimensi pelat. Tebal minimum tersebut dapat mempengaruhi jenis pelat, apakah tergolong pelat dua arah atau pelat satu arah.

a. Pelat Satu Arah

Apabila jenis pelat yang digunakan adalah pelat satu arah dan merupakan pelat non-prategang, maka tebal minimum ditentukan berdasarkan rumus dari ACI 318M-14 pasal 7.3.1.1 yang disajikan pada Tabel 3.1 berikut:

Tabel 3.1 Tinggi Minimum Pelat Non Prategang Satu Arah

| <i>Support Condition</i> | <i>Minimum h</i> |
|---------------------------------|-------------------------|
| <i>Simply supported</i> | $l/20$ |
| <i>One end continuous</i> | $l/24$ |
| <i>Both end continuous</i> | $l/28$ |
| <i>Cantilever</i> | $l/10$ |

Sumber: ACI 318M-14

Dimana:

h = tinggi pelat minimum

l = panjang bentang

Nilai diatas hanya dapat digunakan untuk $f_y = 420$ MPa, untuk f_y dengan nilai selain 420 MPa, nilai yang ada dalam tabel diatas perlu dikalikan dengan $(0,4 + \frac{f_y}{700})$.

b. Pelat Dua Arah

Sesuai dengan ACI 318M-14, ketentuan berlaku untuk desain sistem pelat yang ditulangi untuk lentur. Tebal minimum pelat yang didesain sesuai dengan ketentuan tersebut harus seperti yang disyaratkan oleh ACI 318M-14 pasal 8.3.1.2. Untuk mendesain tebal pelat dengan balok yang membentang di antara tumpuan pada semua sisinya dapat menggunakan rumus berikut:

- Untuk α_{fm} yang sama atau lebih kecil dari 0,2 harus menggunakan ACI 318M-14 pasal 8.3.1.1
 1. Tebal pelat tanpa penebalan 125 mm
 2. Tebal pelat dengan penebalan 100 mm
- Untuk $0,2 < \alpha_{fm} < 2$, ketebalan minimum pelat harus memenuhi persamaan berikut:

$$h = \frac{l_n(0,8 + \frac{f_y}{1400})}{36 + 5\beta(\alpha_{fm} - 0,2)} \geq 125 \text{ mm} \quad (3-1)$$

(ACI 318M-14 pasal 8.3.1.2)

- Untuk $\alpha_{fm} > 2$, ketebalan minimum pelat harus memenuhi persamaan berikut:

$$h = \frac{l_n(0,8 + \frac{f_y}{1400})}{36 + 9\beta} \geq 90 \text{ mm} \quad (3-2)$$

(ACI 318M-14 pasal 8.3.1.2)

Dimana:

l_n = panjang bentang bersih

f_y = tegangan leleh baja

β = rasio bentang bersih panjang terhadap pendek

α_{fm} = nilai rata-rata α_f untuk semua balok pada tepi panel

3.5.2 Perencanaan Dimensi Balok

Untuk menentukan ukuran tinggi balok, baik balok anak maupun utama direncanakan dimensi tinggi balok awal berdasarkan ACI 318M-14 pasal 9.3.1.1 yang disajikan dalam Tabel 3.2 berikut. Lebar balok ditentukan 2/3 dari tinggi balok. Nilai pada tabel tersebut berlaku apabila digunakan langsung untuk komponen struktur beton normal dan tulangan dengan mutu 420 MPa.

Tabel 3.2 Tinggi Minimum Balok

| | |
|---|--|
| $h_{\min} = \frac{l}{16}$ | Digunakan apabila $f_y = 420$ MPa |
| $h_{\min} = \frac{l}{16} (0,4 + \frac{f_y}{700})$ | Digunakan apabila $f_y \neq 420$ MPa |
| $h_{\min} = \frac{l}{16} (1,65 - 0,003w_c)$ | Digunakan untuk nilai w_c 1440 kg/m ³ hingga 1840 kg/m ³ |

Sumber: ACI 318M-14

Dimana:

h_{\min} = tinggi balok minimum

l = panjang balok

3.5.3 Perencanaan Dimensi Kolom

Aksial tekan dan aksial tekan dengan lentur untuk komponen struktur dengan tulangan sengkang biasa, maka faktor reduksi $\phi = 0,65$.

$$A = \frac{W}{\phi f'c} \quad (3-3)$$

(ACI 318M-14 pasal 10.5.1)

Dimana:

W = beban aksial yang diterima kolom

$f'c$ = kuat tekan beton karakteristik

A = luas penampang kolom

3.6 Permodelan dan Pembebaan dengan Analisa Struktur

3.6.1 Penggunaan Analisa Struktur

Analisa struktur utama menggunakan program ETABS 2016 untuk mendapatkan reaksi dan gaya dalam yang bekerja pada struktur. Model harus memenuhi beberapa kriteria di kontrol permodelan struktur agar model yang dibuat dapat digunakan untuk perhitungan.

3.6.2 Perhitungan Gaya Dalam

Untuk mendapatkan gaya dalam struktur utama, hal yang harus diperhatikan dan data yang harus dimasukkan ke dalam program ialah:

- Bentuk gedung
- Posisi dan dimensi elemen struktur
- Pembebaan Struktur
- Kombinasi pembebaan
- Respons spektrum gempa

3.6.3 Kontrol Permodelan Struktur

Permodelan yang dibuat harus memenuhi beberapa kriteria di bawah agar gaya gempa yang terjadi pada permodelan dapat digunakan saat perencanaan.

3.6.3.1 Kontrol Partisipasi Massa

Berdasarkan SNI 1726:2012 pasal 7.9.1, nilai partisipasi massa harus sekurang-kurangnya mencapai 90% dari massa aktual struktur. Analisis harus dilakukan untuk menentukan ragam getar alami suatu struktur. Analisis harus menyertakan jumlah ragam yang cukup untuk mendapatkan partisipasi massa ragam terkombinasi paling sedikit 90% dari massa aktual masing-masing arah horizontal-orthogonal dari respons yang ditinjau oleh model.

3.6.3.2 Kontrol Periode Fundamental Struktur

Sesuai dengan SNI 1726:2012 pasal 7.8.2: $T_a < T < C_u \times T_a$. Perioda fundamental struktur (T) dalam arah yang ditinjau

harus diperoleh menggunakan properti struktur dan karakteristik deformasi elemen penahan dalam analisis yang teruji.

Dalam persyaratan, periода fundamental struktur (T), tidak boleh melebihi hasil koefisien untuk batasan di atas pada perioda yang dihitung (C_u) dari SNI 1726-2012 (tabel 14) yang disajikan pada Tabel 3.3 di bawah ini dan perioda fundamental pendekatan, T_a , yang ditentukan sesuai dengan pasal 7.8.2.1 sebagai alternatif pada pelaksanaan analisis untuk menentukan perioda fundamental struktur.

Nilai perioda fundamental struktur (T) diijinkan secara langsung menggunakan perioda bangunan pendekatan, T_a , yang dihitung sesuai dengan pasal 7.8.2.1.

$$T_a = C_t \times h_n^x \quad (3-4)$$

Dimana:

T_a = perioda fundamental pendekatan

C_t = koefisien yang ditentukan dari tabel 15 SNI 1726:2012

h_n = tinggi bangunan (m)

x = koefisien yang ditentukan dari tabel 15 SNI 1726:2012

Tabel 3.3 Koefisien C_u

| Parameter Percepatan Respons Spectral Desain pada 1 Detik, SD_1 | Koefisien C_u |
|---|-----------------|
| $\geq 0,4$ | 1,4 |
| 0,3 | 1,4 |
| 0,2 | 1,5 |
| 0,15 | 1,6 |
| $\leq 0,15$ | 1,7 |

Sumber: SNI 1726:2012

Tabel 3.4 Koefisien C_t dan x

| Tipe Struktur | C_t | x |
|--------------------------------------|--------|------|
| Rangka Baja Pemikul Momen | 0,0724 | 0,8 |
| Rangka Beton Pemikul Momen | 0,0466 | 0,9 |
| Rangka Baja dengan Bresing Eksentris | 0,0731 | 0,75 |

| | | |
|---|--------|------|
| Rangka Baja dengan Bresing Terkekang Terhadap Tekuk | 0,0731 | 0,75 |
| Semua Sistem Struktur Lainnya | 0,0488 | 0,75 |

Sumber: SNI 1726:2012

3.6.3.3 Kontrol Skala Gaya Dinamis

Sesuai dengan SNI 1726:2012 pasal 7.9.4.1, gaya dinamis > 85% gaya statis. Bila perioda fundamental struktur (T) yang dihitung melebihi $C_u \times T_a$, maka $C_u \times T_a$ harus digunakan sebagai pengganti dari T dalam arah itu.

Kombinasi respons untuk geser dasar ragam (V_t) lebih kecil 85 persen dari geser dasar yang dihitung (V) menggunakan prosedur gaya lateral ekivalen, maka gaya harus dikalikan dengan 0,85 (V/V_t).

3.6.3.4 Kontrol Defleksi Bangunan (*Drift*)

Sesuai SNI 1726:2012 pasal 7.8.6, defleksi tiap lantai > defleksi ijin. Penentuan simpangan antar lantai tingkat desain harus dihitung sebagai perbedaan defleksi pada pusat massa di tingkat teratas dan terbawah yang ditinjau. Apabila pusat massa terletak tidak segaris dalam arah vertikal, diijinkan untuk menghitung defleksi didasar tingkat berdasarkan proyeksi vertikal dari pusat massa tingkat diatasnya.

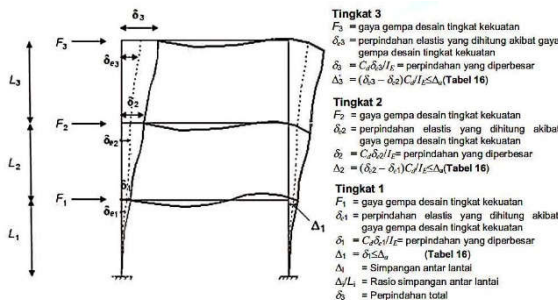
Jika desain tegangan ijin digunakan, defleksi harus dihitung menggunakan gaya gempa tingkat kekuatan yang ditetapkan tanpa reduksi untuk desain tegangan ijin.

Tabel 3.5 Simpangan Ijin Struktur

| Struktur | Kategori Risiko | | |
|---|-----------------|--------|---------|
| | I atau II | III | IV |
| Struktur selain dari struktur dinding geser batu bata, 4 tingkat atau kurang dengan dinding interior, | 0,025 h | 0,02 h | 0,015 h |

| | | | |
|--|---------|---------|---------|
| partisi, langit-langit, dan sistem dinding eksterior yang telah didesain untuk mengakomodasi simpanan antar lantai | | | |
| Struktur dinding geser kantilever batu bata | 0,010 h | 0,010 h | 0,010 h |
| Struktur dinding geser batu bata lainnya | 0,007 h | 0,007 h | 0,007 h |
| Semua struktur lainnya | 0,020 h | 0,015 h | 0,010 h |

Sumber: SNI 1726:2012



Gambar 3.2 Penentuan Simpangan Antar Lantai

Sumber: SNI 1726:2012

3.7 Pembebanan

Dalam melakukan analisa perhitungan desain suatu struktur, perlu ada gambaran yang jelas mengenai perilaku dan besar beban yang bekerja pada struktur tersebut. Beban yang bekerja pada suatu struktur ada beberapa jenis menurut karakteristik, yaitu beban statis dan beban dinamis. Berikut ini akan menjelaskan lebih detail mengenai pembebanan sesuai dengan ketentuan berdasarkan ASCE/SEI 7-16.

3.7.1 Beban Statis

Beban statis ialah beban yang bekerja secara kontinu pada struktur yang timbul secara perlahan-lahan dan mempunyai karakter *steady-states* atau bersifat tetap. Jenis-jenis beban statis menurut ASCE/SEI 7-16 dan Peraturan Pembebanan Indonesia Untuk Gedung 1983 (PPIUG 1983) ialah sebagai berikut:

a. Beban Mati

Beban mati ialah berat seluruh bangunan gedung yang terpasang seperti dinding, lantai, atap, plafon, tangga, dinding partisi tetap, finishing, kladding gedung serta komponen arsitektural dan struktural lainnya.

Tabel 3.6 Jenis dan Besar Beban Mati

| Jenis Beban | Besar Beban |
|----------------------------------|------------------------|
| Beton bertulang | 2400 kg/m ³ |
| Aspal | 2200 kg/m ³ |
| Plafon | 7 kg/m ² |
| Penggantung plafon | 11 kg/m ² |
| Keramik | 24 kg/m ² |
| Spesi per cm tebal | 21 kg/m ² |
| Ducting dan Plumbing | 30 kg/m ² |
| Dinding bata ringan 60 x 20 x 10 | 100 kg/m ² |

Sumber: PPIUG 1983

b. Beban Hidup

Beban hidup ialah beban yang diakibatkan oleh pengguna dan penghuni bangunan gedung atau struktur lain yang tidak termasuk beban konstruksi dan beban lingkungan, seperti beban angin, hujan, gempa, serta banjir (ASCE/SEI 7-16).

Semua beban hidup mempunyai karakteristik dapat bergerak sehingga untuk menentukan secara pasti nilai beban hidup yang bekerja sangat sulit karena fluktuasi beban hidup yang bervariasi. Oleh karena itu, digunakan

peraturan ACSE/SEI 7-16 yang mengatur tentang perancangan beban hidup.

Tabel 3.7 Jenis Beban dan Besar Beban Hidup

| Jenis Beban | Beban |
|---|--|
| | Merata, psf (kN/m^2) |
| Ruang pribadi dan koridor yang melayani ruang pribadi | 40 (1,92) |
| Ruang publik dan koridor yang melayani ruang publik | 100 (4,79) |
| Atap untuk perkumpulan orang (<i>assembly purposes</i>) | 100 (4,70) |

Sumber: ASCE/SEI 7-16

3.7.2 Beban Dinamis

a. Beban Angin

Beban angin mencakup semua beban yang bekerja pada gedung atau bagian gedung yang disebabkan oleh tekanan udara (ASCE/SEI 7-16 pasal 26).

Parameter beban angin yang harus diperhitungkan antara lain:

- Kecepatan angin dasar, V (ASCE/SEI 7-16 pasal 26.5)
- Faktor arah angin, K_0 (ASCE/SEI 7-16 pasal 26.6)
- Kategori eksposur (ASCE/SEI 7-16 pasal 26.7)
- Faktor topografi, K_{zt} (ASCE/SEI 7-16 pasal 26.8)
- Faktor elevasi muka tanah, K_e (ASCE/SEI 7-16 pasal 26.9)
- Faktor kecepatan tekanan (ASCE/SEI 7-16 pasal 26.10)
- Faktor efek tiupan angin (ASCE/SEI 7-16 pasal 26.11)

- Klasifikasi ketertutupan (ASCE/SEI 7-16 pasal 26.12)
- Koefisien tekanan internal (ASCE/SEI 7-16 pasal 26.13)
- Batasan tornado (ASCE/SEI 7-16 pasal 26.14)

b. Beban Gempa

Beban gempa berdasarkan Tata Cara Perencanaan Ketahanan Gempa untuk Struktur Bangunan Gedung dan Non Gedung (SNI 1726:2012) dengan zona wilayah gempa kota Surabaya.

Analisa beban gempa berdasarkan SNI 1726:2012 meliputi:

- Penentuan Respons Spektrum

Penentuan wilayah gempa dapat dilihat pada peta sumber dan bahaya gempa Indonesia tahun 2017.

- Respon Seismik (C_s)

$$C_s = \frac{S_{DS}}{T(\frac{R}{I_e})} \quad (3-5)$$

Dimana:

S_{DS} = percepatan spectrum respons desain dalam rentang periode pendek

R = faktor modifikasi respons

I_e = faktor keutamaan bangunan

Dengan nilai C_s max tidak lebih dari

$$C_s = \frac{S_{DS}}{T(\frac{R}{I})} \quad (3-6)$$

- Gaya Geser dan Gaya Seismik Lateral

$$V = C_s \times W \quad (3-7)$$

$$C_{vx} = \frac{W_x h_x^k}{\sum_{i=1}^n W_i \times h_i^k} \quad (3-8)$$

Dimana:

C_s = koefisien respons seismik yang ditentukan sesuai dengan SNI 1726:2012 pasal 7.8.1.1

W = berat seismik efektif menurut SNI 1726:2012 pasal 7.7.2

3.7.3 Kombinasi Pembebatan

Dalam perencanaan pembebatan digunakan kombinasi pembebatan sesuai dengan ASCE/SEI 7-16 pasal 5.3.1 sebagai berikut:

$$U = 1,4D \quad (3-9)$$

$$U = 1,2D + 1,6L + 0,5(L_r \text{ atau } S \text{ atau } R) \quad (3-10)$$

$$U = 1,2D + 1,6(L_r \text{ atau } S \text{ atau } R) + (1,0L \text{ atau } 0,5W) \quad (3-11)$$

$$U = 1,2D + 1,0W + 1,0L + 0,5(L_r \text{ atau } S \text{ atau } R) \quad (3-12)$$

$$U = 1,2D + 1,0E + 1,0L + 0,2S \quad (3-13)$$

$$U = 0,9D + 1,0W \quad (3-14)$$

$$U = 0,9D + 1,0E \quad (3-15)$$

Dimana:

U = beban *ultimate*

D = beban mati

L = beban hidup

L_r = beban hidup atap

S = beban salju

R = beban hujan

E = beban gempa

W = beban angin

3.8 Perencanaan Struktur Sekunder

3.8.1 Perencanaan Balok Anak

Pelat sebagai elemen yang paling awal menerima beban kemudian akan mendistribusikan beban ke balok anak. Beban yang diterima balok anak akan dihitung sebagai beban ekivalen trapezium, segitiga, dan dua segitiga.

Dari beban yang dipikul oleh balok anak tersebut akan digunakan untuk menghitung gaya dalam. Gaya dalam tersebut

digunakan untuk perhitungan penulangan lentur dan geser. Penentuan dimensi awal balok anak sama dengan balok utama yaitu mengacu pada ACI 318M-14 pasal 9.3.1.1 tabel 9.3.1.1. Sementara untuk penulangan balok anak sama dengan penulangan balok utama yang akan dibahas lebih detail pada sub bab 3.9.1.

3.8.2 Perencanaan Tangga

Perencanaan tangga dimulai dengan menghitung lebar dan tinggi injakan pada tangga, dengan syarat sebagai berikut:

$$60 \leq 2t + i \leq 65 \text{ cm} \quad (3-16)$$

Dimana:

t = tinggi injakan

i = lebar injakan

α = sudut kemiringan tangga ($25^\circ \leq \alpha \leq 40^\circ$)

Untuk penulangan tangga, perhitungan penulangan pelat bordes dan pelat dasar tangga dilakukan sama dengan perencanaan tulangan pelat dengan anggapan tumpuan sederhana (sendi dan rol). Perencanaan tebal tangga ditentukan sesuai ketentuan dalam perhitungan dimensi awal pelat.

3.9 Perencanaan Struktur Primer

3.9.1 Penulangan Balok

Penulangan balok anak dan balok utama dilakukan untuk menahan momen lentur, geser, dan torsi yang dihitung berdasarkan pada ACI 318M-14 pasal 22.2.2.4.3 pada tabel 22.2.2.4.3.

3.9.1.1 Penulangan Lentur Balok

Tahapan dalam merencanakan tulangan lentur adalah sebagai berikut:

1. Menentukan data-data d , f_y , f'_c , dan M_u .
2. Menentukan nilai β_1 sesuai peraturan ACI 318M-14 pasal 22.2.2.4.3 pada tabel 22.2.2.4.3.

Tabel 3.8 Nilai β_1

| f'_c (MPa) | β_1 |
|------------------------|-----------|
| $17 \leq f'_c \leq 28$ | 0,85 |

| | |
|------------------|------------------------------------|
| $28 < f'_c < 55$ | $0,85 - \frac{0,05(f'_c - 28)}{7}$ |
| $f'_c \geq 55$ | 0,65 |

Sumber: ACI 318M-14

3. Menentukan batasan harga tulangan dengan menggunakan rasio tulangan yang disyaratkan sebagai berikut:

$$\rho_b = \frac{0,85 \beta_1 f'_c}{f_y} \left(\frac{600}{600+f_y} \right) \quad (3-17)$$

$$\rho_{\max} \leq 0,025 \quad (3-18)$$

(ACI 318M-14 pasal 18.6.3.1)

$$\rho_{\max} \leq 0,75 \rho_b \quad (3-19)$$

$$\rho_{\min} \geq \frac{0,25 \sqrt{f'_c}}{f_y} \quad (3-20)$$

(ACI 318M-14 pasal 9.6.1.2)

$$\rho_{\min} \geq \frac{1,4}{f_y} \quad (3-21)$$

(ACI 318M-14 pasal 9.6.1.2)

Dari kedua harga ρ_{\min} tersebut, diambil harga ρ_{\min} yang terbesar sebagai nilai ρ_{\min} yang menentukan.

4. Menentukan harga m.

$$m = \frac{f_y}{0,85 f'_c} \quad (3-22)$$

5. Menentukan R_n .

$$R_n = \frac{M_n}{\phi b d^2} \quad (3-23)$$

$$\phi = 0,90$$

6. Menghitung rasio tulangan yang dibutuhkan.

$$\rho = \frac{1}{m} \left(1 - \sqrt{1 - \frac{2 m R_n}{f_y}} \right) \quad (3-24)$$

$$\rho_{\min} < \rho_{\text{pakai}} < \rho_{\max}$$

7. Menentukan luas tulangan (A_s) dari ρ yang diperoleh.

$$\rho = \frac{A_s}{b d} \quad (3-25)$$

$$A_s = \rho b d \quad (3-26)$$

8. Menentukan jumlah tulangan.

$$Jumlah\ tulangan = \frac{A_s\ perlu}{0.25\ \pi\ \phi^2} \quad (3-27)$$

9. Menghitung jarak tulangan.

$$Jarak\ tulangan = \frac{b - n\ \phi\ L - 2d' - 2\phi s}{n - 1} \quad (3-28)$$

10. Kontrol regangan.

$$\varepsilon_t \geq 0,005 \quad (3-29)$$

3.9.1.2 Penulangan Geser Balok

Perencanaan penampang geser harus didasarkan sesuai ACI 318M-14 pasal 9.5.1.1 bagian (b) yaitu harus memenuhi:

$$\phi V_n \geq V_u \quad (3-30)$$

Dimana:

ϕ = faktor reduksi kekuatan untuk geser bernilai 0,75

V_n = kuat geser nominal penampang

V_u = kuat geser terfaktor pada penampang

Sedangkan untuk kuat geser nominal dari penampang merupakan hasil penjumlahan dari kuat geser beton (V_c) dan tulangan (V_s).

$$V_n = V_c + V_s \quad (3-31)$$

(ACI 318M-14 pasal 22.5.1.1)

$$V_c = 0,17\ \lambda\ \sqrt{f'_c}\ b\ d \quad (3-32)$$

(ACI 318M-14 pasal 22.5.5.1)

Dimana:

V_c = kuat geser beton

V_s = kuat geser nominal tulangan geser

V_n = kuat geser nominal penampang

3.9.1.3 Penulangan Torsi Balok

Penulangan torsi harus diperhatikan apabila memenuhi kriteria berikut:

$$T_u \geq \phi T_{th} \quad (3-33)$$

$$T_u \geq 0,083\ \lambda\ \sqrt{f'_c}\ \left(\frac{A_{cp}^2}{P_{cp}} \right) \quad (3-34)$$

(ACI 318M-14 pasal 22.7.4.1)

Dimana:

T_u = momen torsi terfaktor

T_{th} = torsi *threshold*

A_{cp} = luas beton

P_{cp} = keliling penampang beton

Apabila T_u melebihi torsi terkecil yang terdeteksi (*threshold*), maka desain penampang harus berdasarkan pada:

$$\phi T_n \geq T_u \quad (3-35)$$

(ACI 318RM-14 pasal R22.7.6)

Tulangan sengkang untuk puntir:

$$T_n = \frac{2A_0 A_t f_y t}{s} \cot\theta \quad (3-36)$$

(ACI 318M-14 pasal 22.7.6.1 pers. 22.7.6.1a)

$$T_n = \frac{2A_0 A_l f_y t}{p_h} \cot\theta \quad (3-37)$$

(ACI 318M-14 pasal 22.7.6.1 pers. 22.7.6.1b)

Dari kedua harga T_n diatas, digunakan nilai T_n yang memiliki harga terkecil.

Dimana:

T_u = momen torsi terfaktor

T_n = kuat momen torsi

A_0 = luas *stirrup*

A_t = luas tulangan

A_l = luas tulangan longitudinal

s = *spacing*

p_h = keliling *stirrup*

3.9.1.4 Pengangkatan Balok Pracetak

Kondisi pertama adalah saat pengangkatan balok pracetak untuk dipasang pada tumpuannya. Pada kondisi ini beban beban yang bekerja adalah beban dari berat sendiri balok pracetak yang ditumpu oleh angkur pengangkatan yang menyebabkan terjadinya momen pada tengah bentang dan pada tumpuan sehingga perlu perencanaan terhadap tulangan angkat pada balok. Ada dua hal

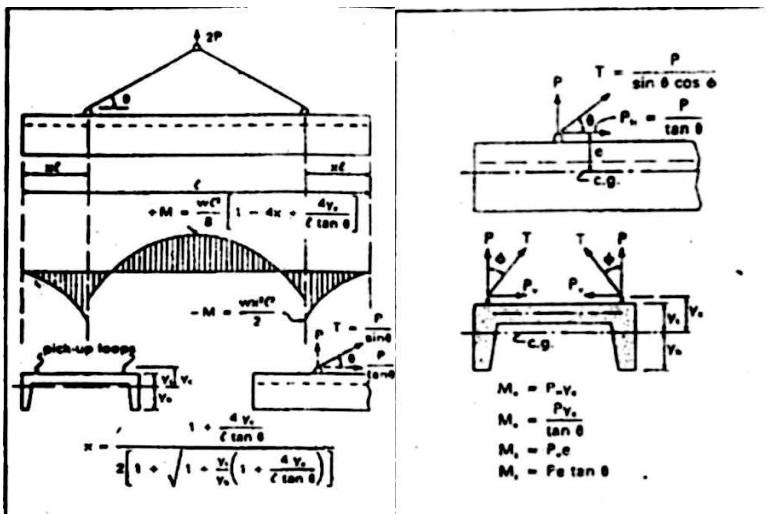
yang harus ditinjau dalam kondisi ini, yaitu kekuatan angkur pengangkatan dan kekuatan lentur penampang beton pracetak.



Gambar 3.3 Pengangkatan Balok Pracetak

Sumber: Brosur Beta Concrete Plant & Lifting Equipment, 2018

Pada saat pengangkatan balok pracetak, balok harus didesain sedemikian rupa agar tidak terjadi kerusakan. Titik pengangkatan dan kekuatan tulangan angkat harus menjamin keamanan elemen balok dari kerusakan. Titik pengangkatan balok dapat dilihat pada gambar berikut:



Gambar 3.4 Bidang Momen Balok Pracetak Saat Pengangkatan
Sumber: PCI Design Handbook, 2004

Tabel 3.9 Angka Pengali Beban Statis Ekivalen untuk Menghitung Gaya Pengangkatan dan Gaya Dinamis

| | |
|------------------------------------|-----|
| Pengangkatan dari bekisting | 1,7 |
| Pengangkatan ke tempat penyimpanan | 1,2 |
| Transportasi | 1,5 |
| Pemasangan | 1,2 |

Sumber: PCI Design Handbook, 2004

3.9.2 Penulangan Kolom

Penulangan kolom dilakukan untuk menahan momen lentur, geser, dan torsi yang dihitung berdasarkan pada ACI 318M-14 pasal 22.4, pasal 22.5, dan pasal 22.7.

3.9.2.1 Penulangan Lentur Kolom

Setelah mendapatkan hasil perhitungan dari permodelan ETABS 2016, didapatkan momen dan gaya aksial yang terjadi pada kolom tersebut. Gaya-gaya tersebut dijadikan input pada program

bantu PCACOL untuk mendapatkan tulangan lentur. Penulangan kolom akibat beban aksial tekan harus sesuai ACI 318M-14 pasal 22.4.

3.9.2.2 Penulangan Geser Kolom

Penulangan geser kolom dihitung berdasarkan persyaratan di ACI 318M-14 pasal 22.5 mengenai geser.

3.9.2.3 Penulangan Torsi Kolom

Penulangan torsi kolom dihitung berdasarkan persyaratan di ACI 318M-14 pasal 22.7 mengenai torsi.

3.9.2.4 Persyaratan *Strong Column Weak Beam*

Sesuai filosofi desain kapasitas, maka ACI 318M-14 pasal 18.7.3 mensyaratkan bahwa:

$$\Sigma M_{nc} \geq \left(\frac{6}{5}\right) \Sigma M_b \quad (3-38)$$

Dimana ΣM_{nc} adalah momen kapasitas kolom dan ΣM_{nb} merupakan momen kapasitas balok. Untuk M_{nc} didapatkan dari gaya aksial terfaktor yang menghasilkan kuat lentur terendah, sesuai dengan arah gempa yang ditinjau guna mengontrol syarat *strong column weak beam*. Setelah didapatkan jumlah tulangan kolom yang diperlukan, selanjutnya adalah mengontrol kapasitas kolom tersebut agar memenuhi persyaratan *strong column weak beam*.

3.9.2.5 Pengangkatan Kolom Pracetak

Pemasangan kolom harus diperhatikan bahwa kolom akan mengalami proses pengangkatan sehingga perlu perencanaan terhadap tulangan angkat kolom dengan tujuan untuk menghindari tegangan yang disebabkan oleh fleksibilitas dari truk saat proses transportasi. Perencanaan titik pengangkatan pada kolom sama halnya dengan perencanaan titik angkat pada balok pracetak, mengacu pada *PCI Design Handbook, Precast and Prestress Concrete 6th Edition*.

3.9.3 Penulangan Dinding Geser

3.9.3.1 Kuat Aksial Rencana

Perhitungan kuat aksial rencana dinding geser atau *shear wall* didasarkan pada ACI 318M-14 pasal 11.5.3.1.

$$P_u \leq \phi P_n \quad (3-39)$$

$$P_u \leq \phi 0,55 f'_c A_g \left[1 - \left(\frac{k l_c}{32h} \right)^2 \right] \quad (3-40)$$

3.9.3.2 Gaya Geser Dinding

Perhitungan gaya geser untuk dalam bidang dinding atau *in-plane shear* didasarkan pada ACI 318M-14 pasal 11.5.4.3.

$$V_u \leq \phi V_n \quad (3-41)$$

$$V_u \leq \phi 0,83 \sqrt{f'_c} h d \quad (3-42)$$

Dimana:

h = tebal dinding

$d = 0,8 l_w$

3.9.3.3 Kuat Geser Beton

Perhitungan kuat geser beton didasarkan pada ACI 318M-14 pasal 11.5.4.6.

$$V_c = 0,27 \lambda \sqrt{f'_c} h d + \frac{N_u d}{4 l_w} \quad (3-43)$$

Atau

$$V_c = \left[0,05 \lambda \sqrt{f'_c} + \frac{l_w (0,1 \lambda \sqrt{f'_c} + 0,2 \frac{N_u d}{4 l_w})}{\frac{M_u - l_w}{V_u}^2} \right] \quad (3-44)$$

Dari kedua persamaan V_c diatas, diambil V_c yang memiliki nilai terkecil.

Dimana:

l_w = panjang keseluruhan dinding

N_u = positif untuk gaya tekan dan negatif untuk gaya tarik

$\frac{M_u}{V_u} - \frac{l_w}{2}$ = apabila bernilai negatif, maka persamaan V_c kedua tidak dapat digunakan

3.9.3.4 Penulangan Geser Vertikal

Perhitungan penulangan geser vertikal didasarkan pada ACI 318M-14 pasal 11.6.1. Apabila dalam bidang dinding atau *in-plane* $V_u \leq 0,5 \phi V_c$, maka nilai minimum ρ_l dan ρ_t harus mengacu pada ACI 318M-14 pasal 11.6.1 yang disajikan dalam Tabel 3.10 dibawah ini dan pasal 11.6.2.

Tabel 3.10 Penulangan Minimum untuk Dinding Dalam Bidang

| $V_u \leq 0,5 \phi V_c$ | | | | | |
|-------------------------|---|------------------------|-------------|--|--|
| <i>Wall Type</i> | <i>Type of Nonprestressed Reinforcement</i> | <i>Bar / Wire Size</i> | f_y (MPa) | <i>Minimum Longitudinal</i> (ρ_l) | <i>Minimum Transverse</i> (ρ_t) |
| <i>Cast-in-place</i> | <i>Deformed bars</i> | \leq No. 16 | ≥ 420 | 0.0012 | 0.0020 |
| | | | < 420 | 0.0015 | 0.0025 |
| | $>$ No. 16 | Any | | 0.0015 | 0.0025 |
| | <i>Welded-wire reinforcement</i> | \leq MW200 or MD200 | Any | 0.0012 | 0.0020 |

Sumber: ACI 318M-14

Akan tetapi, apabila nilai $V_u \geq 0,5 \phi V_c$, maka persamaan yang berlaku ialah sebagai berikut:

$$\rho_l \geq 0,0025 + 0,5 \left(2,5 - \frac{h_w}{l_w} \right) (\rho_t - 0,0025) \quad (3-45)$$

(ACI 318M-14 pasal 11.6.2)

Dimana:

Rasio tulangan geser vertikal terhadap luas beton bruto penampang horizontal, ρ_l , tidak boleh kurang dari yang lebih besar dari persamaan pada ACI 318M-14 pasal 11.6.2 dan 0,0025. Nilai ρ_l yang dihitung tidak perlu lebih besar dari ρ_t yang terdapat pada tabel 3.9.

3.9.3.5 Penulangan Geser Horizontal

Apabila $V_u > \phi V_c$, maka tulangan geser horizontal harus disediakan untuk memenuhi persamaan berikut:

$$V_u \leq \phi V_n \quad (3-46)$$

$$V_n = V_c + V_s \quad (3-47)$$

(ACI 318M-14 pasal 11.5.4.4)

Dimana:

$$V_s = \frac{A_v f_{yt} d}{s} \quad (3-48)$$

(ACI 318M-14 pasal 11.5.4.8)

3.9.4 Penulangan Pelat

3.9.4.1 Penulangan Lentur Pelat

Sistem pelat lantai pada tugas akhir ini adalah pelat lantai dua arah yang tertumpu pada keempat sisinya. Perhitungan tulangan pelat lantai ini menggunakan ACI 318M-14 sebagai acuan dengan menentukan nilai ρ min, ρ maks, dan ρ pakai yang perhitungannya sama dengan perhitungan penulangan pelat belok. Namun pada penulangan pelat terdapat batasan pada *spacing* tulangan yaitu:

- *Critical Sections*

Nilai *spacing* tulangan pada *critical sections* diambil dengan nilai yang lebih kecil dari:

$$S \leq 450 \text{ mm}$$

$$S \leq 2h$$

(ACI 318M-14 pasal 8.7.2.2)

- *Other Sections*

Nilai *spacing* tulangan pada *sections* lainnya diambil dengan nilai yang lebih kecil dari:

$$S \leq 450 \text{ mm}$$

$$S \leq 3h$$

(ACI 318M-14 pasal 8.7.2.2)

3.9.4.2 Penulangan Susut Pelat

Perhitungan kebutuhan tulangan susut merujuk pada peraturan ACI 318M-14 pasal 24.4.3.2. Luasan tulangan susut dan suhu harus menyediakan paling sedikit memiliki rasio luas tulangan terhadap luas bruto penampang beton sebagai berikut, tetapi tidak kurang dari 0,0014:

- a. ρ_{min} pada pelat yang menggunakan batang tulangan ulir dengan tegangan leleh kurang dari 420 MPa adalah 0,0020
- b. ρ_{min} pada pelat yang menggunakan batang tulangan ulir dengan tegangan leleh sama atau lebih dari 420 MPa adalah $\frac{0,0018 \times 420}{f_y}$

3.9.4.3 Kontrol Retak Tulangan

Untuk menghindari retak-retak beton di sekitar baja tulangan, maka penggunaan tulangan lentur dengan kuat leleh melebihi 300 MPa perlu dilakukan kontrol terhadap retak sesuai ACI 318M-14 pasal 24.3.2. Jarak atau *spacing* maksimum yang diizinkan ialah yang terkecil dari:

$$s \leq 380 \left(\frac{280}{f_s} \right) - 2,5 C_c \quad (3-49)$$

$$s \leq 300 \left(\frac{280}{f_s} \right) \quad (3-50)$$

(ACI 318M-14 pasal 24.3.2 tabel 24.3.2)

3.9.4.4 Pengangkatan Pelat Pracetak

Pemasangan pelat pracetak harus diperhatikan bahwa pelat akan mengalami pengangkatan sehingga perlu perencanaan terhadap tulangan angkat untuk pelat dengan tujuan untuk menghindari tegangan yang disebabkan oleh fleksibilitas dari truk pengangkatan dalam proses transportasi kondisi yang demikian menyebabkan terjadinya momen-momen pada elemen pracetak. Pada proses pengangkatan dapat menggunakan bantuan balok angkat yang memiliki kegunaan untuk menyeimbangkan elemen pracetak pada saat pengangkatan. Jenis titik angkat pada pelat tersebut dijelaskan berikut ini:

- a. Empat Titik Angkat

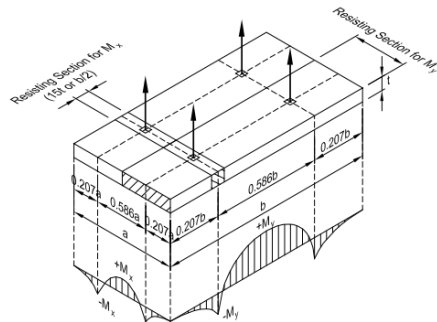
Maksimum momen pendekatan:

$$+M_x = -M_y = 0,0107 w a^2 b$$

$$+M_y = -M_x = 0,0107 w a b^2$$

Dimana:

- $W = \text{weight per unit area}$
- M_x ditahan oleh penampang dengan lebar terkecil dan $15t$ atau $b/2$
- M_y ditahan oleh penampang dengan lebar $a/2$



Gambar 3.5 Posisi Titik Angkat Pelat (4 Buah Titik Angkat)

Sumber: PCI Design Handbook, 2004

b. Delapan Titik Angkat

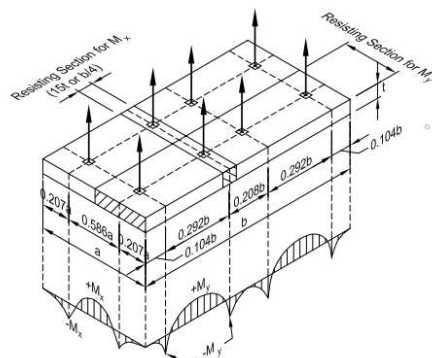
Maksimum momen pendekatan:

$$+M_x = -M_y = 0,0054 w a^2 b$$

$$+M_y = -M_x = 0,0027 w a b^2$$

Dimana:

- $W = \text{weight per unit area}$
- M_x ditahan oleh penampang dengan lebar terkecil dan $15t$ atau $b/4$
- M_y ditahan oleh penampang dengan lebar $a/2$



Gambar 3.6 Posisi Titik Angkat Pelat (8 Buah Titik Angkat)

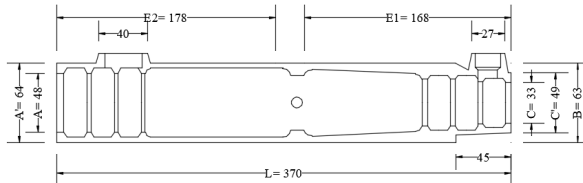
Sumber: PCI Design Handbook, 2004

3.10 Perencanaan Sambungan

Pada tugas akhir ini direncanakan sambungan antar tulangan dengan menggunakan sambungan mekanis (*mechanical splices*) yaitu dengan menggunakan produk dari Peikko group (Gambar 3.7) dan NMB Splice Sleeve (Gambar 3.8). Berdasarkan ACI 318M-14 pasal 25.5.7 dikatakan bahwa untuk memastikan kekuatan yang cukup pada sambungan sehingga kelelahan dapat terjadi pada tulangannya, maka sambungan mekanis harus direncanakan memiliki nilai 1.25 dari f_y tulangan.



Gambar 3.7 Peikko Coupler
Sumber: Brosur Modix Rebar Couplers, 2016



Gambar 3.8 NMB Splice Sleeve

Sumber: Brosur NMB Splice Sleeve, 2017

Berdasarkan ACI 318M-14 pasal 18.2.7.1, sambungan mekanis dibagi menjadi 2 tipe, yaitu:

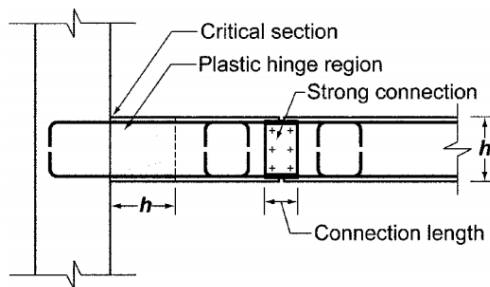
- Tipe 1

Apabila sambungan mekanis memenuhi pasal 25.5.7, yaitu memiliki kekuatan leleh $1.25 f_y$ tulangan yang digunakan.

- Tipe 2

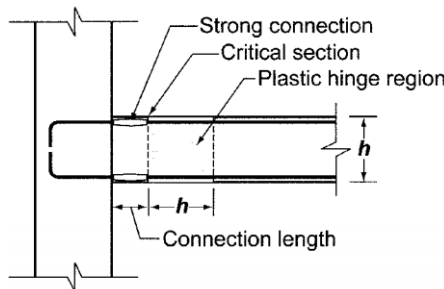
Apabila sambungan mekanis memenuhi persyaratan tipe 1 dan memiliki kuat tarik lebih dari kuat tarik tulangan yang digunakan.

Sambungan mekanis dengan tipe 1 hanya dapat digunakan di luar daerah sendi plastis seperti pada Gambar 3.9. Sementara tipe 2 dapat digunakan dimana pun sesuai dengan perencanaan seperti pada Gambar 3.10.



Gambar 3.9 Sambungan Tipe 1

Sumber: ACI 318M-14



Gambar 3.10 Sambungan Tipe 2
Sumber: ACI 318M-14

Sambungan antar komponen pracetak tidak hanya berfungsi sebagai penyalur beban tetapi juga harus mampu secara efektif mengintegrasikan komponen-komponen tersebut sehingga struktur secara keseluruhan dapat berperlaku monolit. Berdasarkan ACI 318M-14 pasal 18.9.2.1 sambungan daktail pada elemen pracetak yang tahan gempa harus memenuhi persyaratan berikut:

$$V_n \geq 2 V_e \quad (3-51)$$

Dimana:

V_n = kekuatan geser nominal

V_e = kekuatan geser aktual

Sedangkan menurut ACI 318M-14 pasal 18.9.2.2, *strong connection* pada elemen pracetak yang tahan gempa harus memenuhi persyaratan berikut:

$$\phi S_n \geq 1,4 S_e \quad (3-52)$$

Dimana:

S_n = kekuatan lentur, geser atau aksial momen sambungan

S_e = gaya lentur, gaya geser, dan gaya aksial pada sambungan yang terkait dengan pembentukan kuat rencana di lokasi leleh yang diharapkan

3.10.1 Sambungan Base Plate – Kolom / Kolom – Kolom

Untuk sambungan kolom-kolom, harus memenuhi persyaratan berikut:

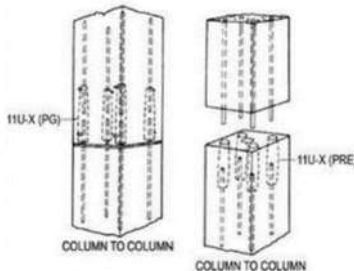
$$\phi M_n \geq 0,4 M_{pr} \quad (3-53)$$

Dimana:

M_n = kekuatan lentur nominal pada penampang

M_{pr} = kekuatan lentur mungkin komponen struktur dengan atau tanpa beban aksial

Setelah dilakukan pemancangan dan pembuatan *pile cap*, maka tulangan kolom dipasang bersamaan dengan pengecoran *pile cap*. Pada penyambungan antar kolom dengan dimensi berbeda pada dasarnya sama seperti pada proses penyambungan antar kolom dengan dimensi sama. Akan tetapi, pada tulangan panjang penyaluran pada kondisi ini lebih dilakukan penyesuaian terhadap lubang kolom yg berada di atasnya. Untuk metode penyambungannya di sini penulis menggunakan referensi dari produk *coupler sleeve* dari NMB Splice Sleeve dan SS Mortar *grouting injection*. Maka dari itu, sambungan pada kolom-kolom ini tetap diklasifikasikan dalam kategori sambungan basah (*wet connection*). Berikut adalah ilustrasi mengenai proses penyambungan antar kolom dengan menggunakan *coupler sleeve* dan *inject grouting* yang dapat dilihat pada gambar berikut:



Gambar 3.11 Pemasangan Sambungan Kolom

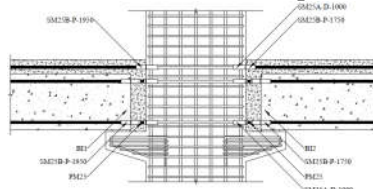
Sumber: Brosur NMB Splice Sleeve, 2017

3.10.2 Sambungan Balok – Kolom

Sambungan balok – kolom yang tahan terhadap gempa (*seismic resistant*) dapat menggunakan sambungan basah pada balok dan kolom pracetak dapat menggantikan sambungan monolit biasa (Nimse, Joshi and Patel, 2014).

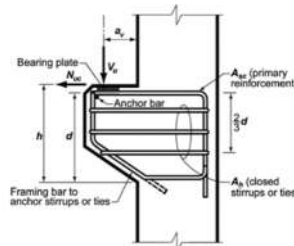
Sambungan balok dengan kolom memanfaatkan panjang penyaluran pada tulangan balok. Tulangan balok nantinya akan diteruskan atau dikaitkan ke dalam kolom. Panjang penyaluran bagian bawah akan menerima tekan dan panjang penyaluran bagian atas akan menerima tarik. Maka perhitungan panjang penyaluran dihitung dalam dua kondisi yaitu tekan dan tarik. Pada sambungan balok – kolom terdapat dua kondisi yaitu sambungan *single-sided connection* dan *double-sided connection*. Dalam perencanaan sambungan ini akan digunakan produk sambungan dari Peikko group yaitu dengan menggunakan Modix Rebar Couplers.

Pada perancangan sambungan balok dan kolom ini menggunakan konsol pendek. Balok induk diletakkan pada konsol pendek pada kolom kemudian dirangkai menjadi satu kesatuan. Perencanaan konsol berdasarkan ACI 318M-14 pasal 16.5 mengenai ketentuan khusus untuk konsol pendek.



Gambar 3.12 Detail Penulangan Balok – Kolom

Sumber: Penulis, 2019

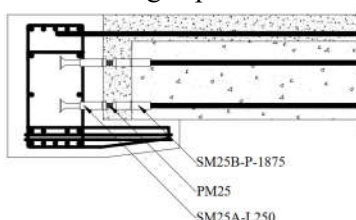


Gambar 3.13 Parameter Geometri Konsol Pendek

Sumber: ACI 318M-14

3.10.3 Sambungan Balok Induk – Balok Anak

Balok anak diletakkan menumpu pada tepi balok induk dengan ketentuan panjang landasan adalah sedikitnya 1/180 kali bentang bersih komponen pelat pracetak, tetapi tidak boleh kurang dari 75 mm. Demikian dengan sambungan pada balok induk ke tangga. Untuk membuat integritas struktur, maka tulangan utama balok anak baik yang tulangan atas maupun bawah dibuat menerus atau dengan kait standar yang pendetailannya sesuai dengan aturan ACI 318M-14 pasal 8.11.3. Dalam perancangan sambungan balok induk dengan balok anak digunakan konsol pada balok induk. Balok anak diletakkan pada konsol pendek pada balok induk, kemudian dirangkai menjadi satu kesatuan. Perencanaan konsol pada balok induk ini sama dengan perencanaan konsol pada kolom.



Gambar 3.14 Sambungan Balok Induk – Balok Anak

Sumber: Penulis, 2018

3.10.4 Sambungan Balok – Pelat

Hal yang penting dalam sambungan termasuk sambungan balok – pelat ialah sambungan yang memiliki sifat kaku, monolit, dan terintegrasi pada elemen-elemen ini, maka harus dipastikan gaya-gaya yang bekerja pada pelat pracetak dapat tersalurkan dengan baik pada elemen balok. Hal ini dapat dilakukan dengan cara-cara sebagai berikut:

- Kombinasi dengan beton cor di tempat (*topping*), dimana permukaan pelat pracetak dan beton pracetak dikasarkan dengan amplitudo 5 mm.
- Pendetailan tulangan sambungan yang dihubungkan atau diikat secara efektif menjadi satu kesatuan, sesuai dengan aturan yang diberikan.

- *Grouting* pada tumpuan atau bidang kontak antara pelat pracetak dengan balok pracetak.



Gambar 3.15 Sambungan Balok – Pelat

Sumber: Setiamanah, 2016

3.11 Perencanaan *Basement*

Basement merupakan suatu ruang yang letaknya berada di bawah permukaan tanah. Dinding *basement* sendiri berfungsi sebagai *retaining wall* atau dinding penahan tanah. Oleh karena itu, dinding *basement* harus dirancang sedemikian rupa agar kokoh dan kuat dalam menahan beban akibat tekanan tanah dan air. Akan tetapi, pada tugas akhir ini penulis merencanakan untuk menggunakan tiang pancang sebagai penahan tekanan tanah dan air sehingga dinding *basement* tidak lagi berfungsi sebagai *retaining wall*. Ketebalan dinding beton *basement* minimal 190 mm sesuai dengan ACI 318M-14 pasal 11.3.1.1.

Struktur *basement* direncanakan menggunakan material beton bertulang dengan sistem cor dilokasi. Adapun persyaratan yang lain sebagai berikut:

a. Penulangan Dinding *Basement*

Penulangan dinding *basement* dihitung sesuai dengan peraturan dalam ACI 318M-14 pasal 11.5.

b. Kontrol Ketebalan Dinding *Basement*

Ketebalan dinding *basement* dikontrol sesuai dengan yang telah diatur dalam ACI 318M-14 pasal 11.3.1.1.

c. Pelat Lantai *Basement*

Elevasi air tanah diasumsikan pada kondisi yang paling berbahaya, yaitu sama dengan permukaan tanah.

Penulangan pelat lantai *basement* dihitung sesuai dengan yang telah diatur dalam ACI 318M-14 pasal 8.7.

3.12 Perencanaan Pondasi

Dalam suatu bangunan, beban yang diterima oleh struktur atas akan disalurkan ke tanah melalui struktur bawah, yaitu pondasi. Pada tugas akhir ini, penulis merencanakan menggunakan pondasi dalam yaitu pondasi tiang pancang dengan beton pracetak. Perhitungan daya dukung tanah vertikal menggunakan formula dari *Luciano Decourt*.

3.12.1 Daya Dukung Tiang Pancang Vertikal

Formula daya dukung tiang pancang vertikal yang diberikan oleh Luciano Decourt ialah:

$$Q_L = Q_P + Q_S \quad (3-54)$$

$$q_p = N_p + K \quad (3-55)$$

$$Q_S = q_s A_s \quad (3-56)$$

$$Q_S = \left(\frac{N_s}{3} + 1 \right) A_s \quad (3-57)$$

3.12.2 Perhitungan Jumlah Tiang Pancang

Banyaknya kebutuhan tiang pancang yang akan digunakan pada perencanaan gedung ini berdasarkan pada rumusan berikut:

$$n = \frac{\sum P_u}{P_{ijin}} \quad (3-58)$$

$$S \geq \frac{1,57(D)_{min} - 2D}{m+n-2} \quad (3-59)$$

3.12.2.1 Efisiensi Tiang Pancang

$$\eta = 1 - \theta \frac{(n-1)m + (m-1)n}{90 m n} \quad (3-60)$$

Dimana:

$$\theta = \arctg \left(\frac{D}{S} \right) \quad (3-61)$$

$$P_{max} = \frac{\sum P_u}{n} + \frac{My X_{max}}{\sum x^2} + \frac{Mx Y_{max}}{\sum y^2} \quad (3-62)$$

$$P_{ult} = \text{efisiensi tiang} \times P_{u1} \text{ tiang berdiri} \quad (3-63)$$

3.12.2.2 Kontrol Kekuatan Tiang Pancang

$$P_{ult} \geq P_{perlu} \quad (3-64)$$

$$P_{ult} = P_{max} \quad (3-65)$$

3.12.2.3 Kontrol Geser Ponds pada Poer

Pada saat merencanakan ketebalan poer, ada syarat yang harus terpenuhi, yaitu kekuatan geser nominal harus lebih besar dari kekuatan geser pons yang terjadi. Perhitungan kuat geser didasarkan pada ACI 318M-14 pasal 22.6.5.2 dimana nilai kuat geser yang disumbangkan beton diambil yang terkecil dari:

Tabel 3.11 Nilai V_c untuk *Two-Way Shear*

| V_c | |
|--------------------|---|
| Yang terkecil dari | $0,33 \lambda \sqrt{f'_c}$ |
| | $0,17 \left(1 + \frac{2}{\beta}\right) \lambda \sqrt{f'_c}$ |
| | $0,083 \left(2 + \frac{\alpha_s d}{b_0}\right) \lambda \sqrt{f'_c}$ |

Sumber: ACI 318M-14

Dimana:

β = rasio sisi panjang terhadap sisi pendek pada kolom

b_0 = *critical perimeter* pada poer

$$= 2(b_{kolom} + d) + 2(h_{kolom} + d)$$

α_s = 40 (untuk kolom interior)

= 30 (untuk kolom tepi)

= 20 (untuk kolom pojok)

Ketebalan dan ukuran poer dikatakan memenuhi syarat terhadap geser apabila:

$$P_u < \phi V_c \quad (3-66)$$

3.13 Gambar Teknik

Penggambaran hasil perencanaan dan perhitungan menggunakan program bantu AutoCAD. Hasil penggambaran akan terlampir pada lampiran.

BAB IV

PEMBAHASAN

4.1 Preliminary Design

Preliminary design merupakan proses perencanaan awal yang akan digunakan untuk merencanakan dimensi struktur gedung. Perencanaan awal dilakukan menurut peraturan yang ada. *Preliminary design* yang dilakukan terhadap komponen struktur antara lain balok induk, balok anak, pelat, dan kolom. Sebelum melakukan *preliminary design* sebaiknya dilakukan penentuan data perencanaan dan beban yang akan diterima oleh struktur gedung.

4.1.1 Perencanaan Dimensi Balok

4.1.1.1 Perencanaan Dimensi Balok Induk

Dimensi balok induk direncanakan dengan:

$$h_{\min} = \frac{L}{16}$$

$$b = \frac{2}{3}h$$

Dimana:

L = panjang balok

h = tinggi balok

b = lebar balok

Berikut adalah contoh perhitungan perencanaan dimensi balok induk:

- Balok Induk (BI 1), L = 7.8 m

$$h_{\min} = \frac{L}{16} = \frac{7.8}{16} = 0.49$$

$$\approx 0.50 \text{ m}$$

$$b = \frac{2}{3}h = \frac{2}{3} \times 0.50 = 0.33$$

$$\approx 0.35 \text{ m}$$

Dalam perencanaan beton pracetak, diutamakan dimensi elemen yang tipikal. Maka digunakan balok induk (BI 1) dengan dimensi 40/70 cm.

Berikut merupakan tabel rekapitulasi perhitungan dimensi balok induk menurut variasi bentang yang terdapat pada Tabel 4.1:

Tabel 4.1 Rekapitulasi Perhitungan Dimensi Balok Induk

| Tipe Balok | Bentang (m) | Balok Induk | | Dimensi Balok (cm) | |
|------------|-------------|-------------------|------|--------------------|-------|
| | | Dimensi Balok (m) | | b | h |
| | | b | h | | |
| BI 1 | 7.80 | 0.33 | 0.49 | 40.00 | 70.00 |
| BI 2 | 7.00 | 0.29 | 0.44 | 40.00 | 70.00 |
| BI 3 | 10.50 | 0.44 | 0.66 | 50.00 | 75.00 |
| BI 4 | 5.50 | 0.23 | 0.34 | 40.00 | 70.00 |
| BI 5 | 7.50 | 0.31 | 0.47 | 40.00 | 70.00 |
| BI 6 | 3.50 | 0.15 | 0.22 | 40.00 | 70.00 |

4.1.1.2 Perencanaan Dimensi Balok Anak

Dimensi balok anak direncanakan dengan:

$$h_{\min} = \frac{L}{21}$$

$$b = \frac{2}{3}h$$

Dimana:

L = panjang balok

h = tinggi balok

b = lebar balok

Berikut adalah contoh perhitungan perencanaan dimensi balok anak:

- Balok Anak (BA 1), L = 7.5 m

$$h_{\min} = \frac{L}{21} = \frac{7.5}{21} = 0.36$$

$$\approx 0.40 \text{ m}$$

$$b = \frac{2}{3}h = \frac{2}{3} \times 0.40 = 0.24$$

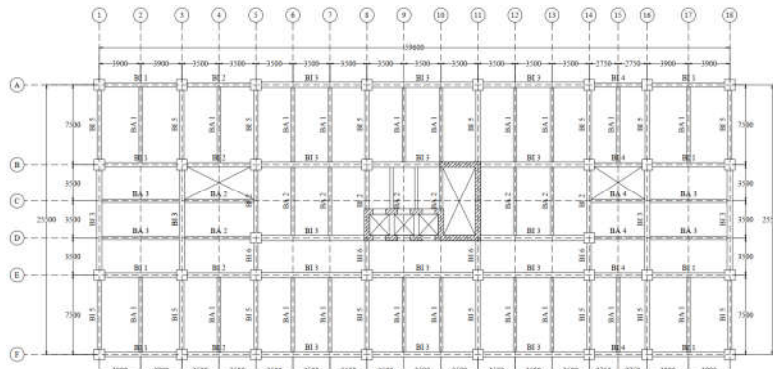
$$\approx 0.25 \text{ m}$$

Dalam perencanaan beton pracetak, diutamakan dimensi elemen yang tipikal. Maka digunakan balok anak (BA 1) dengan dimensi 30/55 cm.

Berikut merupakan tabel rekapitulasi perhitungan dimensi balok anak menurut variasi bentang yang terdapat pada Tabel 4.2:

Tabel 4.2 Rekapitulasi Perhitungan Dimensi Balok Anak

| Tipe Balok | Bentang (m) | Dimensi Balok (m) | | Dimensi Balok (cm) | |
|------------|-------------|-------------------|------|--------------------|-------|
| | | b | h | b | h |
| | | 7.50 | 0.24 | 30.00 | 55.00 |
| BA 2 | 7.00 | 0.22 | 0.33 | 30.00 | 55.00 |
| BA 3 | 7.80 | 0.25 | 0.37 | 30.00 | 55.00 |
| BA 4 | 5.50 | 0.17 | 0.26 | 30.00 | 55.00 |



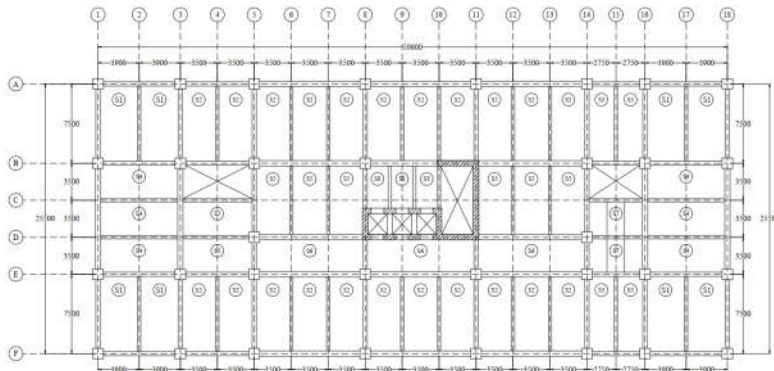
Gambar 4.1 Denah Balok Rencana

4.1.2 Perencanaan Dimensi Pelat

Pada perencanaan gedung Apartemen Tower 2 The Arundaya Surabaya ini, pelat yang direncanakan hanya menggunakan 1 jenis pelat, yaitu pelat satu arah.

Pelat satu arah merupakan pelat yang rasio panjang dan lebarnya (β) lebih dari atau sama dengan 2. Pada pelat satu arah, pembebanan yang diterima akan diteruskan pada balok-balok pemikul bagian yang lebih panjang dan hanya sebagian kecil saja

yang akan diteruskan pada gelagar pemikul bagian yang lebih pendek. Penentuan tebal pelat satu arah telah dibahas pada subbab 3.5.1.



Gambar 4.2 Denah Pelat Rencana

Berikut adalah contoh perhitungan perencanaan dimensi pelat:

- Pelat Tipe S3

Dimensi pelat = 275 x 750 cm

Tebal pelat rencana = 14 cm

$$Ln = 750 - \left(\frac{40 + 40}{2} \right) = 710 \text{ cm}$$

$$Sn = 275 - \left(\frac{40 + 30}{2} \right) = 240 \text{ cm}$$

$$\beta = \frac{Ln}{Sn} = \frac{710}{240} = 2.96 > 2 \text{ (Pelat 1 Arah)}$$

$$h_{\min} = \frac{L}{20} = \frac{275}{20} = 13.75 \text{ cm}$$

Sehingga direncanakan tebal pelat lantai dan atap menggunakan tebal 14 cm.

- Pelat Tipe S4

Dimensi pelat = 350 x 780 cm

Tebal pelat rencana = 14 cm

$$Ln = 780 - \left(\frac{50 + 50}{2} \right) = 730 \text{ cm}$$

$$S_n = 350 - \left(\frac{30 + 40}{2} \right) = 315 \text{ cm}$$

$$\beta = \frac{L_n}{S_n} = \frac{730}{315} = 2.32 > 2 \text{ (Pelat 1 Arah)}$$

$$h_{\min} = \frac{L}{20} = \frac{350}{20} = 17.50 \text{ cm}$$

Karena masih dalam tahap *preliminary design*, maka tebal pelat yang direncanakan boleh sedikit diatas maupun dibawah dari tebal minimum yang dihitung diatas. Maka direncanakan tebal pelat lantai dan atap untuk tipe S3 juga menggunakan tebal 14 cm.

Berikut merupakan tabel rekapitulasi perhitungan tebal pelat menurut variasi tipe pelat yang terdapat pada Tabel 4.3:

Tabel 4.3 Rekapitulasi Tebal Pelat Lantai dan Atap

| Tipe Pelat | Dimensi Pelat (cm) | | | | | Tipe Arah | Tebal (cm) | Tebal Rencana (cm) |
|------------|--------------------|------|----------------|----------------|---------|-----------|------------|--------------------|
| | P | I | L _n | S _n | β | | | |
| S1 | 390 | 750 | 710 | 355 | 2.00 | 1 | 19.50 | 14 |
| S2 | 350 | 750 | 700 | 320 | 2.19 | 1 | 17.50 | 14 |
| S3 | 275 | 750 | 710 | 240 | 2.96 | 1 | 13.75 | 14 |
| S4 | 350 | 780 | 730 | 315 | 2.32 | 1 | 17.50 | 14 |
| S5 | 350 | 700 | 650 | 315 | 2.06 | 1 | 17.50 | 14 |
| S6 | 350 | 1050 | 1010 | 300 | 3.37 | 1 | 17.50 | 14 |
| S7 | 165 | 330 | 330 | 165 | 2.00 | 1 | 8.25 | 14 |
| S8 | 235 | 450 | 400 | 200 | 2.00 | 1 | 11.75 | 14 |

4.1.3 Perencanaan Dimensi Kolom

Kolom yang direncanakan harus mampu memikul beban aksial terfaktor yang bekerja pada semua lantai atau atap dan momen maksimum dari beban terfaktor pada satu bentang terdekat dari lantai atau atap yang ditinjau.

Pada Gambar 4.3, terlihat kolom yang akan direncanakan memikul beban pada luasan pelat ukuran 10.5 x 7.25 meter dari seperempat masing-masing luasan pelat yang diatasnya.

Direncanakan data-data sebagai berikut:

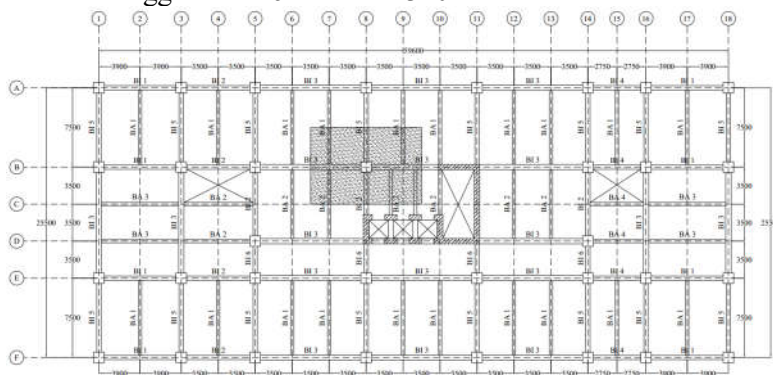
Tebal Pelat : 14 cm

Tinggi Lantai *Basement* : 350 cm

Tinggi Lantai 1 – 4 : 350 cm

Tinggi Lantai 5 : 500 cm

Tinggi Lantai 6 – 12 : 320 cm



Gambar 4.3 Kolom Tinjau Desain Awal

Pembebaan pada kolom berdasarkan ASCE/SEI 7-16 untuk beban hidup dan PPIUG 1983 untuk beban mati, yang diberikan di setiap lantai sebagai perencanaan pembebaan kolom. Untuk efisiensi dan keefektifan dimensi struktur dibuat beberapa variasi kolom. Pada tugas akhir ini, direncanakan 3 tipe kolom yaitu tipe kolom 1 untuk lantai 1 – 5 dan tipe kolom 2 untuk lantai 6 dan tipe kolom 3 untuk lantai 7 – 12 (atap).

Untuk beban hidup kolom diijinkan untuk beban hidup tereduksi berdasarkan ASCE/SEI 7-16 pasal 4.7 dan 4.8 dengan syarat komponen struktur yang memiliki $K_{LL} \cdot A_T \geq 37.16 \text{ m}^2$ dapat dihitung dengan cara sebagai berikut:

$$A_T = 10.5 \times 7.25 = 76.13 \text{ m}^2$$

$$K_{LL} = 4$$

$$K_{LL} \times A_T = 76.13 \times 4 = 304.5 \text{ m}^2 \geq 37.16 \text{ m}^2 (\text{OK})$$

Berikut contoh perhitungan reduksi beban hidup pada pelat lantai atap dan pelat lantai lainnya:

- Reduksi beban hidup pelat lantai atap

$$R_1 = 0.6 \text{ (untuk } A_T \geq 55.74 \text{ m}^2\text{)}$$

$$R_2 = 1 \text{ (untuk atap datar)}$$

$$L_r = L_0 \times R_1 \times R_2 = 96 \times 0.6 \times 1 = 57.6 \text{ kg/m}^2$$

- Reduksi beban hidup pelat lantai koridor

$$L_0 = 479 \text{ kg/m}^2$$

$$L = 479 \left(0.25 + \frac{4.57}{\sqrt{K_{LL}A_T}} \right) \geq 0.4 L_0$$

$$L = 479 \left(0.25 + \frac{4.57}{\sqrt{304.5}} \right) \geq 0.4 (479)$$

$$L = 245.20 \geq 191.60 \text{ kg/m}^2$$

- Reduksi beban hidup pelat lantai hunian ruang

$$L_0 = 192 \text{ kg/m}^2$$

$$L = 192 \left(0.25 + \frac{4.57}{\sqrt{K_{LL}A_T}} \right) \geq 0.4 L_0$$

$$L = 192 \left(0.25 + \frac{4.57}{\sqrt{304.5}} \right) \geq 0.4 (192)$$

$$L = 98.28 \geq 76.8 \text{ kg/m}^2 \text{ (OK)}$$

Berikut adalah tabel pembebatan pada kolom yang ditinjau sebagai *preliminary design*:

Tabel 4.4 Beban yang diterima Kolom untuk Lt. 6 – Lt. 12

| Pelat Lt. 12 (Atap) | | | | | | |
|-------------------------|---------------|-------------------|-------|-------|-------|------------|
| Beban Mati | Berat Sendiri | Satuan | b (m) | L (m) | t (m) | Berat (kg) |
| Pelat Lantai 12 (14 cm) | 2400 | kg/m ³ | 10.5 | 7.25 | 0.14 | 25578.00 |
| Aspal | 14 | kg/m ² | 10.5 | 7.25 | | 1065.75 |
| Spesi (1 cm) | 21 | kg/m ³ | 10.5 | 7.25 | | 1598.63 |
| Plafon | 11 | kg/m ² | 10.5 | 7.25 | | 837.38 |
| Penggantung | 7 | kg/m ² | 10.5 | 7.25 | | 532.88 |
| Ducting dan Plumbing | 30 | kg/m ² | 10.5 | 7.25 | | 2283.75 |
| BI 3 | 2400 | kg/m ³ | 0.5 | 5.25 | 0.75 | 4725.00 |
| BI 3 | 2400 | kg/m ³ | 0.5 | 5.25 | 0.75 | 4725.00 |
| BI 5 | 2400 | kg/m ³ | 0.4 | 3.75 | 0.7 | 2520.00 |
| BI 2 | 2400 | kg/m ³ | 0.4 | 3.5 | 0.7 | 2352.00 |

Pelat Lt. 6-11

| Beban Mati | Berat Sendiri | Satuan | b (m) | L (m) | t (m) | Berat (kg) |
|----------------------|---------------|-------------------|-------|-------|-------|------------|
| Pelat Lantai (14 cm) | 2400 | kg/m ³ | 10.5 | 7.25 | 0.14 | 25578.00 |
| Plafon | 11 | kg/m ² | 10.5 | 7.25 | | 837.38 |
| Penggantung | 7 | kg/m ² | 10.5 | 7.25 | | 532.88 |
| Ducting dan Plumbing | 30 | kg/m ² | 10.5 | 7.25 | | 2283.75 |
| Keramik | 24 | kg/m ² | 10.5 | 7.25 | | 1827.00 |
| Spesi (1 cm) | 21 | kg/m ³ | 10.5 | 7.25 | | 1598.63 |
| Dinding Bata Ringan | 100 | kg/m ² | 27.7 | | 3.2 | 8864.00 |
| Kolom 80/80 | 2400 | kg/m ³ | 0.8 | 0.8 | 3.2 | 4915.20 |
| BI 3 | 2400 | kg/m ³ | 0.5 | 5.25 | 0.75 | 4725.00 |
| BI 3 | 2400 | kg/m ³ | 0.5 | 5.25 | 0.75 | 4725.00 |
| BI 5 | 2400 | kg/m ³ | 0.4 | 3.75 | 0.7 | 2520.00 |
| BI 2 | 2400 | kg/m ³ | 0.4 | 3.5 | 0.7 | 2352.00 |
| BA 2 | 2400 | kg/m ³ | 0.3 | 3.5 | 0.55 | 1386.00 |
| BA 2 | 2400 | kg/m ³ | 0.3 | 3.5 | 0.55 | 1386.00 |
| BA 2 | 2400 | kg/m ³ | 0.3 | 3.5 | 0.55 | 1386.00 |
| BA 1 | 2400 | kg/m ³ | 0.3 | 3.75 | 0.55 | 1485.00 |
| BA 1 | 2400 | kg/m ³ | 0.3 | 3.75 | 0.55 | 1485.00 |

| Beban Hidup | Berat Sendiri | Satuan | b (m) | L (m) | t (m) | Berat (kg) |
|------------------|---------------|-------------------|-------|-------|-------|------------|
| Koridor Ruang | 245.20 | kg/m ² | 10.5 | 2.1 | | 5406.58 |
| Koridor Lift | 245.20 | kg/m ² | 5.25 | 3.5 | | 4505.48 |
| Kamar (Atas) | 98.28 | kg/m ² | 10.5 | 1.65 | | 1702.76 |
| Kamar (Bawah) | 98.28 | kg/m ² | 3.5 | 5.25 | | 1805.96 |
| W _L = | | | | | | 13420.78 |

Jadi berat total yang diterima satu kolom:

$$W_{DL} = 53346.38 (1) + 67886.83 (6) = 460667.33 \text{ kg}$$

$$W_{LL} = 5907.30 (1) + 13420.78 (6) = 86431.96 \text{ kg}$$

$$W = 1.2W_{DL} + 1.6W_{LL} = 691091.93 \text{ kg}$$

$$f'_c = 40 \text{ MPa}$$

$$A = \frac{W}{\phi f'_c} = \frac{3(691091.93)}{400} = 5183.19 \text{ cm}^2$$

Direncanakan:

$$b = h$$

$$b = h = 5183.19^{0.5} = 71.99 \text{ cm}$$

Maka direncanakan kolom dengan ukuran 80/80 cm untuk lantai 6 – lantai 12.

Tabel 4.5 Beban yang diterima Kolom untuk Lt. 1 – Lt. 5

| Pelat Lt. 5 | | | | | | |
|----------------------|---------------|-------------------|-------|-------|-------|------------|
| Beban Mati | Berat Sendiri | Satuan | b (m) | L (m) | t (m) | Berat (kg) |
| Pelat Lantai (14 cm) | 2400 | kg/m ³ | 10.5 | 7.25 | 0.14 | 25578.00 |
| Plafon | 11 | kg/m ² | 10.5 | 7.25 | | 837.38 |
| Penggantung | 7 | kg/m ² | 10.5 | 7.25 | | 532.88 |
| Ducting dan Plumbing | 30 | kg/m ² | 10.5 | 7.25 | | 2283.75 |
| Keramik | 24 | kg/m ² | 10.5 | 7.25 | | 1827.00 |
| Spesi (1 cm) | 21 | kg/m ³ | 10.5 | 7.25 | | 1598.63 |

| | | | | | | |
|-------------------------|------------------|-------------------|-------|-------|-------|------------|
| Dinding Bata Ringan | 100 | kg/m ² | 20.9 | | 5 | 10450.00 |
| Kolom 80/80 | 2400 | kg/m ³ | 0.8 | 0.8 | 5 | 7680.00 |
| BI 3 | 2400 | kg/m ³ | 0.5 | 5.25 | 0.75 | 4725.00 |
| BI 3 | 2400 | kg/m ³ | 0.5 | 5.25 | 0.75 | 4725.00 |
| BI 5 | 2400 | kg/m ³ | 0.4 | 3.75 | 0.7 | 2520.00 |
| BI 2 | 2400 | kg/m ³ | 0.4 | 3.5 | 0.7 | 2352.00 |
| BA 2 | 2400 | kg/m ³ | 0.3 | 3.5 | 0.55 | 1386.00 |
| BA 2 | 2400 | kg/m ³ | 0.3 | 3.5 | 0.55 | 1386.00 |
| BA 2 | 2400 | kg/m ³ | 0.3 | 3.5 | 0.55 | 1386.00 |
| BA 1 | 2400 | kg/m ³ | 0.3 | 3.75 | 0.55 | 1485.00 |
| BA 1 | 2400 | kg/m ³ | 0.3 | 3.75 | 0.55 | 1485.00 |
| W _D = | | | | | | 72237.63 |
| Beban Hidup | Berat Sendiri | Satuan | b (m) | L (m) | t (m) | Berat (kg) |
| Koridor Ruang | 245.20 | kg/m ² | 10.5 | 2.1 | | 5406.58 |
| Koridor Lift | 245.20 | kg/m ² | 5.25 | 3.5 | | 4505.48 |
| Spa | 479.00 | kg/m ² | 5.25 | 1.65 | | 4149.34 |
| H&B Treatments | 479.00 | kg/m ² | 5.25 | 1.65 | | 4149.34 |
| Café | 479.00 | kg/m ² | 3.5 | 5.25 | | 8801.63 |
| W _L = | | | | | | 27012.36 |
| Pelat Lt. 2-4 | | | | | | |
| Beban Mati | Berat Sendiri | Satuan | b (m) | L (m) | t (m) | Berat (kg) |
| Pelat Lantai (14 cm) | 2400 | kg/m ³ | 10.5 | 7.25 | 0.14 | 25578.00 |
| Plafon | 11 | kg/m ² | 10.5 | 7.25 | | 837.38 |
| Penggantung | 7 | kg/m ² | 10.5 | 7.25 | | 532.88 |
| Ducting dan Plumbing | 30 | kg/m ² | 10.5 | 7.25 | | 2283.75 |
| Keramik | 24 | kg/m ² | 10.5 | 7.25 | | 1827.00 |
| Spesi (1 cm) | 21 | kg/m ³ | 10.5 | 7.25 | | 1598.63 |
| Dinding Bata Ringan | 100 | kg/m ² | 27.7 | | 3.5 | 9695.00 |

| | | | | | | |
|-------------------------|------------------|-------------------|-------|-------|-------|------------|
| Kolom 100/100 | 2400 | kg/m ³ | 1 | 1 | 3.5 | 8400.00 |
| BI 3 | 2400 | kg/m ³ | 0.5 | 5.25 | 0.75 | 4725.00 |
| BI 3 | 2400 | kg/m ³ | 0.5 | 5.25 | 0.75 | 4725.00 |
| BI 5 | 2400 | kg/m ³ | 0.4 | 3.75 | 0.7 | 2520.00 |
| BI 2 | 2400 | kg/m ³ | 0.4 | 3.5 | 0.7 | 2352.00 |
| BA 2 | 2400 | kg/m ³ | 0.3 | 3.5 | 0.55 | 1386.00 |
| BA 2 | 2400 | kg/m ³ | 0.3 | 3.5 | 0.55 | 1386.00 |
| BA 2 | 2400 | kg/m ³ | 0.3 | 3.5 | 0.55 | 1386.00 |
| BA 1 | 2400 | kg/m ³ | 0.3 | 3.75 | 0.55 | 1485.00 |
| BA 1 | 2400 | kg/m ³ | 0.3 | 3.75 | 0.55 | 1485.00 |
| $W_D =$ | | | | | | 72202.63 |
| Beban Hidup | Berat Sendiri | Satuan | b (m) | L (m) | t (m) | Berat (kg) |
| Koridor Ruang | 245.20 | kg/m ² | 10.5 | 2.1 | | 5406.58 |
| Koridor Lift | 245.20 | kg/m ² | 5.25 | 3.5 | | 4505.48 |
| Kamar (Atas) | 98.28 | kg/m ² | 10.5 | 1.65 | | 1702.76 |
| Kamar (Bawah) | 98.28 | kg/m ² | 3.5 | 5.25 | | 1805.96 |
| $W_L =$ | | | | | | 13420.78 |
| Pelat Lt. 1 | | | | | | |
| Beban Mati | Berat Sendiri | Satuan | b (m) | L (m) | t (m) | Berat (kg) |
| Pelat Lantai (14 cm) | 2400 | kg/m ³ | 10.5 | 7.25 | 0.14 | 25578.00 |
| Plafon | 11 | kg/m ² | 10.5 | 7.25 | | 837.38 |
| Penggantung | 7 | kg/m ² | 10.5 | 7.25 | | 532.88 |
| Ducting dan Plumbing | 30 | kg/m ² | 10.5 | 7.25 | | 2283.75 |
| Keramik | 24 | kg/m ² | 10.5 | 7.25 | | 1827.00 |
| Spesi (1 cm) | 21 | kg/m ² | 10.5 | 7.25 | | 1598.63 |
| Dinding Bata Ringan | 100 | kg/m ² | 8.75 | | 3.5 | 3062.50 |
| Kolom 100/100 | 2400 | kg/m ³ | 1 | 1 | 3.5 | 8400.00 |

| BI 3 | 2400 | kg/m ³ | 0.5 | 5.25 | 0.75 | 4725.00 |
|------------------|---------------|-------------------|-------|-------|-------|------------|
| BI 3 | 2400 | kg/m ³ | 0.5 | 5.25 | 0.75 | 4725.00 |
| BI 5 | 2400 | kg/m ³ | 0.4 | 3.75 | 0.7 | 2520.00 |
| BI 2 | 2400 | kg/m ³ | 0.4 | 3.5 | 0.7 | 2352.00 |
| BA 2 | 2400 | kg/m ³ | 0.3 | 3.5 | 0.55 | 1386.00 |
| BA 2 | 2400 | kg/m ³ | 0.3 | 3.5 | 0.55 | 1386.00 |
| BA 2 | 2400 | kg/m ³ | 0.3 | 3.5 | 0.55 | 1386.00 |
| BA 1 | 2400 | kg/m ³ | 0.3 | 3.75 | 0.55 | 1485.00 |
| BA 1 | 2400 | kg/m ³ | 0.3 | 3.75 | 0.55 | 1485.00 |
| W _D = | | | | | | 65570.13 |
| Beban Hidup | Berat Sendiri | Satuan | b (m) | L (m) | t (m) | Berat (kg) |
| <i>Lobby</i> | 245.20 | kg/m ² | 10.5 | 3.75 | | 9654.61 |
| Koridor Lift | 245.20 | kg/m ² | 5.25 | 3.5 | | 4505.48 |
| <i>Office</i> | 122.85 | kg/m ² | 5.25 | 3.5 | | 2257.44 |
| W _L = | | | | | | 16417.53 |

Jadi berat total yang diterima satu kolom:

$$W_{DL} = 460667.33 + 72237.63 (1) + 72202.63 (3) + 65570.13 (1)$$

$$W_{DL} = 815082.95 \text{ kg}$$

$$W_{LL} = 86431.96 + 27012.36 (1) + 13420.78 (3) + 16417.53 (1)$$

$$W_{LL} = 170124.19 \text{ kg}$$

$$W = 1.2W_{DL} + 1.6W_{LL} = 1250298.24 \text{ kg}$$

$$f'_c = 45 \text{ MPa}$$

$$A = \frac{W}{\phi f'_c} = \frac{3(1250298.24)}{450} = 8335.32 \text{ cm}^2$$

Direncanakan:

$$b = h$$

$$b = h = 8335.32^{0.5} = 91.30 \text{ cm}$$

Maka direncanakan kolom dengan ukuran 100/100 cm untuk lantai 1 – lantai 5.

4.1.4 Perencanaan Dimensi Dinding Geser

Menurut ACI 318M-14 pasal 11.3.1.1, ketebalan dinding pendukung tidak boleh kurang dari 1/25 tinggi atau panjang

bentang tertumpu, yang lebih pendek atau kurang dari 100 mm. Direncanakan:

| | |
|-----------------------------|-----------|
| Tebal rencana dinding geser | = 50 cm |
| Panjang bentang | = 1050 cm |
| Tinggi lantai | = 500 cm |

Kontrol:

$$H/25 = 500/25 = 20 \text{ cm} < 50 \text{ cm (OK)}$$

$$L/25 = 1000/25 = 40 \text{ cm} < 50 \text{ cm (OK)}$$

Jadi, tebal *shear wall* sebesar 50 cm telah memenuhi syarat ACI 318M-14 pasal 11.3.1.1.

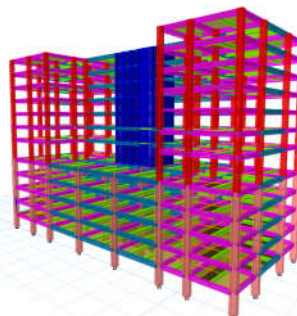
4.2 Pembebaan dan Analisa Struktur

4.2.1 Umum

Dalam perencanaan gedung bertingkat perlu dilakukan adanya perencanaan pembebaan gravitasi maupun pembebaan gempa. Hal ini bertujuan agar struktur gedung tersebut mampu untuk memikul beban yang terjadi. Pembebaan gravitasi mengacu pada ketentuan ASCE/SEI 7-16, PPIUG 1983, dan ACI 318M-14 serta pembebaan gempa mengacu pada SNI 1726:2012.

4.2.2 Permodelan Struktur

Dalam perhitungan analisis beban gempa perlu suatu permodelan struktur, dimana struktur gedung Apartemen Tower 2 The Arundaya Surabaya memiliki bentuk yang tidak beraturan, sehingga harus dilakukan analisa dengan menggunakan analisa respon dinamik. Struktur gedung Apartemen Tower 2 The Arundaya Surabaya dalam tugas akhir ini dimodifikasi sehingga memiliki total 12 lantai dan 1 lantai *basement*, tinggi total gedung ± 41.70 meter (Gambar 4.4).



Gambar 4.4 Permodelan Struktur pada ETABS

4.2.3 Pembebanan Gravitasi

Data-data perencanaan pembebalan gedung Apartemen Tower 2 The Arundaya Surabaya yang digunakan adalah sebagai berikut:

- Input Beban Sendiri
- Mutu Beton (f_c')
 - Balok = 35 MPa
 - Kolom
 - Lantai 1 – Lantai 5 = 40 MPa
 - Lantai 6 – Lantai 12 (atap) = 45 MPa
- Mutu Baja (f_y) = 420 MPa
- Ketinggian Lantai
 - Lantai Basement – Lantai 5 = 3.5 m
 - Lantai 5 – Lantai 6 = 5 m
 - Lantai 6 – Lantai 12 (atap) = 3.2 m
- Dimensi Balok
 - Balok Induk (BI)
 - BI 1, BI 2, BI 4, BI 5 = 40 x 70 cm
 - BI 3 = 50 x 75 cm
 - Balok Anak (BA)
 - BA 1, BA 2, BA 3 = 30 x 55 cm
- Dimensi Kolom
 - Lantai 1 – Lantai 5 = 100 x 100 cm

- Lantai 6 – Lantai 12 (atap) = 80 x 80 cm

- Input Beban Hidup

| | |
|---------------------------|----------------------------|
| Lantai Atap | = 57.6 kg/m ² |
| Air Hujan | = 20 kg/m ² |
| Koridor | = 245.20 kg/m ² |
| Kamar | = 98.28 kg/m ² |
| Lantai Atap Taman | = 479 kg/m ² |
| <i>Gym</i> | = 479 kg/m ² |
| Ruang Ganti | = 479 kg/m ² |
| <i>Business Services</i> | = 479 kg/m ² |
| <i>Meeting Room</i> | = 479 kg/m ² |
| <i>Spa</i> | = 479 kg/m ² |
| <i>H&B Treatments</i> | = 479 kg/m ² |
| <i>Indoor Sports</i> | = 479 kg/m ² |
| <i>Laundry</i> | = 479 kg/m ² |
| <i>Kids Playroom</i> | = 479 kg/m ² |
| <i>Child Care</i> | = 479 kg/m ² |
| <i>Computer Room</i> | = 479 kg/m ² |
| <i>Office</i> | = 122.85 kg/m ² |
| Ruang Pengawas | = 122.85 kg/m ² |
| Toko | = 245.20 kg/m ² |
| <i>Restaurant / Café</i> | = 479 kg/m ² |
| Ruang Mesin | = 479 kg/m ² |
| ATM Centre | = 479 kg/m ² |

- Input Beban Mati Tambahan

| | |
|--------------------------------|-------------------------|
| Plafon | = 11 kg/m ² |
| Penggantung | = 7 kg/m ² |
| <i>Ducting dan Plumbing</i> | = 30 kg/m ² |
| Keramik | = 24 kg/m ² |
| Spesi | = 21 kg/m ³ |
| Aspal | = 14 kg/m ² |
| Dinding Bata Ringan | = 100 kg/m ² |
| Dinding <i>Laminated Glass</i> | = 60 kg/m ² |

Rekapitulasi pembebanan gravitasi secara manual dapat dilihat pada Tabel 4.6 berikut:

Tabel 4.6 Rekapitulasi Pembebanan

| Lantai 12 (Atap) | | | | | | |
|-----------------------------|---------------|-------------------|------------------------------|------------------------------|------------------|------------|
| Beban Mati | Berat Sendiri | | t (m) | Luas Total (m ²) | Berat (kg) | |
| Pelat Atap | 2400 | kg/m ³ | 0.14 | 1173.3 | 394228.8 | |
| Aspal | 14 | kg/m ² | | 1173.3 | 16426.2 | |
| Spesi | 21 | kg/m ² | | 1173.3 | 24639.3 | |
| Plafon | 11 | kg/m ² | | 1173.3 | 12906.3 | |
| Penggantung | 7 | kg/m ² | | 1173.3 | 8213.1 | |
| <i>Ducting dan Plumbing</i> | 30 | kg/m ² | | 1173.3 | 35199.0 | |
| | | | L (m) | b (m) | h (m) | Berat (kg) |
| BI 1 | 2400 | kg/m ³ | 62.4 | 0.4 | 0.7 | 41932.8 |
| BI 2 | 2400 | kg/m ³ | 46.5 | 0.4 | 0.7 | 31248.0 |
| BI 3 | 2400 | kg/m ³ | 129.5 | 0.5 | 0.75 | 116550.0 |
| BI 4 | 2400 | kg/m ³ | 22 | 0.4 | 0.7 | 14784.0 |
| BI 5 | 2400 | kg/m ³ | 105 | 0.4 | 0.7 | 70560.0 |
| BI 6 | 2400 | kg/m ³ | 7 | 0.4 | 0.7 | 4704.0 |
| BA 1 | 2400 | kg/m ³ | 104.5 | 0.3 | 0.55 | 41382.0 |
| BA 2 | 2400 | kg/m ³ | 55.5 | 0.3 | 0.55 | 21978.0 |
| BA 3 | 2400 | kg/m ³ | 31.2 | 0.3 | 0.55 | 12355.2 |
| BA 4 | 2400 | kg/m ³ | 11 | 0.3 | 0.55 | 4356.0 |
| | | | | | W _D = | 851462.7 |
| Beban Hidup | Berat Sendiri | | Luas Total (m ²) | | Berat (kg) | |
| Lantai Atap | 57.60 | kg/m ² | 1173.3 | | 67582.1 | |
| Air Hujan | 20.00 | kg/m ² | 1173.3 | | 23466.0 | |
| | | | | | W _L = | 91048.1 |
| Lantai 6-11 | | | | | | |
| Beban Mati | Berat Sendiri | | t (m) | Luas total (m ²) | Berat (kg) | |
| Pelat Lantai (14 cm) | 2400 | kg/m ³ | 0.14 | 1173.3 | 394228.8 | |
| Plafon | 11 | kg/m ² | | 1173.3 | 12906.3 | |
| Penggantung | 7 | kg/m ² | | 1173.3 | 8213.1 | |

| | | | | | | | |
|-----------------------------|---------------|-------------------|------------------------------|------------------------------|------------|--|--|
| <i>Ducting dan Plumbing</i> | 30 | kg/m ² | | 1173.3 | 35199.0 | | |
| Keramik | 24 | kg/m ² | | 1173.3 | 28159.2 | | |
| Spesi (1 cm) | 21 | kg/m ² | | 1173.3 | 24639.3 | | |
| | | | L (m) | b (m) | h (m) | | |
| Dinding Bata Ringan | 100 | kg/m ² | 564.8 | | 3.2 | | |
| BI 1 | 2400 | kg/m ³ | 62.4 | 0.4 | 0.7 | | |
| BI 2 | 2400 | kg/m ³ | 46.5 | 0.4 | 0.7 | | |
| BI 3 | 2400 | kg/m ³ | 129.5 | 0.5 | 0.75 | | |
| BI 4 | 2400 | kg/m ³ | 22 | 0.4 | 0.7 | | |
| BI 5 | 2400 | kg/m ³ | 105 | 0.4 | 0.7 | | |
| BI 6 | 2400 | kg/m ³ | 7 | 0.4 | 0.7 | | |
| BA 1 | 2400 | kg/m ³ | 104.5 | 0.3 | 0.55 | | |
| BA 2 | 2400 | kg/m ³ | 55.5 | 0.3 | 0.55 | | |
| BA 3 | 2400 | kg/m ³ | 31.2 | 0.3 | 0.55 | | |
| BA 4 | 2400 | kg/m ³ | 11 | 0.3 | 0.55 | | |
| $W_D =$ | | | | | 1043931.7 | | |
| Beban Hidup | Berat Sendiri | | Luas Total (m ²) | | Berat (kg) | | |
| Kamar | 98.28 | kg/m ² | 763.8 | | 75068.8 | | |
| Koridor | 245.20 | kg/m ² | 277.55 | | 68054.2 | | |
| $W_L =$ | | | | | 143123.0 | | |
| Lantai 5 | | | | | | | |
| Beban Mati | Berat Sendiri | | t (m) | Luas total (m ²) | Berat (kg) | | |
| Bagian Dalam | | | | | | | |
| Pelat Lantai (14 cm) | 2400 | kg/m ³ | 0.14 | 1173.3 | 394228.8 | | |
| Plafon | 11 | kg/m ³ | | 1173.3 | 12906.3 | | |
| Penggantung | 7 | kg/m ³ | | 1173.3 | 8213.1 | | |
| <i>Ducting dan Plumbing</i> | 30 | kg/m ³ | | 1173.3 | 35199.0 | | |
| Keramik | 24 | kg/m ³ | | 1173.3 | 28159.2 | | |
| Spesi (1 cm) | 21 | kg/m ³ | | 1173.3 | 24639.3 | | |
| Bagian Taman | | | | | | | |
| Pelat Atap | 2400 | kg/m ³ | 0.14 | 346.5 | 116424.0 | | |

| Aspal | 14 | kg/m ² | | 346.5 | 4851.0 |
|-----------------------------|---------------|------------------------------|-------|-------|------------|
| Spesi | 21 | kg/m ² | | 346.5 | 7276.5 |
| Plafon | 11 | kg/m ² | | 346.5 | 3811.5 |
| Penggantung | 7 | kg/m ² | | 346.5 | 2425.5 |
| <i>Ducting dan Plumbing</i> | 30 | kg/m ² | | 346.5 | 10395.0 |
| | | | L (m) | b (m) | h (m) |
| Dinding Bata Ringan | 100 | kg/m ² | 509.6 | | 5 |
| Dinding Bata Ringan | 100 | kg/m ² | 31.5 | | 1 |
| Dinding Kaca | 60 | kg/m ² | 21 | | 5 |
| BI 1 | 2400 | kg/m ³ | 62.4 | 0.4 | 0.7 |
| BI 2 | 2400 | kg/m ³ | 46.5 | 0.4 | 0.7 |
| BI 3 | 2400 | kg/m ³ | 161 | 0.5 | 0.75 |
| BI 4 | 2400 | kg/m ³ | 22 | 0.4 | 0.7 |
| BI 5 | 2400 | kg/m ³ | 120 | 0.4 | 0.7 |
| BI 6 | 2400 | kg/m ³ | 14 | 0.4 | 0.7 |
| BA 1 | 2400 | kg/m ³ | 149.5 | 0.3 | 0.55 |
| BA 2 | 2400 | kg/m ³ | 55.5 | 0.3 | 0.55 |
| BA 3 | 2400 | kg/m ³ | 31.2 | 0.3 | 0.55 |
| BA 4 | 2400 | kg/m ³ | 11 | 0.3 | 0.55 |
| W _D = | | | | | 1333583.2 |
| Beban Hidup | Berat Sendiri | Luas Total (m ²) | | | Berat (kg) |
| <i>Gym</i> | 479.00 | kg/m ² | 763.8 | | 365860.2 |
| <i>Business Services</i> | | kg/m ² | | | |
| <i>Meeting Room</i> | | kg/m ² | | | |
| Ruang Ganti | | kg/m ² | | | |
| <i>Spa</i> | | kg/m ² | | | |
| <i>H&B Treatments</i> | | kg/m ² | | | |
| <i>Indoor Sports</i> | | kg/m ² | | | |
| <i>Laundry</i> | | kg/m ² | | | |

| | | | | |
|----------------------|--------|-------------------|------------------|----------|
| <i>Kids Playroom</i> | | kg/m ² | | |
| <i>Child Care</i> | | kg/m ² | | |
| <i>Computer Room</i> | | kg/m ² | | |
| <i>Café</i> | | kg/m ² | | |
| Taman | 479.00 | kg/m ² | 346.5 | 165973.5 |
| Koridor | 245.20 | kg/m ² | 277.55 | 68054.2 |
| | | | W _L = | 599887.9 |

Lantai 2-4

| Beban Mati | Berat Sendiri | t (m) | Luas Total (m ²) | Berat (kg) |
|-----------------------------|---------------|------------------------------|------------------------------|------------|
| Pelat Lantai (14 cm) | 2400 | kg/m ³ | 0.14 | 1519.8 |
| Plafon | 11 | kg/m ² | | 1519.8 |
| Penggantung | 7 | kg/m ² | | 1519.8 |
| <i>Ducting dan Plumbing</i> | 30 | kg/m ² | | 1519.8 |
| Keramik | 24 | kg/m ² | | 1519.8 |
| Spesi (1 cm) | 21 | kg/m ² | | 1519.8 |
| | | L (m) | b (m) | h (m) |
| Dinding Bata Ringan | 100 | kg/m ² | 680.8 | 3.5 |
| BI 1 | 2400 | kg/m ³ | 62.4 | 0.4 |
| BI 2 | 2400 | kg/m ³ | 46.5 | 0.4 |
| BI 3 | 2400 | kg/m ³ | 161 | 0.5 |
| BI 4 | 2400 | kg/m ³ | 22 | 0.4 |
| BI 5 | 2400 | kg/m ³ | 120 | 0.4 |
| BI 6 | 2400 | kg/m ³ | 14 | 0.4 |
| BA 1 | 2400 | kg/m ³ | 149.5 | 0.3 |
| BA 2 | 2400 | kg/m ³ | 55.5 | 0.3 |
| BA 3 | 2400 | kg/m ³ | 31.2 | 0.3 |
| BA 4 | 2400 | kg/m ³ | 11 | 0.3 |
| | | | W _D = | 1311078.2 |
| Beban Hidup | Berat Sendiri | Luas Total (m ²) | Berat (kg) | |
| Kamar | 98.28 | kg/m ² | 1000.05 | 98288.2 |

| | | | | | |
|---------------------------------|---------------|-------------------|------------------------------|------------------------------|----------------------------|
| Koridor | 245.20 | kg/m ² | 387.8 | | 95087.1 |
| | | | | W _L = | 193375.4 |
| Lantai 1 | | | | | |
| Beban Mati | Berat Sendiri | | t (m) | Luas Total (m ²) | Berat (kg) |
| Pelat Lantai (14 cm) | 2400 | kg/m ³ | 0.14 | 1519.8 | 510652.8 |
| Plafon | 11 | kg/m ² | | 1519.8 | 16717.8 |
| Penggantung | 7 | kg/m ² | | 1519.8 | 10638.6 |
| <i>Ducting dan Plumbing</i> | 30 | kg/m ² | | 1519.8 | 45594.0 |
| Keramik | 24 | kg/m ² | | 1519.8 | 36475.2 |
| Spesi (1 cm) | 21 | kg/m ² | | 1519.8 | 31915.8 |
| | | | L (m) | b (m) | h (m) |
| Dinding Bata Ringan | 100 | kg/m ² | 579.8 | | 3.5 |
| BI 1 | 2400 | kg/m ³ | 62.4 | 0.4 | 0.7 |
| BI 2 | 2400 | kg/m ³ | 46.5 | 0.4 | 0.7 |
| BI 3 | 2400 | kg/m ³ | 161 | 0.5 | 0.75 |
| BI 4 | 2400 | kg/m ³ | 22 | 0.4 | 0.7 |
| BI 5 | 2400 | kg/m ³ | 120 | 0.4 | 0.7 |
| BI 6 | 2400 | kg/m ³ | 14 | 0.4 | 0.7 |
| BA 1 | 2400 | kg/m ³ | 149.5 | 0.3 | 0.55 |
| BA 2 | 2400 | kg/m ³ | 55.5 | 0.3 | 0.55 |
| BA 3 | 2400 | kg/m ³ | 31.2 | 0.3 | 0.55 |
| BA 4 | 2400 | kg/m ³ | 11 | 0.3 | 0.55 |
| | | | | | W _D = 1275728.2 |
| Beban Hidup | Berat Sendiri | | Luas total (m ²) | | Berat (kg) |
| Toko | 245.20 | kg/m ² | 544.75 | | 133570.7 |
| Koridor | 245.20 | kg/m ² | 501.2 | | 122892.4 |
| <i>Restaurant</i> | 479.00 | kg/m ² | 59.85 | | 28668.2 |
| <i>Café</i> | 479.00 | kg/m ² | 59.85 | | 28668.2 |
| <i>ATM Centre</i> | 479.00 | kg/m ² | 37.8 | | 18106.2 |
| Ruang Pengawas | 122.85 | kg/m ² | 56.7 | | 6965.8 |
| Ruang Mesin | 479.00 | kg/m ² | 29.7 | | 14226.3 |

| | | | | | |
|---------------|--------|-------------------|------------------|----------|--|
| <i>Office</i> | 122.85 | kg/m ² | 98 | 12039.7 | |
| | | | W _L = | 365137.5 | |

Tabel 4.7 Hasil Pembebanan pada ETABS

| Load Case/Combo | FX | FY | FZ | MX | MY | MZ |
|-----------------|-----|-----|-------------|-------------|------------|-------|
| | kgf | kgf | kgf | kgf-m | kgf-m | kgf-m |
| D+L | 0 | 0 | 19631064.93 | 267718719.6 | -587068468 | 1.44 |

Tabel 4.8 Kontrol Pembebanan Gravitasi

| Keterangan | n Lantai | W _D | W _L |
|---------------------------------------|----------|----------------|----------------|
| | | kg | kg |
| Lt. 12 | 1 | 851,462.70 | 91,048.08 |
| Lt. 6-11 | 6 | 6,263,590.20 | 858,738.21 |
| Lt. 5 | 1 | 1,333,583.20 | 599,887.95 |
| Lt. 2-4 | 3 | 3,933,234.60 | 580,126.09 |
| Lt. 1 | 1 | 1,275,728.20 | 365,137.47 |
| Kolom | All | 2,494,684.80 | |
| <i>Shear Wall</i> | All | 1,273,518.00 | |
| Total | | 17,425,801.70 | 2,494,937.80 |
| W _D + W _L | | 19,920,739.50 | |
| W _D + W _L ETABS | | 19,631,064.93 | |
| Kontrol Selisih | | 1.48% | |

Pembebanan yang diinput pada ETABS haruslah mendekati perhitungan manual ($\pm 5\%$) agar pembebanan pada ETABS dapat dinyatakan benar. Berikut merupakan selisih antara pembebanan ETABS dengan pemberianan manual:

$$\text{Selisih} = \left(\frac{19,920,739.50}{19,631,064.93} - 1 \right) \times 100\% = 1.48\%$$

Jadi dapat disimpulkan bahwa pembebanan gravitasi pada program bantu ETABS sudah benar.

4.2.4 Pembebaan Gempa Dinamis

Pembebaan gempa yang digunakan pada tugas akhir ini mengacu pada SNI 1726:2012.

4.2.4.1 Faktor Keutamaan Gempa

Faktor keutamaan gempa ditentukan dari jenis pemanfaatan gedung sesuai dengan kategori risiko pada peraturan. Untuk gedung apartemen / rumah susun termasuk kategori II dengan faktor keutamaan gempa (I_e) sebesar 1.

4.2.4.2 Kelas Situs

Kelas situs ditentukan berdasarkan data tanah yang didapat dari proses pengumpulan data. Kelas situs pada gedung Apartemen Tower 2 The Arundaya Surabaya termasuk dalam kelas situs SE (Tanah Lunak).

4.2.4.3 Parameter Respons *Spectral* dan Percepatan *Spectral Desain*

Sebagai input data pada ETABS, diperlukan data Percepatan Respons Spektrum (MCE). Data percepatan respons spektrum diambil dari *website* puskim.pu.go.id.

$$\text{PGA (g)} = 0.325$$

$$S_s (\text{g}) = 0.663$$

$$S_1 (\text{g}) = 0.247$$

$$F_A = 1.27$$

$$F_V = 1.906$$

$$S_{DS} (\text{g}) = 0.561$$

$$S_{D1} (\text{g}) = 0.314$$

$$T_0 (\text{s}) = 0.112$$

$$T_S (\text{s}) = 0.56$$

4.2.4.4 Kategori Desain Seismik

Penentuan kategori desain seismik dapat dilihat pada SNI 1726:2012 Tabel 6. Untuk nilai S_{DS} sebesar 0.561 dan S_{D1} sebesar 0.314 dengan kategori risiko bangunan II, maka kategori desain

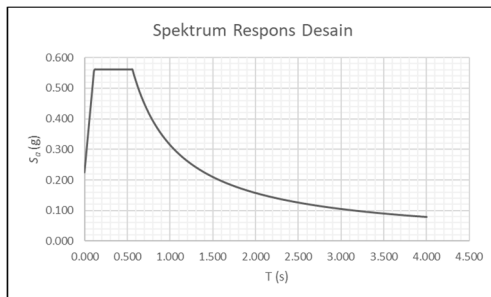
seismik termasuk dalam kategori D. Pada tugas akhir ini, struktur yang digunakan ialah sistem ganda dengan menggunakan Sistem Rangka Pemikul Momen Khusus (SRPMK) dan dinding geser beton bertulang khusus.

4.2.4.5 Periode Fundamental dan Spektrum Respons Desain

Untuk periode fundamental dan spektrum respons desain dapat diperoleh dari *website* puskim.pu.go.id atau dengan menggunakan peraturan SNI 1726:2012 pasal 6.4.

Tabel 4.9 Nilai Periode Fundamental (T) dan Percepatan Respons Spektrum

| T (s) | Sa (g) | T (s) | Sa (g) |
|-------|--------|-------|--------|
| 0.000 | 0.224 | 2.260 | 0.139 |
| 0.112 | 0.561 | 2.360 | 0.133 |
| 0.560 | 0.561 | 2.460 | 0.128 |
| 0.660 | 0.476 | 2.560 | 0.123 |
| 0.760 | 0.413 | 2.660 | 0.118 |
| 0.860 | 0.365 | 2.760 | 0.114 |
| 0.960 | 0.327 | 2.860 | 0.110 |
| 1.060 | 0.296 | 2.960 | 0.106 |
| 1.160 | 0.271 | 3.060 | 0.103 |
| 1.260 | 0.249 | 3.160 | 0.099 |
| 1.360 | 0.231 | 3.260 | 0.096 |
| 1.460 | 0.215 | 3.360 | 0.093 |
| 1.560 | 0.201 | 3.460 | 0.091 |
| 1.660 | 0.189 | 3.560 | 0.088 |
| 1.760 | 0.178 | 3.660 | 0.086 |
| 1.860 | 0.169 | 3.760 | 0.084 |
| 1.960 | 0.160 | 3.860 | 0.081 |
| 2.060 | 0.152 | 3.960 | 0.079 |
| 2.160 | 0.145 | 4.000 | 0.079 |



Gambar 4.5 Grafik Spektrum Respons Desain

4.2.4.6 Kontrol Waktu Getar Alami Fundamental

Waktu getar / perioda alami fundamental struktur merupakan waktu yang dibutuhkan struktur untuk menempuh satu siklus gerakan yang nilainya dipengaruhi oleh fungsi massa dan kekakuan. Nilai perioda desain akan digunakan untuk mendapatkan beban gempa rencana. Penentuan perioda didasarkan pada peraturan SNI 1726:2012 pasal 7.8.2, yaitu:

$$T = T_a C_u$$

Dimana:

T_a = periode fundamental pendekatan (s)

C_u = koefisien untuk batas atas perioda

Periode fundamental pendekatan sendiri ditentukan dengan persamaan berikut:

$$T_a = C_t h_n^x$$

Sementara itu, untuk nilai C_t dan h_n diperoleh dari Tabel 4.10 berikut:

Tabel 4.10 Nilai Parameter Periode Pendekatan C_t dan x

| Tipe Struktur | C_t | x |
|--|-------|-----|
| Sistem rangka pemikul momen di mana rangka memikul 100 persen gaya gempa yang disyaratkan dan tidak dilingkupi atau dihubungkan dengan komponen yang lebih | | |

| | | |
|--|---------------------|------|
| kaku dan akan mencegah rangka dari defleksi jika dikenai gaya gempa: | | |
| Rangka baja pemikul momen | 0.0724 ^a | 0.8 |
| Rangka beton pemikul momen | 0.0466 ^a | 0.9 |
| Rangka baja dengan bresing eksentris | 0.0731 ^a | 0.75 |
| Rangka baja dengan bresing terkekang terhadap tekuk | 0.0731 ^a | 0.75 |
| Semua sistem struktur lainnya | 0.0488 ^a | 0.75 |

$$T_a = C_t h_n^x$$

$$T_a = 0.0488 \times 38.2^{0.75}$$

$$T_a = 0.75 \text{ s} \rightarrow \text{batas bawah}$$

Selain itu juga harus dilakukan pengecekan terhadap batas atas perioda.

Tabel 4.11 Koefisien Batas Atas Perioda

| Parameter Percepatan Respons Spectral Desain pada 1 Detik, S_{D1} | Koefisien C_u |
|---|-----------------|
| ≥ 0.4 | 1.4 |
| 0.3 | 1.4 |
| 0.2 | 1.5 |
| 0.15 | 1.6 |
| ≤ 0.1 | 1.7 |

Dengan nilai $S_{D1} = 0.314$, maka koefisien C_u diambil sebesar 1.4.

$$T = T_a C_u$$

$$T = 0.75 \times 1.4$$

$$T = 1.05 \text{ s} \rightarrow \text{batas atas}$$

Dengan menggunakan program bantu ETABS, didapat nilai perioda berdasarkan *mode* untuk masing-masing arah sebagai berikut:

Tabel 4.12 Periode Fundamental

| Case | Mode | Period (sec) |
|-------------|-------------|---------------------|
| Modal | 1 | 1.367 |
| Modal | 2 | 1.287 |
| Modal | 3 | 1.173 |
| Modal | 4 | 0.415 |
| Modal | 5 | 0.396 |
| Modal | 6 | 0.375 |
| Modal | 7 | 0.236 |
| Modal | 8 | 0.213 |
| Modal | 9 | 0.21 |
| Modal | 10 | 0.142 |
| Modal | 11 | 0.129 |
| Modal | 12 | 0.123 |
| Modal | 13 | 0.104 |
| Modal | 14 | 0.099 |
| Modal | 15 | 0.089 |
| Modal | 16 | 0.074 |
| Modal | 17 | 0.069 |
| Modal | 18 | 0.062 |
| Modal | 19 | 0.055 |
| Modal | 20 | 0.055 |

$$T_x = 1.287 \text{ s (mode 2)}$$

$$T_y = 1.367 \text{ s (mode 1)}$$

Karena nilai perioda yang diperoleh pada program bantu ETABS melebihi batas atas perioda, maka digunakan nilai perioda berikut:

$$T_x = 1.287 \text{ s} > 1.05 \text{ s} \rightarrow T_x = 1.05 \text{ s}$$

$$T_y = 1.367 \text{ s} > 1.05 \text{ s} \rightarrow T_y = 1.05 \text{ s}$$

4.2.4.7 Kontrol Gaya Geser Dasar (*Base Shear*)

Koefisien respons seismik, C_s , harus ditentukan sesuai dengan SNI 1726:2012 pasal 7.8.1.1. Nilai R yang dipakai yaitu 7 untuk sistem ganda dengan rangka beton bertulang pemikul momen khusus dan dinding geser beton bertulang khusus.

$$C_s = \frac{S_{DS}}{\frac{R}{I_e}}$$

Dimana:

$$S_{DS} = 0.561$$

$$I_e = 1$$

$$R = 7$$

$$C_s = \frac{S_{DS} \times I_e}{R} = \frac{0.561 \times 1}{7} = 0.080$$

$$C_{s\ max} = \frac{S_{D1}}{T \frac{R}{I_e}}$$

Dimana:

$$S_{DS} = 0.561$$

$$I_e = 1$$

$$R = 7$$

$$T = 1.05 \text{ s}$$

$$C_{s\ max} = \frac{S_{D1} \times I_e}{R \times T} = \frac{0.314 \times 1}{7 \times 1.05} = 0.043$$

$$C_{s\ min} = 0.044 \times S_{DS} \times I_e \geq 0.01$$

$$C_{s\ min} = 0.044 \times 0.561 \times 1 \geq 0.01$$

$$C_{s\ min} = 0.025 \geq 0.01$$

Dari hasil perhitungan diatas, maka nilai C_{sx} dan C_{sy} diambil sebesar $C_{s\ max} = 0.043$. Kemudian besar faktor reduksi beban hidup untuk fungsi gedung sebagai hunian sebesar 0.3. Berat seismik efektif bangunan dari ETABS dapat dilihat pada Tabel 4.13 berikut:

Tabel 4.13 Berat Seismik Bangunan

| Load Case/Combo | FX | FY | FZ | MX | MY | MZ |
|-----------------|-----|-----|-------------|-------------|------------|-------|
| | kgf | kgf | kgf | kgf-m | kgf-m | kgf-m |
| D+0.3L | 0 | 0 | 17797388.41 | 242856033.3 | -532666024 | 1.26 |

Gaya geser yang telah didapatkan dari perhitungan di atas akan didistribusikan secara vertikal ke masing-masing lantai sesuai dengan SNI 1726:2012.

$$V_x = C_{sx} \times W$$

$$V_x = 0.043 \times 17797388.41$$

$$V_x = 760,488.25 \text{ kg}$$

$$V_y = V_x$$

$$V_y = 760,488.25 \text{ kg}$$

Apabila kombinasi respons untuk geser dasar ragam (V_t) lebih kecil 85 persen dari geser dasar yang dihitung (V) menggunakan prosedur gaya lateral ekivalen, maka gaya harus dikalikan dengan $0.85 \times \frac{V}{V_t}$ sesuai dengan SNI 1726:2012 pasal 7.9.4.1. Dari hasil analisa struktur menggunakan program bantu ETABS didapatkan gaya geser dasar ragam (V_t) pada Tabel 4.14 berikut:

Tabel 4.14 Gaya Geser Dinamik

| Load Case/Combo | FX | FY | FZ | MX | MY | MZ |
|-----------------|-----------|-----------|-----|-------------|-------------|-------------|
| | kgf | kgf | kgf | kgf-m | kgf-m | kgf-m |
| Eq x Max | 541309.86 | 326770.12 | 0 | 9315834.01 | 14044733.67 | 13693844.12 |
| Eq y Max | 332124.93 | 503809.74 | 0 | 12957379.29 | 9204725.37 | 18133365.53 |

Tabel 4.15 Rekapitulasi Gaya Geser Statik - Dinamik

| Gaya Geser | V_x | V_y |
|------------|------------|------------|
| | kgf | kgf |
| Statik | 760,488.25 | 760,488.25 |
| 85% Statik | 646,415.01 | 646,415.01 |
| Dinamik | 541309.86 | 503809.74 |

Berdasarkan Tabel 4.15, gaya geser dinamik < 85% gaya geser statik, maka faktor skala gaya harus diberikan.

$$\text{Faktor skala arah X} = \frac{646,415.01}{541309.86} = 1.19$$

$$\text{Faktor skala arah Y} = \frac{646,415.01}{503809.74} = 1.28$$

Setelah didapatkan faktor skala untuk masing-masing arah pembebanan, selanjutnya dilakukan analisa ulang struktur dengan mengalikan skala faktor yang diperoleh di atas pada *scale factor* untuk *Define Respons Spectra*. Kemudian dilakukan *running* ulang pada program analisis. Hasil dari *running* ulang tersebut sesuai Tabel 4.16 berikut:

Tabel 4.16 Gaya Geser Dinamik Setelah Faktor Skala

| Load Case/Combo | FX | FY | FZ | MX | MY | MZ |
|-----------------|-----------|-----------|-----|-------------|-------------|------------|
| | kgf | kgf | kgf | kgf-m | kgf-m | kgf-m |
| Eq x Max | 651041.95 | 399122.62 | 0 | 11340215.78 | 16898844.77 | 16646494 |
| Eq y Max | 424258.16 | 653485.36 | 0 | 16795959.38 | 11784939.74 | 23496849.5 |

Tabel 4.17 Rekapitulasi Gaya Geser Statik - Dinamik Setelah Koreksi Faktor Skala

| Gaya Gempa | Vx | Vy |
|------------|------------|------------|
| | kgf | kgf |
| Statik | 760,488.25 | 760,488.25 |
| 85% Statik | 646,415.01 | 646,415.01 |
| Dinamik | 651,041.95 | 653,485.36 |

Ternyata hasil dari *running* ulang tersebut sudah memenuhi persyaratan SNI 1726:2012 Pasal 7.9.4.1. Selanjutnya geser dasar ragam hasil *running* ulang tersebut akan digunakan sebagai beban gempa desain.

4.2.4.8 Kontrol Sistem Ganda

Sistem rangka pemikul momen harus memikul minimum 25% dari beban geser nominal total yang bekerja dalam arah kerja beban gempa tersebut. Berikut total reaksi perletakan SRPM dan *shear wall*.

Tabel 4.18 Kontrol Sistem Ganda

| Pemikul Gaya Geser | Gempa X | | Gempa Y | |
|--------------------|-----------|--------|-----------|--------|
| | Fx (kg) | % | Fy (kg) | % |
| Shear Wall | 468,598.5 | 64.13% | 480,009.8 | 67.33% |

| | | | | |
|-------|-----------|---------|-----------|---------|
| SRPM | 262,115.9 | 35.87% | 232,866.6 | 32.67% |
| Total | 730,714.4 | 100.00% | 712,876.4 | 100.00% |

Dari hasil perhitungan diatas, dapat dilihat bahwa persentase total dari SRPM memiliki nilai lebih besar dari 25%, sehingga konfigurasi struktur gedung telah memenuhi syarat sebagai struktur *dual system*.

4.2.4.9 Kontrol Partisipasi Massa

Sesuai dengan SNI 1726:2012, perhitungan respons dinamik struktur harus sedemikian rupa sehingga partisipasi massa dalam menghasilkan respon total sekurang kurangnya adalah 90%.

Tabel 4.19 Total Partisipasi Massa

| Case | Item Type | Item | Static | Dynamic |
|-------|--------------|------|--------|---------|
| | | | % | % |
| Modal | Acceleration | UX | 100 | 98.65 |
| Modal | Acceleration | UY | 100 | 96.93 |
| Modal | Acceleration | UZ | 0 | 0 |

Dari tabel diatas didapatkan bahwa dalam penjumlahan respon ragam menghasilkan respon total telah mencapai 90% untuk arah X dan arah Y. Maka ketentuan menurut SNI 1726:2012 pasal 7.9.1 terpenuhi.

4.2.4.10 Kontrol Drift

Kinerja batas layan struktur gedung sangat ditentukan oleh simpangan antar tingkat akibat pengaruh gempa rencahan. Dimaksudkan untuk menjaga kenyamanan penghuni, mencegah kerusakan non-struktur, membatasi peretakan beton yang berlebihan.

Berdasarkan Tabel 16 pada SNI 1726:2012 untuk jenis struktur yang masuk kedalam tipe semua struktur lainnya dan berada pada kategori risiko II, batas simpangan antar lantai ijin adalah $0.020 h_{sx}$, dimana h_{sx} merupakan tinggi antar tingkat. Maka dari perhitungan diatas didapat:

$$\Delta_{ijin} = 0.020 \times 3200 = 64 \text{ mm} \rightarrow \text{lantai 6-12 (atap)}$$

$$\Delta_{ijin} = 0.020 \times 5000 = 100 \text{ mm} \rightarrow \text{lantai 5-6}$$

$$\Delta_{ijin} = 0.020 \times 3500 = 70 \text{ mm} \rightarrow \text{lantai 1-5}$$

Berikut hasil perhitungan kontrol simpangan antar tingkat yang terjadi akibat pengaruh gempa rencana:

Tabel 4.20 Simpangan Antar Tingkat Ijin X

| Story | h_{sx} | δ_{ei} | δ_i | Δ_i | Δ_{ijin} | Ket. |
|--------------|----------------------------|---------------------------------|------------------------------|------------------------------|-----------------------------------|-------------|
| | mm | mm | mm | mm | mm | |
| 12 | 3200 | 16.3 | 89.65 | 4.6255 | 64 | OK |
| 11 | 3200 | 15.459 | 85.0245 | 5.412 | 64 | OK |
| 10 | 3200 | 14.475 | 79.6125 | 6.171 | 64 | OK |
| 9 | 3200 | 13.353 | 73.4415 | 6.9135 | 64 | OK |
| 8 | 3200 | 12.096 | 66.528 | 7.612 | 64 | OK |
| 7 | 3200 | 10.712 | 58.916 | 8.228 | 64 | OK |
| 6 | 5000 | 9.216 | 50.688 | 14.355 | 100 | OK |
| 5 | 3500 | 6.606 | 36.333 | 9.13 | 70 | OK |
| 4 | 3500 | 4.946 | 27.203 | 8.844 | 70 | OK |
| 3 | 3500 | 3.338 | 18.359 | 8.1565 | 70 | OK |
| 2 | 3500 | 1.855 | 10.2025 | 6.6935 | 70 | OK |
| 1 | 3500 | 0.638 | 3.509 | 3.509 | 70 | OK |

Tabel 4.21 Simpangan Antar Tingkat Ijin Y

| Story | h_{sx} | δ_{ei} | δ_i | Δ_i | Δ_{ijin} | Ket. |
|--------------|----------------------------|---------------------------------|------------------------------|------------------------------|-----------------------------------|-------------|
| | mm | mm | mm | mm | mm | |
| 12 | 3200 | 22.943 | 126.1865 | 8.3985 | 64 | OK |
| 11 | 3200 | 21.416 | 117.788 | 9.196 | 64 | OK |
| 10 | 3200 | 19.744 | 108.592 | 9.878 | 64 | OK |
| 9 | 3200 | 17.948 | 98.714 | 10.4995 | 64 | OK |
| 8 | 3200 | 16.039 | 88.2145 | 11.055 | 64 | OK |
| 7 | 3200 | 14.029 | 77.1595 | 11.506 | 64 | OK |
| 6 | 5000 | 11.937 | 65.6535 | 19.151 | 100 | OK |
| 5 | 3500 | 8.455 | 46.5025 | 12.2045 | 70 | OK |
| 4 | 3500 | 6.236 | 34.298 | 11.495 | 70 | OK |

| | | | | | | |
|---|------|-------|--------|--------|----|----|
| 3 | 3500 | 4.146 | 22.803 | 10.296 | 70 | OK |
| 2 | 3500 | 2.274 | 12.507 | 8.2555 | 70 | OK |
| 1 | 3500 | 0.773 | 4.2515 | 4.2515 | 70 | OK |

Contoh perhitungan:

$$\delta_{e12} = 22.943 \text{ mm}$$

$$\delta_{i12} = \frac{C_d \times \delta e_{12}}{l_e} = \frac{5.5 \times 22.943}{1} = 126.1865 \text{ mm}$$

$$\delta_{e11} = 21.416 \text{ mm}$$

$$\delta_{i11} = \frac{C_d \times \delta e_{11}}{l_e} = \frac{5.5 \times 21.416}{1} = 117.788 \text{ mm}$$

$$\Delta_{12} = \delta_{i12} - \delta_{i11}$$

$$\Delta_{12} = 126.1865 - 117.788$$

$$\Delta_{12} = 8.3985 \text{ mm} < \Delta_{jin} = 64 \text{ mm (OK)}$$

4.2.4.11 Analisa Eksentrisitas

Antara pusat massa dan pusat rotasi lantai tingkat harus ditinjau suatu eksetrisitas rencana e_d sesuai dengan ketentuan SNI 1726:2012 pasal 7.8.4.2 dengan jarak sama dengan 5% dimensi struktur tegak lurus terhadap arah gaya yang diterapkan.

$$e_d = 1.5e + 0.05b$$

$$e_d = e - 0.05b$$

Dimana:

e = eksentrisitas asli bangunan diperoleh dari selisih nilai pusat massa dengan pusat rotasi

b = panjang gedung arah X untuk gempa arah Y

b = panjang gedung arah Y untuk gempa arah X

Perhitungan eksentrisitas dapat dilihat pada Tabel 4.22

Tabel 4.22 Kontrol Eksentrisitas Aktual

| Lantai | Pusat Massa | | Pusat Rotasi | | Eksentrisitas (e) | | 0.05b _y | 0.05b _x | Kontrol | |
|---------|-------------|---------|--------------|---------|-------------------|---------|--------------------|--------------------|---------|----|
| | X | Y | X | Y | X | Y | | | X | Y |
| Story1 | 30.0083 | 12.5387 | 32.2137 | 13.0194 | -2.2054 | -0.4807 | 1.275 | 2.98 | Not OK | OK |
| Story2 | 29.9959 | 12.6023 | 33.0762 | 12.7211 | -3.0803 | -0.1188 | 1.275 | 2.98 | Not OK | OK |
| Story3 | 29.9959 | 12.6023 | 33.5226 | 12.4246 | -3.5267 | 0.1777 | 1.275 | 2.98 | Not OK | OK |
| Story4 | 29.9959 | 12.6023 | 33.7288 | 12.2065 | -3.7329 | 0.3958 | 1.275 | 2.98 | Not OK | OK |
| Story5 | 30.0441 | 12.8673 | 33.8019 | 12.082 | -3.7578 | 0.7853 | 1.275 | 2.98 | Not OK | OK |
| Story6 | 29.8966 | 14.6088 | 33.8099 | 12.0668 | -3.9133 | 2.542 | 1.275 | 2.98 | Not OK | OK |
| Story7 | 29.8379 | 14.6386 | 33.7578 | 12.0808 | -3.9199 | 2.5578 | 1.275 | 2.98 | Not OK | OK |
| Story8 | 29.8379 | 14.6386 | 33.6527 | 12.1111 | -3.8148 | 2.5275 | 1.275 | 2.98 | Not OK | OK |
| Story9 | 29.8379 | 14.6386 | 33.5087 | 12.1573 | -3.6708 | 2.4813 | 1.275 | 2.98 | Not OK | OK |
| Story10 | 29.8379 | 14.6386 | 33.3396 | 12.2112 | -3.5017 | 2.4274 | 1.275 | 2.98 | Not OK | OK |
| Story11 | 29.8379 | 14.6386 | 33.1666 | 12.2593 | -3.3287 | 2.3793 | 1.275 | 2.98 | Not OK | OK |
| Story12 | 29.8186 | 14.7425 | 33.0342 | 12.2906 | -3.2156 | 2.4519 | 1.275 | 2.98 | Not OK | OK |

Dari hasil perhitungan dan kontrol eksentrisitas aktual akibat eksentrisitas tak terduga diatas, didapatkan bahwa hanya eksentrisitas arah Y telah memenuhi syarat $e_Y > 0.05 b_X$. Maka diperlukan perhitungan untuk mencari pusat massa baru.

Tabel 4.23 Perhitungan Eksentrisitas Rencana Tiap Lantai

| Lantai | Pusat Massa | | Pusat Rotasi | | Eksentrisitas (e) | | $e_d = 1.5e + 0.05b$ | $e_d = e - 0.05b$ | e_d pakai | |
|---------|-------------|---------|--------------|---------|-------------------|---------|----------------------|-------------------|-------------|--------|
| | X | Y | X | Y | X | Y | X | Y | X | Y |
| Story1 | 30.0083 | 12.5387 | 32.2137 | 13.0194 | -2.2054 | -0.4807 | 2.0331 | 2.25895 | 3.4804 | 3.4607 |
| Story2 | 29.9959 | 12.6023 | 33.0762 | 12.7211 | -3.0803 | -0.1188 | 3.34545 | 2.8018 | 4.3553 | 3.0988 |
| Story3 | 29.9959 | 12.6023 | 33.5226 | 12.4246 | -3.5267 | 0.1777 | 4.01505 | 3.24655 | 4.8017 | 2.8023 |
| Story4 | 29.9959 | 12.6023 | 33.7288 | 12.2065 | -3.7329 | 0.3958 | 4.32435 | 3.5737 | 5.0079 | 2.5842 |
| Story5 | 30.0441 | 12.8673 | 33.8019 | 12.082 | -3.7578 | 0.7853 | 4.3617 | 4.15795 | 5.0328 | 2.1947 |
| Story6 | 29.8966 | 14.6088 | 33.8099 | 12.0668 | -3.9133 | 2.542 | 4.59495 | 6.793 | 5.1883 | 0.438 |
| Story7 | 29.8379 | 14.6386 | 33.7578 | 12.0808 | -3.9199 | 2.5578 | 4.60485 | 6.8167 | 5.1949 | 0.4222 |
| Story8 | 29.8379 | 14.6386 | 33.6527 | 12.1111 | -3.8148 | 2.5275 | 4.4472 | 6.77125 | 5.0898 | 0.4525 |
| Story9 | 29.8379 | 14.6386 | 33.5087 | 12.1573 | -3.6708 | 2.4813 | 4.2312 | 6.70195 | 4.9458 | 0.4987 |
| Story10 | 29.8379 | 14.6386 | 33.3396 | 12.2112 | -3.5017 | 2.4274 | 3.97755 | 6.6211 | 4.7767 | 0.5526 |
| Story11 | 29.8379 | 14.6386 | 33.1666 | 12.2593 | -3.3287 | 2.3793 | 3.71805 | 6.54895 | 4.6037 | 0.6007 |
| Story12 | 29.8186 | 14.7425 | 33.0342 | 12.2906 | -3.2156 | 2.4519 | 3.5484 | 6.65785 | 4.4906 | 0.5281 |

4.3 Struktur Sekunder

4.3.1 Umum

Suatu gedung memiliki 2 komponen struktur, yaitu struktur primer dan struktur sekunder. Struktur sekunder tidak menahan beban secara keseluruhan, melainkan juga memiliki tegangan akibat pembebanan yang bekerja langsung pada bagian

struktur tersebut. Pada subbab ini akan dibahas mengenai perhitungan atau perancangan struktur sekunder dari gedung Apartemen Tower 2 The Arundaya Surabaya yang meliputi tangga, pelat lantai, balok lift, dan balok anak.

4.3.2 Perencanaan Tangga

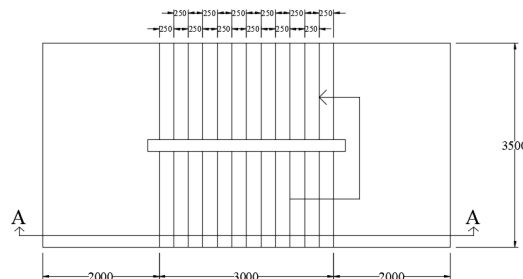
Pada perencanaan ini, struktur tangga dimodelkan sebagai struktur statis tertentu dengan kondisi ujung perlakuan berupa sendi dan rol (rol diletakkan pada ujung bordes).

4.3.2.1 Data Perencanaan Tangga

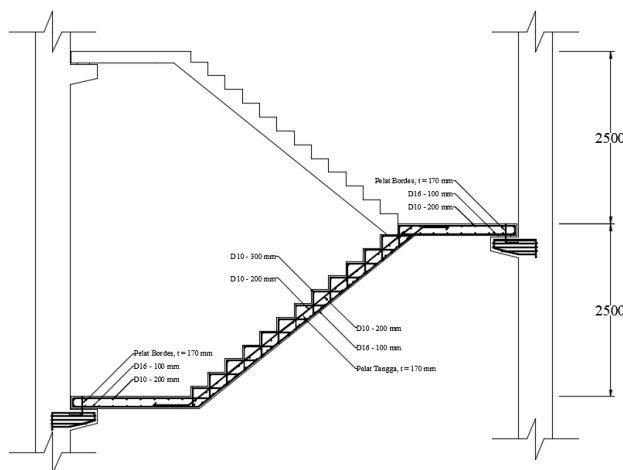
- Tinggi = 500 cm
- Tinggi Injakan = 20 cm
- Lebar Injakan = 25 cm
- Lebar Tangga = 175 cm
- Tebal Pelat Tangga = 17 cm
- Jumlah Tanjakan = 13 buah
- Jumlah Injakan = 12 buah
- Elevasi Bordes = 250 cm
- Panjang Bordes = 350 cm
- Lebar Bordes = 200 cm
- Tebal Bordes = 17 cm
- Panjang Horizontal Tangga = 300 cm
- Kemiringan Tangga = $\text{arc tan } \alpha$
 $= \text{arc tan } \frac{250}{300}$
 $= 39.81^\circ$
- $T_r = \frac{i}{2} \sin \alpha$
 $= \frac{25}{2} \sin(39.81)$
 $= 8 \text{ cm}$
- Tebal Pelat Rata-Rata = Tebal pelat tangga + T_r
 $= 17 + 8$
 $= 25 \text{ cm}$

Setelah menentukan data perencanaan tangga seperti diatas, dilakukan beberapa kontrol, yaitu:

- $60 \leq 2(t + i) \leq 65$
 $60 \leq 2(20 + 25) \leq 65$
 $60 \leq 65 \leq 65$ (OK)
- $25^\circ \leq \alpha \leq 40^\circ$
 $25^\circ \leq 39.81^\circ \leq 40^\circ$
 $25^\circ \leq 39.81^\circ \leq 40^\circ$ (OK)



Gambar 4.6 Denah Tangga



Gambar 4.7 Potongan A-A Tangga

4.3.2.2 Pembebaan Anak Tangga dan Bordes

- Pembebaan Anak Tangga

- Beban Mati

$$\text{Pelat Tangga} = \frac{0.25 \times 2400 \times 1.75}{\cos(39.81)} = 1366.79 \text{ kg/m}$$

$$\text{Keramik} = 24 \times 1.75 = 42 \text{ kg/m}$$

$$\text{Spesi 1 cm} = 21 \times 1.75 = 36.75 \text{ kg/m}$$

$$\text{Railing} = 50 \text{ kg/m}$$

$$q_D = 1494.54 \text{ kg/m}$$

- Beban Hidup

$$q_L = 479 \times 1.75 = 838.25 \text{ kg/m}$$

- Kombinasi Beban

$$q_1 = 1.2 (1494.54) + 1.6 (838.25)$$

$$= 3135.85 \text{ kg/m}$$

- Pembebaan Bordes

- Beban Mati

$$\text{Pelat Bordes} = 0.17 \times 2400 \times 1.75 = 714 \text{ kg/m}$$

$$\text{Keramik} = 24 \times 1.75 = 42 \text{ kg/m}$$

$$\text{Spesi 1 cm} = 21 \times 1.75 = 36.75 \text{ kg/m}$$

$$\text{Railing} = 50 \text{ kg/m}$$

$$q_D = 842.75 \text{ kg/m}$$

- Beban Hidup

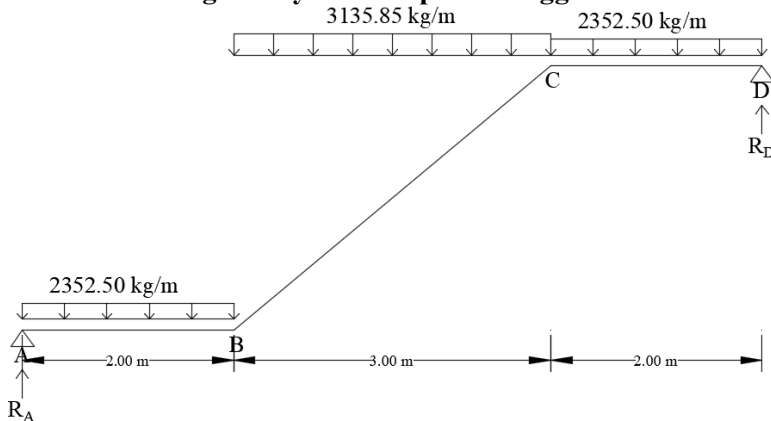
$$q_L = 479 \times 1.75 = 838.25 \text{ kg/m}$$

- Kombinasi Beban

$$q_2 = 1.2 (842.75) + 1.6 (838.25)$$

$$= 2352.50 \text{ kg/m}$$

4.3.2.3 Perhitungan Gaya Dalam pada Tangga



Gambar 4.8 Beban pada Tangga

- Reaksi Perletakan

- $\sum M_A = 0$

$$R_D (7) - q_1 (3) (2+1.5) - q_2 [(2)(5+1) + (2)(1)] = 0$$

$$R_D (7) - 3135.85 (3) (3.5) - 2352.50 [12+2] = 0$$

$$R_D = 9408.78 \text{ kg}$$

- $\sum M_D = 0$

$$R_A (7) - q_1 (3) (2+1.5) - q_2 [(2)(5+1) + (2)(1)] = 0$$

$$R_A (7) - 3135.85 (3) (3.5) - 2352.50 [12+2] = 0$$

$$R_A = 9408.78 \text{ kg}$$

- Gaya Normal

- Pada Bordes ($0 < X < 2$) dan ($5 < X < 7$)

$$N = 0 \text{ kg}$$

- Pada Anak Tangga ($2 < X < 5$)

$$X = 2 \text{ m}$$

$$N_1 = -[R_A - q_2(X)] \sin \alpha$$

$$= -4703.78 \sin (39.81)$$

$$= -3011.29 \text{ kg}$$

$$X = 5 \text{ m}$$

$$\begin{aligned}
 N_2 &= -[R_A - q_2(2)] \sin \alpha + q_1(X - 2) \sin \alpha \\
 &= -3011.29 + 3135.85(3) \sin(39.81) \\
 &= 3011.29 \text{ kg}
 \end{aligned}$$

- Gaya Lintang

- Pada Bordes ($0 < X < 2$) dan ($5 < X < 7$)

$$X = 0 \text{ m}$$

$$\begin{aligned}
 D_1 &= R_A \\
 &= 9408.78 \text{ kg}
 \end{aligned}$$

$$X = 2 \text{ m}$$

$$\begin{aligned}
 D_2 &= R_A - q_2 X \\
 &= 9408.78 - 2352.5(2) \\
 &= 4703.78 \text{ kg}
 \end{aligned}$$

- Pada Anak Tangga ($2 < X < 5$)

$$X = 2 \text{ m}$$

$$\begin{aligned}
 D_1 &= [R_A - q_2(X)] \cos \alpha \\
 &= 4703.78 \cos(39.81) \\
 &= 3613.54 \text{ kg}
 \end{aligned}$$

$$X = 5 \text{ m}$$

$$\begin{aligned}
 D_2 &= [R_A - q_2(2)] \cos \alpha - q_1(X - 2) \cos \alpha \\
 &= 3613.54 - 3135.85(3) \cos(39.81) \\
 &= -3613.54 \text{ kg}
 \end{aligned}$$

- Gaya Momen

- Pada Bordes ($0 < X < 2$) dan ($5 < X < 7$)

$$X = 0 \text{ m}$$

$$M_1 = 0 \text{ kgm}$$

$$X = 2 \text{ m}$$

$$\begin{aligned}
 M_2 &= R_A X - 0.5 q_2 X^2 \\
 &= 9408.78(2) - 0.5(2352.5) 2^2 \\
 &= 14112.56 \text{ kgm}
 \end{aligned}$$

- Pada Anak Tangga ($2 < X < 5$)

$$X = 2 \text{ m}$$

$$M_1 = 14112.56 \text{ kgm}$$

$$X = 5 \text{ m}$$

$$\begin{aligned}
 M_2 &= R_A X - q_2 (2)(X - 1) - 0.5 (q_1) (X - 2)^2 \\
 &= 9408.78 (5) - 2352.5 (2)(4) - 0.5 (3135.85) 3^2 \\
 &= 14112.56 \text{ kgm}
 \end{aligned}$$

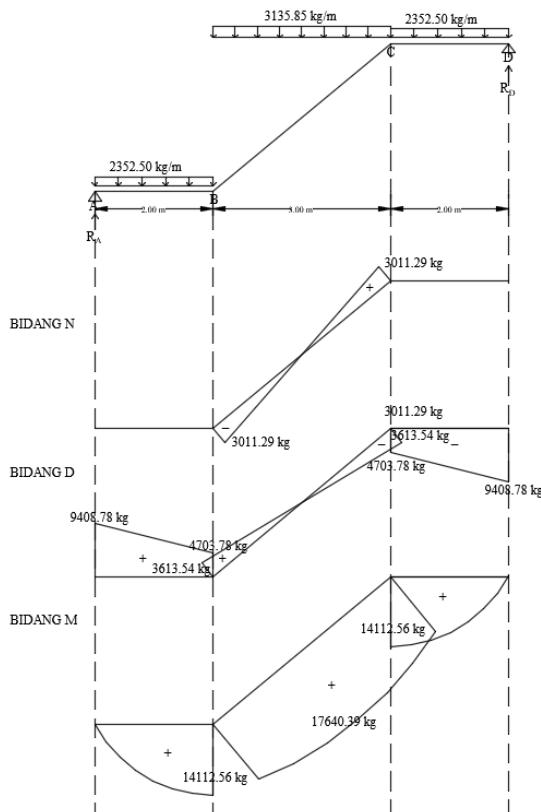
- Momen Maksimal

$$M_{\max} = R_A (2+X) - q_2 (2)(X+1) - 0.5 q_1 X^2$$

$$\frac{dy}{dx} = 0$$

$$X = 1.5 \text{ m}$$

$$M_{\max} = 17640.39 \text{ kgm}$$



Gambar 4.9 Gaya Dalam Bidang N, D, dan M

4.3.2.4 Perhitungan Tulangan Tangga

- Pelat Anak Tangga

$$f'_c = 35 \text{ MPa}$$

$$f_y = 420 \text{ MPa}$$

$$D = 16 \text{ mm}$$

$$d_x = t_{\text{pelat}} - \text{cover} - (D/2)$$

$$= 170 - 20 - (16/2)$$

$$= 142 \text{ mm}$$

$$\begin{aligned}\beta_1 &= 0.85 - 0.05 \frac{f'_c - 28}{7} \\ &= 0.85 - 0.05 \frac{35 - 28}{7} \\ &= 0.80\end{aligned}$$

$$\begin{aligned}\rho_{\min} &= 0.0018 \frac{420}{f_y} \\ &= 0.0018 \frac{420}{420} \\ &= 0.0018\end{aligned}$$

$$\begin{aligned}m &= \frac{f_y}{0.85 f'_c} \\ &= \frac{420}{0.85 (35)} \\ &= 14.12\end{aligned}$$

- Tulangan Longitudinal

$$M_u = 176,403,912.82 \text{ Nmm}$$

$$\phi = 0.90$$

$$\begin{aligned}R_n &= \frac{M_u}{\phi b d^2} \\ &= \frac{176,403,912.82}{0.90 1750 142^2} \\ &= 5.55\end{aligned}$$

$$\begin{aligned}\rho_{\text{perlu}} &= \frac{1}{m} \left(1 - \sqrt{1 - \frac{2mRn}{f_y}} \right) \\ &= \frac{1}{14.12} \left(1 - \sqrt{1 - \frac{2 \times 14.12 \times 5.55}{420}} \right) \\ &= 0.015\end{aligned}$$

$$\rho_{\text{pakai}} = 0.015 > \rho_{\min}$$

$$A_s \text{ perlu} = \rho_{\text{pakai}} \times b \times d$$

$$= 0.015 \times 1750 \times 142 \\ = 3668.8 \text{ mm}^2$$

$$s_{\max} = 2t_{\text{pelat}}$$

$$= 340 \text{ mm}$$

$$s = b \frac{A_{stulangan}}{A_{sperlu}} \\ = 1750 \frac{0.25 \pi 16^2}{3668.8} \\ = 105.91 \text{ mm}$$

$$S_{\text{pakai}} = 100 \text{ mm}$$

Kontrol Regangan:

$$a = \frac{A_s f_y}{0.85 f'_c b} \\ = 29.60 \text{ mm}$$

$$c = \frac{a}{\beta_1} \\ = \frac{29.60}{0.80} \\ = 37.00 \text{ mm}$$

$$\varepsilon_t = 0.0085 > 0.005 \text{ (OK)}$$

∴ Maka digunakan tulangan longitudinal D16-100 mm

- Tulangan Bagi

$$A_s \text{ bagi} = 0.2 A_s \text{ perlu} \\ = 733.76 \text{ mm}^2$$

$$D = 10 \text{ mm}$$

$$s_{\max} = 2t_{\text{pelat}}$$

$$= 340 \text{ mm}$$

$$s = b \frac{A_{stulangan}}{A_{sperlu}} \\ = 1750 \frac{0.25 \pi 10^2}{733.76} \\ = 207.32 \text{ mm}$$

$$S_{\text{pakai}} = 200 \text{ mm}$$

∴ Maka digunakan tulangan bagi D10-200 mm

- Tulangan Susut

$$\rho_{\text{pakai}} = 0.0018$$

$$A_s \text{ perlu} = \rho_{\text{pakai}} \times b \times d$$

$$= 0.018 \times 1750 \times 142 \\ = 447.3 \text{ mm}^2$$

$$s_{\max} = 2t_{\text{pelat}}$$

$$= 340 \text{ mm}$$

$$s = b \frac{A_{stulangan}}{A_{sperlu}} \\ = 1750 \frac{0.25 \pi 10^2}{447.3}$$

$$= 307.28 \text{ mm}$$

$$s_{\text{pakai}} = 300 \text{ mm}$$

\therefore Maka digunakan tulangan susut D10-300 mm

- Pelat Bordes

$$f'_c = 35 \text{ MPa}$$

$$f_y = 420 \text{ MPa}$$

$$D = 16 \text{ mm}$$

$$d_x = t_{\text{pelat}} - \text{cover} - (D/2) \\ = 170 - 20 - (16/2) \\ = 142 \text{ mm}$$

$$\beta_1 = 0.85 - 0.05 \frac{f'_c - 28}{7} \\ = 0.85 - 0.05 \frac{35 - 28}{7} \\ = 0.80$$

$$\rho_{\min} = 0.0018 \frac{420}{f_y}$$

$$= 0.0018 \frac{420}{420}$$

$$= 0.0018$$

$$m = \frac{f_y}{0.85 f'_c} \\ = \frac{420}{0.85 (35)} \\ = 14.12$$

- Tulangan Longitudinal

$$M_u = 141,125,572.96 \text{ Nmm}$$

$$\phi = 0.90$$

$$\begin{aligned}
 R_n &= \frac{M_u}{\phi b d^2} \\
 &= \frac{141,125,572.96}{0.90 \ 1750 \ 142^2} \\
 &= 4.44 \\
 \rho_{\text{perlu}} &= \frac{1}{m} \left(1 - \sqrt{1 - \frac{2mRn}{f_y}} \right) \\
 &= \frac{1}{14.12} \left(1 - \sqrt{1 - \frac{2 \times 14.12 \times 4.44}{420}} \right) \\
 &= 0.0115 \\
 \rho_{\text{pakai}} &= 0.0115 > \rho_{\text{min}} \\
 A_s \text{ perlu} &= \rho_{\text{pakai}} \times b \times d \\
 &= 0.0115 \times 1750 \times 142 \\
 &= 2861.86 \text{ mm}^2 \\
 s_{\text{max}} &= 2t_{\text{pelat}} \\
 &= 340 \text{ mm} \\
 s &= b \frac{A_s \text{ tulangan}}{A_s \text{ perlu}} \\
 &= 1750 \frac{0.25 \pi 16^2}{2861.86} \\
 &= 122.95 \text{ mm} \\
 s_{\text{pakai}} &= 100 \text{ mm}
 \end{aligned}$$

Kontrol Regangan:

$$\begin{aligned}
 a &= \frac{A_s f_y}{0.85 f'_c b} \\
 &= 23.08 \text{ mm} \\
 c &= \frac{a}{\beta_1} \\
 &= \frac{23.08}{0.80} \\
 &= 28.86 \text{ mm} \\
 \varepsilon_t &= 0.012 > 0.005 (\text{OK})
 \end{aligned}$$

\therefore Maka digunakan tulangan longitudinal D16-100 mm

- Tulangan Bagi

$$\begin{aligned}
 A_s \text{ bagi} &= 0.2 A_s \text{ perlu} \\
 &= 572.37 \text{ mm}^2
 \end{aligned}$$

$$D = 10 \text{ mm}$$

$$\begin{aligned}
 s_{\max} &= 2t_{\text{pelat}} \\
 &= 340 \text{ mm} \\
 s &= b \frac{A_s \text{ tulangan}}{A_s \text{ perlu}} \\
 &= 1750 \frac{0.25 \pi 10^2}{572.37} \\
 &= 240.13 \text{ mm}
 \end{aligned}$$

$$s_{\text{pakai}} = 200 \text{ mm}$$

∴ Maka digunakan tulangan bagi D10-200 mm

- Tulangan Susut

$$\rho_{\text{pakai}} = 0.0018$$

$$\begin{aligned}
 A_s \text{ perlu} &= \rho_{\text{pakai}} \times b \times d \\
 &= 0.018 \times 1750 \times 142 \\
 &= 447.3 \text{ mm}^2
 \end{aligned}$$

$$s_{\max} = 2t_{\text{pelat}}$$

$$= 340 \text{ mm}$$

$$\begin{aligned}
 s &= b \frac{A_s \text{ tulangan}}{A_s \text{ perlu}} \\
 &= 1750 \frac{0.25 \pi 10^2}{447.3} \\
 &= 307.28 \text{ mm}
 \end{aligned}$$

$$s_{\text{pakai}} = 300 \text{ mm}$$

∴ Maka digunakan tulangan susut D10-300 mm

4.3.2.5 Rekapitulasi Tulangan Tangga

Berikut merupakan rekapitulasi penulangan tangga. Untuk detail gambar dapat dilihat pada lampiran.

Tabel 4.24 Rekapitulasi Penulangan Tangga

| Bagian | Nama Struktur | Tulangan | | |
|-------------|---------------|--------------|--------------|--------------|
| | | Lentur | Bagi | Susut |
| Tangga (5m) | Pelat Tangga | D16 - 100 mm | D10 - 200 mm | D10 - 300 mm |
| | Pelat Bordes | D16 - 100 mm | D10 - 200 mm | D10 - 300 mm |

4.3.3 Perencanaan Pelat Lantai dan Pelat Atap

Pada tugas akhir ini, terdapat dua jenis pelat yang akan direncanakan, yaitu pelat lantai dan pelat atap. Akan tetapi, untuk efisiensi kinerja sistem pracetak, pelat atap akan direncanakan sama dengan pelat lantai. Pelat yang digunakan ialah pelat *half slab* dengan tebal pelat pracetak setebal 9 cm dan *overtopping* setebal 5 cm. Dalam perencanaan pelat pada tugas akhir ini, terdapat 8 tipe pelat dan tiap tipe pelat dibagi lagi menjadi beberapa segmen. Hal ini dilakukan untuk mempermudah proses instalasi dan menyesuaikan dengan kapasitas angkat dari *tower crane* yang ada di Indonesia.

Perencanaan pelat didasarkan pada beberapa keadaan, yaitu saat pengangkatan, sebelum komposit, dan setelah komposit.

- Saat Pengangkatan

Keadaan ini terjadi pada saat instalasi pelat *half slab*, dimana dilakukan proses pengangkatan pelat ke tempat yang direncanakan. Pada saat pengangkatan, pelat dibagi dalam beberapa segmen sesuai dengan gambar pada lampiran. Pengangkatan direncanakan dilakukan pada hari ketujuh dengan nilai kekuatan beton sebesar 25 MPa.

- Sebelum Komposit

Keadaan ini terjadi pada saat awal pengecoran *topping* yaitu komponen pracetak dan komponen *topping* belum menyatu dalam memikul beban, perletakkan pelat pada kondisi diasumsikan sebagai perletakan bebas.

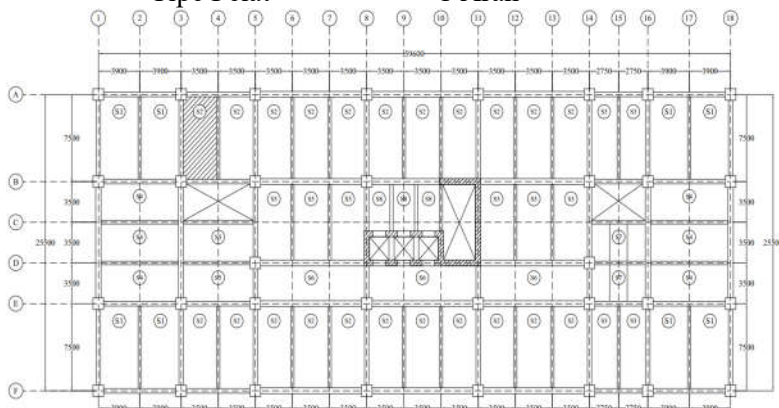
- Setelah Komposit

Keadaan ini terjadi saat *topping* dan elemen pracetak pelat telah bekerja bersama-sama dalam memikul beban.

Penulangan yang digunakan ialah penulangan yang paling kritis dari ketiga keadaan diatas. Selain itu, dalam tugas akhir ini juga akan direncanakan tulangan angkat untuk pengangkatan pelat pracetak. Contoh perhitungan yang ditunjukkan pada subbab 4.3.3.1 ialah untuk pelat S2 dengan pembagian segmen pracetak ukuran 3.5 m x 1.5 m.

4.3.3.1 Data Perencanaan Pelat

- Tebal Pelat *Half Slab* = 9 cm
- Tebal Pelat *Full Slab* = 14 cm
- Mutu Beton (f'_c) = 35 MPa
- Mutu Baja (f_y) = 420 MPa
- *Clear Cover* = 40 mm
- Diameter Tulangan = 10 mm
- Panjang Pelat = 7.5 m
- Lebar Pelat = 3.5 m
- Tipe Pelat = 1 Arah



Gambar 4.10 Pelat Lantai Tinjau

4.3.3.2 Pembebaan Pelat

Pelat direncanakan menerima beban mati (DL) dan beban hidup (LL) berdasarkan ASCE/SEI 7-16 sesuai dengan fungsi masing-masing ruang pada apartemen.

- Setelah Komposit

- Beban Mati

$$\text{Pelat Lantai} = 2400 \times 0.14 = 336 \text{ kg/m}^2$$

$$\text{Plafon} = 11 \text{ kg/m}^2$$

$$\text{Penggantung} = 7 \text{ kg/m}^2$$

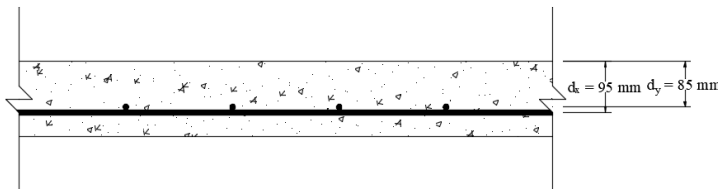
$$\text{Ducting dan Plumbing} = 30 \text{ kg/m}^2$$

- | | | |
|----------------------------|---|---|
| Keramik | = | 24 kg/m ² |
| Spesi (1cm) | = | 21 kg/m ² |
| q_D | = | 429 kg/m ² |
| - Beban Hidup | | |
| q_L | = | 479 kg/m ² |
| - Kombinasi Beban | | |
| $q_{1 \text{ meter pias}}$ | = | $1.2(429) + 1.6(479) = 1281.2 \text{ kg/m}$ |
- Sebelum Komposit
 - Beban Mati
 - Pelat Lantai $= 2400 \times 0.09$ = 216 kg/m²
 - Overtopping $= 2400 \times 0.05$ = 120 kg/m²
 - q_D = 336 kg/m²
 - Beban Hidup
 - q_L = 100 kg/m²
 - Kombinasi Beban
 - $q_{1 \text{ meter pias}}$ = $1.2(336) + 1.6(100) = 563.2 \text{ kg/m}$

4.3.3.3 Perhitungan Tulangan Pelat

- Setelah Komposit

$$\begin{aligned}\beta_1 &= 0.85 - 0.05 \frac{f'_c - 28}{7} \\ &= 0.85 - 0.05 \frac{35-28}{7} \\ &= 0.80\end{aligned}$$



Gambar 4.11 Potongan Pelat S2 Setelah Komposit

$$\begin{aligned}d_x &= h - cc - 0.5D \\ &= 140 - 40 - 0.5(10) \\ &= 95 \text{ mm}\end{aligned}$$

$$\begin{aligned}d_y &= h - cc - D_{\text{arah } x} - 0.5D_{\text{arah } y} \\&= 140 - 40 - 10 - 0.5(10) \\&= 85 \text{ mm}\end{aligned}$$

$$\begin{aligned}m &= \frac{f_y}{0.85 f'_c} \\&= \frac{420}{0.85 (35)} \\&= 14.12\end{aligned}$$

$$\begin{aligned}\rho_{\min} &= 0.0018 \frac{420}{f_y} \\&= 0.0018 \frac{420}{420} \\&= 0.0018\end{aligned}$$

- Penulangan Arah X

$$\begin{aligned}M_u &= \frac{1}{8} q L^2 \\&= \frac{1}{8} 1281.2 (3.5)^2 \\&= 1961.84 \text{ kgm}\end{aligned}$$

$$\phi = 0.90$$

$$\begin{aligned}R_n &= \frac{M_u}{\phi b d^2} \\&= \frac{1961.84 \times 10^4}{0.90 1000 95^2} \\&= 2.42 \text{ MPa}\end{aligned}$$

$$\begin{aligned}\rho_{\text{perlu}} &= \frac{1}{m} \left(1 - \sqrt{1 - \frac{2mRn}{f_y}} \right) \\&= \frac{1}{14.12} \left(1 - \sqrt{1 - \frac{2 \times 14.12 \times 2.42}{420}} \right) \\&= 0.006\end{aligned}$$

$$\rho_{\text{pakai}} = 0.006 > \rho_{\min}$$

$$\begin{aligned}A_s \text{ perlu} &= \rho_{\text{pakai}} \times b \times d \\&= 0.006 \times 1000 \times 95\end{aligned}$$

$$= 570.50 \text{ mm}^2$$

$$\begin{aligned}s_{\max 1} &= 3h \\&= 3(140) \\&= 420 \text{ mm}\end{aligned}$$

$$s_{\max 2} = 450 \text{ mm}$$

$$\begin{aligned}s_{\text{hasil}} &= 1000 \times \frac{A_{\text{stulangan}}}{A_{\text{s}(perlu)}} \\ &= 1000 \times \frac{0.25 \times \pi \times 10^2}{570.50} \\ &= 137.67 \text{ mm}\end{aligned}$$

$$s_{\text{pakai}} = 125 \text{ mm}$$

Kontrol Regangan:

$$\begin{aligned}a &= \frac{A_s f_y}{0.85 f'_c b} \\ &= 8.05 \text{ mm}\end{aligned}$$

$$\begin{aligned}c &= \frac{a}{\beta_1} \\ &= \frac{8.05}{0.80} \\ &= 10.07 \text{ mm}\end{aligned}$$

$$\varepsilon_t = 0.04 > 0.005 (\text{OK})$$

∴ Maka digunakan tulangan arah X D10-125 mm

- Penulangan Arah Y

$$\begin{aligned}\rho_{\min} &= 0.0018 \frac{420}{f_y} \\ &= 0.0018 \frac{420}{420} \\ &= 0.0018\end{aligned}$$

$$\rho_{\text{pakai}} = 0.0018 = \rho_{\min}$$

$$\begin{aligned}A_{\text{s perlu}} &= \rho_{\text{pakai}} \times b \times d \\ &= 0.0018 \times 1000 \times 85 \\ &= 153 \text{ mm}^2\end{aligned}$$

$$\begin{aligned}s_{\max 1} &= 3h \\ &= 3(140) \\ &= 420 \text{ mm}\end{aligned}$$

$$s_{\max 2} = 450 \text{ mm}$$

$$\begin{aligned}s_{\text{hasil}} &= 1000 \times \frac{A_{\text{stulangan}}}{A_{\text{s}(perlu)}} \\ &= 1000 \times \frac{0.25 \times \pi \times 10^2}{153} \\ &= 513.33 \text{ mm}\end{aligned}$$

$$s_{\text{pakai}} = 400 \text{ mm}$$

∴ Maka digunakan tulangan arah Y D10-400 mm

- Sebelum Komposit

$$\begin{aligned}\beta_1 &= 0.85 - 0.05 \frac{f'_c - 28}{7} \\ &= 0.85 - 0.05 \frac{35 - 28}{7} \\ &= 0.80\end{aligned}$$



Gambar 4.12 Potongan Pelat S2 Sebelum Komposit

$$\begin{aligned}d_x &= h - cc - 0.5D \\ &= 90 - 40 - 0.5(10) \\ &= 45 \text{ mm}\end{aligned}$$

$$\begin{aligned}d_y &= h - cc - D_{\text{arah } x} - 0.5D_{\text{arah } y} \\ &= 90 - 40 - 10 - 0.5(10) \\ &= 35 \text{ mm}\end{aligned}$$

$$\begin{aligned}m &= \frac{f_y}{0.85 f'_c} \\ &= \frac{420}{0.85 (35)} \\ &= 14.12\end{aligned}$$

$$\begin{aligned}\rho_{\min} &= 0.0018 \frac{420}{f_y} \\ &= 0.0018 \frac{420}{420} \\ &= 0.0018\end{aligned}$$

- Penulangan Arah X

$$\begin{aligned}M_u &= \frac{1}{8} q L^2 \\ &= \frac{1}{8} 563.2 (3.5)^2 \\ &= 862.4 \text{ kgm}\end{aligned}$$

$$\phi = 0.90$$

$$\begin{aligned}R_n &= \frac{M_u}{\phi b d^2} \\ &= \frac{862.4 \times 10^4}{0.90 1000 45^2} \\ &= 4.73\end{aligned}$$

$$\begin{aligned}\rho_{\text{perlu}} &= \frac{1}{m} \left(1 - \sqrt{1 - \frac{2mRn}{f_y}} \right) \\ &= \frac{1}{14.12} \left(1 - \sqrt{1 - \frac{2 \times 14.12 \times 4.73}{420}} \right) \\ &= 0.0123\end{aligned}$$

$$\begin{aligned}\rho_{\text{pakai}} &= 0.0123 > \rho_{\text{min}} \\ A_s \text{ perlu} &= \rho_{\text{pakai}} \times b \times d \\ &= 0.0123 \times 1000 \times 45 \\ &= 555.38 \text{ mm}^2\end{aligned}$$

$$\begin{aligned}s_{\text{max1}} &= 3h \\ &= 3(90) \\ &= 270 \text{ mm} \\ s_{\text{max2}} &= 450 \text{ mm} \\ s_{\text{hasil}} &= 1000 \times \frac{A_{\text{stulangan}}}{A_{s(\text{perlu})}} \\ &= 1000 \times \frac{0.25 \times \pi \times 10^2}{555.38} \\ &= 141.42 \text{ mm} \\ s_{\text{pakai}} &= 125 \text{ mm}\end{aligned}$$

Kontrol Regangan:

$$\begin{aligned}a &= \frac{A_s f_y}{0.85 f'_c b} \\ &= 7.84 \text{ mm} \\ c &= \frac{a}{\beta_1} \\ &= \frac{7.84}{0.80} \\ &= 9.80 \text{ mm}\end{aligned}$$

$$\varepsilon_t = 0.018 > 0.005 \text{ (OK)}$$

∴ Maka digunakan tulangan arah X D10-125 mm

- Penulangan Arah Y

$$\begin{aligned}\rho_{\text{min}} &= 0.0018 \frac{420}{f_y} \\ &= 0.0018 \frac{420}{420} \\ &= 0.0018 \\ \rho_{\text{pakai}} &= 0.0018 = \rho_{\text{min}}\end{aligned}$$

$$\begin{aligned} A_{s \text{ perlu}} &= \rho_{\text{pakai}} \times b \times d \\ &= 0.0018 \times 1000 \times 45 \\ &= 63 \text{ mm}^2 \end{aligned}$$

$$\begin{aligned} s_{\text{max1}} &= 3h \\ &= 3(90) \\ &= 270 \text{ mm} \end{aligned}$$

$$s_{\text{max2}} = 450 \text{ mm}$$

$$\begin{aligned} s_{\text{hasil}} &= 1000 \times \frac{A_{s \text{ tulangan}}}{A_{s \text{ (perlu)}}} \\ &= 1000 \times \frac{0.25 \times \pi \times 10^2}{63} \\ &= 1246.66 \text{ mm} \end{aligned}$$

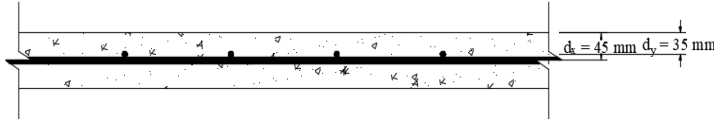
$$s_{\text{pakai}} = 250 \text{ mm}$$

∴ Maka digunakan tulangan arah Y D10-250 mm

- Saat Pengangkatan

$$f'_c = 25 \text{ MPa}$$

$$\beta_1 = 0.85$$



Gambar 4.13 Potongan Pelat S2 Saat Pengangkatan

$$\begin{aligned} d_x &= h - cc - 0.5D \\ &= 90 - 40 - 0.5(10) \\ &= 45 \text{ mm} \end{aligned}$$

$$\begin{aligned} d_y &= h - cc - D_{\text{arah } x} - 0.5D_{\text{arah } y} \\ &= 90 - 40 - 10 - 0.5(10) \\ &= 35 \text{ mm} \end{aligned}$$

$$\begin{aligned} m &= \frac{f_y}{0.85 f'_c} \\ &= \frac{420}{0.85 (25)} \\ &= 19.76 \end{aligned}$$

$$\rho_{\min} = 0.0018 \frac{420}{f_y}$$

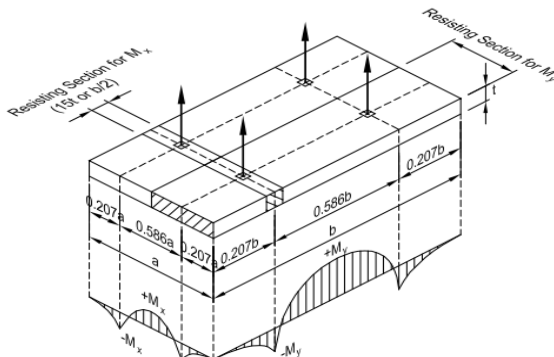
$$= 0.0018 \frac{420}{420} \\ = 0.0018$$

Ukuran Segmen:

$$b = 3.5 \text{ m}$$

$$a = 2.5 \text{ m}$$

$$w = 362.88 \text{ kg/m}$$



Gambar 4.14 Momen Saat Pengangkatan 4 Titik

$$M_x = 0.0107wa^2b \\ = 0.0107(362.88)(2.5^2)(3.5) \\ = 84.94 \text{ kgm}$$

$$M_y = 0.0107wab^2 \\ = 0.0107(362.88)(2.5)(3.5^2) \\ = 118.91 \text{ kgm}$$

- Penulangan Arah X

$$M_u = 84.94 \text{ kgm}$$

$$\phi = 0.90$$

$$R_n = \frac{M_u}{\phi b d^2} \\ = \frac{84.94 \times 10^4}{0.90 1000 45^2} \\ = 0.466$$

$$\begin{aligned}\rho_{\text{perlu}} &= \frac{1}{m} \left(1 - \sqrt{1 - \frac{2mRn}{f_y}} \right) \\ &= \frac{1}{19.76} \left(1 - \sqrt{1 - \frac{2 \times 19.76 \times 0.466}{420}} \right) \\ &= 0.0011\end{aligned}$$

$$\rho_{\text{pakai}} = 0.0018 > \rho_{\text{perlu}}$$

$$\begin{aligned}A_{s \text{ perlu}} &= \rho_{\text{pakai}} \times b \times d \\ &= 0.0018 \times 1000 \times 45 \\ &= 81 \text{ mm}^2\end{aligned}$$

$$\begin{aligned}s_{\text{max1}} &= 3h \\ &= 3(90) \\ &= 270 \text{ mm}\end{aligned}$$

$$\begin{aligned}s_{\text{max2}} &= 450 \text{ mm} \\ s_{\text{hasil}} &= 1000 \times \frac{A_{stulangan}}{A_{s(\text{perlu})}} \\ &= 1000 \times \frac{0.25 \times \pi \times 10^2}{81} \\ &= 969.63 \text{ mm}\end{aligned}$$

$$s_{\text{pakai}} = 250 \text{ mm}$$

\therefore Maka digunakan tulangan arah X D10-250 mm

- Penulangan Arah Y

$$M_u = 118.91 \text{ kgm}$$

$$\phi = 0.90$$

$$\begin{aligned}R_n &= \frac{M_u}{\phi b d^2} \\ &= \frac{118.91 \times 10^4}{0.90 1000 35^2} \\ &= 1.08\end{aligned}$$

$$\begin{aligned}\rho_{\text{perlu}} &= \frac{1}{m} \left(1 - \sqrt{1 - \frac{2mRn}{f_y}} \right) \\ &= \frac{1}{19.76} \left(1 - \sqrt{1 - \frac{2 \times 19.76 \times 1.08}{420}} \right) \\ &= 0.0026\end{aligned}$$

$$\rho_{\text{pakai}} = 0.0019 > \rho_{\text{min}}$$

$$A_{s \text{ perlu}} = \rho_{\text{pakai}} \times b \times d$$

$$\begin{aligned}
 &= 0.0026 \times 1000 \times 35 \\
 &= 92.28 \text{ mm}^2 \\
 s_{\max 1} &= 3h \\
 &= 3(90) \\
 &= 270 \text{ mm} \\
 s_{\max 2} &= 450 \text{ mm} \\
 s_{\text{hasil}} &= 1000 \times \frac{A_{stulangan}}{A_{s(\text{perlu})}} \\
 &= 1000 \times \frac{0.25 \times \pi \times 10^2}{92.28} \\
 &= 851.06 \text{ mm} \\
 s_{\text{pakai}} &= 250 \text{ mm} \\
 \therefore \text{Maka digunakan tulangan arah Y D10-250 mm}
 \end{aligned}$$

4.3.3.4 Panjang Penyaluran Tulangan Pelat

Panjang penyaluran harus disediakan cukup untuk tulangan pelat sebelum dan sesudah komposit. Panjang penyaluran didasarkan pada ACI 318M-14 pasal 18.8.5.1 sebagai berikut:

$$\begin{aligned}
 l_{dh1} &= 8D_b \\
 &= 80 \text{ mm} \\
 l_{dh2} &= 150 \text{ mm} \\
 l_{dh \text{ hasil}} &= \frac{f_y D_b}{5.4 \sqrt{f'_c}} \\
 &= \frac{420 \times 10}{5.4 \sqrt{35}} \\
 &= 131.47 \text{ mm} \\
 l_{dh \text{ pakai}} &= 150 \text{ mm} \\
 \therefore \text{Maka digunakan panjang penyaluran } &150 \text{ mm}
 \end{aligned}$$

4.3.3.5 Pengangkatan Pelat

Untuk pengangkatan pracetak pada tugas akhir ini direncanakan dengan menggunakan empat titik angkat. Berikut perhitungan tulangan angkat dan juga kontrolnya:

- Perhitungan Tulangan Angkat

Faktor Kejut (K) = 1.2

$$DL = h_{\text{pracetak}} \times a \times b \times \gamma_{\text{beton}}$$

$$\begin{aligned}
 &= 0.09 (2.5) (3.5) (2400) \\
 &= 1890 \text{ kg}
 \end{aligned}$$

$$\begin{aligned}
 q &= K \times 1.4DL \\
 &= 1.2 (1.4) (1890) \\
 &= 3175.2 \text{ kg}
 \end{aligned}$$

Gaya Angkat (T_u):

$$\begin{aligned}
 T_u &= \frac{q}{4} \\
 &= \frac{3175.2}{4} \\
 &= 793.8 \text{ kg}
 \end{aligned}$$

- Kontrol Tegangan

$$\sigma_{\text{pelat}} < \sigma_{\text{ijin}}$$

$$\begin{aligned}
 \sigma_{\text{ijin}} &= \frac{0.7 \sqrt{f'_c}}{SF} \\
 &= \frac{0.7 \sqrt{35}}{1.5} \\
 &= 2.76 \text{ MPa}
 \end{aligned}$$

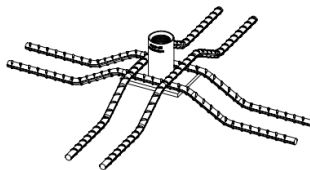
$$\begin{aligned}
 Z &= \frac{1}{6} \frac{a}{2} (h_{\text{pracetak}})^2 \\
 &= \frac{1}{6} \frac{2.5}{2} (9)^2 \\
 &= 1687.5 \text{ cm}^3
 \end{aligned}$$

$$\begin{aligned}
 \sigma_{\text{pelat}} &= \frac{M_u}{Z} \\
 &= \frac{118.91 \times 10^4}{1687.5 \times 10^3} \\
 &= 0.70 \text{ MPa}
 \end{aligned}$$

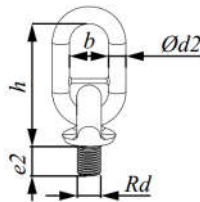
$$\sigma_{\text{pelat}} < \sigma_{\text{ijin}} (\text{OK})$$

- Pemilihan Profil Tulangan Angkat

Tulangan angkat yang digunakan adalah jenis Jenka Lifting System dari Peikko Group. Tipe yang digunakan adalah Jenka PSA Short Insert dengan kait JL. Disetiap titik angkat, profil ini dapat mengangkat beban sebesar 8 kN dengan sudut $0^\circ - 45^\circ$.



Gambar 4.15 Jenka PSA Short Inserts



Gambar 4.16 Kait JL

4.3.3.6 Kontrol Lendutan Pelat

Oleh karena pada saat menentukan tebal pelat digunakan nilai yang kurang dari tebal minimum pelat sesuai ACI 318M-14 pasal 7.3.1.1, maka lendutan harus dihitung.

- Data Perencanaan

$$E_s = 200,000 \text{ MPa}$$

$$\begin{aligned} E_c &= 4700\sqrt{f'_c} \\ &= 4700\sqrt{35} \\ &= 27805.57 \text{ MPa} \end{aligned}$$

$$\begin{aligned} n &= \frac{E_s}{E_c} \\ &= \frac{200,000}{27805.57} \\ &= 7.19 \end{aligned}$$

$$h = 140 \text{ mm}$$

$$b = 1000 \text{ mm}$$

$$\begin{aligned} y_t &= \frac{h}{2} \\ &= \frac{140}{2} \\ &= 70 \text{ mm} \end{aligned}$$

- Lendutan Beban Mati

$$q_D = 3.36 \text{ N/mm}$$

$$I_g = \frac{1}{12} b h^3$$

$$= \frac{1}{12} 1000 (140)^3$$

$$= 228,666,667 \text{ mm}^4$$

$$f_r = 0.62\sqrt{f'_c}$$

$$= 0.62\sqrt{35}$$

$$= 3.67$$

$$M_{cr} = \frac{f_r I_g}{y_t}$$

$$= \frac{3.67 \times 228,666,667}{70}$$

$$= 11.98 \text{ kNm}$$

$$M_a = \frac{1}{8} q_D L^2$$

$$= \frac{1}{8} 3.36 (3.5^2) (10^{-6})$$

$$= 5.145 \text{ kNm}$$

$M_a < M_{cr} \rightarrow$ tidak perlu transformasi

$$M_{cr} = M_a$$

$$I_e = I_g$$

$$\Delta_D = \frac{5 \times q_D \times L^4}{384 E_c I_e}$$

$$= \frac{5 \times 3.36 \times 3.5^4}{384 (27805.57) (228,666,667)}$$

$$= 1.03 \text{ mm}$$

- Lendutan Beban Mati dan Hidup

$$q_{D+L} = 9.08 \text{ N/mm}$$

$$I_g = \frac{1}{12} b h^3$$

$$= \frac{1}{12} 1000 (140)^3$$

$$= 228,666,667 \text{ mm}^4$$

$$f_r = 0.62\sqrt{f'_c}$$

$$= 0.62\sqrt{35}$$

$$= 3.67$$

$$\begin{aligned} M_{cr} &= \frac{f_r I_g}{y_t} \\ &= \frac{3.67 \times 228,666,667}{70} \end{aligned}$$

$$= 11.98 \text{ kNm}$$

$$\begin{aligned} M_a &= \frac{1}{8} q_{D+L} L^2 \\ &= \frac{1}{8} 9.08 (3.5^2) (10^{-6}) \\ &= 6.68 \text{ kNm} \end{aligned}$$

$M_a > M_{cr} \rightarrow$ perlu transformasi

$$I_{cr} = 18,282,454.19 \text{ mm}^4$$

$$I_e = 152,933,240.51 \text{ mm}^4$$

$$\begin{aligned} \Delta_{D+L} &= \frac{5 \times q_{D+L} \times L^4}{384 E_c I_e} \\ &= \frac{5 \times 9.08 \times 3.5^4}{384 (27805.57)(152,933,240.51)} \\ &= 4.17 \text{ mm} \end{aligned}$$

- Lendutan Izin

Besarnya lendutan izin ditentukan pada ACI 318M-14 pasal 24.2.3 yaitu pada Tabel 24.2.2.

$$\begin{aligned} \Delta_{\text{short term}} &= \Delta_{D+L} - \Delta_D \\ &= 3.14 \text{ mm} \end{aligned}$$

$$\begin{aligned} \Delta_{\text{izin long term}} &= \frac{L}{\frac{240}{3500}} \\ &= \frac{3500}{480} \\ &= 14.58 \text{ mm} \end{aligned}$$

$$\begin{aligned} \lambda_\infty &= \frac{\xi}{1 + 50\rho'} \\ &= \frac{2}{1 + 0} \\ &= 2 \end{aligned}$$

$$\begin{aligned} \Delta_{\text{long term}} &= \Delta_L + \lambda_\infty \Delta_D \\ &= 3.24 + 2(1.03) \\ &= 5.20 \text{ mm} \end{aligned}$$

$$\Delta_{\text{long term}} < \Delta_{\text{izin long term}} (\text{OK})$$

4.3.3.7 Rekapitulasi Tulangan Pelat

Berikut merupakan rekapitulasi tulangan pelat dan juga lendutan yang terjadi pada pelat.

Tabel 4.25 Rekapitulasi Tulangan Pelat

| Pelat | Penulangan | | | | | | Tegangan Saat | Lendutan Izin (mm) | Tu (kN) | Tipe JRD / JM | | | | |
|--------|------------------|---------|--------------|---------|------------------|---------|---------------|--------------------|---------|---------------|-----------|----------|-----------|--|
| | Sebelum Komposit | | Pengangkatan | | Sesudah Komposit | | | | | | | | | |
| | Arah X | Arah Y | Arah X | Arah Y | Arah X | Arah Y | | | | | | | | |
| Arah X | Arah Y | Arah X | Arah Y | Arah X | Arah Y | Arah X | Arah Y | Arah X | Arah Y | Arah X | | | | |
| S1 | D10-100 | D10-250 | D10-250 | D10-250 | D10-100 | D10-400 | D10-250 | 0.8749 | 2.7608 | 12.6909 | 16.25 | 8.8452 | JRD/JM 16 | |
| S2 | D10-125 | D10-250 | D10-250 | D10-250 | D10-125 | D10-400 | D10-250 | 0.7047 | 2.7608 | 5.20474 | 14.553333 | 7.9388 | JRD/JM 14 | |
| S3 | D10-125 | D10-250 | D10-250 | D10-250 | D10-225 | D10-400 | D10-200 | 0.4350 | 2.7608 | 1.56985 | 11.458333 | 6.2375 | JRD/JM 14 | |
| S4 | D10-125 | D10-250 | D10-250 | D10-250 | D10-125 | D10-400 | D10-125 | 0.7047 | 2.7608 | 5.20474 | 14.553333 | 8.25552 | JRD/JM 16 | |
| S5 | D10-125 | D10-250 | D10-250 | D10-250 | D10-125 | D10-400 | D10-125 | 0.7047 | 2.7608 | 5.20474 | 14.553333 | 7.620448 | JRD/JM 16 | |
| S6 | D10-125 | D10-250 | D10-250 | D10-250 | D10-125 | D10-400 | D10-125 | 0.7047 | 2.7608 | 5.20474 | 14.553333 | 8.3349 | JRD/JM 16 | |
| S7 | D10-150 | D10-400 | D10-250 | D10-250 | D10-150 | D10-400 | D10-125 | 0.4027 | 2.7608 | 3.21787 | 13.75 | 8.14968 | JRD/JM 16 | |
| S8 | D10-250 | D10-250 | D10-250 | D10-300 | D10-250 | D10-400 | D10-125 | 0.3143 | 2.7608 | 0.760555 | 9.735833 | 4.77131 | JRD/JM 12 | |

4.3.4 Perencanaan Balok Anak

Pada perencanaan balok anak, beban yang diterima oleh balok anak berupa beban persegi biasa. Itu dikarenakan pelat pracetak hanya menumpu dua titik tumpu, titik tumpu pertama ada di balok induk serta titik tumpu yang kedua berada di balok anak.

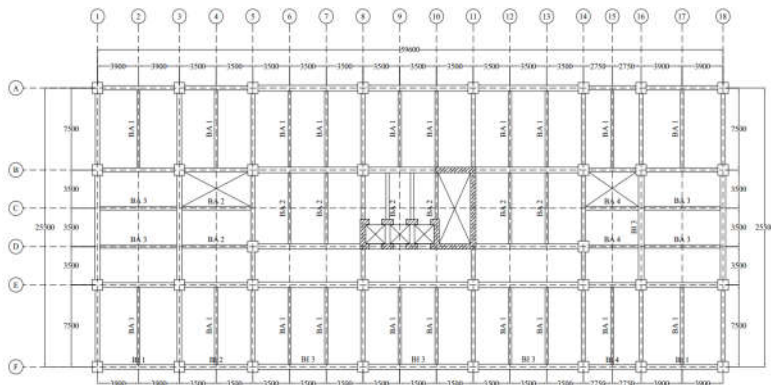
4.3.4.1 Data Perencanaan Balok Anak

Dalam perencanaan balok anak, ada beberapa kondisi yang harus ditinjau untuk perhitungan tulangan. Kondisi tersebut sama dengan kondisi saat merencanakan pelat lantai dan pelat atap, yaitu kondisi setelah komposit, sebelum komposit, dan saat pengangkatan. Pengangkatan direncanakan dilakukan pada hari ketujuh dengan nilai kekuatan beton sebesar 25 MPa. Contoh perhitungan yang ditunjukkan dalam subbab 4.3.4 ialah untuk balok anak tipe 1.

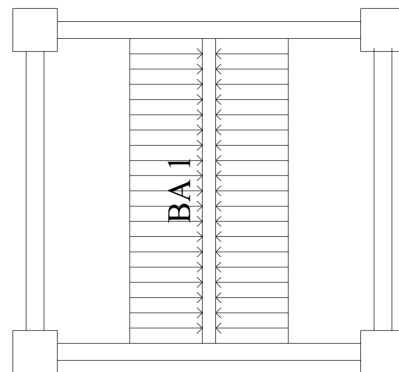
- Dimensi Komposit = 30x55 cm
- Dimensi *Half Beam* = 30x41 cm
- *Overtopping* = 14 cm
- f_c = 35 MPa
- f_y = 420 MPa
- L = 7.5 m
- Tulangan Longitudinal = 19 mm
- Tulangan Transversal = 10 mm
- *Clear Cover* = 50 mm

4.3.4.2 Pembebanan Balok Anak

Beban yang bekerja pada balok anak adalah berat sendiri balok anak tersebut dan semua beban merata pada pelat (termasuk berat sendiri pelat dan berat hidup merata di atasnya). Distribusi beban pada balok pendukung sedemikian rupa sehingga dianggap sebagai beban persegi panjang pada bentang balok anak dikarenakan pelat yang menumpu pada balok anak adalah pelat satu arah. Beban berbentuk persegi panjang yang dimaksud dapat dilihat pada Gambar 4.17. berikut:



Gambar 4.17 Denah Balok Anak



Gambar 4.18 Distribusi Beban Pelat pada Balok Anak

- Sebelum Komposit
- Beban Mati

| | | |
|---------------------|-----------------------------------|--------------------------|
| Berat Sendiri Balok | $= 2400 \times 0.3 \times 0.41 =$ | 295.2 kg/m |
| Berat Overtopping | $= 2400 \times 0.3 \times 0.14 =$ | 100.8 kg/m |
| Berat Pelat | $= 2400 \times 3.9 \times 0.14 =$ | 1310.4 kg/m |
| q_D | $= 1.4 \times 1706.4$ | $= 2388.96 \text{ kg/m}$ |
- Kombinasi Beban

- Saat Pengangkatan
- Beban Mati

$$\text{Berat Sendiri Balok} = 2400 \times 0.3 \times 0.41 = 295.2 \text{ kg/m}$$
- Kombinasi Beban

$$q = 1.4 \times 295.2 = 413.28 \text{ kg/m}$$

4.3.4.3 Perhitungan Tulangan Balok Anak

$$\begin{aligned}\beta_1 &= 0.85 - 0.05 \frac{f'_c - 28}{7} \\ &= 0.85 - 0.05 \frac{35 - 28}{7} \\ &= 0.80\end{aligned}$$

$$\begin{aligned}\rho_{\min 1} &= 0.25 \frac{\sqrt{f'_c}}{f_y} \\ &= 0.25 \frac{\sqrt{35}}{420} \\ &= 0.0035\end{aligned}$$

$$\begin{aligned}\rho_{\min 2} &= \frac{1.4}{f_y} \\ &= \frac{1.4}{420} \\ &= 0.0033\end{aligned}$$

$$\begin{aligned}m &= \frac{f_y}{0.85 f'_c} \\ &= \frac{420}{0.85 (35)} \\ &= 14.12\end{aligned}$$

- Setelah Komposit

$$\begin{aligned}d &= h_{\text{balok}} - \text{clear cover} - \emptyset_{\text{sengkang}} - 0.5D_{\text{tulangan}} \\ &= 550 - 50 - 10 - 0.5(25) \\ &= 477.5 \text{ mm}\end{aligned}$$

$$M_{\text{tumpuan}} = 28035.86 \text{ kgm (Hasil ETABS)}$$

$$M_{\text{lapangan}} = 14434.11 \text{ kgm (Hasil ETABS)}$$

$$V_u = 14573.08 \text{ kg (Hasil ETABS)}$$

- Tulangan Negatif Tumpuan

$$\phi = 0.90$$

$$\begin{aligned}
 R_n &= \frac{M_u}{\phi b d^2} \\
 &= \frac{28035.86 \times 10^4}{0.90 (300) (477.5)^2} \\
 &= 4.55 \\
 \rho_{\text{perlu}} &= \frac{1}{m} \left(1 - \sqrt{1 - \frac{2mRn}{f_y}} \right) \\
 &= \frac{1}{14.12} \left(1 - \sqrt{1 - \frac{2 \times 14.12 \times 4.55}{420}} \right) \\
 &= 0.0118 \\
 \rho_{\text{pakai}} &= 0.0118 > \rho_{\text{min}} \\
 A_s \text{ perlu} &= \rho_{\text{pakai}} \times b \times d \\
 &= 0.0118 \times 300 \times 477.5 \\
 &= 1694.82 \text{ mm}^2 \\
 n_{\text{pakai}} &= \frac{A_s \text{ perlu}}{A_{\text{stulangan}}} \\
 &= \frac{1694.82}{0.25\pi(25)^2} \\
 &= 4 \text{ buah} \\
 s_{\text{min1}} &= D_{\text{tulangan}} \\
 &= 25 \text{ mm} \\
 s_{\text{min2}} &= 25 \text{ mm} \\
 s_{\text{hasil}} &= \frac{b - n_{\text{pakai}} D_{\text{tulangan}} - 2 \text{ clearcover} - 2 \emptyset_{\text{sengkang}}}{n_{\text{pakai}} - 1} \\
 &= \frac{300 - 4(25) - 2(50) - 2(10)}{4 - 1} \\
 &= 27 \text{ mm} \\
 s_{\text{hasil}} &> s_{\text{min}} (\text{OK})
 \end{aligned}$$

Kontrol Regangan:

$$\begin{aligned}
 a &= \frac{A_s f_y}{0.85 f'_c b} \\
 &= 92.40 \text{ mm} \\
 c &= \frac{a}{\beta_1} \\
 &= \frac{92.40}{0.80} \\
 &= 115.50 \text{ mm}
 \end{aligned}$$

$$\varepsilon_t = 0.009 > 0.005 \text{ (OK)}$$

∴ Maka digunakan tulangan negatif tumpuan 4D25

- Tulangan Positif Tumpuan

$$\begin{aligned} M_u &= 0.5 M_u \text{ negatif tumpuan} \\ &= 14017.93 \text{ kgm} \end{aligned}$$

$$\phi = 0.90$$

$$\begin{aligned} R_n &= \frac{M_u}{\phi b d^2} \\ &= \frac{14017.93 \times 10^4}{0.90 (300) (477.5)^2} \\ &= 2.28 \end{aligned}$$

$$\begin{aligned} \rho_{\text{perlu}} &= \frac{1}{m} \left(1 - \sqrt{1 - \frac{2mRn}{f_y}} \right) \\ &= \frac{1}{14.12} \left(1 - \sqrt{1 - \frac{2 \times 14.12 \times 2.28}{420}} \right) \\ &= 0.0056 \end{aligned}$$

$$\rho_{\text{pakai}} = 0.0056 > \rho_{\text{min}}$$

$$\begin{aligned} A_s \text{ perlu} &= 0.0056 \times 300 \times 477.5 \\ &= 808.88 \text{ mm}^2 \end{aligned}$$

$$\begin{aligned} n_{\text{pakai}} &= \frac{A_s \text{ perlu}}{A_s \text{ tulangan}} \\ &= \frac{808.88}{0.25\pi(25)^2} \\ &= 2 \text{ buah} \end{aligned}$$

$$\begin{aligned} s_{\text{min1}} &= D_{\text{tulangan}} \\ &= 25 \text{ mm} \end{aligned}$$

$$s_{\text{min2}} = 25 \text{ mm}$$

$$\begin{aligned} s_{\text{hasil}} &= \frac{b - n_{\text{pakai}} D_{\text{tulangan}} - 2 \text{ clearcover} - 2 \phi_{\text{sengkang}}}{n_{\text{pakai}} - 1} \\ &= \frac{300 - 2(25) - 2(50) - 2(10)}{2 - 1} \\ &= 130 \text{ mm} \end{aligned}$$

$$s_{\text{hasil}} > s_{\text{min}} \text{ (OK)}$$

Kontrol Regangan:

$$a = \frac{A_s f_y}{0.85 f'_c b}$$

$$= 46.20 \text{ mm}$$

$$\begin{aligned} c &= \frac{a}{\beta_1} \\ &= \frac{46.20}{0.80} \\ &= 57.75 \text{ mm} \end{aligned}$$

$$\varepsilon_t = 0.02 > 0.005 (\text{OK})$$

∴ Maka digunakan tulangan positif tumpuan 2D25

- Tulangan Positif Lapangan

$$\phi = 0.90$$

$$\begin{aligned} R_n &= \frac{M_u}{\phi b d^2} \\ &= \frac{14434.11 \times 10^4}{0.90 (300) (477.5)^2} \\ &= 2.34 \end{aligned}$$

$$\begin{aligned} \rho_{\text{perlu}} &= \frac{1}{m} \left(1 - \sqrt{1 - \frac{2mRn}{f_y}} \right) \\ &= \frac{1}{14.12} \left(1 - \sqrt{1 - \frac{2 \times 14.12 \times 2.34}{420}} \right) \\ &= 0.0058 \end{aligned}$$

$$\rho_{\text{pakai}} = 0.0058 > \rho_{\text{min}}$$

$$\begin{aligned} A_s \text{ perlu} &= \rho_{\text{pakai}} \times b \times d \\ &= 0.0058 \times 300 \times 477.5 \\ &= 833.97 \text{ mm}^2 \end{aligned}$$

$$\begin{aligned} n_{\text{pakai}} &= \frac{A_s \text{ perlu}}{A_s \text{ tulangan}} \\ &= \frac{833.97}{0.25\pi(25)^2} \\ &= 2 \text{ buah} \end{aligned}$$

$$\begin{aligned} s_{\text{min1}} &= D_{\text{tulangan}} \\ &= 25 \text{ mm} \end{aligned}$$

$$s_{\text{min2}} = 25 \text{ mm}$$

$$\begin{aligned} s_{\text{hasil}} &= \frac{b - n_{\text{pakai}} D_{\text{tulangan}} - 2 \text{ clearcover} - 2 \emptyset_{\text{sengkang}}}{n_{\text{pakai}} - 1} \\ &= \frac{300 - 2(25) - 2(50) - 2(10)}{2 - 1} \\ &= 130 \text{ mm} \end{aligned}$$

$$s_{\text{hasil}} > s_{\text{min}} (\text{OK})$$

Kontrol Regangan:

$$\begin{aligned} a &= \frac{A_s f_y}{0.85 f'_c b} \\ &= 46.20 \text{ mm} \end{aligned}$$

$$\begin{aligned} c &= \frac{a}{\beta_1} \\ &= \frac{46.20}{0.80} \\ &= 57.75 \text{ mm} \end{aligned}$$

$$\varepsilon_t = 0.02 > 0.005 (\text{OK})$$

\therefore Maka digunakan tulangan positif lapangan 2D25

- Tulangan Negatif Lapangan

$$\begin{aligned} M_u &= 0.5 M_u \text{ positif lapangan} \\ &= 7217.05 \text{ kgm} \end{aligned}$$

$$\phi = 0.90$$

$$\begin{aligned} R_n &= \frac{M_u}{\phi b d^2} \\ &= \frac{7217.05 \times 10^4}{0.90 (300) (477.5)^2} \\ &= 1.17 \end{aligned}$$

$$\begin{aligned} \rho_{\text{perlu}} &= \frac{1}{m} \left(1 - \sqrt{1 - \frac{2mRn}{f_y}} \right) \\ &= \frac{1}{14.12} \left(1 - \sqrt{1 - \frac{2 \times 14.12 \times 1.17}{420}} \right) \\ &= 0.0028 \end{aligned}$$

$$\rho_{\text{pakai}} = 0.0035 > \rho_{\text{perlu}}$$

$$\begin{aligned} A_s \text{ perlu} &= 0.0035 \times 300 \times 477.5 \\ &= 504.45 \text{ mm}^2 \end{aligned}$$

$$\begin{aligned} n_{\text{pakai}} &= \frac{A_s \text{ perlu}}{A_s \text{ tulangan}} \\ &= \frac{504.45}{0.25\pi(25)^2} \\ &= 2 \text{ buah} \end{aligned}$$

$$\begin{aligned} s_{\text{min1}} &= D_{\text{tulangan}} \\ &= 25 \text{ mm} \end{aligned}$$

$$s_{\text{min2}} = 25 \text{ mm}$$

$$\begin{aligned}
 s_{\text{hasil}} &= \frac{b - n_{\text{pakai}} D_{\text{tulangan}} - 2 \text{clearcover} - 2 \emptyset_{\text{sengkang}}}{n_{\text{pakai}} - 1} \\
 &= \frac{300 - 2(25) - 2(50) - 2(10)}{2 - 1} \\
 &= 130 \text{ mm}
 \end{aligned}$$

$$s_{\text{hasil}} > s_{\text{min}} (\text{OK})$$

∴ Maka digunakan tulangan negatif lapangan 2D25

- Tulangan Geser

$$V_u = 145730.84 \text{ N}$$

$$\begin{aligned}
 V_c &= 0.17 \sqrt{f'_c} bd \\
 &= 144071.33 \text{ N}
 \end{aligned}$$

$$\phi V_c = 108053.50 \text{ N}$$

$$0.5\phi V_c = 54026.75 \text{ N}$$

$$\begin{aligned}
 V_{s \text{ min}} &= 0.062 \sqrt{f'_c} bd \\
 &= 52967.40 \text{ N}
 \end{aligned}$$

$$\phi (V_c + V_{s \text{ min}}) = 147779.05 \text{ N}$$

Syarat:

Kondisi 1:

$$V_u \leq 0.5\phi V_c \rightarrow \text{tidak memenuhi}$$

Kondisi 2:

$$0.5\phi V_c \leq V_u \leq \phi V_c \rightarrow \text{tidak memenuhi}$$

Kondisi 3:

$$\phi V_c \leq V_u \leq \phi (V_c + V_{s \text{ min}}) \rightarrow \text{memenuhi}$$

Oleh karena kondisi 3 persyaratan tulangan geser memenuhi, maka diperlukan tulangan geser dalam perencanaan balok anak ini.

$$\begin{aligned}
 s_{\text{max1}} &= \frac{d}{2} \\
 &= \frac{477.5}{2} \\
 &= 238.75 \text{ mm}
 \end{aligned}$$

$$s_{\text{max2}} = 600 \text{ mm}$$

$$s_{\text{pakai}} = 225 \text{ mm}$$

$$d_{\text{sengkang}} = 10 \text{ mm}$$

$$f_y \text{ sengkang} = 280 \text{ MPa}$$

$$\text{Sengkang} = 2 \text{ kaki}$$

$$\begin{aligned}
 A_{v\ min1} &= 0.062\sqrt{f_c}\frac{bs}{f_y} \\
 &= 88.42 \text{ mm}^2 \\
 A_{v\ min2} &= 0.35\frac{bs}{f_y} \\
 &= 84.375 \text{ mm}^2 \\
 A_{v\ pakai} &= 2 \times 0.25 \pi d_{sengkang}^2 \\
 &= 2 \times 0.25 \pi 10^2 \\
 &= 157.08 \text{ mm}^2 (\text{OK}) \\
 V_{s\ pakai} &= \frac{A_v f_y d}{s_{pakai}} \\
 &= \frac{157.08 \times 280 \times 477.5}{225} \\
 &= 93340.21 \text{ N} > V_{s\ min} (\text{OK})
 \end{aligned}$$

∴ Maka digunakan tulangan geser tumpuan $\varnothing 10-225$ mm

- Sebelum Komposit

$$\begin{aligned}
 d &= h_{balok} - clear\ cover - \varnothing_{sengkang} - 0.5D_{tulangan} \\
 &= 410 - 50 - 10 - 0.5(25) \\
 &= 337.5 \text{ mm}
 \end{aligned}$$

Momen yang terjadi pada balok anak sebelum balok anak komposit dihitung dengan beranggapan tumpuan pada balok anak adalah tumpuan sederhana, sehingga momen pada tumpuan dianggap tidak ada.

$$\begin{aligned}
 M_{tumpuan} &= 0 \text{ kgm} \\
 M_{lapangan} &= \frac{1}{8}qL^2 \\
 &= \frac{1}{8}(2388.96)(7.5)^2 \\
 &= 16797.38 \text{ kgm} \\
 V_u &= 0.5 q L \\
 &= 0.5 (2388.96)(7.5) \\
 &= 8958.6 \text{ kg}
 \end{aligned}$$

- Tulangan Negatif Tumpuan

$$\begin{aligned}
 \rho_{pakai} &= \rho_{min} \\
 &= 0.0035 \\
 A_{s\ perlu} &= 0.0035 \times 300 \times 337.5
 \end{aligned}$$

$$= 356.55 \text{ mm}^2$$

$$\begin{aligned} n_{\text{pakai}} &= \frac{A_s \text{perlu}}{A_{\text{stulangan}}} \\ &= \frac{356.55}{0.25\pi(25)^2} \end{aligned}$$

= 2 buah

$$\begin{aligned} s_{\min 1} &= D_{\text{tulangan}} \\ &= 25 \text{ mm} \end{aligned}$$

$$s_{\min 2} = 25 \text{ mm}$$

$$\begin{aligned} s_{\text{hasil}} &= \frac{b - n_{\text{pakai}} D_{\text{tulangan}} - 2\text{clearcover} - 2\phi_{\text{sengkang}}}{n_{\text{pakai}} - 1} \\ &= \frac{300 - 2(25) - 2(50) - 2(10)}{2 - 1} \\ &= 130 \text{ mm} \end{aligned}$$

$$s_{\text{hasil}} > s_{\min} (\text{OK})$$

∴ Maka digunakan tulangan negatif tumpuan 2D25

- Tulangan Positif Tumpuan

$$\begin{aligned} \rho_{\text{pakai}} &= \rho_{\min} \\ &= 0.0035 \end{aligned}$$

$$\begin{aligned} A_s \text{perlu} &= 0.0035 \times 300 \times 337.5 \\ &= 356.55 \text{ mm}^2 \end{aligned}$$

$$\begin{aligned} n_{\text{pakai}} &= \frac{A_s \text{perlu}}{A_{\text{stulangan}}} \\ &= \frac{356.55}{0.25\pi(25)^2} \end{aligned}$$

= 2 buah

$$\begin{aligned} s_{\min 1} &= D_{\text{tulangan}} \\ &= 25 \text{ mm} \end{aligned}$$

$$s_{\min 2} = 25 \text{ mm}$$

$$\begin{aligned} s_{\text{hasil}} &= \frac{b - n_{\text{pakai}} D_{\text{tulangan}} - 2\text{clearcover} - 2\phi_{\text{sengkang}}}{n_{\text{pakai}} - 1} \\ &= \frac{300 - 2(25) - 2(50) - 2(10)}{2 - 1} \\ &= 130 \text{ mm} \end{aligned}$$

$$s_{\text{hasil}} > s_{\min} (\text{OK})$$

∴ Maka digunakan tulangan positif tumpuan 2D25

- Tulangan Positif Lapangan

$$\phi = 0.90$$

$$R_n = \frac{M_u}{\phi b d^2}$$

$$= \frac{16797.38 \times 10^4}{0.90 (300) (337.5)^2}$$

$$= 5.46$$

$$\rho_{\text{perlu}} = \frac{1}{m} \left(1 - \sqrt{1 - \frac{2mRn}{f_y}} \right)$$

$$= \frac{1}{14.12} \left(1 - \sqrt{1 - \frac{2 \times 14.12 \times 5.46}{420}} \right)$$

$$= 0.0145$$

$$\rho_{\text{pakai}} = 0.0145 > \rho_{\text{min}}$$

$$A_s \text{ perlu} = \rho_{\text{pakai}} \times b \times d$$

$$= 0.0145 \times 300 \times 337.5$$

$$= 1466.63 \text{ mm}^2$$

$$n_{\text{pakai}} = \frac{A_s \text{ perlu}}{A_s \text{ tulangan}}$$

$$= \frac{1466.63}{0.25\pi(25)^2}$$

$$= 3 \text{ buah}$$

$$s_{\text{min1}} = D_{\text{tulangan}}$$

$$= 25 \text{ mm}$$

$$s_{\text{min2}} = 25 \text{ mm}$$

$$s_{\text{hasil}} = \frac{b - n_{\text{pakai}} D_{\text{tulangan}} - 2 \text{ clearcover} - 2 \phi_{\text{sengkang}}}{n_{\text{pakai}} - 1}$$

$$= \frac{300 - 3(25) - 2(50) - 2(10)}{3 - 1}$$

$$= 53 \text{ mm}$$

$$s_{\text{hasil}} > s_{\text{min}} (\text{OK})$$

Kontrol Regangan:

$$a = \frac{A_s f_y}{0.85 f'_c b}$$

$$= 69.30 \text{ mm}$$

$$c = \frac{a}{\beta_1}$$

$$= \frac{69.30}{0.80} \\ = 86.62 \text{ mm}$$

$$\varepsilon_t = 0.0087 > 0.005 \text{ (OK)}$$

∴ Maka digunakan tulangan positif lapangan 3D25

- Tulangan Negatif Lapangan

$$M_u = 0.5 M_u \text{ positif lapangan} \\ = 8398.69 \text{ kgm}$$

$$\phi = 0.90$$

$$R_n = \frac{M_u}{\phi b d^2} \\ = \frac{8398.69 \times 10^4}{0.90 (300) (337.5)^2} \\ = 2.73$$

$$\rho_{\text{perlu}} = \frac{1}{m} \left(1 - \sqrt{1 - \frac{2mRn}{f_y}} \right) \\ = \frac{1}{14.12} \left(1 - \sqrt{1 - \frac{2 \times 14.12 \times 2.73}{420}} \right) \\ = 0.0068$$

$$\rho_{\text{pakai}} = 0.0068 > \rho_{\text{min}}$$

$$A_s \text{ perlu} = 0.0068 \times 300 \times 337.5 \\ = 691.69 \text{ mm}^2$$

$$n_{\text{pakai}} = \frac{A_s \text{ perlu}}{A_s \text{ tulangan}} \\ = \frac{691.69}{0.25\pi(25)^2} \\ = 2 \text{ buah}$$

$$s_{\text{min1}} = D_{\text{tulangan}} \\ = 25 \text{ mm}$$

$$s_{\text{min2}} = 25 \text{ mm}$$

$$s_{\text{hasil}} = \frac{b - n_{\text{pakai}} D_{\text{tulangan}} - 2 \text{ clearcover} - 2 \emptyset_{\text{sengkang}}}{n_{\text{pakai}} - 1} \\ = \frac{300 - 2(25) - 2(50) - 2(10)}{2 - 1} \\ = 130 \text{ mm}$$

$$s_{\text{hasil}} > s_{\text{min}} \text{ (OK)}$$

Kontrol Regangan:

$$a = \frac{A_s f_y}{0.85 f'_c b}$$

$$= 46.20 \text{ mm}$$

$$c = \frac{a}{\beta_1}$$

$$= \frac{46.20}{0.80}$$

$$= 57.75 \text{ mm}$$

$$\varepsilon_t = 0.01 > 0.005 (\text{OK})$$

∴ Maka digunakan tulangan negatif lapangan 2D25

- Tulangan Geser

$$V_u = 89586 \text{ N}$$

$$V_c = 0.17 \sqrt{f'_c} bd$$

$$= 101830.5 \text{ N}$$

$$\phi V_c = 76372.89 \text{ N}$$

$$0.5\phi V_c = 38186.45 \text{ N}$$

$$V_{s \min} = 0.062 \sqrt{f_c} bd$$

$$= 37437.69 \text{ N}$$

$$\phi (V_c + V_{s \min}) = 104451.16 \text{ N}$$

Syarat:

Kondisi 1:

$$V_u \leq 0.5\phi V_c \rightarrow \text{tidak memenuhi}$$

Kondisi 2:

$$0.5\phi V_c \leq V_u \leq \phi V_c \rightarrow \text{tidak memenuhi}$$

Kondisi 3:

$$\phi V_c \leq V_u \leq \phi (V_c + V_{s \min}) \rightarrow \text{memenuhi}$$

Oleh karena kondisi 3 persyaratan tulangan geser memenuhi, maka diperlukan tulangan geser dalam perencanaan balok anak ini.

$$s_{\max 1} = \frac{d}{2}$$

$$= \frac{337.5}{2}$$

$$= 168.75 \text{ mm}$$

$$s_{\max 2} = 600 \text{ mm}$$

$$s_{\text{pakai}} = 150 \text{ mm}$$

$$d_{\text{sengkang}} = 10 \text{ mm}$$

$$f_y \text{ sengkang} = 280 \text{ MPa}$$

Sengkang = 2 kaki

$$A_{v \min 1} = 0.062\sqrt{f_c} \frac{bs}{f_y}$$

$$= 58.95 \text{ mm}^2$$

$$A_{v \min 2} = 0.35 \frac{bs}{f_y}$$

$$= 56.25 \text{ mm}^2$$

$$A_{v \text{ pakai}} = 2 \times 0.25 \pi d_{\text{sengkang}}^2$$

$$= 2 \times 0.25 \pi 10^2$$

$$= 157.08 \text{ mm}^2 (\text{OK})$$

$$V_s \text{ pakai} = \frac{A_v f_y d}{s_{\text{pakai}}}$$

$$= \frac{157.08 \times 280 \times 337.5}{150}$$

$$= 98960.17 \text{ N} > V_s \text{ min} (\text{OK})$$

∴ Maka digunakan tulangan geser tumpuan $\varnothing 10-150$ mm

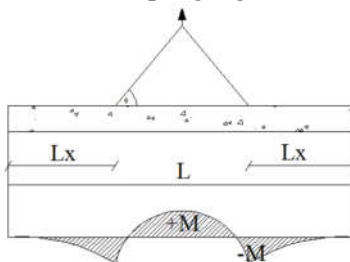
- Saat Pengangkatan

$$d = h_{\text{balok}} - \text{clear cover} - \varnothing_{\text{sengkang}} - 0.5D_{\text{tulangan}}$$

$$= 410 - 50 - 10 - 0.5(25)$$

$$= 337.5 \text{ mm}$$

Pada saat pengangkatan direncanakan 2 titik angkat dengan lokasi titik pengangkatan berada pada daerah tumpuan. Berikut merupakan rencana pengangkatan balok anak.



Gambar 4.19 Titik Angkat Balok Anak

$$+M = \frac{WL^2}{8} \left(1 - 4X + \frac{4Y_c}{L \tan \theta} \right)$$

$$\begin{aligned}
 -M &= \frac{WX^2L^2}{8} \\
 y_t &= \frac{h}{2} \\
 &= \frac{410}{2} \\
 &= 20.5 \text{ cm} \\
 I_{\text{balok}} &= \frac{1}{12}bh^3 \\
 &= \frac{1}{12}30(41)^3 \\
 &= 172303 \text{ cm}^4 \\
 y_c &= y_t + 5 \\
 &= 20.5 + 5 \\
 &= 25.5 \text{ cm}
 \end{aligned}$$

Balok direncanakan diangkat dengan sudut 45°

$$\theta = 45^\circ$$

$$L = 7.5 \text{ m}$$

$$\begin{aligned}
 X &= \frac{1 + \frac{4y_c}{Lt \tan \theta}}{2 \left(1 + \sqrt{1 + \frac{y_t}{y_b} \left(1 + \frac{4y_c}{Lt \tan \theta} \right)} \right)} \\
 &= 0.23075 \text{ m}
 \end{aligned}$$

$$\begin{aligned}
 LX &= 7.5 (0.23075) \\
 &= 1.73 \text{ m}
 \end{aligned}$$

$$W = 413.28 \text{ kg/m}$$

$$+M = 618.916 \text{ kgm}$$

$$-M = 618.916 \text{ kgm}$$

- Tulangan Negatif Tumpuan

Oleh karena pada saat pengangkatan momen yang terjadi sangat kecil, maka untuk menentukan luasan tulangan yang diperlukan dapat langsung menggunakan nilai ρ_{\min} .

$$\begin{aligned}
 \rho_{\text{pakai}} &= \rho_{\min} \\
 &= 0.0035
 \end{aligned}$$

$$\begin{aligned}
 A_s \text{ perlu} &= 0.0035 \times 300 \times 337.5 \\
 &= 356.55 \text{ mm}^2
 \end{aligned}$$

$$n_{\text{pakai}} = \frac{A_s \text{ perlu}}{A_s \text{ tulangan}}$$

$$= \frac{356.55}{0.25\pi(25)^2}$$

= 2 buah

$$s_{min1} = D_{tulangan}$$

= 25 mm

$$s_{min2} = 25 \text{ mm}$$

$$s_{hasil} = \frac{b - n_{pakai} D_{tulangan} - 2 \text{clearcover} - 2 \emptyset_{sengkang}}{n_{pakai} - 1}$$

$$= \frac{300 - 2(25) - 2(50) - 2(10)}{2 - 1}$$

= 130 mm

$$s_{hasil} > s_{min} (\text{OK})$$

∴ Maka digunakan tulangan negatif tumpuan 2D25

- Tulangan Positif Tumpuan

$$\rho_{pakai} = \rho_{min}$$

= 0.0035

$$A_{s \text{ perlu}} = 0.0035 \times 300 \times 337.5$$

= 356.55 mm²

$$n_{pakai} = \frac{A_{s \text{ perlu}}}{A_{stulangan}}$$

$$= \frac{356.55}{0.25\pi(25)^2}$$

= 2 buah

$$s_{min1} = D_{tulangan}$$

= 25 mm

$$s_{min2} = 25 \text{ mm}$$

$$s_{hasil} = \frac{b - n_{pakai} D_{tulangan} - 2 \text{clearcover} - 2 \emptyset_{sengkang}}{n_{pakai} - 1}$$

$$= \frac{300 - 2(25) - 2(50) - 2(10)}{2 - 1}$$

= 130 mm

$$s_{hasil} > s_{min} (\text{OK})$$

∴ Maka digunakan tulangan positif tumpuan 2D25

- Tulangan Positif Lapangan

Oleh karena pada saat pengangkatan momen yang terjadi sangat kecil, maka untuk menentukan luasan tulangan yang diperlukan dapat langsung menggunakan nilai ρ_{min} .

$$\begin{aligned}
 \rho_{\text{pakai}} &= \rho_{\text{min}} \\
 &= 0.0035 \\
 A_s \text{ perlu} &= 0.0035 \times 300 \times 337.5 \\
 &= 356.55 \text{ mm}^2 \\
 n_{\text{pakai}} &= \frac{A_s \text{ perlu}}{A_{\text{stulangan}}} \\
 &= \frac{356.55}{0.25\pi(25)^2} \\
 &= 2 \text{ buah} \\
 s_{\text{min1}} &= D_{\text{tulangan}} \\
 &= 25 \text{ mm} \\
 s_{\text{min2}} &= 25 \text{ mm} \\
 s_{\text{hasil}} &= \frac{b - n_{\text{pakai}} D_{\text{tulangan}} - 2 \text{ clearcover} - 2 \emptyset_{\text{sengkang}}}{n_{\text{pakai}} - 1} \\
 &= \frac{300 - 2(25) - 2(50) - 2(10)}{2 - 1} \\
 &= 130 \text{ mm} \\
 s_{\text{hasil}} &> s_{\text{min}} (\text{OK})
 \end{aligned}$$

- \therefore Maka digunakan tulangan positif lapangan 2D25
- Tulangan Negatif Lapangan

$$\begin{aligned}
 \rho_{\text{pakai}} &= \rho_{\text{min}} \\
 &= 0.0035 \\
 A_s \text{ perlu} &= 0.0035 \times 300 \times 337.5 \\
 &= 356.55 \text{ mm}^2 \\
 n_{\text{pakai}} &= \frac{A_s \text{ perlu}}{A_{\text{stulangan}}} \\
 &= \frac{356.55}{0.25\pi(25)^2} \\
 &= 2 \text{ buah} \\
 s_{\text{min1}} &= D_{\text{tulangan}} \\
 &= 25 \text{ mm} \\
 s_{\text{min2}} &= 25 \text{ mm} \\
 s_{\text{hasil}} &= \frac{b - n_{\text{pakai}} D_{\text{tulangan}} - 2 \text{ clearcover} - 2 \emptyset_{\text{sengkang}}}{n_{\text{pakai}} - 1} \\
 &= \frac{300 - 2(25) - 2(50) - 2(10)}{2 - 1} \\
 &= 130 \text{ mm}
 \end{aligned}$$

$$s_{\text{hasil}} > s_{\text{min}} (\text{OK})$$

∴ Maka digunakan tulangan negatif lapangan 2D25

4.3.4.4 Pengangkatan Balok Anak

Sebelum melakukan instalasi balok anak, balok anak terlebih dahulu mengalami proses pengangkatan menuju titik lokasi pemasangan. Oleh karena itu, diperlukan perencanaan tulangan angkat untuk balok anak seperti pada pelat yang telah dibahas pada subbab 4.3.3.5 sebelumnya. Untuk pengangkatan balok anak pada tugas akhir ini direncanakan dengan menggunakan dua titik angkat tanpa bantuan *spreader beam*.

- Perhitungan Tulangan Angkat

$$\text{Faktor Kejut (K)} = 1.2$$

$$\begin{aligned} \text{DL} &= h_{\text{pracetak}} \times b_{\text{pracetak}} \times L \times \gamma_{\text{beton}} \\ &= 0.41 (0.3) (7.5) (2400) \\ &= 2214 \text{ kg} \end{aligned}$$

$$\begin{aligned} q &= K \times 1.4 \times \text{DL} \\ &= 1.2 (1.4)(2214) \\ &= 3719.5 \text{ kg} \end{aligned}$$

Gaya Angkat (T_u):

$$\begin{aligned} T_u &= \frac{q}{2 \cos(45)} \\ &= \frac{3719.5}{2 \cos(45)} \\ &= 2630.1 \text{ kg} \end{aligned}$$

- Kontrol Tegangan

$$\sigma_{\text{balok}} < \sigma_{\text{ijin}}$$

$$\begin{aligned} \sigma_{\text{ijin}} &= \frac{0.7 \sqrt{f'_c}}{SF} \\ &= \frac{0.7 \sqrt{35}}{1.5} \\ &= 2.76 \text{ MPa} \end{aligned}$$

$$\begin{aligned} Z &= \frac{1}{6} b (h_{\text{pracetak}})^2 \\ &= \frac{1}{6} 30(41)^2 \end{aligned}$$

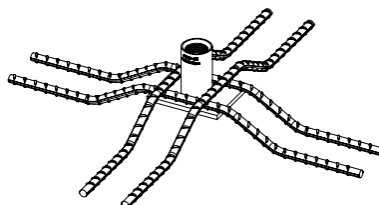
$$= 8405 \text{ cm}^3$$

$$\begin{aligned}\sigma_{\text{balok}} &= \frac{M_u}{Z} \\ &= \frac{618.916 \times 10^4}{8405 \times 10^3} \\ &= 0.74 \text{ MPa}\end{aligned}$$

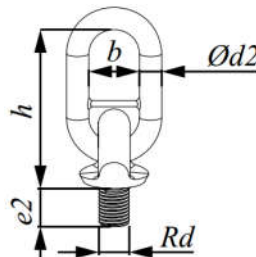
$$\sigma_{\text{balok}} < \sigma_{\text{ijin}} (\text{OK})$$

- Pemilihan Profil Tulangan Angkat

Tulangan angkat yang digunakan adalah jenis Jenka Lifting System dari Peikko Group. Tipe yang digunakan adalah Jenka PSA Short Insert dengan kait JL. Disetiap titik angkat, profil ini dapat mengangkat beban sebesar 40 kN dengan sudut $0^\circ - 45^\circ$.



Gambar 4.20 Jenka PSA Short Inserts



Gambar 4.21 Kait JL

4.3.4.5 Rekapitulasi Tulangan Balok Anak

Berikut merupakan rekapitulasi tulangan balok anak.

Tabel 4.26 Rekapitulasi Tulangan Balok Anak

| Tipe Balok | BA 1 | | BA 2 | | BA 3 | | BA 4 | |
|-------------|----------------|----------|----------------|----------|----------------|----------|----------------|----------|
| Tulangan | Tumpuan | Lapangan | Tumpuan | Lapangan | Tumpuan | Lapangan | Tumpuan | Lapangan |
| Dimensi | 300mm x 550 mm | |
| Bentang | 7.5 m | | 7 m | | 7.8 m | | 5.5 m | |
| Decking | 50 mm | | 50 mm | | 50 mm | | 50 mm | |
| Atas | 4D25 | 2D25 | 3D25 | 2D25 | 2D25 | 2D25 | 2D25 | 2D25 |
| Tengah | 2D25 | 2D25 | 2D25 | 2D25 | 2D25 | 2D25 | 2D25 | 2D25 |
| Bawah | 2D25 | 3D25 | 2D25 | 3D25 | 2D25 | 3D25 | 2D25 | 2D25 |
| Sengkang | 2D-150 mm | | 2D-150 mm | | 2D-150 mm | | 2D-200 mm | |
| Tu (kN) | 26.30 | | 24.55 | | 27.35 | | 19.29 | |
| Tipe JRd/JM | JRd/JM 30 | | JRd/JM 24 | | JRd/JM 30 | | JRd/JM20 | |

4.3.5 Gaya *Uplift* untuk Pelat *Basement*

4.3.5.1 Data Perencanaan

- Elevasi *Basement* = - 3.5 m
- Elevasi M.A.T = - 2.00 m
- γ_{air} = 1 ton/m³

4.3.5.2 Perhitungan Gaya *Uplift*

$$\begin{aligned} q_{air} &= \gamma_{air} \times h \\ &= (3.5 - 2) \times 1000 \\ &= 1500 \text{ kg/m}^2 \end{aligned}$$

Dari perhitungan diatas didapatkan bahwa q_{air} yang bekerja adalah sebesar 1500 kg/m². Nilai q_{air} tersebut akan menjadi beban *uplift* pada pelat *basement* itu sendiri. Dengan menambahkan beban *uplift* tersebut, didapatkan jumlah penulangan pelat *basement* seperti pada subbab 4.3.5.3.

- Beban Mati

| | | |
|----------------------|----------------------|-------------------------|
| Pelat Lantai | = 2400×0.25 | = 600 kg/m ² |
| Ducting dan Plumbing | | = 30 kg/m ² |
| Aspal | | = 14 kg/m ² |
| Spesi (2cm) | | = 42 kg/m ² |
| q_D | | = 686 kg/m ² |
- Beban Hidup

| | | |
|-------|--|-------------------------|
| q_L | | = 400 kg/m ² |
|-------|--|-------------------------|

4.3.5.3 Rekapitulasi Tulangan Pelat *Basement*

Dari beban diatas, penulangan *basement* yang digunakan untuk semua pelat yaitu:

Tabel 4.27 Rekapitulasi Tulangan Pelat *Basement*

| Tulangan | Arah X | Arah Y |
|----------------|--------------|--------------|
| Tulangan Atas | D13 – 200 mm | D13 – 225 mm |
| Tulangan Bawah | D13 – 150 mm | D13 – 175 mm |

4.4 Struktur Primer

4.4.1 Umum

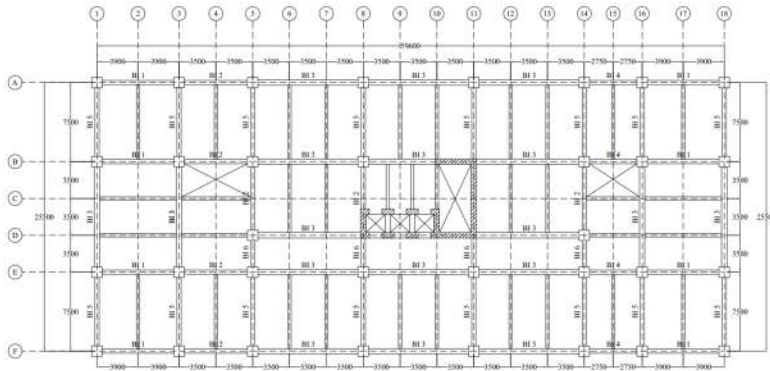
Struktur primer atau struktur utama merupakan struktur yang menahan seluruh kombinasi beban yang berasal dari beban gravitasi maupun beban lateral seperti gempa dan angin. Komponen struktur primer yang akan dibahas pada tugas akhir ini adalah balok induk, kolom, dan dinding geser atau *shear wall*. Berikut merupakan perhitungan dalam perencanaan kebutuhan tulangan untuk masing-masing komponen struktur primer tersebut.

4.4.2 Perencanaan Balok Induk

Gedung Apartemen Tower 2 The Arundaya Surabaya akan direncanakan dengan menggunakan dua dimensi balok induk dengan bentang yang berbeda-beda, yaitu:

- BI 1 dimensi 40/70 cm dengan bentang 7.80 m
- BI 2 dimensi 40/70 cm dengan bentang 7.00 m
- BI 3 dimensi 50/75 cm dengan bentang 10.50 m
- BI 4 dimensi 40/70 cm dengan bentang 5.50 m
- BI 5 dimensi 40/70 cm dengan bentang 7.50 m
- BI 6 dimensi 40/70 cm dengan bentang 3.50 m

Sama halnya dengan penulangan balok anak, balok induk juga dihitung dalam 3 kondisi, yaitu setalah komposit, sebelum komposit, dan saat pengangkatan. Dari ketiga kondisi tersebut, diambil perhitungan penulangan yang paling kritis untuk kebutuhan tulangan balok induk. Pada contoh perhitungan akan dihitung balok induk 1.



Gambar 4.22 Denah Balok Induk

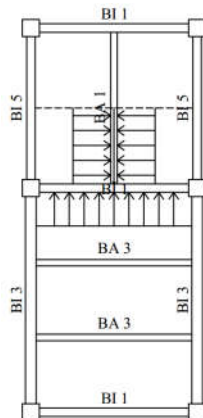
4.4.2.1 Data Perencanaan Balok Induk

Berikut merupakan data perencanaan balok induk 1 pada gedung Apartemen Tower 2 The Arundaya Surabaya:

- Dimensi Komposit = 40x70 cm
- Dimensi *Half Beam* = 40x56 cm
- *Overtopping* = 14 cm
- f_c = 35 MPa
- f_y = 420 MPa
- L = 7.8 m
- Tulangan Longitudinal = 25 mm
- Tulangan Transversal = 13 mm
- *Clear Cover* = 50 mm

4.4.2.2 Pembebanan Balok Induk

Beban yang bekerja pada balok induk adalah berat sendiri balok induk tersebut dan semua beban merata pada pelat (termasuk berat sendiri pelat dan berat hidup merata di atasnya) serta berat dari balok anak sendiri yang menumpu pada balok induknya. Distribusi beban pada balok induk tipe 1 ini untuk lebih jelasnya dapat dilihat pada Gambar 4.23 berikut:



Gambar 4.23 Distribusi Beban pada Balok Induk

- Sebelum Komposit

- Beban Mati Merata

$$\text{Berat Sendiri Balok} = 2400 \times 0.40 \times 0.56 = 537.60 \text{ kg/m}$$

$$\text{Berat Overtopping} = 2400 \times 0.40 \times 0.14 = 134.40 \text{ kg/m}$$

$$\text{Berat Pelat} = 2400 \times 1.75 \times 0.14 = 588.00 \text{ kg/m}$$

$$q_D = 1260.00 \text{ kg/m}$$

- Beban Mati Terpusat

$$\text{Berat Pelat} = 2400 \times 3.9 \times 3.75 \times 0.14 = 4914 \text{ kg}$$

$$\text{Berat Balok Anak} = 2400 \times 0.3 \times 3.75 \times 0.55 = 1485 \text{ kg}$$

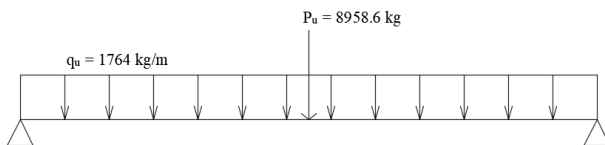
$$P_D = 6399 \text{ kg}$$

- Kombinasi Beban Merata

$$q_u = 1.4 \times 1260 = 1764 \text{ kg/m}$$

- Kombinasi Beban Terpusat

$$P_u = 1.4 \times 6399 = 8958.6 \text{ kg}$$



Gambar 4.24 Kombinasi Beban

- Saat Pengangkatan
- Beban Mati

$$\text{Berat Sendiri Balok} = 2400 \times 0.4 \times 0.56 = 537.6 \text{ kg/m}$$
- Kombinasi Beban

$$q = 1.4 \times 537.6 = 752.64 \text{ kg/m}$$

4.4.2.3 Perhitungan Tulangan Balok Induk

$$\begin{aligned}\beta_1 &= 0.85 - 0.05 \frac{f'_c - 28}{7} \\ &= 0.85 - 0.05 \frac{35 - 28}{7} \\ &= 0.80\end{aligned}$$

$$\begin{aligned}\rho_{\min 1} &= 0.25 \frac{\sqrt{f'_c}}{f_y} \\ &= 0.25 \frac{\sqrt{35}}{420} \\ &= 0.0035\end{aligned}$$

$$\begin{aligned}\rho_{\min 2} &= \frac{1.4}{f_y} \\ &= \frac{1.4}{420} \\ &= 0.0033\end{aligned}$$

$$\begin{aligned}m &= \frac{f_y}{0.85 f'_c} \\ &= \frac{420}{0.85 (35)} \\ &= 14.12\end{aligned}$$

- Setelah Komposit

$$\begin{aligned}d &= h_{balok} - \text{clear cover} - D_{sengkang} - 0.5D_{tulangan} \\ &= 700 - 50 - 13 - 0.5(25) \\ &= 624.5 \text{ mm}\end{aligned}$$

$$\begin{aligned}d' &= \text{clear cover} + D_{sengkang} + 0.5D_{tulangan} \\ &= 50 + 13 + 0.5(25) \\ &= 75.5 \text{ mm}\end{aligned}$$

$$M_{tumpuan} = 40,328.94 \text{ kgm (Hasil ETABS)}$$

$$M_{tumpuan+} = 14,899.19 \text{ kgm} \text{ (Hasil ETABS)}$$

$$M_{lapangan+} = 28,638.45 \text{ kgm} \text{ (Hasil ETABS)}$$

$$M_{lapangan-} = 10,882.01 \text{ kgm} \text{ (Hasil ETABS)}$$

$$V_u = 25,717.74 \text{ kg} \text{ (Hasil ETABS)}$$

- Tulangan Negatif Tumpuan

$$M_u = 40,328.94 \text{ kgm}$$

$$\phi = 0.90$$

$$\begin{aligned} R_n &= \frac{M_u}{\phi b d^2} \\ &= \frac{40,328.94 \times 10^4}{0.90 (400) (624.5)^2} \\ &= 2.87 \end{aligned}$$

$$\begin{aligned} \rho_{perlu} &= \frac{1}{m} \left(1 - \sqrt{1 - \frac{2mRn}{f_y}} \right) \\ &= \frac{1}{2.87} \left(1 - \sqrt{1 - \frac{2 \times 14.12 \times 2.87}{420}} \right) \\ &= 0.0072 \end{aligned}$$

$$\rho_{pakai} = 0.0072 > \rho_{min}$$

$$A_s \text{ perlu} = \rho_{pakai} \times b \times d$$

$$= 0.0072 \times 400 \times 624.5$$

$$= 1799.96 \text{ mm}^2$$

$$\begin{aligned} n_{\text{pakai}} &= \frac{A_s \text{ perlu}}{A_s \text{ tulangan}} \\ &= \frac{1799.96}{0.25\pi(25)^2} \\ &= 4 \text{ buah} \end{aligned}$$

$$s_{min1} = D_{tulangan}$$

$$= 25 \text{ mm}$$

$$s_{min2} = 25 \text{ mm}$$

$$s_{hasil} = \frac{b - n_{\text{pakai}} D_{tulangan} - 2 \text{ clearcover} - 2 D_{sengkang}}{n_{\text{pakai}} - 1}$$

$$= \frac{400 - 4(25) - 2(50) - 2(13)}{4 - 1}$$

$$= 58 \text{ mm}$$

$$s_{hasil} > s_{min} \text{ (OK)}$$

\therefore Maka digunakan tulangan negatif tumpuan 4D25

- Tulangan Positif Tumpuan

$$M_u = 14,899.19 \text{ kgm}$$

$$M_{u \min} = 0.5 M_{tulangan} -$$

$$= 20,164.47 \text{ kgm}$$

$$M_{u \text{ pakai}} = 20,164.47 \text{ kgm}$$

$$\phi = 0.90$$

$$R_n = \frac{M_u}{\phi b d^2}$$

$$= \frac{20,164.47 \times 10^4}{0.90 (400) (624.5)^2}$$

$$= 1.44$$

$$\rho_{\text{perlu}} = \frac{1}{m} \left(1 - \sqrt{1 - \frac{2mRn}{f_y}} \right)$$

$$= \frac{1}{2.87} \left(1 - \sqrt{1 - \frac{2 \times 14.12 \times 1.44}{420}} \right)$$

$$= 0.0035$$

$$\rho_{\text{pakai}} = 0.0035 > \rho_{\text{perlu}}$$

$$A_s \text{ perlu} = \rho_{\text{pakai}} \times b \times d$$

$$= 0.0035 \times 400 \times 624.5$$

$$= 879.66 \text{ mm}^2$$

$$n_{\text{pakai}} = \frac{A_s \text{ perlu}}{A_{\text{stulangan}}}$$

$$= \frac{879.66}{0.25\pi(25)^2}$$

$$= 2 \text{ buah}$$

$$s_{\min 1} = D_{\text{tulangan}}$$

$$= 25 \text{ mm}$$

$$s_{\min 2} = 25 \text{ mm}$$

$$s_{\text{hasil}} = \frac{b - n_{\text{pakai}} D_{\text{tulangan}} - 2 \text{ clearcover} - 2 D_{\text{sengkang}}}{n_{\text{pakai}} - 1}$$

$$= \frac{400 - 2(25) - 2(50) - 2(13)}{2 - 1}$$

$$= 224 \text{ mm}$$

$$s_{\text{hasil}} > s_{\min} (\text{OK})$$

∴ Maka digunakan tulangan positif tumpuan 2D25

- Kontrol Tulangan Rangkap Tumpuan Negatif

$$\begin{aligned}
\rho &= \frac{A_s}{bd} \\
&= \frac{1963.495}{400 \times 624.5} \\
&= 0.0079 \\
\rho' &= \frac{A'_s}{bd} \\
&= \frac{981.748}{400 \times 624.5} \\
&= 0.0039 \\
\rho - \rho' &= 0.0079 - 0.0039 \\
&= 0.0039 \\
\rho_{cy} &= \frac{0.85 f'_c d'}{d f_y} \beta_1 \left(\frac{600}{600 - f_y} \right) \\
&= \frac{0.85 \times 35 \times 75.5}{624.5 \times 420} 0.80 \left(\frac{600}{600 - 420} \right) \\
&= 0.0228 \\
\rho - \rho' &\leq \rho_{cy} \rightarrow \text{tulangan tekan belum leleh} \\
f'_s &= 600 \left(\frac{c - d'}{c} \right) \\
A_s f_y &= 0.85 f'_c ab + A'_s (f'_s - 0.85 f'_c) \\
a &= \frac{A_s f_y - A'_s (f'_s - 0.85 f'_c)}{0.85 f'_c b} \\
\beta_1 c &= \frac{A_s f_y - A'_s (f'_s - 0.85 f'_c)}{0.85 f'_c b} \\
\text{Selesaikan persamaan diatas, diperoleh:} \\
c_1 &= 83.66 \text{ mm} \\
c_2 &= -55.84 \text{ mm} \\
c_{\text{pakai}} &= 83.66 \text{ mm} \\
a &= \beta_1 c \\
&= 0.80 (83.66) \\
&= 66.93 \text{ mm} \\
f'_s &= 600 \left(\frac{c - d'}{c} \right) \\
&= 600 \left(\frac{83.66 - 75.5}{83.66} \right) \\
&= 58.51 \text{ MPa} \\
M_n &= (A_s f_y - A'_s f'_s) \left(d - \frac{a}{2} \right) + A'_s f'_s (d - d')
\end{aligned}$$

$$\begin{aligned}
 &= (1963.495 \times 420 - 981.748 \times 58.51)(624.5 - \\
 &\quad 66.93/2) + 981.748 \times 58.51(624.5 - 75.5) \\
 &= 48,499.42 \text{ kgm}
 \end{aligned}$$

$$\begin{aligned}
 \phi M_n &= 0.90 (48,499.42) \\
 &= 43,649.48 \text{ kgm}
 \end{aligned}$$

$$\phi M_n \geq M_u = 40,328.94 \text{ kgm (OK)}$$

Kontrol Regangan:

$$\begin{aligned}
 \varepsilon_t &= \frac{d-c}{c} 0.003 \\
 &= 0.0194 > 0.005 \text{ (OK)}
 \end{aligned}$$

- Kontrol Tulangan Rangkap Tumpuan Positif

$$\begin{aligned}
 \rho &= \frac{A_s}{bd} \\
 &= \frac{981.748}{400 \times 624.5} \\
 &= 0.0039
 \end{aligned}$$

$$\begin{aligned}
 \rho' &= \frac{A'_s}{bd} \\
 &= \frac{1963.495}{400 \times 624.5} \\
 &= 0.0079
 \end{aligned}$$

$$\begin{aligned}
 \rho - \rho' &= 0.0039 - 0.0079 \\
 &= -0.0039
 \end{aligned}$$

$$\begin{aligned}
 \rho_{cy} &= \frac{0.85 f'_c d'}{df_y} \beta_1 \left(\frac{600}{600 - f_y} \right) \\
 &= \frac{0.85 \times 35 \times 75.5}{624.5 \times 420} 0.80 \left(\frac{600}{600 - 420} \right) \\
 &= 0.0228
 \end{aligned}$$

$$\rho - \rho' \leq \rho_{cy} \rightarrow \text{tulangan tekan belum leleh}$$

$$f'_s = 600 \left(\frac{c-d'}{c} \right)$$

$$A_s f_y = 0.85 f'_c ab + A'_s (f'_s - 0.85 f'_c)$$

$$a = \frac{A_s f_y - A'_s (f'_s - 0.85 f'_c)}{0.85 f'_c b}$$

$$\beta_1 c = \frac{A_s f_y - A'_s (f'_s - 0.85 f'_c)}{0.85 f'_c b}$$

Selesaikan persamaan diatas, diperoleh:

$$c_1 = 66.40 \text{ mm}$$

$$c_2 = -140.70 \text{ mm}$$

$$\begin{aligned}
c_{\text{pakai}} &= 66.40 \text{ mm} \\
a &= \beta_1 c \\
&= 0.80 (66.40) \\
&= 53.12 \text{ mm} \\
f_s &= 600 \left(\frac{c-d'}{c} \right) \\
&= 600 \left(\frac{66.40-75.5}{66.40} \right) \\
&= -82.20 \text{ MPa} \\
M_n &= (A_s f_y - A'_s f'_s) \left(d - \frac{a}{2} \right) + A'_s f'_s (d - d') \\
&= 25,444.96 \text{ kgm} \\
\phi M_n &= 0.90 (25,444.96) \\
&= 22,900.46 \text{ kgm} \\
\phi M_n &\geq M_u = 20,164.47 \text{ kgm (OK)} \\
\text{Kontrol Regangan:} \\
\varepsilon_t &= \frac{d-c}{c} 0.003 \\
&= 0.025 > 0.005 \text{ (OK)} \\
- \quad \text{Tulangan Positif Lapangan} \\
M_u &= 28,638.45 \text{ kgm} \\
\phi &= 0.90 \\
R_n &= \frac{M_u}{\phi b d^2} \\
&= \frac{28,638.45 \times 10^4}{0.90 (400) (624.5)^2} \\
&= 2.04 \\
\rho_{\text{perlu}} &= \frac{1}{m} \left(1 - \sqrt{1 - \frac{2mRn}{f_y}} \right) \\
&= \frac{1}{2.87} \left(1 - \sqrt{1 - \frac{2 \times 14.12 \times 2.04}{420}} \right) \\
&= 0.0050 \\
\rho_{\text{pakai}} &= 0.0050 > \rho_{\min} \\
A_s \text{ perlu} &= \rho_{\text{pakai}} \times b \times d \\
&= 0.0050 \times 400 \times 624.5 \\
&= 1257.89 \text{ mm}^2
\end{aligned}$$

$$\begin{aligned}
 n_{\text{pakai}} &= \frac{A_s \text{perlu}}{A_{\text{stulangan}}} \\
 &= \frac{1257.89}{0.25\pi(25)^2} \\
 &= 4 \text{ buah} \\
 s_{\min 1} &= D_{\text{tulangan}} \\
 &= 25 \text{ mm} \\
 s_{\min 2} &= 25 \text{ mm} \\
 s_{\text{hasil}} &= \frac{b - n_{\text{pakai}} D_{\text{tulangan}} - 2 \text{clearcover} - 2 D_{\text{sengkang}}}{n_{\text{pakai}} - 1} \\
 &= \frac{400 - 4(25) - 2(50) - 2(13)}{4 - 1} \\
 &= 58 \text{ mm} \\
 s_{\text{hasil}} &> s_{\min} (\text{OK})
 \end{aligned}$$

∴ Maka digunakan tulangan positif lapangan 4D25

- Tulangan Negatif Lapangan

$$M_u = 10,882.01 \text{ kgm}$$

$$M_{u \min} = 0.25 M_{\text{tumpuan}}$$

$$= 10,082.23 \text{ kgm}$$

$$M_{u \text{ pakai}} = 10,882.01 \text{ kgm}$$

$$\phi = 0.90$$

$$\begin{aligned}
 R_n &= \frac{M_u}{\phi b d^2} \\
 &= \frac{10,882.01 \times 10^4}{0.90 (400) (624.5)^2} \\
 &= 0.775
 \end{aligned}$$

$$\begin{aligned}
 \rho_{\text{perlu}} &= \frac{1}{m} \left(1 - \sqrt{1 - \frac{2mRn}{f_y}} \right) \\
 &= \frac{1}{2.87} \left(1 - \sqrt{1 - \frac{2 \times 14.12 \times 0.775}{420}} \right) \\
 &= 0.0019
 \end{aligned}$$

$$\rho_{\text{pakai}} = 0.0035 > \rho_{\text{perlu}}$$

$$A_s \text{ perlu} = \rho_{\text{pakai}} \times b \times d$$

$$= 0.0035 \times 400 \times 624.5$$

$$= 879.66 \text{ mm}^2$$

$$\begin{aligned}
 n_{\text{pakai}} &= \frac{A_s \text{perlu}}{A_{\text{stulangan}}} \\
 &= \frac{879.66}{0.25\pi(25)^2} \\
 &= 2 \text{ buah} \\
 s_{\min 1} &= D_{\text{tulangan}} \\
 &= 25 \text{ mm} \\
 s_{\min 2} &= 25 \text{ mm} \\
 s_{\text{hasil}} &= \frac{b - n_{\text{pakai}} D_{\text{tulangan}} - 2 \text{clearcover} - 2 D_{\text{sengkang}}}{n_{\text{pakai}} - 1} \\
 &= \frac{400 - 2(25) - 2(50) - 2(13)}{2 - 1} \\
 &= 224 \text{ mm} \\
 s_{\text{hasil}} &> s_{\min} (\text{OK})
 \end{aligned}$$

∴ Maka digunakan tulangan negatif lapangan 2D25

- Kontrol Tulangan Rangkap Lapangan Positif

$$\begin{aligned}
 \rho &= \frac{A_s}{bd} \\
 &= \frac{1963.495}{400 \times 624.5} \\
 &= 0.0079 \\
 \rho' &= \frac{A'_s}{bd} \\
 &= \frac{981.748}{400 \times 624.5} \\
 &= 0.0039 \\
 \rho - \rho' &= 0.0079 - 0.0039 \\
 &= 0.0039 \\
 \rho_{\text{cy}} &= \frac{0.85 f'_c d'}{d f_y} \beta_1 \left(\frac{600}{600 - f_y} \right) \\
 &= \frac{0.85 \times 35 \times 75.5}{624.5 \times 420} 0.80 \left(\frac{600}{600 - 420} \right) \\
 &= 0.0228 \\
 \rho - \rho' &\leq \rho_{\text{cy}} \rightarrow \text{tulangan tekan belum leleh} \\
 f'_s &= 600 \left(\frac{c - d'}{c} \right) \\
 A_s f_y &= 0.85 f'_c ab + A'_s (f'_s - 0.85 f'_c) \\
 a &= \frac{A_s f_y - A'_s (f'_s - 0.85 f'_c)}{0.85 f'_c b}
 \end{aligned}$$

$$\beta_1 c = \frac{A_s f_y - A'_s (f'_s - 0.85 f'_c)}{0.85 f'_c b}$$

Selesaikan persamaan diatas, diperoleh:

$$c_1 = 83.66 \text{ mm}$$

$$c_2 = -55.84 \text{ mm}$$

$$c_{\text{pakai}} = 83.66 \text{ mm}$$

$$a = \beta_1 c$$

$$= 0.80 (83.66)$$

$$= 66.93 \text{ mm}$$

$$f'_s = 600 \left(\frac{c-d'}{c} \right)$$

$$= 600 \left(\frac{83.66 - 75.5}{83.66} \right)$$

$$= 58.51 \text{ MPa}$$

$$M_n = (A_s f_y - A'_s f'_s) \left(d - \frac{a}{2} \right) + A'_s f'_s (d - d')$$

$$= (1963.495 \times 420 - 981.748 \times 58.51) (624.5 - 66.93/2) + 981.748 \times 58.51 (624.5 - 75.5)$$

$$= 48,499.42 \text{ kgm}$$

$$\phi M_n = 0.90 (48,499.42)$$

$$= 43,649.48 \text{ kgm}$$

$$\phi M_n \geq M_u = 28,638.45 \text{ kgm (OK)}$$

Kontrol Regangan:

$$\varepsilon_t = \frac{d-c}{c} 0.003$$

$$= 0.0194 > 0.005 \text{ (OK)}$$

- Kontrol Tulangan Rangkap Lapangan Negatif

$$\rho = \frac{A_s}{bd}$$

$$= \frac{981.748}{400 \times 624.5}$$

$$= 0.0039$$

$$\rho' = \frac{A'_s}{bd}$$

$$= \frac{1963.495}{400 \times 624.5}$$

$$= 0.0079$$

$$\rho - \rho' = 0.0039 - 0.0079$$

$$= -0.0039$$

$$\begin{aligned}\rho_{cy} &= \frac{0.85f'_c d'}{df_y} \beta_1 \left(\frac{600}{600-f_y} \right) \\ &= \frac{0.85 \times 35 \times 75.5}{624.5 \times 420} 0.80 \left(\frac{600}{600-420} \right) \\ &= 0.0228\end{aligned}$$

$$\begin{aligned}\rho - \rho' &\leq \rho_{cy} \rightarrow \text{tulangan tekan belum leleh} \\ f_s &= 600 \left(\frac{c-d'}{c} \right) \\ A_s f_y &= 0.85 f'_c ab + A'_s (f'_s - 0.85 f'_c) \\ a &= \frac{A_s f_y - A'_s (f'_s - 0.85 f'_c)}{0.85 f'_c b} \\ \beta_1 c &= \frac{A_s f_y - A'_s (f'_s - 0.85 f'_c)}{0.85 f'_c b}\end{aligned}$$

Selesaikan persamaan diatas, diperoleh:

$$c_1 = 66.40 \text{ mm}$$

$$c_2 = -140.70 \text{ mm}$$

$$c_{\text{pakai}} = 66.40 \text{ mm}$$

$$\begin{aligned}a &= \beta_1 c \\ &= 0.80 (66.40) \\ &= 53.12 \text{ mm}\end{aligned}$$

$$\begin{aligned}f_s &= 600 \left(\frac{c-d'}{c} \right) \\ &= 600 \left(\frac{66.40 - 75.5}{66.40} \right) \\ &= -82.20 \text{ MPa}\end{aligned}$$

$$\begin{aligned}M_n &= (A_s f_y - A'_s f'_s) \left(d - \frac{a}{2} \right) + A'_s f'_s (d - d') \\ &= 25,444.96 \text{ kgm}\end{aligned}$$

$$\begin{aligned}\phi M_n &= 0.90 (25,444.96) \\ &= 22,900.46 \text{ kgm}\end{aligned}$$

$$\phi M_n \geq M_u = 10,882.01 \text{ kgm (OK)}$$

Kontrol Regangan:

$$\begin{aligned}\varepsilon_t &= \frac{d-c}{c} 0.003 \\ &= 0.025 > 0.005 \text{ (OK)}\end{aligned}$$

- Kontrol Balok T Lapangan

$$b_{el} = \frac{l}{4}$$

$$\begin{aligned}
 &= \frac{7800}{4} \\
 &= 1950 \text{ mm} \\
 b_{e2} &= b_w + 2(8h_f) \\
 &= 4000 + 16(140) \\
 &= 2640 \text{ mm} \\
 b_{e3} &= b_w + \text{total transverse span} \\
 &= 4000 + 0.5(7100 + 3150) \\
 &= 5525 \text{ mm} \\
 b_{e \text{ pakai}} &= 1950 \text{ mm} \\
 a &= \frac{A_s f_y}{0.85 f'_c b_e} \\
 &= 14.22 \text{ mm} \\
 t_f &= 140 \text{ mm} \\
 a &\leq t_f \rightarrow \text{the beam be considered as rectangular} \\
 M_n &= A_s f_y \left(d - \frac{a}{2} \right) \\
 &= 1963.495(420) \left(624.5 - \frac{14.22}{2} \right) \\
 &= 50,914.37 \text{ kgm} \\
 \phi M_n &= 0.90(50,914.37) \\
 &= 45,822.94 \text{ kgm} \\
 \phi M_n &\geq M_u = 28,638.45 \text{ kgm (OK)}
 \end{aligned}$$

Kontrol Regangan:

$$\begin{aligned}
 c &= \frac{a}{\beta_1} \\
 &= \frac{14.22}{0.80} \\
 &= 17.77 \text{ mm} \\
 \varepsilon_t &= \frac{d-c}{c} 0.003 \\
 &= 0.102 > 0.005 \text{ (OK)}
 \end{aligned}$$

- Kontrol Balok T Tumpuan

$$\begin{aligned}
 b_{e1} &= \frac{l}{4} \\
 &= \frac{7800}{4} \\
 &= 1950 \text{ mm} \\
 b_{e2} &= b_w + 2(8h_f)
 \end{aligned}$$

$$\begin{aligned}
 &= 4000 + 16(140) \\
 &= 2640 \text{ mm} \\
 b_{e3} &= b_w + \text{total transverse span} \\
 &= 4000 + 0.5(7100 + 3150) \\
 &= 5525 \text{ mm} \\
 b_e \text{ pakai} &= 1950 \text{ mm} \\
 a &= \frac{A_s f_y}{0.85 f'_c b_e} \\
 &= 7.11 \text{ mm} \\
 t_f &= 140 \text{ mm} \\
 a &\leq t_f \rightarrow \text{the beam be considered as rectangular} \\
 M_n &= A_s f_y \left(d - \frac{a}{2} \right) \\
 &= 981.75(420) \left(624.5 - \frac{7.11}{2} \right) \\
 &= 25,603.72 \text{ kgm} \\
 \phi M_n &= 0.90(25,603.72) \\
 &= 23,043.35 \text{ kgm} \\
 \phi M_n &\geq M_u = 20,164.47 \text{ kgm (OK)}
 \end{aligned}$$

Kontrol Regangan:

$$\begin{aligned}
 c &= \frac{a}{\beta_1} \\
 &= \frac{7.11}{0.80} \\
 &= 8.88 \text{ mm} \\
 \varepsilon_t &= \frac{d-c}{c} 0.003 \\
 &= 0.208 > 0.005 \text{ (OK)}
 \end{aligned}$$

- Tulangan Geser

Nilai momen nominal maksimum dari cek momen tulangan nominal terpasang dengan asumsi tumpuan kiri dan kanan memiliki jumlah tulangan yang sama. Menurut ACI 318M-14 pasal 18.6.5.1, dalam mendesain gaya geser harus ditentukan dari peninjauan terhadap gaya-gaya maksimum yang dapat dihasilkan di joints (M_{pr}). Nilai dari Gaya-gaya maksimum dapat dituliskan dalam persamaan sebagai berikut:

$$M_{pr} = (A_s 1.25 f_y) \left(d - \frac{a}{2} \right)$$

$$a = \frac{A_s 1.25 f_y}{0.85 f'_c b}$$

Tabel 4.28 Perhitungan M_{pr} Balok Induk

| Lokasi | | A_s (mm ²) | a (mm) | M_{pr} (kNm) |
|---------|-------|--------------------------|--------|----------------|
| Tumpuan | Kiri | - | 598.74 | 599.11 |
| | Kanan | + | 311.84 | 310.72 |
| | Kiri | + | 311.84 | 310.72 |
| | Kanan | - | 598.74 | 599.11 |

$$M_{pr1} = 599.11 \text{ kNm}$$

$$M_{pr2} = 310.72 \text{ kNm}$$

$$L_n = 6.8 \text{ m}$$

$$W_u = 46.37 \text{ kN/m}$$

$$V_{e1} = \frac{M_{pr1} + M_{pr2}}{L_n} + \frac{W_u L_n}{2}$$

$$= \frac{599.11 + 310.72}{6.8} + \frac{46.37 \times 6.8}{2}$$

$$= 291.47 \text{ kN}$$

$$V_{e2} = \frac{M_{pr1} + M_{pr2}}{L_n} - \frac{W_u L_n}{2}$$

$$= \frac{599.11 + 310.72}{6.8} - \frac{46.37 \times 6.8}{2}$$

$$= -23.87 \text{ kN}$$

$$V_e \text{ pakai} = 291.47 \text{ kN}$$

Berdasarkan ACI 318M-14 pasal 18.6.5.2, tulangan transversal harus diproporsikan untuk menahan geser dengan mengasumsikan $V_c = 0$ apabila kedua persyaratan berikut terjadi.

Syarat 1:

$$M_{pr} = \frac{M_{pr1} + M_{pr2}}{L_n} \geq 0.5 V_e \text{ pakai}$$

$$M_{pr} = \frac{599.11 + 310.72}{6.8} \geq 0.5 (291.47)$$

$$M_{pr} = 133.80 \text{ kNm} \leq 145.73 \text{ kNm}$$

Syarat 2:

$$P_u \leq \frac{1}{20} A_g f'_c$$

Karena pada balok nilai P_u sangat kecil, maka syarat kedua dapat diabaikan. Namun karena syarat 1 tidak memenuhi, maka kekuatan beton V_c tetap diperhitungkan.

$$V_e = 291.47 \text{ kN}$$

$$\begin{aligned} V_c &= 0.17 \sqrt{f'_c} bd \\ &= 251.23 \text{ kN} \end{aligned}$$

$$\phi V_c = 188.42 \text{ kN}$$

$$0.5\phi V_c = 94.21 \text{ kN}$$

$$\begin{aligned} V_{s \min} &= 0.062 \sqrt{f'_c} bd \\ &= 92.36 \text{ kN} \end{aligned}$$

$$\phi (V_c + V_{s \min}) = 257.70 \text{ kN}$$

$$\begin{aligned} V'_s &= 0.35 \sqrt{f'_c} bd \\ &= 492.61 \text{ kN} \end{aligned}$$

$$\phi V'_s = 369.46 \text{ kN}$$

$$\phi (V_c + V'_s) = 557.88 \text{ kN}$$

Syarat:

Kondisi 1:

$$V_u \leq 0.5\phi V_c \rightarrow \text{tidak memenuhi}$$

Kondisi 2:

$$0.5\phi V_c \leq V_u \leq \phi V_c \rightarrow \text{tidak memenuhi}$$

Kondisi 3:

$$\phi V_c \leq V_u \leq \phi (V_c + V_{s \min}) \rightarrow \text{tidak memenuhi}$$

Kondisi 4:

$$\phi (V_c + V_{s \min}) \leq V_u \leq \phi (V_c + V'_s) \rightarrow \text{memenuhi}$$

Oleh karena kondisi 4 persyaratan tulangan geser memenuhi, maka diperlukan tulangan geser dalam perencanaan balok induk ini.

$$\begin{aligned} s_{\max 1} &= \frac{d}{4} \\ &= \frac{624.5}{4} \\ &= 156.125 \text{ mm} \end{aligned}$$

$$s_{\max 2} = 6D_{\text{longitudinal}}$$

$$\begin{aligned}
 &= 150 \text{ mm} \\
 s_{\max 3} &= 150 \text{ mm} \\
 s_{\text{pakai}} &= 150 \text{ mm} \\
 D_{\text{sengkang}} &= 13 \text{ mm} \\
 f_y \text{ sengkang} &= 420 \text{ MPa} \\
 \text{Sengkang} &= 2 \text{ kaki} \\
 A_{v \min 1} &= 0.062 \sqrt{f'_c} \frac{bs}{f_y} \\
 &= 52.40 \text{ mm}^2 \\
 A_{v \min 2} &= 0.35 \frac{bs}{f_y} \\
 &= 50 \text{ mm}^2 \\
 A_{v \text{ pakai}} &= 2 \times 0.25 \pi D_{\text{sengkang}}^2 \\
 &= 2 \times 0.25 \pi 13^2 \\
 &= 265.46 \text{ mm}^2 (\text{OK}) \\
 V_{s \text{ pakai}} &= \frac{A_v f_y d}{s_{\text{pakai}}} \\
 &= \frac{265.46 \times 420 \times 624.5}{150} \\
 &= 464.19 \text{ kN} > V_{s \min} (\text{OK}) \\
 &= 464.19 \text{ kN} > V_{s \text{ perlu}} (\text{OK})
 \end{aligned}$$

Daerah plastis:

$$2h = 1400 \text{ mm}$$

$$\text{Peikko} = 248 \text{ mm}$$

∴ Maka digunakan tulangan geser tumpuan 2D13-150 mm sepanjang daerah plastis = 1650 mm dengan sengkang pertama dipasang 50 mm dari tumpuan

$$\begin{aligned}
 V_u &= 214.95 \text{ kN} \\
 V_c &= 0.17 \sqrt{f'_c} bd \\
 &= 251.23 \text{ kN} \\
 \phi V_c &= 188.42 \text{ kN} \\
 0.5\phi V_c &= 94.21 \text{ kN} \\
 V_{s \min} &= 0.062 \sqrt{f'_c} bd \\
 &= 92.36 \text{ kN} \\
 \phi (V_c + V_{s \min}) &= 257.70 \text{ kN}
 \end{aligned}$$

Syarat:

Kondisi 1:

$$V_u \leq 0.5\phi V_c \rightarrow \text{tidak memenuhi}$$

Kondisi 2:

$$0.5\phi V_c \leq V_u \leq \phi V_c \rightarrow \text{tidak memenuhi}$$

Kondisi 3:

$$\phi V_c \leq V_u \leq (\phi V_c + V_{smin}) \rightarrow \text{memenuhi}$$

Oleh karena kondisi 3 persyaratan tulangan geser memenuhi, maka diperlukan tulangan geser dalam perencanaan balok induk ini.

$$\begin{aligned} s_{max1} &= \frac{d}{2} \\ &= \frac{624.5}{2} \\ &= 312.25 \text{ mm} \end{aligned}$$

$$s_{max2} = 300 \text{ mm}$$

$$s_{pakai} = 300 \text{ mm}$$

$$D_{sengkang} = 13 \text{ mm}$$

$$f_y \text{ sengkang} = 420 \text{ MPa}$$

$$\text{Sengkang} = 2 \text{ kaki}$$

$$\begin{aligned} A_{v min1} &= 0.062 \sqrt{f'_c} \frac{bs}{f_y} \\ &= 104.80 \text{ mm}^2 \end{aligned}$$

$$\begin{aligned} A_{v min2} &= 0.35 \frac{bs}{f_y} \\ &= 100 \text{ mm}^2 \end{aligned}$$

$$\begin{aligned} A_{v pakai} &= 2 \times 0.25 \pi D_{sengkang}^2 \\ &= 2 \times 0.25 \pi 13^2 \\ &= 265.46 \text{ mm}^2 (\text{OK}) \end{aligned}$$

$$\begin{aligned} V_s \text{ pakai} &= \frac{A_v f_y d}{s_{pakai}} \\ &= \frac{265.46 \times 420 \times 624.5}{300} \\ &= 232.10 \text{ kN} > V_{s min} (\text{OK}) \\ &= 232.10 \text{ kN} > V_{s perlu} (\text{OK}) \end{aligned}$$

. Maka digunakan tulangan geser lapangan 2D13-300 mm sepanjang luar daerah plastis

- Tulangan Torsi

$$\begin{aligned}
 T_u &= 7796,40 \text{ kgm (Hasil ETABS)} \\
 &= 77.96 \text{ kNm} \\
 V_u &= 257.18 \text{ kN} \\
 A_{cp} &= 400 \times 700 \\
 &= 280,000 \text{ mm}^2 \\
 P_{cp} &= 2(400 + 700) \\
 &= 2,200 \text{ mm}
 \end{aligned}$$

Perencanaan tulangan torsi berdasarkan ACI 318M-14 pasal 22.7.4.1, yaitu pengaruh torsi dapat diabaikan jika momen torsi terfaktor T_u kurang dari perumusan berikut:

$$\begin{aligned}
 T_u &\leq \phi T_{th} \\
 T_{cr} &= 0.33 \lambda \sqrt{f'_c} \left(\frac{A_{cp}^2}{P_{cp}} \right) \\
 &= 0.33 (1) \sqrt{35} \left(\frac{280000}{2200} \right) \\
 &= 69.57 \text{ kNm} \\
 \phi T_{cr} &= 52.18 \text{ kNm} \\
 \phi T_{cr} &\leq T_u = 77.96 \text{ kNm (Perlu Tulangan Torsi)} \\
 x_1 &= b - 2(\text{clear cover} + D_{sengkang}) \\
 &= 400 - 2(50 + 13) \\
 &= 274 \text{ mm} \\
 y_1 &= h - 2(\text{clear cover} + D_{sengkang}) \\
 &= 700 - 2(50 + 13) \\
 &= 574 \text{ mm} \\
 A_{oh} &= x_1 \times y_1 \\
 &= 274 \times 574 \\
 &= 157,276 \text{ mm}^2 \\
 A_o &= 0.85 A_{oh} \\
 &= 133,684.6 \text{ mm}^2 \\
 P_h &= 2(x_1 + y_1) \\
 &= 2(274 + 574) \\
 &= 1,696 \text{ mm} \\
 \theta &= 45^\circ \\
 \cot \theta &= 1
 \end{aligned}$$

Cek Penampang Balok:

$$\sqrt{\left(\frac{V_u}{bd}\right)^2 + \left(\frac{T_u P_h}{1.7 A_{oh}^2}\right)} \leq \phi \left(\frac{V_c}{bd} + 0.66 \sqrt{f'_c} \right)$$

$$\sqrt{\left(\frac{257177.43}{400(624.5)}\right)^2 + \left(\frac{77.96 \times 10^6 \times 1,696}{1.7157,276^2}\right)} = 3.31$$

$$0.75 \left(\frac{251232.24}{400(624.5)} + 0.66 \sqrt{35} \right) = 3.68$$

$$3.31 \leq 3.68 \rightarrow \text{penampang cukup}$$

Tulangan Geser:

$$T_n = \frac{T_u}{\phi} = 103.95 \text{ kNm}$$

$$\frac{A_t}{s} = \frac{T_n}{2A_0 f_y t \cot \theta} = \frac{103.95 \times 10^6}{2 \times 133,684.6 \times 420 \times 1} = 0.926 \text{ mm}^2/\text{mm/one leg}$$

$$V_s = V_n - V_c = 342903.24 - 251232.24 = 91,671.00 \text{ N}$$

$$\frac{A_v}{s} = \frac{V_s}{f_y t d} = \frac{91,671.00}{420(624.5)} = 0.350 \text{ mm}^2/\text{mm/two leg}$$

$$\frac{A_{vt}}{s} = \frac{2A_t}{s} + \frac{A_v}{s} = 2(0.926) + 0.350 = 2.20 \text{ mm}^2/\text{mm/two leg}$$

$$D_{\text{sengkang}} = 13 \text{ mm}$$

$$A_{vt} = 265.46 \text{ mm}^2$$

$$s = \frac{A_{vt}}{A_{vt}/s} = 120.62 \text{ mm}$$

$$s_{\max 1} = \frac{P_h}{8} = 212 \text{ mm}$$

$$s_{\max 2} = 300 \text{ mm}$$

$$s_{\text{pakai}} = 120 \text{ mm}$$

$$\begin{aligned} A_{vt\ min1} &= 0.062 \sqrt{f'_c} \frac{bs}{f_{yt}} \\ &= 41.92 \text{ mm}^2 \end{aligned}$$

$$\begin{aligned} A_{vt\ min2} &= 0.35 \frac{bs}{f_{yt}} \\ &= 40 \text{ mm}^2 \end{aligned}$$

$$A_{vt} \geq A_{vt\ min} (\text{OK})$$

Tulangan Longitudinal:

$$\begin{aligned} A_l &= \frac{A_t}{s} P_h \frac{f_{yt}}{f_y} \cot^2 \theta \\ &= 1,569.99 \text{ mm}^2 \end{aligned}$$

$$\begin{aligned} A_{l\ min} &= \frac{0.42 \sqrt{f'_c A_{cp}}}{f_y} - \frac{A_t}{s} P_h \frac{f_{yt}}{f_y} \\ &= 86.51 \text{ mm}^2 (\text{OK}) \end{aligned}$$

$$\begin{aligned} \frac{A_t}{s} \min &= 0.175 \frac{b}{f_{yt}} \\ &= 0.167 \text{ mm}^2/\text{mm}/\text{one leg} (\text{OK}) \end{aligned}$$

Tulangan longitudinal untuk torsi dibagi menjadi 4 bagian, 25% didistribusikan ke atas, 25% didistribusikan ke bawah, dan 50% didistribusikan merata ke kiri dan ke kanan. Hasil dari kebutuhan luas tulangan longitudinal torsi akan digabung dengan kebutuhan luas tulangan lentur yang dihitung sebelumnya.

- Sebelum Komposit

$$\begin{aligned} d &= h_{balok} - \text{clear cover} - \emptyset_{sengkang} - 0.5D_{tulangan} \\ &= 560 - 50 - 13 - 0.5(25) \\ &= 484.5 \text{ mm} \end{aligned}$$

Momen yang terjadi pada balok induk sebelum balok induk komposit dihitung dengan beranggapan tumpuan pada balok induk adalah tumpuan sederhana, sehingga momen pada tumpuan dianggap tidak ada.

$$M_{tumpuan} = 0 \text{ kgm}$$

$$\begin{aligned} M_{lapangan} &= \frac{1}{8} q_u L^2 + \frac{1}{4} P_u L \\ &= \frac{1}{8} (1764)(7.8)^2 + \frac{1}{4} (8958.6)(7.8) \end{aligned}$$

$$= 30,884.49 \text{ kgm}$$

$$V_u = 0.5 (q_u L + P_u)$$

$$= 0.5 (1764 \times 7.8 + 8958.6)$$

$$= 11,358.90 \text{ kg}$$

- Tulangan Negatif Tumpuan

$$\rho_{\text{pakai}} = \rho_{\min}$$

$$= 0.0035$$

$$A_s \text{ perlu} = 0.0035 \times 400 \times 484.5$$

$$= 682.46 \text{ mm}^2$$

$$n_{\text{pakai}} = \frac{A_s \text{ perlu}}{A_{\text{stulangan}}}$$

$$= \frac{682.46}{0.25\pi(25)^2}$$

$$= 2 \text{ buah}$$

$$s_{\min 1} = D_{\text{tulangan}}$$

$$= 25 \text{ mm}$$

$$s_{\min 2} = 25 \text{ mm}$$

$$s_{\text{hasil}} = \frac{b - n_{\text{pakai}} D_{\text{tulangan}} - 2 \text{ clearcover} - 2 D_{\text{sengkang}}}{n_{\text{pakai}} - 1}$$

$$= \frac{400 - 2(25) - 2(50) - 2(13)}{2 - 1}$$

$$= 224 \text{ mm}$$

$$s_{\text{hasil}} > s_{\min} (\text{OK})$$

∴ Maka digunakan tulangan negatif tumpuan 2D25

- Tulangan Positif Tumpuan

$$\rho_{\text{pakai}} = \rho_{\min}$$

$$= 0.0035$$

$$A_s \text{ perlu} = 0.0035 \times 400 \times 484.5$$

$$= 682.46 \text{ mm}^2$$

$$n_{\text{pakai}} = \frac{A_s \text{ perlu}}{A_{\text{stulangan}}}$$

$$= \frac{682.46}{0.25\pi(25)^2}$$

$$= 2 \text{ buah}$$

$$s_{\min 1} = D_{\text{tulangan}}$$

$$= 25 \text{ mm}$$

$$\begin{aligned}
 s_{\min 2} &= 25 \text{ mm} \\
 s_{\text{hasil}} &= \frac{b - n_{\text{pakai}} D_{\text{tulangan}} - 2 \text{clearcover} - 2 D_{\text{sengkang}}}{n_{\text{pakai}} - 1} \\
 &= \frac{400 - 2(25) - 2(50) - 2(13)}{2 - 1} \\
 &= 224 \text{ mm}
 \end{aligned}$$

$$s_{\text{hasil}} > s_{\min} (\text{OK})$$

∴ Maka digunakan tulangan positif tumpuan 2D25

- Tulangan Positif Lapangan

$$\phi = 0.90$$

$$\begin{aligned}
 R_n &= \frac{M_u}{\phi b d^2} \\
 &= \frac{30,884.49 \times 10^4}{0.90 (400) (484.5)^2} \\
 &= 3.65
 \end{aligned}$$

$$\begin{aligned}
 \rho_{\text{perlu}} &= \frac{1}{m} \left(1 - \sqrt{1 - \frac{2mRn}{f_y}} \right) \\
 &= \frac{1}{14.12} \left(1 - \sqrt{1 - \frac{2 \times 14.12 \times 3.65}{420}} \right) \\
 &= 0.009
 \end{aligned}$$

$$\rho_{\text{pakai}} = 0.009 > \rho_{\min}$$

$$\begin{aligned}
 A_s \text{ perlu} &= \rho_{\text{pakai}} \times b \times d \\
 &= 0.009 \times 400 \times 484.5 \\
 &= 1805.05 \text{ mm}^2
 \end{aligned}$$

$$\begin{aligned}
 n_{\text{pakai}} &= \frac{A_s \text{perlu}}{A_s \text{tulangan}} \\
 &= \frac{1805.05}{0.25\pi(25)^2} \\
 &= 4 \text{ buah}
 \end{aligned}$$

$$\begin{aligned}
 s_{\min 1} &= D_{\text{tulangan}} \\
 &= 25 \text{ mm}
 \end{aligned}$$

$$\begin{aligned}
 s_{\min 2} &= 25 \text{ mm} \\
 s_{\text{hasil}} &= \frac{b - n_{\text{pakai}} D_{\text{tulangan}} - 2 \text{clearcover} - 2 D_{\text{sengkang}}}{n_{\text{pakai}} - 1} \\
 &= \frac{400 - 4(25) - 2(50) - 2(13)}{4 - 1} \\
 &= 58 \text{ mm}
 \end{aligned}$$

$$s_{\text{hasil}} > s_{\text{min}} (\text{OK})$$

Kontrol Regangan:

$$\begin{aligned} a &= \frac{A_s f_y}{0.85 f'_c b} \\ &= 69.30 \text{ mm} \end{aligned}$$

$$\begin{aligned} c &= \frac{a}{\beta_1} \\ &= \frac{69.30}{0.80} \\ &= 86.62 \text{ mm} \end{aligned}$$

$$\varepsilon_t = 0.014 > 0.005 (\text{OK})$$

∴ Maka digunakan tulangan positif lapangan 4D25

- Tulangan Negatif Lapangan

$$\begin{aligned} M_u &= 0.5 M_u \text{ positif lapangan} \\ &= 15,442.25 \text{ kgm} \end{aligned}$$

$$\phi = 0.90$$

$$\begin{aligned} R_n &= \frac{M_u}{\phi b d^2} \\ &= \frac{15,442.25 \times 10^4}{0.90 (400) (484.5)^2} \\ &= 1.83 \end{aligned}$$

$$\begin{aligned} \rho_{\text{perlu}} &= \frac{1}{m} \left(1 - \sqrt{1 - \frac{2mRn}{f_y}} \right) \\ &= \frac{1}{14.12} \left(1 - \sqrt{1 - \frac{2 \times 14.12 \times 1.83}{420}} \right) \\ &= 0.0045 \end{aligned}$$

$$\rho_{\text{pakai}} = 0.0045 > \rho_{\text{min}}$$

$$\begin{aligned} A_s \text{ perlu} &= 0.0045 \times 400 \times 484.5 \\ &= 870.81 \text{ mm}^2 \end{aligned}$$

$$\begin{aligned} n_{\text{pakai}} &= \frac{A_s \text{ perlu}}{A_s \text{ tulangan}} \\ &= \frac{870.81}{0.25\pi(25)^2} \\ &= 2 \text{ buah} \end{aligned}$$

$$\begin{aligned} s_{\text{min1}} &= D_{\text{tulangan}} \\ &= 25 \text{ mm} \end{aligned}$$

$$s_{\text{min2}} = 25 \text{ mm}$$

$$\begin{aligned}
 s_{\text{hasil}} &= \frac{b - n_{\text{pakai}} D_{\text{tulangan}} - 2 D_{\text{clearcover}} - 2 D_{\text{sengkang}}}{n_{\text{pakai}} - 1} \\
 &= \frac{400 - 2(25) - 2(50) - 2(13)}{2 - 1} \\
 &= 224 \text{ mm}
 \end{aligned}$$

$s_{\text{hasil}} > s_{\text{min}}$ (OK)

Kontrol Regangan:

$$\begin{aligned}
 a &= \frac{A_s f_y}{0.85 f'_c b} \\
 &= 34.65 \text{ mm}
 \end{aligned}$$

$$\begin{aligned}
 c &= \frac{a}{\beta_1} \\
 &= \frac{34.65}{0.80} \\
 &= 43.31 \text{ mm}
 \end{aligned}$$

$\varepsilon_t = 0.03 > 0.005$ (OK)

∴ Maka digunakan tulangan negatif lapangan 2D25

- Tulangan Geser

$$V_u = 113,589 \text{ N}$$

$$\begin{aligned}
 V_c &= 0.17 \sqrt{f'_c} bd \\
 &= 194,911.17 \text{ N}
 \end{aligned}$$

$$\phi V_c = 146,183.37 \text{ N}$$

$$0.5\phi V_c = 73,091.69 \text{ N}$$

$$\begin{aligned}
 V_{s \text{ min}} &= 0.062 \sqrt{f'_c} bd \\
 &= 71,658.52 \text{ N}
 \end{aligned}$$

$$\phi (V_c + V_{s \text{ min}}) = 199,927.26 \text{ N}$$

Syarat:

Kondisi 1:

$$V_u \leq 0.5\phi V_c \rightarrow \text{tidak memenuhi}$$

Kondisi 2:

$$0.5\phi V_c \leq V_u \leq \phi V_c \rightarrow \text{memenuhi}$$

Oleh karena kondisi 2 persyaratan tulangan geser memenuhi, maka diperlukan tulangan geser minimum dalam perencanaan balok induk ini.

$$s_{\text{max1}} = \frac{d}{4}$$

$$\begin{aligned}
 &= \frac{484.5}{4} \\
 &= 121.125 \text{ mm} \\
 s_{\max 2} &= 6D_{\text{longitudinal}} \\
 &= 6(25) \\
 &= 150 \text{ mm} \\
 s_{\max 3} &= 150 \text{ mm} \\
 s_{\text{pakai}} &= 120 \text{ mm} \\
 D_{\text{sengkang}} &= 13 \text{ mm} \\
 f_y \text{ sengkang} &= 420 \text{ MPa} \\
 \text{Sengkang} &= 2 \text{ kaki} \\
 A_{v \min 1} &= 0.062 \sqrt{f_c} \frac{bs}{f_y} \\
 &= 41.92 \text{ mm}^2 \\
 A_{v \min 2} &= 0.35 \frac{bs}{f_y} \\
 &= 40 \text{ mm}^2 \\
 A_{v \text{ pakai}} &= 2 \times 0.25 \pi D_{\text{sengkang}}^2 \\
 &= 2 \times 0.25 \pi 13^2 \\
 &= 265.46 \text{ mm}^2 (\text{OK}) \\
 V_{s \text{ pakai}} &= \frac{A_v f_y d}{s_{\text{pakai}}} \\
 &= \frac{265.46 \times 420 \times 484.5}{120} \\
 &= 450,161.56 \text{ N} > V_{s \min} (\text{OK})
 \end{aligned}$$

∴ Maka digunakan tulangan geser tumpuan D13-120 mm

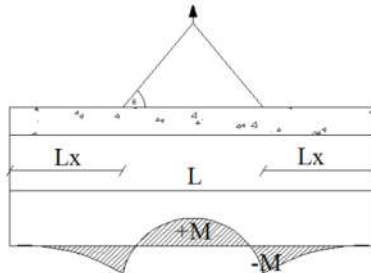
$$\begin{aligned}
 s_{\max} &= \frac{d}{2} \\
 &= \frac{484.5}{2} \\
 &= 242.5 \text{ mm} \\
 s_{\text{pakai}} &= 240 \text{ mm}
 \end{aligned}$$

∴ Maka digunakan tulangan geser lapangan D13-240 mm

- Saat Pengangkatan

$$\begin{aligned}
 d &= h_{\text{balok}} - \text{clear cover} - D_{\text{sengkang}} - 0.5D_{\text{tulangan}} \\
 &= 560 - 50 - 13 - 0.5(25) \\
 &= 484.5 \text{ mm}
 \end{aligned}$$

Pada saat pengangkatan direncanakan 2 titik angkat dengan lokasi titik pengangkatan berada pada daerah tumpuan. Berikut merupakan rencana pengangkatan balok induk.



Gambar 4.25 Titik Angkat Balok Induk

$$+M = \frac{WL^2}{8} \left(1 - 4X + \frac{4Y_c}{L \tan\theta} \right)$$

$$-M = \frac{WX^2L^2}{8}$$

$$\begin{aligned} y_t &= \frac{h}{2} \\ &= \frac{56}{2} \\ &= 28 \text{ cm} \end{aligned}$$

$$\begin{aligned} I_{balok} &= \frac{1}{12} b h^3 \\ &= \frac{1}{12} 40(56)^3 \\ &= 585,387 \text{ cm}^4 \end{aligned}$$

$$\begin{aligned} y_c &= y_t + 5 \\ &= 28 + 5 \\ &= 33 \text{ cm} \end{aligned}$$

Balok direncanakan diangkat dengan sudut 45°

$$\theta = 45^\circ$$

$$L = 7.8 \text{ m}$$

$$\begin{aligned} X &= \frac{1 + \frac{4y_c}{L \tan\theta}}{2 \left(1 + \sqrt{1 + \frac{y_t}{y_b} \left(1 + \frac{4y_c}{L \tan\theta} \right)} \right)} \\ &= 0.23642 \text{ m} \end{aligned}$$

$$Lx = 7.8 (0.23642)$$

$$\begin{aligned}
 &= 1.84 \text{ m} \\
 W &= 752.64 \text{ kg/m} \\
 +M &= 1279.67 \text{ kgm} \\
 -M &= 1279.67 \text{ kgm}
 \end{aligned}$$

- Tulangan Negatif Tumpuan

Oleh karena pada saat pengangkatan momen yang terjadi sangat kecil, maka untuk menentukan luasan tulangan yang diperlukan dapat langsung menggunakan nilai ρ_{\min} .

$$\begin{aligned}
 \rho_{\text{pakai}} &= \rho_{\min} \\
 &= 0.0035
 \end{aligned}$$

$$\begin{aligned}
 A_s \text{ perlu} &= 0.0035 \times 400 \times 484.5 \\
 &= 356.55 \text{ mm}^2
 \end{aligned}$$

$$\begin{aligned}
 n_{\text{pakai}} &= \frac{A_s \text{ perlu}}{A_{\text{stulangan}}} \\
 &= \frac{682.462}{0.25\pi(25)^2} \\
 &= 2 \text{ buah}
 \end{aligned}$$

$$\begin{aligned}
 s_{\min 1} &= D_{\text{tulangan}} \\
 &= 25 \text{ mm}
 \end{aligned}$$

$$\begin{aligned}
 s_{\min 2} &= 25 \text{ mm} \\
 s_{\text{hasil}} &= \frac{b - n_{\text{pakai}} D_{\text{tulangan}} - 2 \text{ clearcover} - 2 D_{\text{sengkang}}}{n_{\text{pakai}} - 1} \\
 &= \frac{400 - 2(25) - 2(50) - 2(13)}{2 - 1} \\
 &= 224 \text{ mm}
 \end{aligned}$$

$$s_{\text{hasil}} > s_{\min} (\text{OK})$$

\therefore Maka digunakan tulangan negatif tumpuan 2D25

- Tulangan Positif Tumpuan

$$\begin{aligned}
 \rho_{\text{pakai}} &= \rho_{\min} \\
 &= 0.0035
 \end{aligned}$$

$$\begin{aligned}
 A_s \text{ perlu} &= 0.0035 \times 400 \times 484.5 \\
 &= 356.55 \text{ mm}^2
 \end{aligned}$$

$$n_{\text{pakai}} = \frac{A_s \text{ perlu}}{A_{\text{stulangan}}}$$

$$= \frac{682.462}{0.25\pi(25)^2}$$

= 2 buah

$$s_{min1} = D_{tulangan}$$

$$= 25 \text{ mm}$$

$$s_{min2} = 25 \text{ mm}$$

$$s_{hasil} = \frac{b - n_{pakai} D_{tulangan} - 2 \text{clearcover} - 2 D_{sengkang}}{n_{pakai} - 1}$$

$$= \frac{400 - 2(25) - 2(50) - 2(13)}{2 - 1}$$

$$= 224 \text{ mm}$$

$$s_{hasil} > s_{min} (\text{OK})$$

∴ Maka digunakan tulangan positif tumpuan 2D25

- Tulangan Positif Lapangan

Oleh karena pada saat pengangkatan momen yang terjadi sangat kecil, maka untuk menentukan luasan tulangan yang diperlukan dapat langsung menggunakan nilai ρ_{min} .

$$\rho_{pakai} = \rho_{min}$$

$$= 0.0035$$

$$A_s \text{ perlu} = 0.0035 \times 400 \times 484.5$$

$$= 356.55 \text{ mm}^2$$

$$n_{pakai} = \frac{A_s \text{perlu}}{A_{stulangan}}$$

$$= \frac{682.462}{0.25\pi(25)^2}$$

= 2 buah

$$s_{min1} = D_{tulangan}$$

$$= 25 \text{ mm}$$

$$s_{min2} = 25 \text{ mm}$$

$$s_{hasil} = \frac{b - n_{pakai} D_{tulangan} - 2 \text{clearcover} - 2 D_{sengkang}}{n_{pakai} - 1}$$

$$= \frac{400 - 2(25) - 2(50) - 2(13)}{2 - 1}$$

$$= 224 \text{ mm}$$

$$s_{hasil} > s_{min} (\text{OK})$$

∴ Maka digunakan tulangan positif lapangan 2D25

- Tulangan Negatif Lapangan

$$\begin{aligned}
 \rho_{\text{pakai}} &= \rho_{\text{min}} \\
 &= 0.0035 \\
 A_s \text{ perlu} &= 0.0035 \times 400 \times 484.5 \\
 &= 356.55 \text{ mm}^2 \\
 n_{\text{pakai}} &= \frac{A_s \text{ perlu}}{A_s \text{ tulangan}} \\
 &= \frac{682.462}{0.25\pi(25)^2} \\
 &= 2 \text{ buah} \\
 s_{\text{min1}} &= D_{\text{tulangan}} \\
 &= 25 \text{ mm} \\
 s_{\text{min2}} &= 25 \text{ mm} \\
 s_{\text{hasil}} &= \frac{b - n_{\text{pakai}} D_{\text{tulangan}} - 2 \text{ clear cover} - 2 D_{\text{sengkang}}}{n_{\text{pakai}} - 1} \\
 &= \frac{400 - 2(25) - 2(50) - 2(13)}{2 - 1} \\
 &= 224 \text{ mm} \\
 s_{\text{hasil}} &> s_{\text{min}} (\text{OK})
 \end{aligned}$$

∴ Maka digunakan tulangan negatif lapangan 2D25

4.4.2.4 Pengangkatan Balok Induk

Sebelum melakukan instalasi balok induk, balok induk terlebih dahulu mengalami proses pengangkatan menuju titik lokasi pemasangan. Oleh karena itu, diperlukan perencanaan tulangan angkat untuk balok induk seperti pada balok anak yang telah dibahas pada subbab 4.3.4.4 sebelumnya. Untuk pengangkatan balok induk pada tugas akhir ini direncanakan dengan menggunakan dua titik angkat tanpa bantuan *spreader beam*.

- Perhitungan Tulangan Angkat

Faktor Kejut (K) = 1.2

$$\begin{aligned}
 DL &= h_{\text{pracetak}} \times b_{\text{pracetak}} \times L \times \gamma_{\text{beton}} \\
 &= 0.56 (0.4) (7.8) (2400) \\
 &= 4,193.28 \text{ kg} \\
 q &= K \times 1.4DL \\
 &= 1.2 (1.4)(4,193.28)
 \end{aligned}$$

$$= 7,044.71 \text{ kg}$$

Gaya Angkat (T_u):

$$\begin{aligned} T_u &= \frac{q}{2(\cos 45)} \\ &= \frac{7,044.71}{2\cos(45)} \\ &= 4,981.36 \text{ kg} \end{aligned}$$

- Kontrol Tulangan Angkat

$$\sigma_{\text{balok}} < \sigma_{\text{ijin}}$$

$$\begin{aligned} \sigma_{\text{ijin}} &= \frac{0.7 \sqrt{f'_c}}{SF} \\ &= \frac{0.7 \sqrt{35}}{1.5} \\ &= 2.76 \text{ MPa} \end{aligned}$$

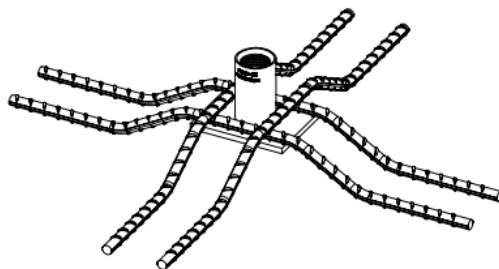
$$\begin{aligned} Z &= \frac{1}{6} b (h_{\text{pracetak}})^2 \\ &= \frac{1}{6} 40 (56)^2 \\ &= 20,906.67 \text{ cm}^3 \end{aligned}$$

$$\begin{aligned} \sigma_{\text{balok}} &= \frac{M_u}{Z} \\ &= \frac{1,279.67 \times 10^4}{8405 \times 10^3} \\ &= 0.61 \text{ MPa} \end{aligned}$$

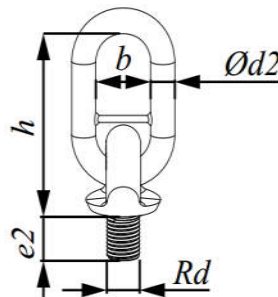
$$\sigma_{\text{balok}} < \sigma_{\text{ijin}} (\text{OK})$$

- Pemilihan Profil Tulangan Angkat

Tulangan angkat yang digunakan adalah jenis Jenka Lifting System dari Peikko Group. Tipe yang digunakan adalah Jenka PSA Short Insert dengan kait JL. Disetiap titik angkat, profil ini dapat mengangkat beban sebesar 63 kN dengan sudut $0^\circ - 45^\circ$.



Gambar 4.26 Jenka PSA Short Inserts



Gambar 4.27 Kait JL

4.4.2.5 Rekapitulasi Tulangan Balok Induk

Berikut merupakan rekapitulasi tulangan balok induk.

Tabel 4.29 Rekapitulasi Tulangan Balok Induk (1)

| Tipe Balok | BI 1 | | BI 2 | | BI 3 | |
|-------------|-----------------|-------------|-----------------|-------------|-----------------|-------------|
| | Tumpuan | Lapangan | Tumpuan | Lapangan | Tumpuan | Lapangan |
| Dimensi | 400 mm x 700 mm | | 400 mm x 700 mm | | 500 mm x 750 mm | |
| Bentang | 7.8 m | | 7 m | | 10.5 m | |
| Decking | 50 mm | | 50 mm | | 50 mm | |
| Atas | 5D25 | 3D25 | 5D25 | 3D25 | 10D25 | 5D25 |
| Tengah | 2D25 | 2D25 | 2D25 | 2D25 | 3D25 | 3D25 |
| Bawah | 3D25 | 4D25 | 3D25 | 4D25 | 6D25 | 9D25 |
| Sengkang | 2D13-120 mm | 2D13-240 mm | 2D13-120 mm | 2D13-240 mm | 2D13-80 mm | 2D13-120 mm |
| Tu (kN) | 49.81 | | 44.70 | | 64.56 | |
| Tipe JRd/JM | JRd/JM36 | | JRd/JM36 | | JRd/JM42 | |

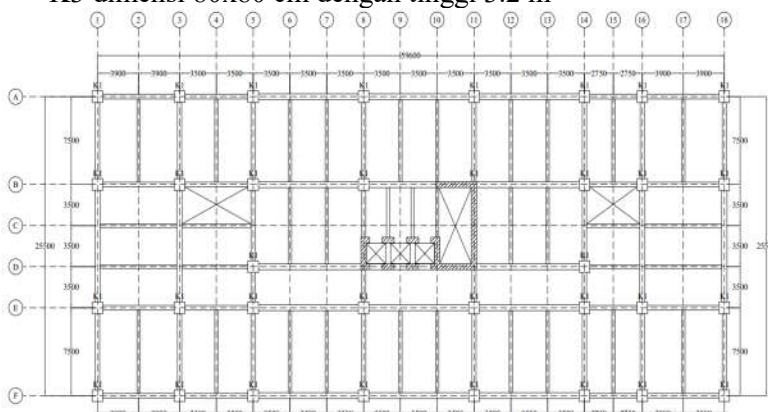
Tabel 4.30 Rekapitulasi Tulangan Balok Induk (2)

| Tipe Balok | BI 4 | | BI 5 | | BI 6 | |
|-------------|-----------------|-------------|-----------------|-------------|-----------------|-------------|
| | Tumpuan | Lapangan | Tumpuan | Lapangan | Tumpuan | Lapangan |
| Dimensi | 400 mm x 700 mm | | 400 mm x 700 mm | | 400 mm x 700 mm | |
| Bentang | 5.5 m | | 7.5 m | | 3.5 m | |
| Decking | 50 mm | | 50 mm | | 50 mm | |
| Atas | 4D25 | 3D25 | 5D25 | 3D25 | 7D25 | 4D25 |
| Tengah | 2D25 | 2D25 | 2D25 | 2D25 | 2D25 | 2D25 |
| Bawah | 3D25 | 3D25 | 3D25 | 4D25 | 4D25 | 5D25 |
| Sengkang | 2D13-120 mm | 2D13-240 mm | 2D13-120 mm | 2D13-240 mm | 2D13-80 mm | 2D13-120 mm |
| Tu (kN) | 35.12 | | 47.90 | | 22.35 | |
| Tipe JRd/JM | JRd/JM 30 | | JRd/JM36 | | JRd/JM 24 | |

4.4.3 Perencanaan Kolom

Kolom merupakan struktur utama yang berfungsi memikul seluruh beban yang diterima struktur, baik dari struktur sekunder maupun balok induk. Selain itu kolom juga berfungsi meneruskan beban yang diterima ke pondasi. Perencanaan kolom untuk tugas akhir pada gedung Apartemen Tower 2 The Arundaya Surabaya dibedakan menjadi 3 tipe kolom, yaitu:

- K1 dimensi 100x100 cm dengan tinggi 3.5 m
- K2 dimensi 80x80 cm dengan tinggi 5 m
- K3 dimensi 80x80 cm dengan tinggi 3.2 m



Gambar 4.28 Denah Kolom

4.4.3.1 Data Perencanaan Kolom

Berikut merupakan data perencanaan kolom tipe 1 pada gedung Apartemen Tower 2 The Arundaya Surabaya:

- Dimensi Kolom = 100x100 cm
- f_c = 45 MPa
- f_y = 420 MPa
- Tinggi Lantai = 3.5 m
- Tulangan Longitudinal = 25 mm
- Tulangan Transversal = 16 mm
- *Clear Cover* = 50 mm

4.4.3.2 Perhitungan Tulangan Kolom

Kombinasi beban aksial dan momen yang bekerja pada kolom tipe 1 diperoleh dari hasil analisis ETABS sebagai berikut:

Tabel 4.31 Gaya Aksial dan Momen K1

| Beban | P (kN) | M (kNm) |
|------------------|---------------|----------------|
| 0.9D - Eq x | 5954.48 | 652.10 |
| 0.9D - Eq y | 5836.98 | 456.25 |
| 0.9D - Rsp x | 6017.98 | 429.36 |
| 0.9D - Rsp y | 5999.67 | 511.18 |
| 0.9D + Eq x | 5862.18 | 657.17 |
| 0.9D + Eq y | 6054.13 | 656.15 |
| 0.9D + Rsp x | 6017.98 | 429.36 |
| 0.9D + Rsp y | 5999.67 | 511.18 |
| 1.2D + 1.6L | 9907.96 | 402.27 |
| 1.2D + L - Eq x | 9192.80 | 667.22 |
| 1.2D + L - Eq y | 9075.30 | 483.60 |
| 1.2D + L - Rsp x | 9256.29 | 571.67 |
| 1.2D + L - Rsp y | 9237.98 | 651.69 |
| 1.2D + L + Eq x | 9100.49 | 666.45 |
| 1.2D + L + Eq y | 9217.99 | 819.26 |
| 1.2D + L + Rsp x | 9256.29 | 571.67 |

| | | |
|------------------|---------|--------|
| 1.2D + L + Rsp y | 9237.98 | 651.69 |
| 1.4D | 9190.74 | 257.02 |

Data lain yang didapatkan dari ETABS yang diperlukan dalam perhitungan kolom yaitu:

$$P_u = 9,907.96 \text{ kN}$$

$$V_u = 551.05 \text{ kN}$$

$$M_u = 819.26 \text{ kNm}$$

$$T_u = 48.44 \text{ kNm}$$

- Kontrol Dimensi Kolom

Menurut ACI 318M-14 pasal 18.7.2.1, jika komponen struktur SRPMK menahan gaya tekan aksial terfaktor akibat sembarang kombinasi ialah $\geq \frac{A_g f'_c}{10}$, maka komponen struktur rangka ini harus juga memenuhi 2 syarat pada pasal tersebut.

$$\begin{aligned} P_u &\geq \frac{A_g f'_c}{10} \\ 9,907.96 \text{ kN} &\geq \frac{1000 \times 1000 \times 45 \times 10^{-3}}{10} \\ 9,907.96 \text{ kN} &\geq 4,500 \text{ kN} \end{aligned}$$

Maka dari itu syarat pada ACI 318M-14 pasal 18.7.2.1 harus dipenuhi.

Syarat 1:

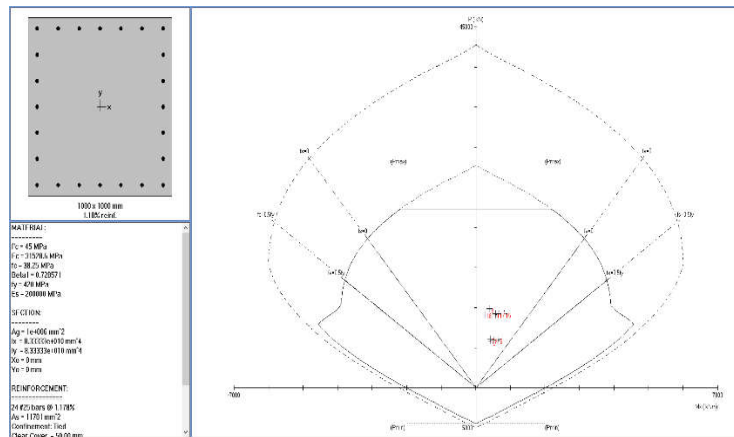
$$\begin{aligned} \text{Dimensi penampang terpendek} &\geq 300 \text{ mm} \\ 1000 \text{ mm} &\geq 300 \text{ mm (OK)} \end{aligned}$$

Syarat 2:

$$\begin{aligned} \text{Rasio dimensi penampang} &\geq 0.4 \\ \frac{1000}{1000} = 1 &\geq 0.4 \text{ (OK)} \end{aligned}$$

- Penulangan Longitudinal Kolom

Dari beban aksial dan momen yang terjadi, kemudian dilakukan perhitungan penulangan kolom menggunakan program bantu spColumn dan didapatkan diagram interaksi sebagai berikut:



Gambar 4.29 Diagram Interaksi Gaya Aksial dan Momen

Jumlah tulangan yang digunakan untuk kolom tipe 1 ialah 24 D25. Sementara itu, dari diagram interaksi menggunakan program bantu spColumn, didapatkan:

$$\phi M_n \geq M_u$$

$$0.90 \times 4,579.19 \geq 819.26$$

$$4,121.27 \text{ kNm} \geq 819.26 \text{ kNm (OK)}$$

- Kontrol Rasio Tulangan Longitudinal Kolom

Berdasarkan ACI 318M-14 pasal 18.7.4.1, luas tulangan longitudinal, A_{st} , tidak boleh kurang dari $0.01 A_g$ atau lebih dari $0.06 A_g$.

$$\begin{aligned} A_{st} &= n_{\text{tulangan}} \times A_s \\ &= 24 \times 0.25\pi(25)^2 \\ &= 11,780.97 \text{ mm}^2 \end{aligned}$$

$$\begin{aligned} A_g &= 1000 \times 1000 \\ &= 1,000,000 \text{ mm}^2 \\ 0.01A_g &= 10,000 \text{ mm}^2 \\ 0.06A_g &= 60,000 \text{ mm}^2 \\ 0.01A_g &\leq A_{st} \leq 0.06A_g (\text{OK}) \end{aligned}$$

- Integritas Struktur

Berdasarkan ACI 318M-14 pasal 16.2.4.3, suatu kolom pracetak harus mempunyai kekuatan nominal dalam kondisi tarik sebesar:

$$\begin{aligned} A_s f_y &\geq 1.4 A_g \\ 4,948,008 \text{ N} &\geq 1,400,000 \text{ N (OK)} \end{aligned}$$

- Kontrol Kapasitas Beban Aksial Kolom Terhadap Beban Aksial Terfaktor

Menurut ACI 318M-14 pasal 22.4.2.2, kapasitas beban aksial kolom tidak boleh kurang dari beban aksial terfaktor hasil analisa struktur.

$$\begin{aligned} P_n &\leq P_{n \max} \\ P_u &\leq \phi 0.80 P_o \\ \phi &= 0.65 \\ P_o &= 0.85 f_c (A_g - A_{st}) + f_y A_{st} \\ &= 0.85 (45) (988,219.03) + 420 (11,780.97) \\ &= 42,747,386 \text{ N} \\ &= 42,747.39 \text{ kN} \\ P_u &\leq 0.65 (0.80) (42,747.39) \\ 9,907.96 \text{ kN} &\leq 22,228.64 \text{ kN (OK)} \end{aligned}$$

- Persyaratan *Strong Column Weak Beam*

Sesuai dengan filosofi desain kapasitas, maka ACI 318M-14 pasal 18.7.3.2 mensyaratkan bahwa:

$$\sum M_{nc} \geq \frac{6}{5} \sum M_{nb}$$

Nilai M_{nc} merupakan nilai momen kapasitas kolom yang didapat dari diagram interaksi pada program bantu spColumn, sedangkan nilai M_{nb} merupakan nilai momen kapasitas balok yang telah dihitung pada subbab 4.4.2.3 sebelumnya.

$$\begin{aligned} \phi M_{nc} &= 4,121.27 \text{ kNm} \\ M_{nb1} &= 1212 \text{ kNm} \\ M_{nb2} &= 650.65 \text{ kNm} \end{aligned}$$

$$\begin{aligned}\sum M_{nc} &\geq \frac{6}{5} \sum M_{nb} \\ 4,121.27 &\geq 1.2 (1212 + 650.65) \\ 4,121.27 \text{ kNm} &\geq 2235.18 \text{ kNm (OK)}\end{aligned}$$

- Kontrol Gaya Tekan Terhadap Gaya Geser Desain
Gaya geser desain, V_e , didapatkan dari program bantu spColumn dengan menggunakan $f_s = 1.25 f_y$.

$$\begin{aligned}f_s &= 525 \text{ MPa} \\ L_u &= 2.75 \text{ m} \\ M_{pr} &= 4,858.12 \text{ kNm} \\ V_e &= \frac{2M_{pr}}{L_u} \\ &= \frac{2(4858.12)}{2.75} \\ &= 3,533.18 \text{ kN} \\ V_e &\geq V_u = 551.05 \text{ kN (OK)}\end{aligned}$$

- Tulangan Geser
Berdasarkan ACI 318M-14 pasal 18.7.5.1, tulangan transversal harus disediakan sepanjang l_0 dari muka *joint* dengan nilai l_0 sebagai berikut:

$$\begin{aligned}l_{o1} &= \text{dimensi kolom} \\ &= 1000 \text{ mm} \\ l_{o2} &= \frac{1}{6} L_u \\ &= 458.33 \text{ mm} \\ l_{o2} &= 450 \text{ mm} \\ l_o \text{ pakai} &= 1000 \text{ mm}\end{aligned}$$

Menurut ACI 318M-14 pasal 18.7.5.3, spasi yang digunakan untuk tulangan geser tidak boleh melebihi berikut:

$$\begin{aligned}s_{\max 1} &= \frac{1}{4} \text{ dimensi kolom} \\ &= \frac{1}{4} (1000) \\ &= 250 \text{ mm} \\ s_{\max 2} &= 6D_{\text{longitudinal}} \\ &= 6(25)\end{aligned}$$

$$= 150 \text{ mm}$$

$$100 \leq s_{\max 3} \leq 150 \text{ mm}$$

$$s_{\text{pakai}} = 100 \text{ mm}$$

Penentuan nilai luasan tulangan minimum untuk tulangan transversal diatur dalam ACI 318M-14 pasal 18.10.6.4.

$$b_{c1} = \text{Jarak terjauh antar tulangan longitudinal}$$

$$= 1000 - 2(50)$$

$$= 900 \text{ mm}$$

$$b_{c2} = b_{c1}$$

$$= 900 \text{ mm}$$

$$A_{ch} = b_{c1} \times b_{c2}$$

$$= 810,000 \text{ mm}^2$$

$$0.3A_g f'_c = 0.3 (10^6) (45)$$

$$= 13,500 \text{ kN}$$

$$0.3A_g f'_c > P_u = 9,907.96 \text{ kN} \rightarrow \text{tidak perlu } A_{sh \min 3}$$

$$A_{sh \min 1} = 0.3 \left(\frac{A_g}{A_{ch}} - 1 \right) \frac{f'_c}{f_{yt}} s b_c$$

$$= 678.57 \text{ mm}^2$$

$$A_{sh \min 2} = 0.09 \frac{f'_c}{f_{yt}} s b_c$$

$$= 867.86 \text{ mm}^2$$

$$A_{sh \min 3} = \text{Tidak diperlukan}$$

$$A_{sh \min \text{pakai}} = 867.86 \text{ mm}^2$$

$$A_{sh \text{ tulangan}} = 0.25\pi(16)^2$$

$$= 201.06 \text{ mm}^2$$

$$n \text{ pakai} = 5 \text{ buah}$$

∴ Maka digunakan tulangan geser 5D16-100 mm sepanjang daerah plastis = 1000 mm + 370 mm (*splice sleeve*) ≈ 1400 mm.

Untuk spasi tulangan transversal diluar sendi plastis dipasang berdasarkan ACI 318M-14 pasal 18.10.7.4, yaitu:

$$s_{\max 1} = 6D_{\text{longitudinal}}$$

$$= 150 \text{ mm}$$

$$s_{\max 2} = 150 \text{ mm}$$

$$s_{\text{pakai}} = 150 \text{ mm}$$

∴ Maka digunakan tulangan geser 5D16-150 mm diluar daerah plastis

- Tulangan Torsi

$$T_u = 4844.19 \text{ kgm} \text{ (Hasil ETABS)}$$

$$= 48.44 \text{ kNm}$$

$$N_u = 9,907.96 \text{ kN}$$

$$A_{cp} = 1000 \times 1000$$

$$= 1,000,000 \text{ mm}^2$$

$$P_{cp} = 2(1000 + 1000)$$

$$= 4,000 \text{ mm}$$

Perencanaan tulangan torsi berdasarkan ACI 318M-14 pasal 22.7.4.1, yaitu pengaruh torsi dapat diabaikan jika momen torsi terfaktor T_u kurang dari perumusan berikut:

$$T_u \leq \phi T_{cr}$$

$$\begin{aligned} T_{cr} &= 0.33\lambda\sqrt{f'_c} \left(\frac{A_{cp}^2}{P_{cp}} \right) \sqrt{1 + \frac{N_u}{0.33A_g\lambda\sqrt{f'_c}}} \\ &= 0.33(1)\sqrt{45} \left(\frac{1,000,000}{4,000} \right) \sqrt{1 + \frac{9907.96}{0.33 \times 10^6 \sqrt{45}}} \\ &= 554.66 \text{ kNm} \end{aligned}$$

$$\phi T_{cr} = 416.00 \text{ kNm}$$

$$\phi T_{cr} \geq T_u = 48.44 \text{ kNm} \text{ (Tidak Perlu Tulangan Torsi)}$$

4.4.3.3 Pengangkatan Kolom

$$\begin{aligned} M_{max1} &= -0.0054 w l^2 \\ &= -0.0054 (2880) 3.5^2 \\ &= -190.51 \text{ kgm} \end{aligned}$$

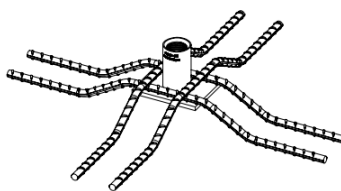
$$\begin{aligned} M_{max2} &= 0.0034 w l^2 \\ &= 0.0034 (2880) 3.5^2 \\ &= 1199.52 \text{ kgm} \end{aligned}$$

$$\begin{aligned} P_{u \max} &= 0.96 w l \\ &= 0.96 (2880) 3.5 \\ &= 9676.8 \text{ kg} \end{aligned}$$

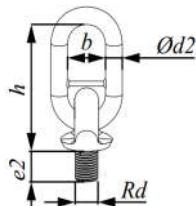
- Kontrol Tegangan

$$\begin{aligned}\sigma_{\text{kolom}} &< \sigma_{\text{ijin}} \\ \sigma_{\text{ijin}} &= \frac{0.7 \sqrt{f'_c}}{SF} \\ &= \frac{0.7 \sqrt{25}}{1.5} \\ &= 2.76 \text{ MPa} \\ Z &= \frac{1}{6} b(h)^2 \\ \sigma_{\text{kolom}} &= \frac{M_u}{Z} \\ &= \frac{9676.8 \times 10^{-3}}{\frac{1}{6} (3.5)^2} \\ &= 0.59 \text{ MPa} \\ \sigma_{\text{kolom}} &< \sigma_{\text{ijin}} (\text{OK})\end{aligned}$$

Tulangan angkat yang digunakan adalah jenis Jenka Lifting System dari Peikko Group. Tipe yang digunakan adalah Jenka PSA Short Insert dengan kait JL. Disetiap titik angkat, profil ini dapat mengangkat beban sebesar 80 kN dan 40 kN dengan sudut $0^\circ - 45^\circ$.



Gambar 4.30 Jenka PSA Short Inserts



Gambar 4.31 Kait JL

4.4.3.4 Rekapitulasi Tulangan Kolom

Berikut merupakan rekapitulasi tulangan balok induk.

Tabel 4.32 Rekapitulasi Tulangan Kolom

| Tipe | K1 | | K2 | | K3 | | |
|-----------|-------------|-------------|----------|-------------|-------------|-------------|-------------|
| | Kondisi | Tumpuan | Lapangan | Tumpuan | Lapangan | Tumpuan | Lapangan |
| Penampang | 100x100 cm | | | 80x80 cm | | 80x80 cm | |
| Tulangan | 24 D25 | | | 16 D25 | | 16 D25 | |
| Sengkang | 5D16-100 mm | 5D16-150 mm | | 4D16-100 mm | 4D16-150 mm | 4D16-100 mm | 4D16-150 mm |
| Tu (kN) | 71.28 | | | 65.17 | | 41.71 | |
| | 35.64 | | | 32.58 | | 20.85 | |
| Tipe JL | JRd/JM42 | | | JRd/JM42 | | JRd/JM36 | |
| | JRd/JM 30 | | | JRd/JM 30 | | JRd/JM 24 | |

4.4.4 Perencanaan *Shear Wall*

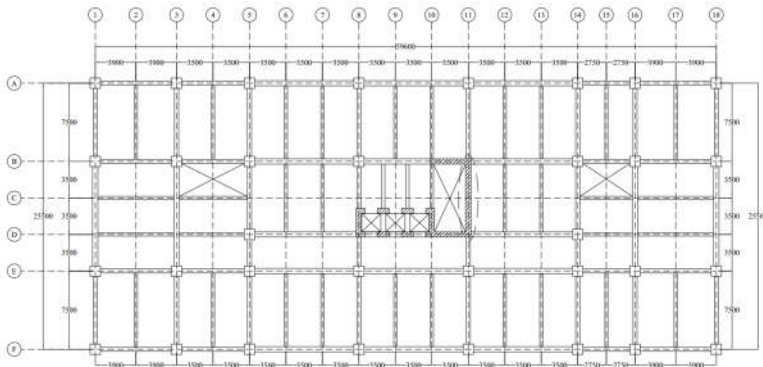
Suatu dinding geser direncanakan untuk menahan gaya gempa sebesar maksimal 75% gaya gempa yang disalurkan pada struktur bangunan. Perencanaan *shear wall* dapat dibedakan menjadi dua, yaitu *shear wall* arah X dan arah Y. *Shear wall* arah X menahan semua gaya yang mengakibatkan gedung bergerak ke arah sumbu X. Sedangkan *shear wall* arah Y menahan semua gaya yang mengakibatkan gedung bergerak ke arah sumbu Y. Pada subbab 4.4.4.2 akan ditunjukkan perhitungan *shear wall* arah Y.

4.4.4.1 Data Perencanaan *Shear Wall*

Berikut merupakan data perencanaan *shear wall* pada gedung Apartemen Tower 2 The Arundaya Surabaya:

- Tebal Dinding = 50 cm
- Lebar Dinding = 700 cm
- Tinggi Dinding = 500 cm

- f_c = 35 MPa
- f_y = 420 MPa
- Tulangan Longitudinal = 25 mm
- Tulangan Transversal = 13 mm
- *Clear Cover* = 50 mm

Gambar 4.32 Lokasi *Shear Wall*

4.4.4.2 Perhitungan Tulangan Dinding Geser

Data yang didapatkan dari ETABS yang diperlukan dalam perhitungan *shear wall* yaitu:

$$P_u = 23,247.97 \text{ kN}$$

$$V_u = 4,861.80 \text{ kN}$$

$$M_u = 29,560.40 \text{ kNm}$$

- Kontrol Ketebalan Minimum Dinding Geser

Berdasarkan ACI 318M-14 pasal 11.3.1.1, ketebalan dinding (h) tidak boleh kurang dari persyaratan berikut:

$$h_{min1} = 100 \text{ mm}$$

$$\begin{aligned} h_{min2} &= \frac{1}{25} h_w \\ &= \frac{5000}{25} \\ &= 200 \text{ mm} \end{aligned}$$

$$\begin{aligned}
 h_{\min 3} &= \frac{1}{25} l_w \\
 &= \frac{7500}{25} \\
 &= 300 \text{ mm} \\
 h_{\text{pakai}} &= 500 \text{ mm} \geq h_{\min} (\text{OK})
 \end{aligned}$$

- Kontrol Dimensi Penampang Terhadap Gaya Geser

Menurut ACI 318M-14 pasal 18.10.4.4, kombinasi V_n tidak boleh diambil lebih besar dari syarat berikut:

$$\begin{aligned}
 V_n &\leq 0.83 A_{cw} \sqrt{f'_c} \\
 A_{cw} &= l_w \times h \\
 &= 7500 \times 500 \\
 &= 3,750,000 \text{ mm}^2 \\
 V_u &\leq \phi 0.83 A_{cw} \sqrt{f'_c} \\
 V_u &\leq 0.75 \times 0.83 \times 3,750,000 \sqrt{35} \\
 4,861.80 \text{ kN} &\leq 13,810.35 \text{ kN} (\text{OK})
 \end{aligned}$$

- Jumlah Lapis Tulangan

Syarat 1:

$$\begin{aligned}
 V_u &> 0.17 A_{cv} \lambda \sqrt{f'_c} \\
 A_{cv} &= 3,750,000 \\
 V_u &> 0.17 \times 3,750,000 \sqrt{35} \\
 4,861.80 \text{ kN} &> 3,771.5 \text{ kN} \rightarrow 2 \text{ lapis tulangan}
 \end{aligned}$$

Syarat 2:

$$\begin{aligned}
 h &> 250 \text{ mm} \\
 500 \text{ mm} &> 250 \text{ mm} \rightarrow 2 \text{ lapis tulangan} \\
 \therefore \text{Maka digunakan } 2 \text{ lapis tulangan pada desain dinding geser} \\
 &\text{untuk tugas akhir ini}
 \end{aligned}$$

- Kuat Geser

Berdasarkan ACI 318M-14 pasal 18.10.4.1, syarat yang harus dipenuhi untuk kuat geser yaitu:

$$V_u < \phi A_{cv} (\alpha_c \lambda \sqrt{f'_c} + \rho_t f_y)$$

| | |
|------------------------|---|
| $\frac{h_w}{l_w}$ | $= \frac{41700}{7500}$ $= 5.56$ |
| $\frac{h_w}{l_w}$ | ≥ 1.5 |
| α_c | $= 0.17$ |
| $D_{sengkang}$ | $= 13 \text{ mm}$ |
| A_v | $= 2 \times \pi(13)^2$ $= 265.46 \text{ mm}^2$ |
| s | $= 200 \text{ mm}$ |
| d | $= 500 - 50 - 13 - 0.5(25)$ $= 424.5 \text{ mm}$ |
| ρ_t | $= \frac{A_v}{sd}$ $= 0.0031$ |
| $\rho_t \text{ min}$ | $= 0.0025$ |
| $\rho_t \text{ pakai}$ | $= 0.0031$ |
| V_u | $< \phi A_{cv} (\alpha_c \lambda \sqrt{f'_c} + \rho_t f_y)$ $< 0.75(3,750,000)(0.17\sqrt{35} + 0.0031 \times 420)$ |
| 4,861.80 kN | $< 6522.15 \text{ kN (OK)}$ |

- Kontrol Spasi

- ACI 318M-14 pasal 18.10.2.1

$$s_{\text{transversal}} = 200 \text{ mm} < 450 \text{ mm (OK)}$$

$$s_{\text{longitudinal}} = 175 \text{ mm} < 450 \text{ mm (OK)}$$

- ACI 318M-14 pasal 11.7.3.1

$$s_{\text{trsv horz.}} < 3h = 3(500)$$

$$< 1500 \text{ mm}$$

$$s_{\text{trsv horz.}} < 450 \text{ mm}$$

$$s_{\text{trsv horz.}} < \frac{l_w}{5} = \frac{7500}{5} = 1500 \text{ mm}$$

$$s_{\text{trsv horz.}} = 200 \text{ mm (OK)}$$

- ACI 318M-14 pasal 11.7.2.1

$$s_{\text{trsv vert.}} < 3h = 3(500)$$

$$< 1500 \text{ mm}$$

$$s_{\text{trsv vert.}} < 450 \text{ mm}$$

$$\begin{aligned} s_{\text{trsv vert.}} &< \frac{l_w}{3} = \frac{7500}{3} = 2500 \text{ mm} \\ s_{\text{trsv vert.}} &= 200 \text{ mm (OK)} \end{aligned}$$

- Kontrol Komponen Batas

Berdasarkan ACI 318M-14 pasal 18.10.6.2, penentuan elemen pembatas khusus berdasarkan pendekatan perpindahan (*displacement method*) dimana elemen pembatas diperlukan apabila:

$$\begin{aligned} c &\geq \frac{l_w}{600(\frac{1.5\delta_u}{h_w})} \\ \delta_u &= 12.2045 \text{ mm} \\ \frac{\delta_u}{h_w} &= \frac{12.2045}{5000} \\ &= 0.0024 \\ \frac{\delta_u}{h_w}_{\min} &= 0.005 \\ \frac{\delta_u}{h_w}_{\text{pakai}} &= 0.005 \\ c_{\text{spColumn}} &= 2784 \text{ mm} \\ c &= \frac{7500}{600(1.5 \times 0.005)} \\ &= 1666.67 \text{ mm} \end{aligned}$$

$2784 \text{ mm} \geq 1666.67 \text{ mm} \rightarrow$ butuh komponen batas

Menurut ACI 318M-14 pasal 18.10.6.3, komponen batas diperlukan apabila kombinasi momen dan gaya aksial terfaktor yang bekerja pada *shear wall* lebih dari $0.2 f'_c$.

$$\begin{aligned} \frac{M_u}{W} + \frac{P_u}{A_c} &> 0.2 f'_c \\ \frac{29560 \times 10^6}{\frac{1}{6}500(5000)^3} + \frac{23247965}{2500000} &> 0.2 (35) \\ 23.49 \text{ MPa} &> 7 \text{ MPa} \rightarrow \text{butuh komponen batas} \end{aligned}$$

- Panjang Elemen Pembatas

Dari perhitungan kontrol diatas, panel tersebut harus diberi *boundary element*. Menurut ACI 318M-14 pasal

18.10.6.4, *boundary element* harus dipasang horizontal dari sisi serat tekan terluar tidak kurang dari persyaratan berikut.

Syarat 1:

$$\begin{aligned} c - 0.1 l_w &= 2784 - 0.1 (7500) \\ &= 2034 \text{ mm} \end{aligned}$$

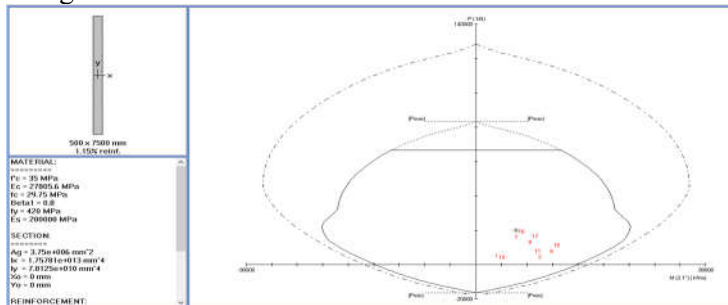
Syarat 2:

$$\begin{aligned} \frac{c}{2} &= \frac{2784}{2} \\ &= 1392 \text{ mm} \\ c_{\text{pakai}} &= 2100 \text{ mm} \end{aligned}$$

∴ Maka digunakan jarak elemen pembatas 2100 mm

- Kontrol Tulangan Longitudinal *Shear Wall*

Dari beban aksial dan momen yang terjadi, kemudian dilakukan perhitungan penulangan *shear wall* menggunakan program bantu spColumn, didapatkan diagram interaksi sebagai berikut:



Gambar 4.33 Diagram Interaksi *Shear Wall*

Dari hasil analisa program bantu spColumn, digunakan tulangan longitudinal 88 D25. Dari grafik di atas, didapatkan momen nominal *shear wall*:

$$\phi M_n = 78,279.63 \text{ kNm} \geq M_u = 29,560.4 \text{ kNm} (\text{OK})$$

4.5 Perencanaan Sambungan Elemen Pracetak

4.5.1 Umum

Sambungan merupakan hal yang penting karena sambungan berfungsi untuk menyalurkan gaya-gaya yang dipikul oleh elemen struktur yang satu ke elemen struktur lainnya, mulai dari pelat, balok, kolom, dan pondasi. Selain itu desain sambungan dibuat untuk menciptakan kestabilan. Suatu sambungan diharapkan dapat mentransfer beberapa gaya secara bersamaan.

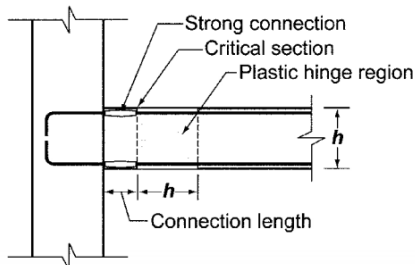
Pada perencanaan tugas akhir ini, direncanakan dengan menggunakan sambungan mekanis untuk penyambungan antar tulangannya.

Pada daerah *joint*, diberikan tulangan yang dihitung berdasarkan panjang penyaluran. Selain itu juga dilakukan perhitungan geser friksi yaitu geser beton yang berbeda umurnya antara beton pracetak dengan beton *topping*. Di dalam pelaksanaan biasanya dipakai stud tulangan (*shear connector*) yang berfungsi sebagai penahan geser dan sebagai pengikat antara pelat pracetak dan pelat *topping* agar pelat bersifat secara monolit dalam satu kesatuan integritas struktural.

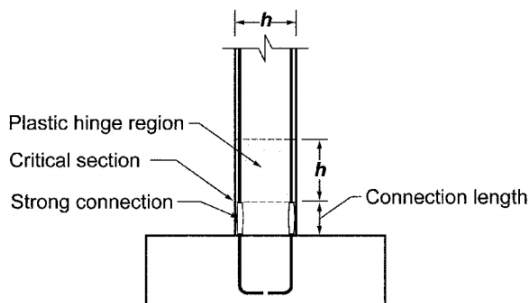
Sambungan antar elemen beton pracetak tersebut harus mempunyai cukup kekuatan, kekakuan dan dapat memberikan kebutuhan daktilitas yang disyaratkan. Baik sambungan cor setempat maupun sambungan *grouting* sudah banyak dipergunakan sebagai salah satu pemecahan masalah dalam mendesain konstruksi pracetak yang setara dengan konstruksi cor setempat (*cast in situ*).

4.5.2 Konsep Desain Sambungan

Konsep desain sambungan pada perencanaan gedung Apartemen Tower 2 The Arundaya Surabaya ini berdasarkan dengan detail sambungan yang disyaratkan pada ACI 318M-14 pasal 18.9 sebagai berikut:



Gambar 4.34 Detail Sambungan Balok – Kolom



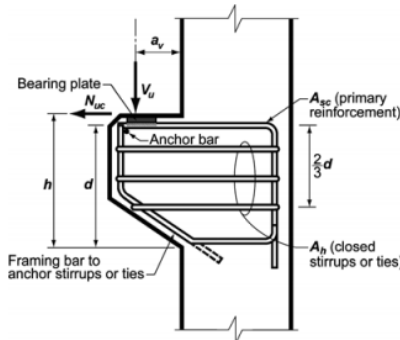
Gambar 4.35 Detail Sambungan Kolom – Pondasi

Pada tugas akhir ini, direncanakan sambungan dengan menggunakan produk dari Peikko Group untuk sambungan antar balok dan sambungan balok – kolom serta produk dari NMB Splice Sleeve untuk sambungan antar kolom yang kemudian akan di *grouting* dengan mortar mutu tinggi untuk menjaga kesatuan sambungan. Sementara itu, untuk menahan beban balok dan gaya geser friksi akan digunakan konsol pendek baik pada kolom maupun pada balok induk.

4.5.3 Perencanaan Konsol pada Elemen Pracetak

Pada perencanaan sambungan antara balok induk dengan kolom maupun balok induk dengan balok anak, dipergunakan sambungan dengan menggunakan konsol pendek. Balok induk diletakan pada konsol yang berada pada kolom yang kemudian

dirangkai menjadi satu kesatuan. Demikian juga antara balok induk dan balok anak, konsol berada pada balok induknya. Perencanaan konsol tersebut mengikuti persyaratan yang diatur dalam ACI 318M-14 pasal 16.5.



Gambar 4.36 Detail Penulangan Konsol Pendek

4.5.3.1 Data Perencanaan

Berikut merupakan data perencanaan konsol pendek untuk balok dimensi 40/70 pada gedung Apartemen Tower 2 The Arundaya Surabaya:

- f_c = 45 MPa
- f_y = 420 MPa
- Tulangan Longitudinal = 16 mm
- Tulangan Transversal = 13 mm
- *Clear Cover* = 50 mm
- b = 400 mm
- h = 300 mm
- d = $h - \text{clear cover} - 0.5D$
= $300 - 50 - 0.5(16)$
= 242 mm
- a_v = 150 mm

4.5.3.2 Perhitungan Tulangan Konsol Pendek

Data-data yang diperlukan dalam perhitungan tulangan konsol pendek yaitu:

$$V_u = 361.65 \text{ kN}$$

$$N_u = 72.33 \text{ kN}$$

- Luas Pelat Landasan

$$V_u = \phi \times 0.85 \times f'_c \times A_1$$

$$\begin{aligned} A_1 &= \frac{V_u}{\phi 0.85 f'_c} \\ &= \frac{361.65 \times 10^3}{0.75(0.85)45} \\ &= 12606.47 \text{ mm}^2 \end{aligned}$$

∴ Maka digunakan pelat landasan ukuran 400x175 dengan tebal 15 mm

- Luas Tulangan Geser Friksi

Berdasarkan ACI 318M-14 pasal 16.5.2.4, untuk beton normal, kuat geser (V_n) tidak boleh diambil melebihi nilai-nilai berikut:

Syarat 1:

$$\begin{aligned} V_{n \max 1} &\leq 0.2 f'_c bd \\ &\leq 0.2 (45) (400) (242) \\ &\leq 871.2 \text{ kN} \end{aligned}$$

Syarat 2:

$$\begin{aligned} V_{n \max 2} &\leq (3.3 + 0.08f'_c) bd \\ &\leq (3.3 + 0.08 \times 45) (400) (242) \\ &\leq 667.92 \text{ kN} \end{aligned}$$

Syarat 3:

$$\begin{aligned} V_{n \max 3} &\leq 11bd \\ &\leq 11(400) (242) \\ &\leq 1064.8 \text{ kN} \end{aligned}$$

Cek V_n

$$V_n = \frac{V_u}{\phi}$$

$$= \frac{361.65}{0.75} \\ = 482.20 \text{ kN} \leq V_{n \max} (\text{OK})$$

- Luas Tulangan Lentur

Perhitungan didasarkan pada peraturan ACI 318M-14 pasal 16.3.5.1 sebagai berikut:

$$M_u = V_u \times a_v + N_u (h - d) \\ = 361.65 (1000) (150) + 72.33 (1000) (300 - 242) \\ = 58.44 \times 10^6 \text{ Nmm} \\ = 58.44 \text{ kNm}$$

$$A_f = \frac{M_u}{\phi f_y j d} \\ = \frac{58.44 \times 10^6}{0.75 (420)(0.85)(242)} \\ = 901.95 \text{ mm}^2$$

$$A_n = \frac{N_u}{\phi f_y} \\ = \frac{72.33 \times 1000}{0.75(420)} \\ = 229.62 \text{ mm}^2$$

$$A_{vf} = \frac{V_n}{f_y \times \mu} \\ = \frac{482.20 \times 1000}{420 \times 1.4} \\ = 820.06 \text{ mm}^2$$

- Pemilihan Tulangan

$$A_{sc1} = A_f + A_n \\ = 901.95 + 229.62 \\ = 1131.57 \text{ mm}^2$$

$$A_{sc2} = \frac{2}{3} A_{vf} + A_n \\ = \frac{2}{3} (820.06) + 229.62 \\ = 776.33 \text{ mm}^2$$

$$A_{sc3} = 0.04 \frac{f'_c}{f_y} bd$$

$$\begin{aligned}
 &= 0.04 \frac{45}{420} (400) (242) \\
 &= 1131.57 \text{ mm}^2 \\
 A_{sc \text{ pakai}} &= 1131.57 \text{ mm}^2 \\
 n &= \frac{A_{sc \text{ pakai}}}{0.25\pi D 16^2} \\
 &= \frac{1131.57}{0.25\pi 16^2} \\
 &= 6 \text{ buah} \\
 A_h &= 0.5 (A_{sc} - A_n) \\
 &= 0.5 (1131.57 - 229.62) \\
 &= 450.98 \text{ mm}^2 \\
 n &= \frac{A_h}{0.25\pi D 13^2} \\
 &= \frac{450.98}{0.25\pi 13^2} \\
 &= 4 \text{ buah} \\
 \therefore \text{Tulangan dipasang sepanjang } &\frac{2}{3}d = 161.33 \approx 165 \text{ mm}
 \end{aligned}$$

4.5.3.3 Rekapitulasi Tulangan Konsol Pendek

Pada subbab sebelumnya telah dijabarkan perhitungan konsol pendek yang digunakan untuk sambungan balok induk ke kolom. Selain itu, konsol pendek juga digunakan untuk sambungan balok induk ke balok anak. Perhitungan juga dilakukan dengan cara yang sama seperti konsol pendek yang terletak pada kolom. Berikut merupakan rekapitulasi penulangan konsol pendek.

Tabel 4.33 Rekapitulasi Tulangan Konsol Pendek

| Sambungan | V _u (kN) | N _u (kN) | Ukuran | | Dongitudinal (mm) | D _{Transversal} (mm) | A _{sc} (mm ²) | n (buah) | A _b (mm ²) | n (buah) |
|--------------------------------|---------------------|---------------------|--------|-----|----------------------|----------------------------------|------------------------------------|----------|-----------------------------------|----------|
| Kolom - Balok Induk 50/75 | 442.50 | 88.50 | 500 | 300 | 16 | 13 | 1384.54 | 7.00 | 551.79 | 5.00 |
| Kolom - Balok Induk 40/70 | 361.65 | 72.33 | 400 | 300 | 16 | 13 | 1131.57 | 6.00 | 450.98 | 4.00 |
| Balok Induk 50/75 - Balok Anak | 108.59 | 21.72 | 300 | 200 | 13 | 13 | 524.83 | 4.00 | 227.94 | 2.00 |
| Balok Induk 40/70 - Balok Anak | 61.69 | 12.34 | 300 | 150 | 13 | 13 | 436.63 | 4.00 | 198.73 | 2.00 |

4.5.4 Perencanaan Sambungan Balok – Kolom

Sambungan balok dengan kolom memanfaatkan panjang penyaluran pada tulangan balok. Tulangan balok nantinya akan diteruskan atau dikaitkan ke dalam kolom. Panjang penyaluran bagian bawah akan menerima tekan dan panjang penyaluran bagian atas akan menerima Tarik. Maka perhitungan panjang penyaluran dihitung dalam dua kondisi yaitu tekan dan tarik. Pada sambungan balok – kolom terdapat 2 kondisi yaitu sambungan *single-sided connection* dan *double-sided connection*.

Seperti yang sudah disebutkan pada subbab sebelumnya, dalam perencanaan sambungan tugas akhir ini akan digunakan produk sambungan dari Peikko group yaitu dengan menggunakan Modix Rebar Couplers. Diketahui bahwa Modix Rebar Coupler didesain untuk sambungan elemen pracetak yang tahan terhadap gaya tarik maupun gaya tekan yang terjadi pada penampang beton. Kekuatan leleh yang dimiliki oleh Modix Rebar Coupler adalah 550 MPa, sehingga sambungan coupler ini dapat digunakan karena kekuatan leleh pada baja tulangan hanya 420 MPa. Dalam perencanaan tulangan atas dan bawah digunakan Modix Rebar Coupler type PM. Untuk kait standar juga menggunakan produk Peikko Group. Berikut merupakan perhitungan sambungan balok induk – kolom:

4.5.5.1 Data Perencanaan

- f_c = 35 MPa
- f_y = 420 MPa
- d_b = 25 mm

4.5.5.2 Perhitungan *Single-Sided Connection*

Berikut merupakan contoh perhitungan sambungan antara BII dengan K1:

- Panjang Penyaluran Kait Standar dalam Tarik

Berdasarkan ACI 318M-14 pasal 25.4.3.1, panjang penyaluran untuk batang tulangan ulir dalam kondisi tarik yang diakhiri dengan kait standar adalah sebagai berikut:

$$\begin{aligned}
 l_{dh1} &= \frac{0.24 f_y \psi_e \psi_c \psi_r}{\lambda \sqrt{f'_c}} d_b \\
 &= \frac{0.24(420)}{\sqrt{35}} 25 \\
 &= 425.96 \text{ mm} \\
 l_{dh2} &= 8d_b \\
 &= 8(25) \\
 &= 200 \text{ mm} \\
 l_{dh3} &= 150 \text{ mm}
 \end{aligned}$$

∴ Maka dipakai $l_{dh} = 460$ mm dengan kait minimum panjang penyaluran yang masuk ke dalam kolom dengan panjang kait standar 90° sebesar $12 \times d_b = 12 \times 25 = 300$ mm

- Pemilihan Profil Sambungan

Sambungan tulangan pada bagian tarik menggunakan Modix Coupler SM25A-P12-760(460) -SM25B-P-1650.

- Kontrol Kekuatan Sambungan

Kekuatan sambungan harus lebih besar dari 1.25 kali kekuatan tulangan. Modix Coupler SM 25 memiliki dimensi sebagai berikut:

$$D_{luar} = 41 \text{ mm}$$

$$D_{dalam} = 25 \text{ mm}$$

$$f_y = 550 \text{ MPa}$$

Kontrol:

$$N_{rd} \geq 1.25 A_s f_y$$

$$(41^2 - 25^2) \times 0.25\pi \times 550 \geq 1.25 \times 490.81 \times 420$$

$$456,159.25 \text{ N} \geq 257,708.1 \text{ N (OK)}$$

- Panjang Penyaluran Kait Standar dalam Tekan

Berdasarkan ACI 318M-14 pasal 25.4.9.1, panjang penyaluran untuk batang tulangan ulir dalam kondisi tekan yang diakhiri dengan kait standar adalah sebagai berikut:

$$\begin{aligned}
 l_{dc1} &= \frac{0.24 f_y \psi_r}{\lambda \sqrt{f'_c}} d_b \\
 &= \frac{0.24(420)}{\sqrt{35}} 25 \\
 &= 425.96 \text{ mm} \\
 l_{dc2} &= 0.043 f_y \psi_r d_b \\
 &= 0.043 (420) (25) \\
 &= 451.5 \text{ mm} \\
 l_{dc3} &= 200 \text{ mm} \\
 \therefore \text{Maka dipakai } l_{dc} &= 460 \text{ mm}
 \end{aligned}$$

- Pemilihan Profil Sambungan
Sambungan tulangan pada bagian tekan menggunakan Modix Coupler SM25A-L-460-PM25-SM25B-P-1650.

- Kontrol Kekuatan Sambungan
Kekuatan sambungan harus lebih besar dari 1.25 kali kekuatan tulangan. Modix Coupler SM 25 memiliki dimensi sebagai berikut:

$$\begin{aligned}
 D_{luar} &= 41 \text{ mm} \\
 D_{dalam} &= 25 \text{ mm} \\
 f_y &= 550 \text{ MPa}
 \end{aligned}$$

Kontrol:

$$\begin{aligned}
 N_{rd} &\geq 1.25 A_s f_y \\
 (41^2 - 25^2) \times 0.25\pi \times 550 &\geq 1.25 \times 490.81 \times 420 \\
 456,159.25 \text{ N} &\geq 257,708.1 \text{ N (OK)}
 \end{aligned}$$

4.5.5.3 Perhitungan *Double-Sided Connection*

Berikut merupakan contoh perhitungan sambungan antara BI4 dengan BI1 pada K1:

- Panjang Penyaluran Kait Standar dalam Tarik
Berdasarkan ACI 318M-14 pasal 25.4.3.1, panjang penyaluran untuk batang tulangan ulir dalam kondisi tarik yang diakhiri dengan kait standar adalah sebagai berikut:

$$\begin{aligned}
 l_{dh1} &= \frac{0.24 f_y \psi_e \psi_c \psi_r}{\lambda \sqrt{f'_c}} d_b \\
 &= \frac{0.24(420)}{\sqrt{35}} 25 \\
 &= 425.96 \text{ mm} \\
 l_{dh2} &= 8d_b \\
 &= 8(25) \\
 &= 200 \text{ mm} \\
 l_{dh3} &= 150 \text{ mm}
 \end{aligned}$$

∴ Maka dipakai $l_{dh} = 460$ mm dengan kait minimum panjang penyaluran yang masuk ke dalam kolom dengan panjang kait standar 90° sebesar $12 \times d_b = 12 \times 25 = 300$ mm

- Pemilihan Profil Sambungan

Sambungan tulangan pada bagian tarik menggunakan Modix Coupler SM25B-P-1650-SM25A-D-1000-SM25B-P-1650. Sedangkan pada bagian tulangan yang tidak memiliki pasangan digunakan SM25A-P12-760(460)-SM25B-P-1650.

- Kontrol Kekuatan Sambungan

Kekuatan sambungan harus lebih besar dari 1.25 kali kekuatan tulangan. Modix Coupler SM 25 memiliki dimensi sebagai berikut:

$$\begin{aligned}
 D_{luar} &= 41 \text{ mm} \\
 D_{dalam} &= 25 \text{ mm} \\
 f_y &= 550 \text{ MPa}
 \end{aligned}$$

Kontrol:

$$\begin{aligned}
 N_{rd} &\geq 1.25 A_s f_y \\
 (41^2 - 25^2) \times 0.25\pi \times 550 &\geq 1.25 \times 490.81 \times 420 \\
 456,159.25 \text{ N} &\geq 257,708.1 \text{ N (OK)}
 \end{aligned}$$

- Panjang Penyaluran Kait Standar dalam Tekan

Berdasarkan ACI 318M-14 pasal 25.4.9.1, panjang penyaluran untuk batang tulangan ulir dalam kondisi tekan yang diakhiri dengan kait standar adalah sebagai berikut:

$$\begin{aligned}
 l_{dc1} &= \frac{0.24 f_y \psi_r}{\lambda \sqrt{f'_c}} d_b \\
 &= \frac{0.24(420)}{\sqrt{35}} 25 \\
 &= 425.96 \text{ mm} \\
 l_{dc2} &= 0.043 f_y \psi_r d_b \\
 &= 0.043 (420) (25) \\
 &= 451.5 \text{ mm} \\
 l_{dc3} &= 200 \text{ mm} \\
 \therefore l_{dc} &= 460 \text{ mm}
 \end{aligned}$$

- Pemilihan Profil Sambungan

Sambungan tulangan pada bagian tekan menggunakan Modix Coupler SM25B-P-1650-PM25-SM25A-D-1000-PM25-SM25B-P-1650.

- Kontrol Kekuatan Sambungan

Kekuatan sambungan harus lebih besar dari 1.25 kali kekuatan tulangan. Modix Coupler SM 25 memiliki dimensi sebagai berikut:

$$\begin{aligned}
 D_{luar} &= 41 \text{ mm} \\
 D_{dalam} &= 25 \text{ mm} \\
 f_y &= 550 \text{ MPa}
 \end{aligned}$$

Kontrol:

$$\begin{aligned}
 N_{rd} &\geq 1.25 A_s f_y \\
 (41^2 - 25^2) \times 0.25\pi \times 550 &\geq 1.25 \times 490.81 \times 420 \\
 456,159.25 \text{ N} &\geq 257,708.1 \text{ N (OK)}
 \end{aligned}$$

4.5.5.4 Rekapitulasi Sambungan

Berikut merupakan rekapitulasi sambungan balok – kolom:

Tabel 4.34 Rekapitulasi *Single-Sided Connection*

| BI1 - K1, K2, K3 | |
|------------------|---------------------------------|
| Tarik | SM25A-P12-760(460)-SM25B-P-1650 |
| Tekan | SM25A-L-460-PM25-SM25B-P-1650 |

| BI5 - K1, K2, K3 | |
|------------------|---------------------------------|
| Tarik | SM25A-P12-760(460)-SM25B-P-1650 |
| Tekan | SM25A-L-460-PM25-SM25B-P-1650 |

Tabel 4.35 Rekapitulasi *Double-Sided Connection* (1)

| BI1 - BI2 - K1 | |
|----------------|--|
| Tarik | SM25B-P-1650-SM25A-D-1000-SM25B-P-1650 |
| Tekan | SM25B-P-1650-PM25-SM25A-D-1000-PM25-SM25B-P-1650 |
| BI2 - BI5 - K1 | |
| Tarik | SM25B-P-1650-SM25A-D-1000-SM25B-P-1650 |
| Tekan | SM25B-P-1650-PM25-SM25A-D-1000-PM25-SM25B-P-1650 |
| BI4 - BI1 - K1 | |
| Tarik | SM25B-P-1650-SM25A-D-1000-SM25B-P-1650 |
| | SM25A-P12-760(460)-SM25B-P-1650 |
| Tekan | SM25B-P-1650-PM25-SM25A-D-1000-PM25-SM25B-P-1650 |
| BI3 - BI3 - K1 | |
| Tarik | SM25B-P-1750-SM25A-D-1000-SM25B-P-1750 |
| Tekan | SM25B-P-1750-PM25-SM25A-D-1000-PM25-SM25B-P-1750 |
| BI6 - BI2 - K1 | |
| Tarik | SM25B-P-1650-SM25A-D-1000-SM25B-P-1650 |
| | SM25B-P-1650-SM25A-P12-760(460) |
| Tekan | SM25B-P-1650-PM25-SM25A-D-1000-PM25-SM25B-P-1650 |
| | SM25A-L-460-PM25-SM25B-P-1650 |
| BI5 - BI6 - K1 | |
| Tarik | SM25B-P-1650-SM25A-D-1000-SM25B-P-1650 |
| | SM25A-P12-760(460)-SM25B-P-1650 |
| Tekan | SM25B-P-1650-PM25-SM25A-D-1000-PM25-SM25B-P-1650 |
| | SM25A-L-460-PM25-SM25B-P-1650 |
| BI2 - BI3 - K1 | |
| Tarik | SM25B-P-1650-SM25A-D-1000-SM25B-P-1750 |
| | SM25A-P12-760(460)-SM25B-P-1750 |
| Tekan | SM25A-L-460-PM25-SM25B-P-1650 |
| | SM25A-L-460-PM25-SM25B-P-1750 |
| | SM25B-P-1650-PM25-SM25A-D-1000-PM25-SM25B-P-1750 |
| BI3 - BI5 - K1 | |
| Tarik | SM25B-P-1750-SM25A-D-1000-SM25B-P-1650 |
| | SM25A-P12-760(460)-SM25B-P-1750 |

| | |
|----------------|--|
| Tekan | SM25A-L-460-PM25-SM25B-P-1650 |
| | SM25A-L-460-PM25-SM25B-P-1750 |
| | SM25B-P-1750-PM25-SM25A-D-1000-PM25-SM25B-P-1650 |
| BI3 - BI4 - K1 | |
| Tarik | SM25B-P-1750-SM25A-D-1000-SM25B-P-1650 |
| | SM25A-P12-760(460)-SM25B-P-1750 |
| Tekan | SM25A-L-460-PM25-SM25B-P-1750 |
| | SM25A-L-460-PM25-SM25B-P-1650 |
| | SM25B-P-1750-PM25-SM25A-D-1000-PM25-SM25B-P-1650 |

Tabel 4.36 Rekapitulasi *Double-Sided Connection* (2)

| | |
|----------------|---|
| | BI1 - BI2 - K1 |
| Tarik | SM25B-P-1650-SM25A-D-800-SM25B-P-1650 |
| Tekan | SM25B-P-1650-PM25-SM25A-D-800-PM25-SM25B-P-1650 |
| BI2 - BI5 - K1 | |
| Tarik | SM25B-P-1650-SM25A-D-800-SM25B-P-1650 |
| Tekan | SM25B-P-1650-PM25-SM25A-D-800-PM25-SM25B-P-1650 |
| BI4 - BI1 - K1 | |
| Tarik | SM25B-P-1650-SM25A-D-800-SM25B-P-1650 |
| | SM25A-P12-760(460)-SM25B-P-1650 |
| Tekan | SM25B-P-1650-PM25-SM25A-D-800-PM25-SM25B-P-1650 |
| BI3 - BI3 - K1 | |
| Tarik | SM25B-P-1750-SM25A-D-800-SM25B-P-1750 |
| Tekan | SM25B-P-1750-PM25-SM25A-D-800-PM25-SM25B-P-1750 |
| BI6 - BI2 - K1 | |
| Tarik | SM25B-P-1650-SM25A-D-800-SM25B-P-1650 |
| | SM25B-P-1650-SM25A-P12-760(460) |
| Tekan | SM25B-P-1650-PM25-SM25A-D-800-PM25-SM25B-P-1650 |
| | SM25A-L-460-PM25-SM25B-P-1650 |
| BI5 - BI6 - K1 | |
| Tarik | SM25B-P-1650-SM25A-D-800-SM25B-P-1650 |
| | SM25A-P12-760(460)-SM25B-P-1650 |
| Tekan | SM25B-P-1650-PM25-SM25A-D-800-PM25-SM25B-P-1650 |
| | SM25A-L-460-PM25-SM25B-P-1650 |
| BI2 - BI3 - K1 | |
| Tarik | SM25B-P-1650-SM25A-D-800-SM25B-P-1750 |
| | SM25A-P12-760(460)-SM25B-P-1750 |

| | |
|----------------|---|
| Tekan | SM25A-L-460-PM25-SM25B-P-1650 |
| | SM25A-L-460-PM25-SM25B-P-1750 |
| | SM25B-P-1650-PM25-SM25A-D-800-PM25-SM25B-P-1750 |
| BI3 - BI5 - K1 | |
| Tarik | SM25B-P-1750-SM25A-D-800-SM25B-P-1650 |
| | SM25A-P12-760(460)-SM25B-P-1750 |
| Tekan | SM25A-L-460-PM25-SM25B-P-1650 |
| | SM25A-L-460-PM25-SM25B-P-1750 |
| | SM25B-P-1750-PM25-SM25A-D-800-PM25-SM25B-P-1650 |
| BI3 - BI4 - K1 | |
| Tarik | SM25B-P-1750-SM25A-D-800-SM25B-P-1650 |
| | SM25A-P12-760(460)-SM25B-P-1750 |
| Tekan | SM25A-L-460-PM25-SM25B-P-1750 |
| | SM25A-L-460-PM25-SM25B-P-1650 |
| | SM25B-P-1750-PM25-SM25A-D-800-PM25-SM25B-P-1650 |

4.5.5 Perencanaan Sambungan Balok Anak – Balok Induk

Sama halnya dengan sambungan balok – kolom, sambungan balok anak – balok induk pada tugas akhir ini dapat dilihat sebagai berikut:

4.5.5.1 Data Perencanaaan

- $f_c = 35 \text{ MPa}$
- $f_y = 420 \text{ MPa}$
- $d_b = 25 \text{ mm}$

4.5.5.2 Perhitungan *Single-Sided Connection*

Berikut merupakan contoh perhitungan sambungan antara BA1 dengan BI1:

- Panjang Penyaluran Kait Standar dalam Tarik

Berdasarkan ACI 318M-14 pasal 25.4.3.1, panjang penyaluran untuk batang tulangan ulir dalam kondisi tarik yang diakhiri dengan kait standar adalah sebagai berikut:

$$l_{dh1} = \frac{0.24 f_y \psi_e \psi_c \psi_r}{\lambda \sqrt{f'_c}} d_b$$

$$\begin{aligned}
 &= \frac{0.24(420)}{\sqrt{35}} 25 \\
 &= 425.96 \text{ mm} \\
 l_{dh2} &= 8d_b \\
 &= 8(25) \\
 &= 200 \text{ mm} \\
 l_{dh3} &= 150 \text{ mm}
 \end{aligned}$$

∴ Maka dipakai $l_{dh} = 200$ mm karena balok anak hanya sebagai balok sekunder dengan kait minimum panjang penyaluran yang masuk ke dalam balok induk dengan panjang kait standar 90° sebesar $12 \times d_b = 12 \times 25 = 300$ mm

- Pemilihan Profil Sambungan

Sambungan tulangan pada bagian tarik dilakukan secara manual tanpa menggunakan produk Peikko.

- Panjang Penyaluran Kait Standar dalam Tekan

Berdasarkan ACI 318M-14 pasal 25.4.9.1, panjang penyaluran untuk batang tulangan ulir dalam kondisi tekan yang diakhiri dengan kait standar adalah sebagai berikut:

$$\begin{aligned}
 l_{dc1} &= \frac{0.24 f_y \psi_r}{\lambda \sqrt{f'_c}} d_b \\
 &= \frac{0.24(420)}{\sqrt{35}} 25 \\
 &= 425.96 \text{ mm} \\
 l_{dc2} &= 0.043 f_y \psi_r d_b \\
 &= 0.043 (420) (25) \\
 &= 451.5 \text{ mm} \\
 l_{dc3} &= 200 \text{ mm}
 \end{aligned}$$

∴ Maka dipakai $l_{dc} = 200$ mm karena balok anak merupakan balok sekunder.

- Pemilihan Profil Sambungan

Sambungan tulangan pada bagian tekan menggunakan Modix Coupler SM25A-L-200-PM25-SM25B-P-1350.

4.5.5.3 Perhitungan ***Double-Sided Connection***

Berikut merupakan contoh perhitungan sambungan antara BA4 dengan BA3 pada BI3:

- Panjang Penyaluran Kait Standar dalam Tarik

Berdasarkan ACI 318M-14 pasal 25.4.3.1, panjang penyaluran untuk batang tulangan ulir dalam kondisi tarik yang diakhiri dengan kait standar adalah sebagai berikut:

$$\begin{aligned} l_{dh1} &= \frac{0.24f_y\psi_e\psi_c\psi_r}{\lambda\sqrt{f'_c}} d_b \\ &= \frac{0.24(420)}{\sqrt{35}} 25 \\ &= 425.96 \text{ mm} \\ l_{dh2} &= 8d_b \\ &= 8(25) \\ &= 200 \text{ mm} \\ l_{dh3} &= 150 \text{ mm} \end{aligned}$$

∴ Maka dipakai $l_{dh} = 250$ mm karena balok anak hanya sebagai balok sekunder dengan kait minimum panjang penyaluran yang masuk ke dalam balok induk dengan panjang kait standar 90° sebesar $12 \times d_b = 12 \times 25 = 300$ mm

- Pemilihan Profil Sambungan

Sambungan tulangan pada bagian tarik dilakukan secara manual tanpa menggunakan produk Peikko.

- Panjang Penyaluran Kait Standar dalam Tekan

Berdasarkan ACI 318M-14 pasal 25.4.9.1, panjang penyaluran untuk batang tulangan ulir dalam kondisi tekan yang diakhiri dengan kait standar adalah sebagai berikut:

$$\begin{aligned} l_{dc1} &= \frac{0.24f_y\psi_r}{\lambda\sqrt{f'_c}} d_b \\ &= \frac{0.24(420)}{\sqrt{35}} 25 \\ &= 425.96 \text{ mm} \end{aligned}$$

$$\begin{aligned} l_{dc2} &= 0.043 f_y \psi_r d_b \\ &= 0.043 (420) (25) \\ &= 451.5 \text{ mm} \end{aligned}$$

$$l_{dc3} = 200 \text{ mm}$$

∴ Maka dipakai $l_{dc} = 250$ mm karena balok anak merupakan balok sekunder.

- Pemilihan Profil Sambungan

Sambungan tulangan pada bagian tekan menggunakan Modix Coupler SM25B-P-1350-PM25-SM25A-D-500-PM25-SM25B-P-1350.

4.5.5.4 Rekapitulasi Sambungan

Berikut merupakan rekapitulasi sambungan balok anak – balok induk:

Tabel 4.37 Rekapitulasi *Single-Sided Connection*

| Tipe Balok Anak | Tipe Balok Induk | l_{dh} (mm) | l_{dc} (mm) | Profil Sambungan |
|-----------------|------------------|---------------|---------------|-------------------------------|
| | | | | Tekan |
| BA1 | BI1 | 200 | 200 | SM25A-L-200-PM25-SM25B-P-1350 |
| BA1 | BI2 | 200 | 200 | SM25A-L-200-PM25-SM25B-P-1350 |
| BA1 | BI3 | 250 | 250 | SM25A-L-200-PM25-SM25B-P-1350 |
| BA1 | BI4 | 200 | 200 | SM25A-L-200-PM25-SM25B-P-1350 |
| BA2 | BI3 | 250 | 250 | SM25A-L-200-PM25-SM25B-P-1350 |
| BA3 | BI3 | 250 | 250 | SM25A-L-200-PM25-SM25B-P-1350 |

Tabel 4.38 Rekapitulasi *Double-Sided Connection*

| Tipe Balok Anak | Tipe Balok Induk | l_{dh} (mm) | l_{dc} (mm) | Profil Sambungan |
|-----------------|------------------|---------------|---------------|---|
| | | | | Tekan |
| BA2 - BA1 | BI3 | 250 | 250 | SM25B-P-1350-PM25-SM25A-D-500-PM25-SM25B-P-1350 |
| BA3 - BA2 | BI3 | 250 | 250 | SM25B-P-1350-PM25-SM25A-D-500-PM25-SM25B-P-1350 |
| BA4 - BA3 | BI3 | 250 | 250 | SM25B-P-1350-PM25-SM25A-D-500-PM25-SM25B-P-1350 |

4.5.6 Perencanaan Sambungan Balok – Pelat

Sambungan antara balok dengan pelat mengandalkan adanya tulangan-tulangan yang muncul pada balok induk. Selanjutnya pelat pracetak yang sudah dihubungkan, tulangan yang muncul tersebut diberi *overtopping* dengan metode cor ditempat. Proses *overtopping* tersebut dilakukan bersamaan dengan proses penyambungan *overtopping* balok pracetak (sambungan balok induk dan kolom pracetak). Dapat disimpulkan bahwa semua komponen pracetak dapat dilakukan dalam waktu bersamaan.

4.5.6.1 Data Perencanaan

- $f'_c = 35 \text{ MPa}$
- $f_y = 420 \text{ MPa}$
- $d_b = 10 \text{ mm}$

4.5.6.2 Perhitungan Sambungan

- Panjang Penyaluran Tulangan Kondisi Tarik

Berdasarkan ACI 318M-14 pasal 25.4.2, panjang penyaluran tulangan ulir dalam kondisi Tarik tidak boleh kurang dari sebagai berikut:

$$l_{d1} \geq 300 \text{ mm}$$

$$l_{d2} \geq \left(\frac{f_y \psi_t \psi_e}{2.1 \lambda \sqrt{f'_c}} \right) d_b$$

$$\geq \left(\frac{420}{2.1 \sqrt{35}} \right) 10$$

$$\geq 338.06 \text{ mm}$$

$$l_d \text{ pakai} \geq 350 \text{ mm}$$

∴ Maka digunakan panjang penyaluran pada daerah tarik sepanjang 350 mm

- Panjang Penyaluran Tulangan Kondisi Tekan

Berdasarkan ACI 318M-14 pasal 25.4.9, panjang penyaluran tulangan ulir dalam kondisi Tarik tidak boleh kurang dari sebagai berikut:

$$l_{d1} \geq 200 \text{ mm}$$

$$l_{d2} \geq \left(\frac{0.24 f_y \psi_r}{\lambda \sqrt{f'_c}} \right) d_b$$

$$\geq \left(\frac{0.24 \times 420}{\sqrt{35}} \right) 10$$

$$\geq 170.38 \text{ mm}$$

$$l_{d3} \geq 0.043 f_y \psi_r d_b$$

$$\geq 0.043 (420) (10)$$

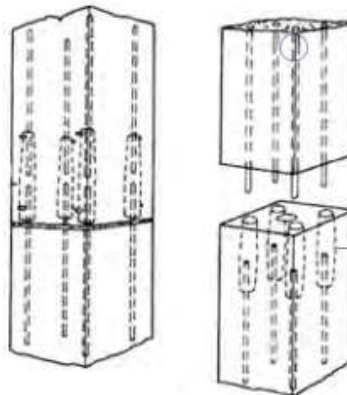
$$\geq 180.6 \text{ mm}$$

$$l_d \text{ pakai} \geq 200 \text{ mm}$$

∴ Maka digunakan panjang penyaluran pada daerah tekan sepanjang 200 mm

4.5.7 Perencanaan Sambungan Kolom – Kolom

Pada perencanaan gedung Apartemen Tower 2 The Arundaya Surabaya untuk tugas akhir ini, sambungan kolom – kolom menggunakan NMB Splice Sleeve. Dengan menggunakan NMB Splice Sleeve, tidak perlu dilakukan perhitungan panjang penyaluran untuk proses penyambungannya. Hal ini dikarenakan tulangan antar kolom yang dilakukan penyambungan dengan *coupler* sudah monolit dan menerus. Untuk ilustrasi mengenai sambungan antar tulangan kolom pracetak tersebut dapat dilihat pada gambar berikut:



Gambar 4.37 Ilustrasi Sambungan Kolom – Kolom

- Mekanisme Penyambungan

Pada proses penyambungan antar kolom, dilakukan proses *grouting* pada pertemuan antar dua tulangan kolom. Mortar yang digunakan untuk penyambungan haruslah mortar tipe *non-shrinkage* untuk menghindari kegagalan dan susut beton.

- Pemilihan Tipe NMB Splice Sleeve

Diameter tulangan yang digunakan pada semua jenis kolom baik tipe 1 x 1 meter maupun 0.80×0.80 meter adalah 25 mm. Sesuai dengan brosur yang diberikan oleh NMB Splice Sleeve, *splice sleeve* yang digunakan adalah tipe 8U-X untuk tulangan berdiameter 25 mm dengan tegangan leleh sebesar 85,000 psi = 586 MPa. Berdasarkan ACI 318M-14, *mechanical splice* yang digunakan termasuk tipe 2. *Grouting* dilakukan dengan *non-shrinkage* SS Mortar Tipe 2 dengan kekuatan minimum 9500 psi = 65.5 MPa. Berdasarkan ACI 318M-14 pasal 18.9.2.2, sambungan kolom – kolom juga harus memenuhi persamaan berikut:

$$\phi M_n \geq 0.4 M_{pr}$$

$$4121.27 \text{ kNm} \geq 0.4 (4858.12) = 1943.25 \text{ kNm (OK)}$$

4.6 Perencanaan Pondasi

4.6.1 Umum

Perencanaan pondasi merupakan perencanaan struktur bawah bangunan. Pondasi pada umumnya berlaku sebagai komponen struktur pendukung bangunan yang terbawah dan berfungsi sebagai elemen terakhir yang meneruskan beban ke tanah. Pondasi pada gedung ini direncanakan memakai pondasi tiang pancang jenis prestressed concrete spun pile produk dari PT. WIKA (Wijaya Karya) Beton. Pada subbab perencanaan pondasi pembahasan meliputi perencanaan jumlah tiang pancang yang dibutuhkan dan perencanaan poer (*pile cap*).

4.6.2 Beban Struktur

Beban struktur menentukan bagaimana perencanaan pondasi yang akan dilakukan. Beban struktur disalurkan melalui kolom kemudian ke tiang pancang. Beban yang bekerja pada pondasi dihitung berdasarkan SNI 1726:2012 kombinasi beban untuk metoda tegangan ijin. Kombinasi beban-beban dibawah ini adalah kombinasi beban untuk menghitung tiang pancang dengan desain tegangan ijin.

- D
- D + L
- D + 0.75L
- D + 0.7E
- D + 0.75L + 0.75(0.7E)
- 0.6D + 0.7E

Dari kombinasi beban di atas dilakukan kontrol dari masing-masing kombinasi untuk menentukan perhitungan jumlah tiang pancang, defleksi, dan momen yang terjadi pada reaksi perletakan.

Output dari *joint reaction* pada program bantu ETABS ini kemudian dipilih sesuai kombinasi maksimum yang paling menentukan dalam perhitungan P_{ijin} 1 tiang. Berikut ini adalah *output* dari *joint reaction* pada pondasi.

Tabel 4.39 Beban pada Kolom

| Kombinasi | Hx | Hy | P | Mx | My |
|-------------------------|-------|-------|--------|-------|-------|
| | ton | ton | ton | ton m | ton m |
| D | 8.70 | 5.61 | 656.45 | 6.51 | 8.25 |
| D+L | 10.47 | 8.67 | 783.33 | 9.31 | 9.91 |
| D + 0.7 Eq x | 17.60 | 11.08 | 664.28 | 37.79 | 49.15 |
| D + 0.7 Eq y | 12.77 | 12.88 | 662.91 | 38.70 | 26.56 |
| D + 0.75 L | 10.03 | 7.91 | 751.61 | 8.43 | 9.50 |
| D + 0.75 L + 0.525 Eq x | 16.70 | 12.01 | 757.48 | 31.72 | 37.73 |
| D + 0.75 L + 0.525 Eq y | 13.08 | 12.35 | 756.45 | 33.11 | 22.32 |
| 0.6 D + 0.7 Eq x | 14.12 | 9.08 | 401.70 | 36.12 | 47.54 |
| 0.6 D + 0.7 Eq y | 9.29 | 10.92 | 411.44 | 36.38 | 24.50 |

4.6.3 Spesifikasi Tiang Pancang

Pada perencanaan pondasi gedung ini, digunakan pondasi tiang pancang jenis prestressed concrete spun piles Produk dari PT. WIKA Beton.

- Tiang pancang beton pracetak (*precast concrete pile*) dengan bentuk penampang bulat
- Mutu beton tiang pancang $f_c' = 52 \text{ MPa}$ (*concrete cube compressive strength is } 600 \text{ kg/cm}^2 \text{ at 28 days}*).

Berikut ini merupakan spesifikasi tiang pancang yang akan digunakan berdasarkan produk dari PT. WIKA Beton:

- Diameter tiang = 600 mm
- Tebal tiang = 100 mm
- Kelas tiang = C
- Penampang = 1570 cm^2
- Berat = 393 kg/m
- Panjang = $6 - 20 \text{ m}$
- *Bending moment crack* = 29 t.m
- *Beding momen ultimate* = 58 t.m
- *Allowable axial load* = 229.5 ton

4.6.4 Data Tanah

Data tanah diperlukan untuk merencanakan pondasi yang sesuai dengan jenis dan kemampuan daya dukung tanah tersebut. Data tanah didapatkan melalui penyelidikan tanah pada lokasi dimana struktur tersebut akan dibangun. Dalam hal ini data tanah yang digunakan untuk perencanaan pondasi gedung Apartemen Tower 2 The Arundaya Surabaya adalah data tanah hasil uji laboratorium mekanika tanah Departemen Teknik Sipil ITS Surabaya.

4.6.5 Daya Dukung Pondasi

4.6.5.1 Daya Dukung Tiang Pancang Tunggal

Daya dukung pada pondasi tiang pancang ditentukan oleh dua hal, yaitu daya dukung perlawanan tanah dari unsur dasar tiang pondasi (Q_p) dan daya dukung tanah dari unsur lekatan lateral tanah (Q_s). Oleh karena itu, daya dukung total dari tanah ialah:

$$Q_u = Q_p + Q_s$$

Selain peninjauan berdasarkan kekuatan tanah tempat pondasi tiang pancang di tanam, daya dukung suatu tiang juga harus ditinjau berdasarkan kekuatan bahan tiang pancang tersebut. Hasil daya dukung yang menentukan yang dipakai sebagai daya dukung ijin tiang. Perhitungan daya dukung dapat ditinjau dari dua keadaan, yaitu:

- Daya dukung tiang pancang tunggal yang berdiri sendiri
- Daya dukung tiang pancang dalam kelompok

Daya dukung SPT dari lapangan tidak dapat langsung digunakan untuk perencanaan tiang pancang. Harus dilakukan koreksi terlebih dahulu terhadap data SPT asli. Metode perhitungan menggunakan cara dari Terzaghi Bazaraa 1960, adapun perhitungannya adalah sebagai berikut:

1. Koreksi terhadap muka air tanah

Khusus untuk tanah berpasir halus, pasir lanau, dan pasir belepung, yang berada di bawah muka air tanah dan hanya bila $N > 15$.

$$- N_1 = 15 + 0.5(N-15)$$

$$\text{- } N_1 = 0.6N$$

Pilih harga N_1 yang terkecil dari kedua rumus diatas

2. Koreksi terhadap *overburden pressure* dari tanah

Dari harga N_1 dikoreksi lagi untuk pengaruh tekanan tanah vertikal efektif pada lapisan dimana harga N tersebut didapatkan, dengan rumus sebagai berikut:

$$\text{- } N_2 = \frac{4N_1}{1+0.4P_o} \rightarrow \text{untuk } P_o \leq 7.5 \text{ ton/m}^2$$

$$\text{- } N_2 = \frac{4N_1}{3.25+0.1P_o} \rightarrow \text{untuk } P_o > 7.5 \text{ ton/m}^2$$

Harga N_2 yang telah dihitung harus lebih kecil dari $2N_1$, apabila $N_2 > 2N_1$, maka nilai N_2 dibuat menjadi $2N_1$

3. Menghitung daya dukung *ultimate* tiang

$$P_{ult} = C_n A_{ujung} + \sum C_{li} A_{si}$$

Dimana:

C_{li} = Hambatan geser selimut tiang pada segmen i

$$= \frac{N_i}{2} \text{ untuk tanah lempung / lanau}$$

$$= \frac{N_i}{5} \text{ untuk tanah pasir}$$

A_{si} = Luas selimut tiang pada segmen i = $O_i \times h_i$

O_i = Keliling tiang

C_n = 40 \bar{N}

\bar{N} = Harga rata-rata N_2 4D dibawah ujung hingga 8D diatas

Maka:

$$P_{ult} = 40 \bar{N} A_{ujung} + \sum \frac{N_i}{2 \text{ atau } 5} A_{si}$$

Daya dukung ijin dari satu tiang pancang yang berdiri sendiri adalah daya dukung tiang total dibagi dengan suatu angka keamanan.

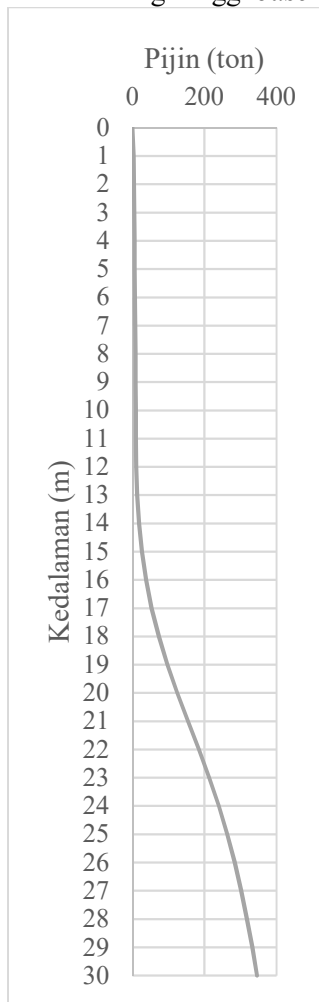
$$P_{ijin} = \frac{P_{ult}}{SF}$$

Pada tugas akhir ini, digunakan nilai angka keamanan sebesar 3 ($SF = 3$).

Tabel 4.40 Hasil Perhitungan Daya Dukung Tanah

| Jenis | Depth | N SPT | N1 | γ_{sat} | γ' | P_o | $N2$ Koreksi P_o' | 2N1 | N2 Pakai Segment) | Ni (Tengah Segment) | Nrata2 | Aujung | Cli | Σ Cli * Asi | Pult | Pjlin | |
|---------|-------|-------|-------|----------------|-----------|---------|------------------------|--------|----------------------|------------------------|--------|--------|--------|--------------------|--------|---------|--------|
| | | | | | | | | | | | | | | | | | |
| Pasir | P | 1 | 1.641 | 0.6409 | 0.0000 | 0.00 | 0.00 | 0.00 | 0.00 | 0.00 | 0.00 | 0.00 | 0.00 | 0.00 | 0.00 | 2.82 | |
| | L | 2 | 1.641 | 0.641 | 1.2817 | 0.0000 | 0.00 | 0.00 | 0.97 | 10.97 | 0.00 | 0.00 | 0.00 | 0.00 | 0.00 | 3.66 | |
| | L | 3.00 | 1.00 | 1.641 | 0.641 | 1.9226 | 2.2611 | 2.00 | 2.00 | 1.00 | 1.09 | 12.28 | 0.50 | 0.94 | 0.94 | 13.22 | |
| | L | 4.00 | 1.00 | 1.641 | 0.641 | 2.5634 | 1.9749 | 2.00 | 1.97 | 1.99 | 1.15 | 12.36 | 0.99 | 1.87 | 15.77 | 5.26 | |
| | L | 5.00 | 1.00 | 1.641 | 0.641 | 3.2041 | 1.7531 | 2.00 | 1.75 | 1.86 | 1.17 | 13.28 | 0.93 | 1.76 | 4.57 | 17.85 | |
| | L | 6.00 | 1.00 | 1.641 | 0.641 | 3.8451 | 1.5760 | 2.00 | 1.58 | 1.66 | 1.18 | 13.38 | 0.83 | 1.57 | 6.14 | 19.53 | |
| | L | 7.00 | 1.00 | 1.641 | 0.641 | 4.4860 | 1.4314 | 2.00 | 1.43 | 1.50 | 1.31 | 14.85 | 0.75 | 1.42 | 7.56 | 22.41 | |
| | L | 8.00 | 1.00 | 1.641 | 0.641 | 5.1269 | 1.3112 | 2.00 | 1.31 | 1.37 | 1.43 | 16.21 | 0.69 | 1.29 | 8.85 | 25.06 | |
| | L | 9.00 | 1.00 | 1.641 | 0.641 | 5.7677 | 1.2095 | 2.00 | 1.21 | 1.26 | 1.44 | 16.24 | 0.63 | 1.19 | 10.04 | 26.38 | |
| | L | 10.00 | 1.00 | 1.641 | 0.641 | 6.4086 | 1.1225 | 2.00 | 1.12 | 1.17 | 1.38 | 15.60 | 0.58 | 1.02 | 11.14 | 26.74 | |
| Lempung | L | 11.00 | 1.00 | 1.641 | 0.641 | 7.0494 | 1.0472 | 2.00 | 1.05 | 1.08 | 1.44 | 16.31 | 0.54 | 1.02 | 12.16 | 28.47 | |
| | L | 12.00 | 1.00 | 1.641 | 0.641 | 7.6903 | 0.9953 | 2.00 | 1.00 | 1.02 | 1.63 | 18.42 | 0.51 | 0.96 | 13.12 | 31.54 | |
| | L | 13.00 | 2.00 | 1.634 | 0.634 | 8.3243 | 1.9596 | 4.00 | 1.96 | 1.48 | 2.19 | 24.78 | 0.74 | 1.39 | 14.52 | 39.30 | |
| | L | 14.00 | 3.00 | 1.634 | 0.634 | 8.9583 | 2.8945 | 6.00 | 2.89 | 2.13 | 3.37 | 38.13 | 1.21 | 2.29 | 16.80 | 54.93 | |
| | L | 15.00 | 4.00 | 1.634 | 0.634 | 9.5923 | 3.8012 | 8.00 | 3.80 | 3.35 | 5.14 | 58.17 | 1.67 | 3.16 | 19.36 | 78.12 | |
| | L | 16.00 | 10.00 | 1.634 | 0.634 | 9.3280 | 20.00 | 9.33 | 6.36 | 7.60 | 85.91 | 3.28 | 6.19 | 26.14 | 112.05 | | |
| | L | 17.00 | 16.00 | 1.634 | 0.634 | 7.789 | 10.3816 | 11.99 | 10.82 | 12.33 | 6.00 | 11.30 | 3.74 | 10.05 | 159.78 | 53.26 | |
| | L | 18.00 | 22.00 | 1.637 | 0.637 | 12.3860 | 19.7584 | 44.00 | 19.76 | 17.21 | 14.77 | 167.10 | 8.60 | 16.22 | 53.66 | 220.76 | |
| | L | 19.00 | 30.33 | 1.637 | 0.637 | 12.0950 | 26.7225 | 60.67 | 26.72 | 23.24 | 19.20 | 217.12 | 11.62 | 21.90 | 75.57 | 292.69 | |
| | L | 20.00 | 38.67 | 1.637 | 0.637 | 13.8665 | 47.2753 | 120.00 | 47.28 | 47.70 | 42.75 | 269.48 | 15.04 | 28.34 | 103.91 | 373.39 | |
| L | L | 21.00 | 47.00 | 1.639 | 0.639 | 14.7079 | 33.4256 | 77.33 | 33.43 | 30.07 | 23.83 | 324.08 | 18.32 | 34.53 | 138.44 | 462.53 | |
| | L | 22.00 | 51.33 | 1.639 | 0.639 | 38.8951 | 94.00 | 39.86 | 36.64 | 42.72 | 41.29 | 33.23 | 375.78 | 20.64 | 38.91 | 177.35 | 553.13 |
| | L | 23.00 | 55.67 | 1.639 | 0.639 | 15.5698 | 42.7157 | 102.67 | 42.72 | 41.29 | 37.10 | 419.60 | 22.05 | 41.56 | 218.91 | 638.51 | |
| | L | 24.00 | 60.00 | 1.639 | 0.639 | 16.6687 | 45.4712 | 111.33 | 45.47 | 44.09 | 37.10 | 419.60 | 22.05 | 41.56 | 212.84 | | |
| | L | 25.00 | 60.00 | 1.639 | 0.639 | 18.665 | 48.1275 | 120.00 | 48.13 | 46.80 | 40.31 | 455.85 | 23.40 | 44.11 | 263.02 | 718.87 | |
| | L | 26.00 | 60.00 | 1.639 | 0.639 | 19.654 | 46.4527 | 120.00 | 46.45 | 46.86 | 44.36 | 493.54 | 23.85 | 44.96 | 307.98 | 791.52 | |
| | L | 27.00 | 60.00 | 1.639 | 0.639 | 20.663 | 45.6584 | 120.00 | 45.66 | 46.06 | 45.15 | 501.69 | 23.43 | 44.17 | 352.14 | 853.84 | |
| | L | 28.00 | 60.00 | 1.639 | 0.639 | 21.6621 | 44.1684 | 120.00 | 44.15 | 44.52 | 45.86 | 516.14 | 22.64 | 42.67 | 480.18 | 998.82 | |
| | L | 29.00 | 60.00 | 1.639 | 0.639 | 22.7610 | 43.4302 | 120.00 | 43.43 | 43.79 | 45.70 | 516.86 | 21.89 | 41.27 | 521.45 | 1038.31 | |
| | L | 30.00 | 60.00 | 1.639 | 0.639 | 22.7610 | 43.4302 | 120.00 | 43.43 | 43.79 | 45.70 | 516.86 | 21.89 | 41.27 | 521.45 | 1038.31 | |

Dari hasil perhitungan daya dukung tanah diatas, direncanakan tiang pancang pada kedalaman 20 meter dengan daya dukung tanah sebesar 124.46 ton. Maka panjang tiang pancang yang digunakan setelah dikurangi tinggi *basement* ialah 16.5 m.



Gambar 4.38 Grafik Daya Dukung Tanah

4.6.5.2 Jarak Antar Tiang Pancang

Untuk mengetahui jumlah tiang pancang yang dibutuhkan dalam satu kolom adalah dengan membagi beban aksial dan daya dukung ijin satu tiang.

Terdapat beberapa tipe susunan tiang pancang berdasarkan satu berat kolom yang dipikulnya. Jumlah tiang pancang direncanakan jaraknya sesuai dengan yang diijinkan. Tebal poer yang direncanakan pada tiang pancang grup sebesar 1 meter.

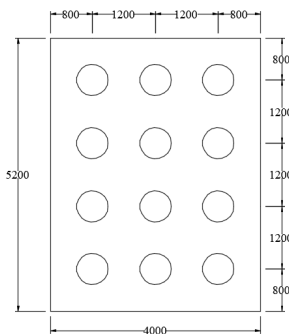
- Jarak antar tiang = $2D$
= 120 cm
- Jarak tepi tiang = 80 cm

4.6.5.3 Kontrol Beban Maksimum Tiang Pancang dalam Grup

Beban maksimum yang bekerja pada satu tiang dalam tiang grup dihitung berdasarkan gaya aksial dan momen yang bekerja pada tiang. Momen pada tiang dapat menyebabkan gaya tekan atau tarik pada tiang, namun yang diperhitungkan hanya gaya tekan karena gaya tarik diasumsikan lebih kecil dari beban gravitasi struktur, sehingga berlaku persamaan:

$$P_{\max} = \frac{P}{n} + \frac{M_y X_{\max}}{\sum X^2} + \frac{M_x Y_{\max}}{\sum Y^2} \leq P_{\text{ijin dalam grup}}$$

Kontrol ini dilakukan pada tiap jenis susunan tiang pancang. Sebelumnya terlebih dahulu ditentukan jumlah tiang pancang dalam group dengan cara coba-coba dan sesuai dengan besar pile cap. Untuk beberapa contoh perhitungan dilakukan perhitungan dengan menggunakan grup tiang pancang tipe 1 dengan kombinasi beban 1D + 1L.



Gambar 4.39 Tiang Pancang Grup 1

$$P = 783.33 \text{ ton}$$

$$n = 12 \text{ tiang}$$

$$\begin{aligned} M_x &= M_x + (H_y \times t_{poer}) \\ &= 9.31 + (8.67 \times 1) \\ &= 17.98 \text{ ton m} \end{aligned}$$

$$\begin{aligned} M_y &= M_y + (H_x \times t_{poer}) \\ &= 9.91 + (10.47 \times 1) \\ &= 20.38 \text{ ton m} \end{aligned}$$

$$X_{\max} = 1.2 \text{ m}$$

$$Y_{\max} = 1.8 \text{ m}$$

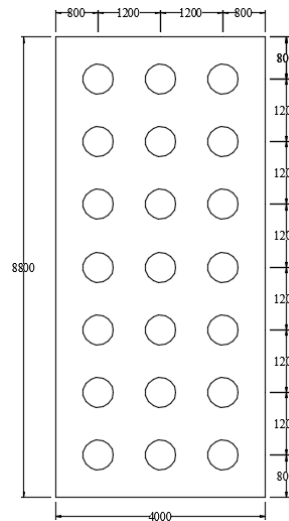
$$\begin{aligned} P_{\max} &= \frac{783.33}{12} + \frac{20.38(1.2)}{11.52} + \frac{17.98(1.8)}{21.60} \\ &= 68.90 \text{ ton} \end{aligned}$$

$$\begin{aligned} C_e &= 1 - \frac{B}{L} \times \frac{1}{\pi \times m \times n} [m(n-1) + n(m-1) + \sqrt{2(m-1)(n-1)}] \\ &= 0.58 \end{aligned}$$

$$\begin{aligned} P_{ijin \text{ dalam grup}} &= C_e \times P_{ijin \text{ 1 tiang}} \\ &= 0.58 \times 124.46 \\ &= 72.49 \text{ ton} \end{aligned}$$

Tabel 4.41 Kontrol Beban Maksimum Tiang Pancang Grup 1

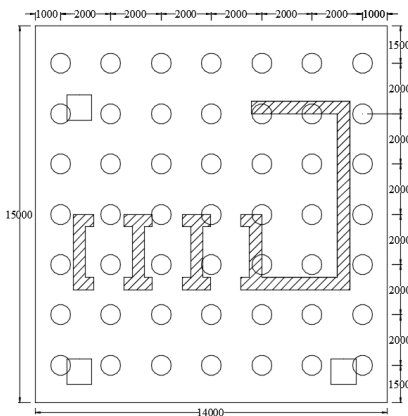
| Beban | P (ton) | P/n TP (ton) | M_x (ton m) | $M_x y / \Sigma y^2$ (ton) | M_y (ton m) | $M_y x / \Sigma x^2$ (ton) | P_{max} (ton) | P_{pjn} (ton) | Cek |
|-------------------------|---------|--------------|---------------|----------------------------|---------------|----------------------------|-----------------|-----------------|-----|
| D | 656.45 | 54.70 | 12.12 | 1.01 | 16.95 | 1.77 | 57.48 | 72.49 | OK |
| D+L | 783.33 | 65.28 | 17.98 | 1.50 | 20.38 | 2.12 | 68.90 | 72.49 | OK |
| D + 0.7 Eq x | 664.28 | 55.36 | 48.87 | 4.07 | 66.75 | 6.95 | 66.38 | 72.49 | OK |
| D + 0.7 Eq y | 662.91 | 55.24 | 51.58 | 4.30 | 39.33 | 4.10 | 63.64 | 72.49 | OK |
| D + 0.75 L | 751.61 | 62.63 | 16.34 | 1.36 | 19.52 | 2.03 | 66.03 | 72.49 | OK |
| D + 0.75 L + 0.525 Eq x | 757.48 | 63.12 | 43.74 | 3.64 | 54.44 | 5.67 | 72.44 | 72.49 | OK |
| D + 0.75 L + 0.525 Eq y | 756.45 | 63.04 | 45.46 | 3.79 | 35.40 | 3.69 | 70.51 | 72.49 | OK |
| 0.6 D + 0.7 Eq x | 401.70 | 33.48 | 45.20 | 3.77 | 61.66 | 6.42 | 43.66 | 72.49 | OK |
| 0.6 D + 0.7 Eq y | 411.44 | 34.29 | 47.31 | 3.94 | 33.79 | 3.52 | 41.75 | 72.49 | OK |



Gambar 4.40 Tiang Pancang Grup 2

Tabel 4.42 Kontrol Beban Maksimum Tiang Pancang Grup 2

| Beban | P (ton) | P/n TP (ton) | M_x (ton m) | $M_x y / \Sigma y^2$ (ton) | M_y (ton m) | $M_y x / \Sigma x^2$ (ton) | P_{max} (ton) | P_{pjn} (ton) | Cek |
|-------------------------|---------|--------------|---------------|----------------------------|---------------|----------------------------|-----------------|-----------------|-----|
| D | 1312.89 | 62.52 | 24.23 | 0.72 | 33.91 | 2.02 | 65.26 | 92.82 | OK |
| D+L | 1566.65 | 74.60 | 35.97 | 1.07 | 40.76 | 2.43 | 78.10 | 92.82 | OK |
| D + 0.7 Eq x | 1328.55 | 63.26 | 97.74 | 2.91 | 133.50 | 7.95 | 74.12 | 92.82 | OK |
| D + 0.7 Eq y | 1325.81 | 63.13 | 103.17 | 3.07 | 78.67 | 4.68 | 70.89 | 92.82 | OK |
| D + 0.75 L | 1503.21 | 71.58 | 32.68 | 0.97 | 39.05 | 2.32 | 74.88 | 92.82 | OK |
| D + 0.75 L + 0.525 Eq x | 1514.96 | 72.14 | 87.47 | 2.60 | 108.87 | 6.48 | 81.22 | 92.82 | OK |
| D + 0.75 L + 0.525 Eq y | 1512.90 | 72.04 | 90.92 | 2.71 | 70.79 | 4.21 | 78.96 | 92.82 | OK |
| 0.6 D + 0.7 Eq x | 803.40 | 38.26 | 90.40 | 2.69 | 123.32 | 7.34 | 48.29 | 92.82 | OK |
| 0.6 D + 0.7 Eq y | 822.88 | 39.18 | 94.61 | 2.82 | 67.57 | 4.02 | 46.02 | 92.82 | OK |

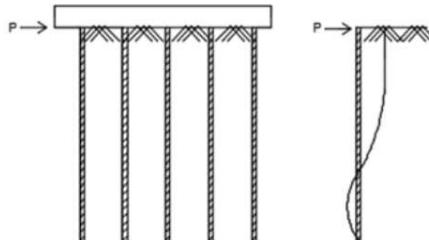


Gambar 4.41 Tiang Pancang Grup 3

Tabel 4.43 Kontrol Beban Maksimum Tiang Pancang Grup 3

| Beban | P (ton) | P/n TP (ton) | M_x (ton m) | $M_x / \Sigma y^2$ (ton) | M_y (ton m) | $M_y / \Sigma x^2$ (ton) | P_{max} (ton) | P_{jin} (ton) | Cek |
|-------------------------|---------|--------------|---------------|--------------------------|---------------|--------------------------|-----------------|-----------------|-----|
| D | 3095.90 | 63.18 | 60.04 | 0.46 | 71.28 | 0.36 | 64.00 | 85.33 | OK |
| D+L | 3446.28 | 70.33 | 81.11 | 0.62 | 84.82 | 0.43 | 71.39 | 85.33 | OK |
| D + 0.7 Eq x | 1894.31 | 38.66 | 197.95 | 1.51 | 251.47 | 1.28 | 41.46 | 85.33 | OK |
| D + 0.7 Eq y | 1892.20 | 38.62 | 233.17 | 1.78 | 161.43 | 0.82 | 41.22 | 85.33 | OK |
| D + 0.75 L | 3358.69 | 68.54 | 75.31 | 0.58 | 81.44 | 0.42 | 69.54 | 85.33 | OK |
| D + 0.75 L + 0.525 Eq x | 3386.26 | 69.11 | 178.05 | 1.36 | 207.90 | 1.06 | 71.53 | 85.33 | OK |
| D + 0.75 L + 0.525 Eq y | 3384.68 | 69.08 | 203.35 | 1.56 | 145.74 | 0.74 | 71.37 | 85.33 | OK |
| 0.6 D + 0.7 Eq x | 3132.67 | 63.93 | 177.67 | 1.36 | 231.07 | 1.18 | 66.47 | 85.33 | OK |
| 0.6 D + 0.7 Eq y | 3130.56 | 63.89 | 211.07 | 1.62 | 138.09 | 0.70 | 66.21 | 85.33 | OK |

4.6.5.4 Kontrol Kekuatan Tiang Terhadap Gaya Lateral



Gambar 4.42 Defleksi Akibat Gaya Lateral Tiang

Gaya lateral yang bekerja pada tiang dapat menyebabkan terjadinya defleksi dan momen. Oleh karena itu harus dilakukan kontrol terhadap defleksi yang terjadi pada tiang. Rumus yang digunakan untuk kontrol defleksi tiang yaitu:

$$\delta = F_\delta \left(\frac{PT^3}{EI} \right) \leq 2.5 \text{ cm}$$

Dimana:

δ = Defleksi yang terjadi

F_δ = Koefisien defleksi

P = Gaya lateral 1 tiang

T = Faktor kekakuan relatif

Untuk kontrol kekuatan tiang terhadap gaya lateral akan dicontohkan perhitungan tiang pancang grup tipe 1 dengan kombinasi beban D+L.

n Tiang Pancang = 12 buah

H_{\max} = 10.47 ton

H_{\max} 1 tiang pancang = 0.87 ton

C_u = 0.75 kg/cm²

Q_u = $2C_u$

$$= 2 \frac{0.75}{0.977}$$

$$= 1.54 \text{ t/ft}^3$$

Dari grafik *immediate settlement of isolate footing* maka didapatkan nilai f.

$$f = 11 \text{ t/ft}^3 = 0.352 \text{ kg/cm}^3$$

$$T = \left(\frac{EI}{f} \right)^{\frac{1}{5}}$$

$$E = 4700 \sqrt{f_c'}$$

$$= 338,921.82 \text{ kg/cm}^2$$

$$I = 510,508.81 \text{ cm}^4$$

$$T = \left(\frac{EI}{f} \right)^{\frac{1}{5}}$$

$$= \left(\frac{338,921.82 \times 510,508.81}{0.352} \right)^{\frac{1}{5}}$$

$$= 217.93 \text{ cm}$$

$$L = 1650 \text{ cm (kedalaman tiang pancang)}$$

$$L/T = 7.57$$

Dari grafik *influence value for laterally loaded pile* maka didapatkan nilai F_δ .

$$F_\delta = 0.893$$

$$\begin{aligned}\delta &= F_\delta \left(\frac{PT^3}{EI} \right) \\ &= 0.893 \left(\frac{0.87 \times 1000 \times 217.93^3}{338,921.82 \times 510,508.81} \right) \\ &= 0.047 \text{ cm} \leq 2.5 \text{ cm (OK)}\end{aligned}$$

Selanjutnya dilakukan juga kontrol momen sesuai dengan perhitungan berikut:

$$M_{crack} = 29 \text{ ton m}$$

$$L/T = 7.57$$

Dari grafik *influence value for laterally loaded pile* maka didapatkan nilai F_m .

$$F_m = 0.88$$

$$\begin{aligned}M &= F_m PT \leq M_{bending crack} \\ &= 0.88 (0.87) (217.93) \leq 29 \\ &= 1.67 \text{ ton m} \leq 29 \text{ ton m (OK)}\end{aligned}$$

Tabel 4.44 Kontrol Kekuatan Tiang Tipe 1 Terhadap Gaya Lateral

| Jumlah Tiang | Kombinasi | H_{max} (ton) | δ (cm) | $\delta < 2.5 \text{ cm}$ | M_{max} (ton m) | M_{crack} (ton m) | Cek |
|--------------|-------------------------|-----------------|---------------|---------------------------|-------------------|---------------------|-----|
| 12.00 | D | 0.73 | 0.03875 | OK | 1.39 | 29.00 | OK |
| 12.00 | D+L | 0.87 | 0.04661 | OK | 1.67 | 29.00 | OK |
| 12.00 | D + 0.7 Eq x | 1.47 | 0.07836 | OK | 2.81 | 29.00 | OK |
| 12.00 | D + 0.7 Eq y | 1.07 | 0.05736 | OK | 2.06 | 29.00 | OK |
| 12.00 | D + 0.75 L | 0.84 | 0.04465 | OK | 1.60 | 29.00 | OK |
| 12.00 | D + 0.75 L + 0.525 Eq x | 1.39 | 0.07436 | OK | 2.67 | 29.00 | OK |
| 12.00 | D + 0.75 L + 0.525 Eq y | 1.09 | 0.05823 | OK | 2.09 | 29.00 | OK |
| 12.00 | 0.6 D + 0.7 Eq x | 1.18 | 0.06286 | OK | 2.26 | 29.00 | OK |
| 12.00 | 0.6 D + 0.7 Eq y | 0.91 | 0.04862 | OK | 1.75 | 29.00 | OK |

Tabel 4.45 Kontrol Kekuatan Tiang Tipe 2 Terhadap Gaya Lateral

| Jumlah Tiang | Kombinasi | H_{max} (ton) | δ (cm) | $\delta < 2.5$ cm | M_{max} (ton m) | M_{crack} (ton m) | Cek |
|--------------|-------------------------|-----------------|---------------|-------------------|-------------------|---------------------|-----|
| 21.00 | D | 0.83 | 0.04428 | OK | 1.59 | 29.00 | OK |
| 21.00 | D+L | 1.00 | 0.05327 | OK | 1.91 | 29.00 | OK |
| 21.00 | D + 0.7 Eq x | 1.68 | 0.08956 | OK | 3.22 | 29.00 | OK |
| 21.00 | D + 0.7 Eq y | 1.23 | 0.06555 | OK | 2.35 | 29.00 | OK |
| 21.00 | D + 0.75 L | 0.96 | 0.05103 | OK | 1.83 | 29.00 | OK |
| 21.00 | D + 0.75 L + 0.525 Eq x | 1.59 | 0.08498 | OK | 3.05 | 29.00 | OK |
| 21.00 | D + 0.75 L + 0.525 Eq y | 1.25 | 0.06655 | OK | 2.39 | 29.00 | OK |
| 21.00 | 0.6 D + 0.7 Eq x | 1.34 | 0.07185 | OK | 2.58 | 29.00 | OK |
| 21.00 | 0.6 D + 0.7 Eq y | 1.04 | 0.05557 | OK | 1.99 | 29.00 | OK |

Tabel 4.46 Kontrol Kekuatan Tiang Tipe 3 Terhadap Gaya Lateral

| Jumlah Tiang | Kombinasi | H_{max} (ton) | δ (cm) | $\delta < 2.5$ cm | M_{max} (ton m) | M_{crack} (ton m) | Cek |
|--------------|-------------------------|-----------------|---------------|-------------------|-------------------|---------------------|-----|
| 49.00 | D | 0.90 | 0.03107 | OK | 2.15 | 65.00 | OK |
| 49.00 | D+L | 1.07 | 0.03681 | OK | 2.55 | 65.00 | OK |
| 49.00 | D + 0.7 Eq x | 1.94 | 0.06670 | OK | 4.62 | 65.00 | OK |
| 49.00 | D + 0.7 Eq y | 2.17 | 0.07462 | OK | 5.17 | 65.00 | OK |
| 49.00 | D + 0.75 L | 1.03 | 0.03537 | OK | 2.45 | 65.00 | OK |
| 49.00 | D + 0.75 L + 0.525 Eq x | 1.78 | 0.06129 | OK | 4.25 | 65.00 | OK |
| 49.00 | D + 0.75 L + 0.525 Eq y | 1.92 | 0.06627 | OK | 4.59 | 65.00 | OK |
| 49.00 | 0.6 D + 0.7 Eq x | 1.63 | 0.05623 | OK | 3.90 | 65.00 | OK |
| 49.00 | 0.6 D + 0.7 Eq y | 1.89 | 0.06511 | OK | 4.51 | 65.00 | OK |

4.6.6 Perencanaan Poer pada Kolom

Poer direncanakan terhadap gaya geser ponds pada penampang kritis dan penulangan akibat momen lentur. Berikut data-data yang diperlukan untuk perancangan poer:

B Kolom = 1000 mm

L Kolom = 1000 mm

D TP = 600 mm

P_u = 783.33 ton

$P_{max\ 1\ tiang}$ = 72.44 ton

n TP = 12 buah

B Poer = 4 m

L Poer = 5.2 m

T Poer = 1 m

| | |
|----------------|---------------------------------------|
| f'_c | = 45 MPa |
| f_y | = 420 MPa |
| $D_{tulangan}$ | = 29 mm |
| Cover | = 75 mm |
| λ | = 1 (beton normal) |
| α_s | = 20 (kolom sudut) |
| d | = $1000 - 75 - 0.5(29)$ = 910.5 mm |

4.6.6.1 Kontrol Geser Ponds

- Akibat Kolom

Poer harus mampu menyebarluaskan beban dari kolom ke pondasi, sehingga perlu dilakukan kontrol kekuatan geser pons untuk memastikan bahwa kekuatan geser nominal beton harus lebih besar dari geser pons yang terjadi. Perencanaan geser pons pada poer tersebut dilakukan berdasarkan ketentuan ACI 318M-14 pasal 22.6.5.2.

Untuk pondasi tapak nonprategang (V_c) ditentukan berdasarkan ACI 318M-14 pasal 22.6.5.2 dan diambil nilai yang terkecil dari persamaan berikut:

$$V_{c1} = 0.17 \left(1 + \frac{2}{\beta}\right) \lambda \sqrt{f'_c} b_o d$$

$$V_{c2} = 0.083 \left(\frac{\alpha_s d}{b_o} + 2\right) \lambda \sqrt{f'_c} b_o d$$

$$V_{c3} = 0.33 \lambda \sqrt{f'_c} b_o d$$

Dimana:

α_s = 20 untuk kolom sudut, 30 untuk kolom tepi, 40 untuk kolom interior

β = Rasio sisi terpanjang terhadap sisi terpendek poer
= $5200 / 4000$
= 1.3

b_o = Keliling penampang kritis
= $2(B_{kolom} + d) + 2(L_{kolom} + d)$
= $2(1000 + 910.5) + 2(1000 + 910.5)$
= 7642 mm

$$\begin{aligned}
 V_{c1} &= 0.17 \left(1 + \frac{2}{1.3}\right) 1\sqrt{45} \times 7642 \times 910.5 \\
 &= 20,142,471.11 \text{ N} \\
 V_{c2} &= 0.083 \left(\frac{20(910.5)}{7642} + 2\right) 1\sqrt{45} \times 7642 \times 910.5 \\
 &= 16,979,750.93 \text{ N} \\
 V_{c3} &= 0.33 1\sqrt{45} \times 7642 \times 910.5 \\
 &= 15,543,094.01 \text{ N} \\
 V_c \text{ pakai} &= 15,543,094.01 \text{ N} \\
 &= 1,554.31 \text{ ton} \\
 \phi &= 0.75 \\
 \phi V_c &= 0.75 (1,554.31) \\
 &= 1,165.73 \text{ ton} \\
 P_u &= 783.33 \\
 \phi V_c &\geq P_u (\text{OK}) \\
 \therefore \text{Jadi ketebalan dan ukuran poer memenuhi syarat terhadap geser pons akibat kolom}
 \end{aligned}$$

- Akibat Tiang Pancang

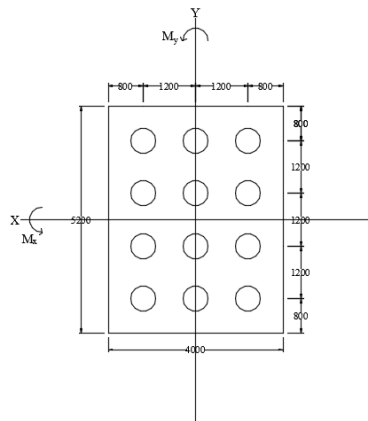
$$\begin{aligned}
 \beta &= 1.3 \\
 b_o &= 0.25\pi (600 + 910.5) \\
 &= 1186.34 \text{ mm} \\
 V_{c1} &= 0.17 \left(1 + \frac{2}{1.3}\right) 1\sqrt{45} \times 1186.34 \times 910.5 \\
 &= 3,126,916.81 \text{ N} \\
 V_{c2} &= 0.083 \left(\frac{20(910.5)}{1186.34} + 2\right) 1\sqrt{45} \times 1186.34 \times 910.5 \\
 &= 10,434,373.71 \text{ N} \\
 V_{c3} &= 0.33 1\sqrt{45} \times 1186.34 \times 910.5 \\
 &= 2,412,909.60 \text{ N} \\
 V_c \text{ pakai} &= 2,412,909.60 \text{ N} \\
 &= 241.29 \text{ ton} \\
 \phi &= 0.75 \\
 \phi V_c &= 0.75 (241.29) \\
 &= 180.97 \text{ ton} \\
 P_{max} &= 72.44 \text{ ton}
 \end{aligned}$$

$$\phi V_c \geq P_{\max} (\text{OK})$$

4.6.6.2 Penulangan Poer

Untuk penulangan lentur, poer dianalisa sebagai balok kantilever dengan perletakan jepit pada kolom. Sedangkan beban yang bekerja adalah beban terpusat di tiang kolom yang menyebabkan reaksi pada tanah dan berat sendiri poer. Perhitungan gaya dalam pada poer didapat dengan teori mekanika statis tertentu.

- Penulangan Tarik Arah X



Gambar 4.43 Pembebanan Poer Tipe 1

$$P_{\max 1 \text{ tiang}} = 72.44 \text{ ton}$$

$$n \text{ TP} = 3 \text{ buah}$$

$$P_{3 \text{ tiang}} = 217.32 \text{ ton}$$

$$\begin{aligned} q &= 4(2.4)(1) \\ &= 9.6 \text{ ton/m} \end{aligned}$$

$$\begin{aligned} q_u &= 1.4(9.6) \\ &= 13.44 \text{ ton/m} \end{aligned}$$

$$\begin{aligned} M_u &= P(a_1 + a_2) - 0.5(q_u L^2) \\ &= 217.32(0.6 + 1.8) - 0.5(13.44)(2.6^2) \\ &= 476.13 \text{ ton m} \\ &= 476.13 \times 10^7 \text{ N mm} \end{aligned}$$

$$\begin{aligned}
d_x &= 1000 - 75 - 0.5(29) \\
&= 910.5 \text{ mm} \\
d_y &= 1000 - 75 - 29 - 0.5(29) \\
&= 881.5 \text{ mm} \\
\rho_{\min 1} &= 0.25 \frac{\sqrt{f'_c}}{f_y} \\
&= 0.25 \frac{\sqrt{45}}{420} \\
&= 0.00399 \\
\rho_{\min 2} &= \frac{1.4}{f_y} \\
&= \frac{1.4}{420} \\
&= 0.00333 \\
m &= \frac{f_y}{0.85 f'_c} \\
&= \frac{420}{0.85 (45)} \\
&= 10.98 \\
\phi &= 0.90 \\
R_n &= \frac{M_u}{\phi b d^2} \\
&= \frac{476.13 \times 10^7}{0.90(5200)910.5^2} \\
&= 1.23 \text{ MPa} \\
\rho_{\text{perlu}} &= \frac{1}{m} \left(1 - \sqrt{1 - \frac{2mRn}{f_y}} \right) \\
&= \frac{1}{10.98} \left(1 - \sqrt{1 - \frac{2 \times 10.98 \times 1.23}{420}} \right) \\
&= 0.00297 \\
\rho_{\text{pakai}} &= 0.00399 > \rho_{\text{perlu}} \\
A_s \text{ perlu} &= \rho_{\text{pakai}} b d_x \\
&= 0.00399 (1000) (910.50) \\
&= 3635.61 \text{ mm}^2 \\
s &= 1000 \frac{0.25\pi(29^2)}{3635.61} \\
&= 181.68 \text{ mm}
\end{aligned}$$

$$s_{\text{pakai}} = 150 \text{ mm}$$

\therefore Digunakan tulangan lentur D29 – 150 mm

- Penulangan Tekan Arah X

$$A_s \text{ perlu} = 0.5 A_s \text{ perlu tarik}$$

$$= 0.5 (3635.61)$$

$$= 1817.80 \text{ mm}^2$$

$$D_{\text{tulangan}} = 22 \text{ mm}$$

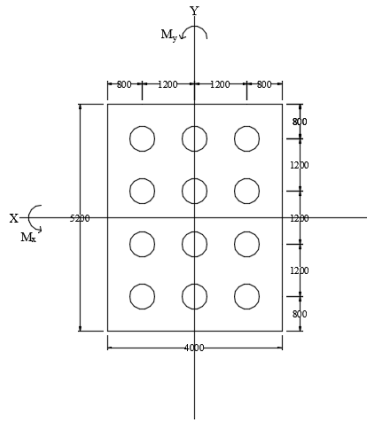
$$s = 1000 \frac{0.25\pi(22^2)}{1817.80}$$

$$= 209.12 \text{ mm}$$

$$s_{\text{pakai}} = 200 \text{ mm}$$

\therefore Digunakan tulangan lentur D22 – 200 mm

- Penulangan Tarik Arah Y



Gambar 4.44 Pembebanan Poer Tipe 1

$$P_{\max 1 \text{ tiang}} = 72.44 \text{ ton}$$

$$n \text{ TP} = 4 \text{ buah}$$

$$P_{4 \text{ tiang}} = 289.75 \text{ ton}$$

$$q = 5.2 (2.4) (1)$$

$$= 12.48 \text{ ton/m}$$

$$q_u = 1.4 (12.48)$$

$$\begin{aligned}
M_u &= 17.47 \text{ ton/m} \\
&= P(a) - 0.5 (q_u L^2) \\
&= 289.75 (1.2) - 0.5 (17.47) (2^2) \\
&= 312.76 \text{ ton m} \\
&= 312.76 \times 10^7 \text{ N mm} \\
d_x &= 1000 - 75 - 0.5(29) \\
&= 910.5 \text{ mm} \\
d_y &= 1000 - 75 - 29 - 0.5(29) \\
&= 881.5 \text{ mm} \\
\rho_{min1} &= 0.25 \frac{\sqrt{f'_c}}{f_y} \\
&= 0.25 \frac{\sqrt{45}}{420} \\
&= 0.00399 \\
\rho_{min2} &= \frac{1.4}{f_y} \\
&= \frac{1.4}{420} \\
&= 0.00333 \\
m &= \frac{f_y}{0.85 f'_c} \\
&= \frac{420}{0.85 (45)} \\
&= 10.98 \\
\phi &= 0.90 \\
R_n &= \frac{M_u}{\phi b d^2} \\
&= \frac{312.76 \times 10^7}{0.90(4000)881.5^2} \\
&= 1.12 \text{ MPa} \\
\rho_{perlu} &= \frac{1}{m} \left(1 - \sqrt{1 - \frac{2mRn}{f_y}} \right) \\
&= \frac{1}{10.98} \left(1 - \sqrt{1 - \frac{2 \times 10.98 \times 1.12}{420}} \right) \\
&= 0.00270 \\
\rho_{paka} &= 0.00399 > \rho_{perlu}
\end{aligned}$$

$$\begin{aligned} A_s \text{ perlu} &= \rho_{\text{pakai}} b d_x \\ &= 0.00399 (1000) (881.50) \\ &= 3519.81 \text{ mm}^2 \end{aligned}$$

$$\begin{aligned} s &= 1000 \frac{0.25\pi(29^2)}{3519.81} \\ &= 187.66 \text{ mm} \end{aligned}$$

$$s_{\text{pakai}} = 150 \text{ mm}$$

∴ Digunakan tulangan lentur D29 – 150 mm

- Penulangan Tekan Arah Y

$$\begin{aligned} A_s \text{ perlu} &= 0.5 A_s \text{ perlu tarik} \\ &= 0.5 (3519.81) \\ &= 1759.91 \text{ mm}^2 \end{aligned}$$

$$D_{\text{tulangan}} = 22 \text{ mm}$$

$$\begin{aligned} s &= 1000 \frac{0.25\pi(22^2)}{1759.91} \\ &= 216 \text{ mm} \end{aligned}$$

$$s_{\text{pakai}} = 200 \text{ mm}$$

∴ Digunakan tulangan lentur D22 – 200 mm

4.6.7 Perencanaan Sloof

Struktur sloof digunakan untuk membuat penurunan secara bersamaan pada pondasi atau sebagai pengaku yang menghubungkan antar pondasi yang satu dengan yang lainnya. Adapun beban-beban yang ditimpakan ke sloof meliputi berat sloof sendiri, beban aksial tekan atau tarik yang berasal dari 10% beban aksial kolom. Berikut data-data perencanaan sloof:

$$b = 300 \text{ mm}$$

$$h = 400 \text{ mm}$$

$$A_g = 120000 \text{ mm}^2$$

$$f'_c = 45 \text{ MPa}$$

$$f_y = 420 \text{ MPa}$$

$$cover = 40 \text{ mm}$$

$$D \text{ utama} = D19$$

$$D \text{ sengkang} = D10$$

$$d = 400 - (40 + 10 + \frac{1}{2} 19)$$

$$= 340.5 \text{ mm}$$

Penulangan sloof didasarkan atas kondisi pembebanan dimana beban yang diterima adalah beban aksial dan lentur sehingga penulangannya diasumsikan seperti penulangan pada kolom. Adapun beban sloof sebagai berikut:

$$\begin{aligned} q_u &= 1.4 (0.3) (0.4) (2400) \\ &= 403.2 \text{ kg/m} \end{aligned}$$

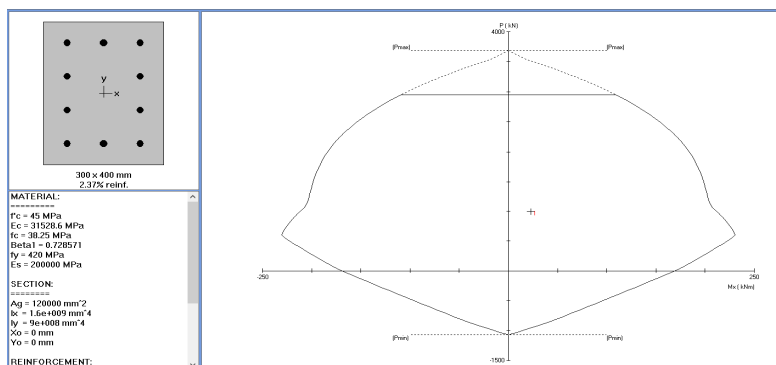
$$L_{\text{sloof}} = 6.75 \text{ m}$$

$$\begin{aligned} M_u &= \frac{1}{8} q_u L^2 \\ &= \frac{1}{8} 403.2 6.75^2 \\ &= 2296.35 \text{ kgm} \\ &= 22.96 \text{ kNm} \end{aligned}$$

$$P_u = 9907.96 \text{ kN}$$

$$P = 10\% P_u$$

$$= 990.80 \text{ kN}$$



Gambar 4.45 Diagram Interaksi P-M Sloof

- Penulangan Geser Sloof

$$\begin{aligned} V_u &= 0.5 q_u L \\ &= 0.5 (403.2) 6.75 \\ &= 1360.8 \text{ kg} \\ &= 13608 \text{ N} \end{aligned}$$

$$\begin{aligned} V_c &= \frac{bd\sqrt{f'_c}}{6} \\ &= \frac{300(340.5)\sqrt{45}}{6} \\ &= 114,207.2 \text{ N} \end{aligned}$$

$$\phi V_c = 85655.38 \text{ N}$$

$$\phi V_c > V_u$$

\therefore Tulangan geser tidak diperlukan, pakai tulangan geser minimum

$$\begin{aligned} s_{max1} &= d/2 \\ &= 170.25 \text{ mm} \end{aligned}$$

$$s_{max2} = 300 \text{ mm}$$

$$\begin{aligned} a_{v min} &= \frac{bs}{3f_y} \\ &= \frac{300(170.25)}{3(420)} \\ &= 40.54 \text{ mm}^2 \end{aligned}$$

\therefore Digunakan sengkang 2 D10 – 150 m

BAB V **PENUTUP**

5.1 Kesimpulan

Berdasarkan hasil perhitungan struktur yang telah dilakukan dalam penyusunan tugas akhir ini, maka disimpulkan beberapa data sebagai berikut:

1. Sesuai dengan perhitungan menggunakan peraturan ACI 318M-14, dimensi struktur sekunder dan struktur primer yang didapat sebagai berikut:

Tabel 5.1 Dimensi Struktur Sekunder

| Elemen | Tipe | Kondisi | Dimensi | Satuan |
|---------------|--------------|----------------|----------------|---------------|
| Balok Anak | BA1 | Pracetak | 40/41 | cm |
| | | Komposit | 40/55 | cm |
| | BA2 | Pracetak | 40/41 | cm |
| | | Komposit | 40/55 | cm |
| | BA3 | Pracetak | 40/41 | cm |
| | | Komposit | 40/55 | cm |
| | BA4 | Pracetak | 40/41 | cm |
| | | Komposit | 40/55 | cm |
| Pelat | Lantai | Pracetak | 9 | cm |
| | | Komposit | 14 | cm |
| | Atap | Pracetak | 9 | cm |
| | | Komposit | 14 | cm |
| Tangga | Pelat Bordes | Cast in situ | 17 | cm |
| | Pelat Tangga | | 17 | cm |

Tabel 5.2 Dimensi Struktur Primer dan Pondasi

| Elemen | Tipe | Kondisi | Dimensi | Satuan |
|---------------|-------------|----------------|----------------|---------------|
| Balok Induk | BI1 | Pracetak | 40/56 | cm |
| | | Komposit | 40/70 | cm |

| | | | | |
|-----------|----------|--------------|-----------|----|
| | BI2 | Pracetak | 40/56 | cm |
| | | Komposit | 40/70 | cm |
| BI3 | Pracetak | 50/61 | cm | |
| | Komposit | 50/75 | cm | |
| BI4 | Pracetak | 40/56 | cm | |
| | Komposit | 40/70 | cm | |
| BI5 | Pracetak | 40/56 | cm | |
| | Komposit | 40/70 | cm | |
| BI6 | Pracetak | 40/56 | cm | |
| | Komposit | 40/70 | cm | |
| Kolom | K1 | Pracetak | 100×100 | cm |
| | K2 | Pracetak | 80×80 | cm |
| | K3 | Pracetak | 80×80 | cm |
| Pile Cap | Tipe 1 | Cast in situ | 400×520 | cm |
| | Tipe 2 | Cast in situ | 400×880 | cm |
| | Tipe 3 | Cast in situ | 1400×1400 | cm |
| Spun Pile | Tipe 1 | Diameter | 60 | cm |
| | | Kedalaman | 20 | m |
| | Tipe 2 | Diameter | 60 | cm |
| | | Kedalaman | 20 | m |
| | Tipe 3 | Diameter | 80 | cm |
| | | Kedalaman | 20 | m |

2. Analisa struktur gedung Apartemen Tower 2 The Arundaya Surabaya menggunakan program bantu ETABS 2016. Data-data untuk perhitungan respon spektrum diambil dari puskim.pu.go.id untuk wilayah gempa Surabaya dan perhitungannya mengacu sesuai peraturan SNI 1726:2012.
3. Perhitungan pembebanan struktur dilakukan berdasarkan peraturan ASCE/SEI 7-16 untuk beban

hidup dan PPIUG 1983 untuk beban mati. Gaya yang dimasukkan dalam permodelan adalah beban mati, beban hidup, dan beban gempa.

4. Sistem sambungan pada elemen kolom pracetak menggunakan produk sambungan *coupler sleeve* dari NMB Splice Sleeve yaitu dengan menggunakan konsep *sleeve* yang ditanam pada kolom lalu dilakukan *inject grouting* dengan produk dari SS Mortar.
5. Sistem sambungan pada elemen balok induk dengan kolom maupun balok induk dengan balok anak menggunakan produk dari Peikko Group, yaitu menggunakan Modix Rebar Coupler, setelah di sambungan maka akan di grouting dengan produk SS Mortar.
6. Semua elemen direncanakan pracetak kecuali tangga, dinding geser, balok yang diapit oleh dinding geser, pelat *basement*, dan pile cap untuk mempermudah pelaksanaan dilapangan.
7. Pondasi yang direncanakan sesuai dengan ketentuan perhitungan tiang pancang produk WIKA Beton dengan metode tegangan ijin dan pile cap berdasarkan metode tegangan desain.
8. Hasil analisa struktur yang telah dilakukan pada gedung Apartemen Tower 2 The Arundaya Surabaya akan dituangkan pada gambar teknik yang terdapat di lampiran.

5.2 Saran

Berdasarkan analisa penulis saat proses penyusunan tugas akhir ini, beberapa saran yang dapat disampaikan penulis antara lain:

1. Perencanaan menggunakan metode beton pracetak untuk elemen kolom dan balok dengan menggunakan sambungan *coupler* dan *splice sleeve* dapat mempersingkat waktu penggerjaan, namun dalam

- penerapan di lapangan harus dipertimbangkan mengenai biaya.
2. Dalam perencanaan menggunakan metode beton pracetak, gambaran mengenai konsep desain sambungan yang akan diterapkan pada elemen pracetak sangatlah penting. Karena dengan adanya gambaran mengenai konsep desain sambungan ini, kita akan mengetahui apakah sambungan yang direncanakan dapat diterapkan atau tidak.
 3. Pada saat ereksi dan instalasi sambungan elemen pracetak, dibutuhkan pengawasan yang baik. Saat proses ereksi, ketinggian pada saat pengangkatan, maupun sudut angkat harus diperhatikan, jika tidak, dikhawatirkan akan terjadi kegagalan struktur akibat gaya tak terduga pada saat proses pengangkatan.
 4. Pada perencanaan bangunan harus dipikirkan kemudahan dalam aplikasi di lapangan sehingga pelaksanaan dapat berjalan dengan baik, lancar dan sesuai dengan perencanaan.

DAFTAR PUSTAKA

- Abduh, M. 2007. "Inovasi Teknologi dan Sistem Beton Pracetak di Indonesia: Sebuah Analisa Rantai Nilai". Seminar dari Pameran HAKI 2007.
- ACI. 2015. "ACI 318M-14 Building Code Requirements for Structural Concrete". Michigan: American Concrete Institute.
- Adiasa, A.M. 2015. "Evaluasi Penggunaan Beton Precast di Proyek Konstruksi". **Jurnal Karya Teknik Sipil** 4, 1:126-134.
- ASCE. 2017. "ASCE/SEI 7-16 Minimum Design Loads and Associated Criteria for Buildings and Other Structures". Virginia: American Society of Civil Engineers.
- Badan Standardisasi Nasional. 2012. SNI 1726:2012 Tata Cara Perencanaan Ketahanan Gempa untuk Struktur Bangunan Gedung dan Non Gedung. Jakarta: Badan Standardisasi Nasional.
- Badan Standardisasi Nasional. 2013. SNI 2847:2013 Persyaratan Beton Struktural untuk Bangunan Gedung. Jakarta: Badan Standardisasi Nasional.
- Chandurkar, P.P. dan Pajgade, P.S. 2013. "Seismic Analysis of RCC Building with and without Shear Wall". **International Journal of Modern Engineering Research** 3, 3:1805-1810.
- Departemen Pekerjaan Umum. 1983. Peraturan Pembebanan Indonesia untuk Bangunan Gedung 1983. Bandung: Yayasan Lembaga Penyelidikan Masalah Bangunan.

- Elliott, K.S. 2002. "Precast Concrete Structures". Great Britain: Butterworth-Heinemann.
- Ervianto, W.I. (2006). "Eksplorasi Teknologi dalam Proyek Konstruksi Beton Pracetak & Bekisting". Yogyakarta: Andi.
- Gue, S.S. dan Tan, Y.C. 1998. "Design and Construction Considerations for Deep Excavation". Malaysia: SSP Geotechnics Sdn Bhd.
- Gunawan, R. 1991. "Pengantar Teknik Fondasi". Yogyakarta: Kanisius.
- Hardiyatmo, H.C. 1996. "Teknik Fondasi 1". Jakarta: Gramedia Pustaka Utama.
- Hogan, L.D. 2013. "Roof Decks A to Z, Part V: Precast, Prestressed Concrete Tees". RCI Interface, Oktober.
- Imran, I. dan Hendrik, F. 2014. "Perencanaan Lanjut Struktur Beton Bertulang". Bandung: ITB.
- Indrayana, A.B. 2013. "Analisis Desain Sambungan Balok-Kolom Sistem Pracetak untuk Ruko Tiga Lantai". Skripsi. Tidak Diterbitkan. Fakultas Teknik Sipil dan Perencanaan. Institut Teknologi Sepuluh Nopember: Surabaya.
- Jose, V. dan Kumar, P.R. 2014. "Hollow Core Slabs in Construction Industry". **International Journal of Innovative Research in Science, Engineering and Technology** 3, 5:414-420.
- Juwana, J.S. 2005. "Panduan Sistem Bangunan Tinggi untuk Arsitek dan Praktisi Bangunan". Jakarta: Erlangga.

Modix Rebar Couplers. 2016. **Brosur Peikko Group Corporation**. Finlandia.

Nimse, R.B., Joshi, D.D., dan Patel, P.V. 2014. "Behavior of Wet Precast Beam Column Connections under Progressive Collapse Scenario: an Experimental Study". **International Journal of Advanced Structural Engineering** 6, 4:149-159.

NMB Splice-Sleeve Systems. 2017. **Brosur Splice Sleeve North America, Inc.** Livonia, Michigan, USA.

Pamungkas, A. dan Harianti, E. 2013. "Desain Pondasi Tahan Gempa". Yogyakarta: Andi.

Paulay, T. dan Priestley, M.J.N. 1992. "Seismic Design of Reinforced Concrete and Masonry Buildings". USA: John Wiley & Sons, Inc.

PCI. 2004. "PCI Design Handbook Precast and Prestressed Concrete 6th Edition". Chicago: PCI Industry Handbook Committee.

Prasetya, A.D. 2018. "Desain Modifikasi Struktur Gedung Perkantoran One Galaxy dengan Dual System Menggunakan Elemen Pracetak dan Hollow Core Slab". Skripsi. Tidak Diterbitkan. Fakultas Teknik Sipil dan Perencanaan. Institut Teknologi Sepuluh Nopember: Surabaya.

Schueller, W. 1989. "Struktur Bangunan Bertingkat Tinggi". Bandung: Eresco.

- Setiamanah, D.T. 2016. "Perencanaan Gedung Apartemen Bale Hinggil dengan Menggunakan Metode Beton Pracetak". Skripsi. Tidak Diterbitkan. Fakultas Teknik Sipil dan Perencanaan. Institut Teknologi Sepuluh Nopember: Surabaya.
- Sianturi, N.M. 2012. "Tinjauan Penggunaan Balok Pracetak pada Pembangunan Gedung". **Jurnal Rancang Sipil** 1, 1:10-20.
- Sosrodarsono, S. dan Nakazawa K. 2000. "Mekanika Tanah dan Teknik Pondasi". Jakarta: Pradnya Paramita.
- Spreading Beams TZV. 2018. **Brosur Beta Concrete Plant & Lifting Equipment**. Prancis.
- Teruna, D.R. 2007. "Perencanaan Bangunan Tahan Gempa dengan Menggunakan Base Isolator (LRB): Contoh Kasus Gedung Auditorium Universitas Cendrawasih, Papua". Seminar dari Pameran HAKI 2007.
- Tjahjono, E. dan Purnomo, H. 2004. "Pengaruh Penempatan Penyambungan pada Perilaku Rangkaian Balok-Kolom Beton Pracetak Bagian Sisi Luar". **Makara Teknologi** 8, 13:90-97.
- Wahyudi, H. dan Hanggoro, H.D. 2010. "Perencanaan Struktur Gedung BPS Provinsi Jawa Tengah Menggunakan Beton Pracetak". Skripsi. Tidak Diterbitkan. Fakultas Teknik. Universitas Diponegoro: Semarang.
- Wibowo, F.X.N. 2006. "Sambungan pada Rangka Batang Beton Pracetak". **Jurnal Teknik Sipil** 7, 1:80-96.

Wulandari, C.M.F. 2006. "Perancangan Modifikasi Struktur Gedung Hotel Nawasaka Surabaya dengan Sistem Ganda". Skripsi. Tidak Diterbitkan. Fakultas Teknik Sipil dan Perencanaan. Institut Teknologi Sepuluh Nopember: Surabaya.

“Halaman ini sengaja dikosongkan...”

LAMPIRAN



LABORATORIUM MEKANIKA TANAH & BATUAN

JURUSAN TEKNIK SIPIL

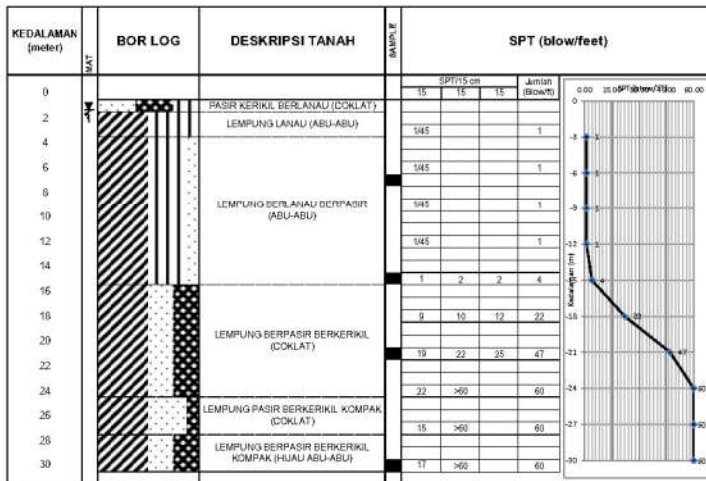
FAKULTAS TEKNIK SIPIL DAN PERENCANAAN - ITS

Kampus ITS, Keputih Salatiga Surabaya 60111, Tel. 031 5964251-55 Pow 1140 TeleFax 031 592 5601, e-mail : tanah.its@gmail.com

| LEGEND | PASIR | LEMPUNG | LANAU | KERIKIL | BATU BARA | UNDISTURBED SAMPLE | MAT |
|--------|-----------------|---------------|------------------|-------------|-------------|--------------------|------------|
| | [diagonal dots] | [cross-hatch] | [vertical lines] | [asterisks] | [checkered] | [solid black] | [triangle] |

KLIENT : PT. KOPEL LAHAN ANDALAN
PROYEK : PEMBANGUNAN APARTEMEN
LOKASI : JL. KENJERAN 504 SURABAYA
TITIK BOR No. : BH - 2

TANGGAL : 19 - 20 Agustus 2016
MASTER BOR : Rogi Cs
ELEVASI : +10.00 m - MT
MAT : -1,15 m





LABORATORIUM MEKANIKA TANAH & BATUAN
FAKULTAS TEKNIK SIPIL DAN PERENCANAAN - ITS

Kampus ITS, Kepulauan Sukuolo Surabaya

Telp/Fax: 031 5994251 55 Paw. 1140,

E-mail: tanah.its@gmail.com

REKAP HASIL TEST LABORATORIUM

KLIEN: PT. KOPEL LAHAN ANDALAN
 PROYEK: PEMBANGUNAN APARTEMEN
 LOKASI: JL. KENJERAN 504 SURABAYA

| DEPTH (meter) | VOLUME TEST + GRAVIMETRIC | | | | | | COMBINATION |
|---------------|---------------------------|-------|-------|-------|-------|------|-------------|
| | G | S | S+C/I | LL | PL | IP | |
| -7.00 | 2.05% | 1.01% | 1.01% | 54.50 | 50.00 | 5.00 | CC |
| -7.50 | 2.51% | 1.39% | 1.39% | 57.46 | 53.23 | 4.23 | CC |
| -11.00 | 2.51% | 1.39% | 1.39% | 57.46 | 53.23 | 4.23 | CC |
| -11.50 | 2.64% | 1.82% | 1.82% | 53.34 | 51.20 | 1.87 | CC |
| -21.50 | 2.64% | 0.89% | 0.89% | 27.20 | 1.87 | 1.87 | CC |
| -30.00 | 2.90% | 0.75% | 0.75% | 23.04 | 22.38 | 1.00 | CC |

| DEPTH (meter) | SIEVE ANALYSIS | | | | | | DIRECT TEST | UNCOMPRESSED TEST | TRIAxIAL TEST | VANE TEST | | |
|---------------|----------------|--------|--------|--------|-------|-------|-------------|-------------------|----------------|----------------|----------------|------------|
| | G | S | S+C/I | LL | PL | IP | C | C _a | w _s | C _d | q _u | k (cm/sec) |
| -7.00 | 0.00 | 3.92% | 81.59% | 65.93% | 29.46 | 36.52 | - | - | 0 | 0 | - | 0.05 |
| -7.50 | 0.00 | 3.52% | 84.07% | 60.83% | 30.52 | 29.83 | - | - | 0 | 0 | - | - |
| -11.00 | 0.00 | 3.24% | 85.72% | 55.52% | 32.52 | 29.53 | - | - | 0.2 | 0 | - | - |
| -11.50 | 0.00 | 3.24% | 85.72% | 55.52% | 32.52 | 29.53 | - | - | 0.2 | 0 | - | - |
| -21.50 | 0.00 | 15.62% | 57.31% | 68.33% | 52.35 | 30.86 | 2.55 | - | 3.0 | 0 | - | - |
| -30.00 | 0.00 | 15.62% | 57.31% | 68.33% | 52.35 | 30.86 | 2.55 | - | 3.0 | 0 | - | - |

REMARK (G = Gravel (%)
 S = Sand (%)
 S+C/I = Silt + Clay (%))

LL = Liquid Limit (%)
 PL = Plastic Limit (%)
 IP = Intergranular Index (%)

CC = Comparession Index
 C_a = Coefficient of Comparession (cm²/sec)
 C_d = Dry density (g/cm³)

q_u = Strength or Shear Resistance (kg/cm²)
 q_u = Strength or Shear Resistance (kg/cm²)

g_u = Strength or Shear Resistance (kg/cm²)
 g_u = Strength or Shear Resistance (kg/cm²)
 g_u = Strength or Shear Resistance (kg/cm²)
 g_u = Strength or Shear Resistance (kg/cm²)
 g_u = Strength or Shear Resistance (kg/cm²)

φ_u = Angle of Internal Friction (degrees)
 φ_u = Angle of Internal Friction (degrees)

ψ_u = Shear Strength (kg/cm²)
 ψ_u = Shear Strength (kg/cm²)

γ_n = Specific Gravity
 γ_n = Proctor's γ_n
 γ_n = Proctor's γ_n
 γ_n = Proctor's γ_n
 γ_n = Proctor's γ_n

γ_n = Specific Gravity
 γ_n = Proctor's γ_n
 γ_n = Proctor's γ_n
 γ_n = Proctor's γ_n
 γ_n = Proctor's γ_n

γ_n = Specific Gravity
 γ_n = Proctor's γ_n
 γ_n = Proctor's γ_n
 γ_n = Proctor's γ_n
 γ_n = Proctor's γ_n

γ_n = Specific Gravity
 γ_n = Proctor's γ_n
 γ_n = Proctor's γ_n
 γ_n = Proctor's γ_n
 γ_n = Proctor's γ_n

γ_n = Specific Gravity
 γ_n = Proctor's γ_n
 γ_n = Proctor's γ_n
 γ_n = Proctor's γ_n
 γ_n = Proctor's γ_n

γ_n = Specific Gravity
 γ_n = Proctor's γ_n
 γ_n = Proctor's γ_n
 γ_n = Proctor's γ_n
 γ_n = Proctor's γ_n

γ_n = Specific Gravity
 γ_n = Proctor's γ_n
 γ_n = Proctor's γ_n
 γ_n = Proctor's γ_n
 γ_n = Proctor's γ_n

γ_n = Specific Gravity
 γ_n = Proctor's γ_n
 γ_n = Proctor's γ_n
 γ_n = Proctor's γ_n
 γ_n = Proctor's γ_n

γ_n = Specific Gravity
 γ_n = Proctor's γ_n
 γ_n = Proctor's γ_n
 γ_n = Proctor's γ_n
 γ_n = Proctor's γ_n

γ_n = Specific Gravity
 γ_n = Proctor's γ_n
 γ_n = Proctor's γ_n
 γ_n = Proctor's γ_n
 γ_n = Proctor's γ_n

γ_n = Specific Gravity
 γ_n = Proctor's γ_n
 γ_n = Proctor's γ_n
 γ_n = Proctor's γ_n
 γ_n = Proctor's γ_n

γ_n = Specific Gravity
 γ_n = Proctor's γ_n
 γ_n = Proctor's γ_n
 γ_n = Proctor's γ_n
 γ_n = Proctor's γ_n

γ_n = Specific Gravity
 γ_n = Proctor's γ_n
 γ_n = Proctor's γ_n
 γ_n = Proctor's γ_n
 γ_n = Proctor's γ_n

γ_n = Specific Gravity
 γ_n = Proctor's γ_n
 γ_n = Proctor's γ_n
 γ_n = Proctor's γ_n
 γ_n = Proctor's γ_n

γ_n = Specific Gravity
 γ_n = Proctor's γ_n
 γ_n = Proctor's γ_n
 γ_n = Proctor's γ_n
 γ_n = Proctor's γ_n

γ_n = Specific Gravity
 γ_n = Proctor's γ_n
 γ_n = Proctor's γ_n
 γ_n = Proctor's γ_n
 γ_n = Proctor's γ_n

γ_n = Specific Gravity
 γ_n = Proctor's γ_n
 γ_n = Proctor's γ_n
 γ_n = Proctor's γ_n
 γ_n = Proctor's γ_n

γ_n = Specific Gravity
 γ_n = Proctor's γ_n
 γ_n = Proctor's γ_n
 γ_n = Proctor's γ_n
 γ_n = Proctor's γ_n

γ_n = Specific Gravity
 γ_n = Proctor's γ_n
 γ_n = Proctor's γ_n
 γ_n = Proctor's γ_n
 γ_n = Proctor's γ_n

γ_n = Specific Gravity
 γ_n = Proctor's γ_n
 γ_n = Proctor's γ_n
 γ_n = Proctor's γ_n
 γ_n = Proctor's γ_n



JENKA Lifting System

For safe and efficient lifting of precast concrete elements

Version: Peikko Group 04/2016



Technical Manual

About JENKA Lifting System

1.2 JENKA short inserts

The JENKA Short Inserts, WAS, BSA and PSA, are used in applications where only limited anchoring depth is present, such as slabs. They are not intended for lifting up processes and the load angle is limited to 45°. This section describes the product properties of JENKA Short Inserts. Pelkko's standard products are always delivered galvanized with Pelkko Rd thread, which enables full compatibility with M thread. All dimensions given in this section are valid for all finishes and both Rd and M threaded items equally.

JRI30: JENKA Lifting Insert specialized Rd30 thread (standard item)

JM30: JENKA Lifting Insert metric M30 thread (available upon request)

1.2.1 Dimensions

JENKA Short Inserts are available in the standard lengths shown in *Figure 20* and *Table 15*. Inserts with customized lengths for special purposes are available upon request.

Figure 20. WAS, BSA and PSA insert types.

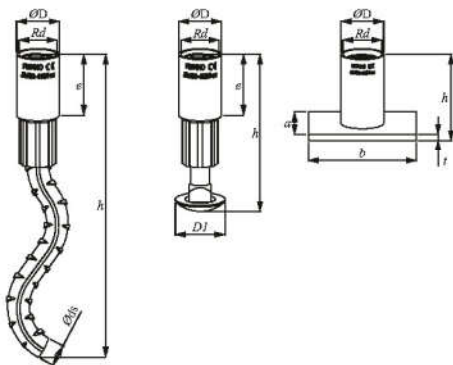
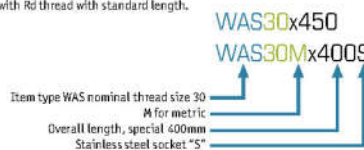


Table 15. Dimensions of WAS/BSA/PSA inserts.

| Item No. Jrd/JM | Dimensions | | | | | | | WAS h [mm] | BSA h [mm] | PSA h [mm] |
|--------------------|--------------|------------|-----------|-------------|-------------|-------------|-----------|------------------|------------------|------------------|
| | Rd·M [mm] | OD [mm] | e [mm] | OdS [mm] | ODJ [mm] | a×b [mm] | t [mm] | | | |
| 12 | 12 | 15,0 | 22 | 8 | 20 | 25x35 | 4 | 150 | 60 | 30 |
| 14 | 14 | 18,0 | 25 | 10 | 24 | 35x35 | 4 | 195 | 70 | 33 |
| 16 | 16 | 21,0 | 27 | 12 | 30 | 35x50 | 4 | 175 | 80 | 35 |
| 18 | 18 | 24,0 | 34 | 14 | 38 | 45x60 | 5 | 225 | 90 | 44 |
| 20 | 20 | 27,0 | 35 | 14 | 38 | 60x60 | 5 | 250 | 100 | 47 |
| 24 | 24 | 31,0 | 43 | 16 | 46 | 60x80 | 5 | 275 | 115 | 54 |
| 30 | 30 | 40,0 | 56 | 20 | 46 | 80x100 | 6 | 350 | 150 | 72 |
| 36 | 36 | 47,0 | 68 | 25 | | 100x130 | 6 | 450 | | 84 |
| 42 | 42 | 54,0 | 80 | 28 | | 130x130 | 8 | 500 | | 98 |
| 52 | 52 | 67,0 | 100 | | | 130x150 | 10 | | | |

Ordering example for Peikko JENKA WAS Inserts.

Item type with Rd thread with standard length.

**PLEASE NOTE:**

Selecting items such as WAS30 or WAS30x350 defines same product because standard length will be selected when no other information is added. For customized lengths please use the following code: WAS30xL (L in mm). The method can also be applied to BSA or PSA inserts.

1.2.2 Weights of system components

Component weights are given in Table 16. This information is valid for Rd and M threaded products and for electro galvanized, black, or stainless steel finishes. These Tables only take into account standard product dimensions.

Table 16. Weight of JENKA Short Inserts.

| Item No. Jrd/JM | WAS [kg/pcs] | BSA [kg/pcs] | PSA [kg/pcs] | Item No. Jrd/JM | WAS [kg/pcs] | BSA [kg/pcs] | PSA [kg/pcs] |
|--------------------|-----------------|-----------------|-----------------|--------------------|-----------------|-----------------|-----------------|
| 12 | 0,1 | 0,1 | 0,1 | 24 | 0,6 | 0,4 | 0,4 |
| 14 | 0,1 | 0,1 | 0,1 | 30 | 1,2 | 0,7 | 0,7 |
| 16 | 0,2 | 0,1 | 0,1 | 36 | 2,0 | 1,2 | 1,2 |
| 18 | 0,3 | 0,2 | 0,2 | 42 | 3,1 | 1,8 | 1,8 |
| 20 | 0,4 | 0,3 | 0,3 | 52 | | | 2,9 |

About JENKA Lifting System

1.2.3 Safe working loads for JENKA Short Inserts

The resistance of the JENKA Lifting System is determined by a design concept that makes reference to the following standards and regulations.

EN1992-1-1:2011
Machinery directive 2006/42/EC
VDI/VB-8562/05;2012

The load capacities depend very much on how and in which combination the items will be used. For short JENKA Lifting Inserts, all JENKA Lifting Keys (TLL, JL, JLW) can be used at an angle β of $0-45^\circ$.

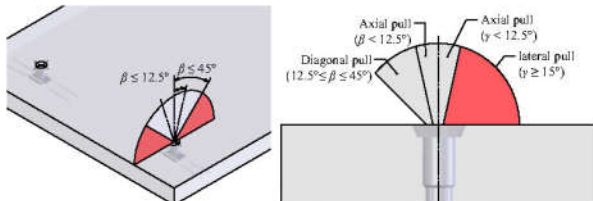
The safe working load capacities (SWL) are based upon specific dimensions and edge distances as given in the following sections. Before selecting an insert, take note of the design assumptions in this manual. The minimum compressive strength of the concrete at the moment of load application is 15 MPa. 

Table 17 shows the safe working load levels of JENKA Short Inserts. Select inserts that are suitable for the planned load directions. Figure 21 illustrates the load directions related to this table.

Table 17. Safe working load (SWL) for JENKA Short Inserts.

| Item No. JRd/JM | Load Class | WAS SWL for $\beta = 0-45^\circ$ [kN] | | BSA SWL for $\beta = 0-45^\circ$ [kN] | | | PSA SWL for $\beta = 0-45^\circ$ at 15 MPa [kN]  at 20 MPa [kN]  at 25 MPa [kN]  | | |
|--------------------|---------------|---|-----------|---|-----------|-----------|---|-----------|-----------|
| | | at 15 MPa | at 20 MPa | at 25 MPa | at 15 MPa | at 20 MPa | at 25 MPa | at 15 MPa | at 20 MPa |
| 12 | 500 | 5 | 5 | 5 | 5 | 5 | 5 | 5 | 5 |
| 14 | 800 | 8 | 8 | 8 | 8 | 8 | 8 | 8 | 8 |
| 16 | 1200 | 12 | 12 | 10 | 12 | 12 | 12 | 12 | 12 |
| 18 | 1600 | 16 | 16 | 14,2 | 16 | 16 | 16 | 16 | 16 |
| 20 | 2000 | 20 | 20 | 18,3 | 20 | 20 | 20 | 20 | 20 |
| 24 | 2500 | 25 | 25 | 25 | 25 | 25 | 25 | 25 | 25 |
| 30 | 4000 | 40 | 40 | 40 | 40 | 40 | 40 | 40 | 40 |
| 36 | 6300 | 63 | | 63 | 63 | 63 | 63 | 63 | 63 |
| 42 | 8000 | 80 | | 80 | 78 | 78 | 80 | 80 | 80 |
| 52 | 12500 | | | 95 | 110 | 110 | 125 | 125 | 125 |

Figure 21. Load directions for JENKA Short Inserts.



**PLEASE NOTE:**

Diagonal pull between 12.5° and 45° is only permitted with additional reinforcement in accordance with the following section.

1.2.4 Unit geometry and spacing

The use of Pelkkö lifting systems requires a specific element geometry. The load capacities given in this section of the manual are based on specific dimensions and edge and axial distances. The safety factors can only be ensured as described if the geometric specifications are complied with. Pelkkö's engineering service offers customized solutions to make special applications possible.

Before selecting and installing an insert, consider the general information in the previous sections of this manual. The required part geometry specification for JENKA Long Inserts differs from that for short inserts. The two types cannot replace each other or be applied in the same way unless the geometric requirements are complied with.

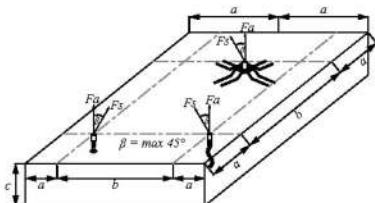
JENKA Short Inserts are commonly used in thin, flat elements with limited anchorage depth. With this insert type, most of the anchor loads are transferred over the width of the element. In many cases, capacities are limited by the element thickness c due to slab bending during lifting. The minimum element thickness and minimum edge and axial distances for respective insert types are shown in Table 18. Figure 22 visualizes the requirements.

Table 18. Minimum unit geometry for JENKA Short Inserts.

| Item No. JRd/JM | WAS | | | BSA | | | PSA | | |
|--------------------|-------------|-------------|-------------|-------------|-------------|-------------|-------------|-------------|-------------|
| | b [mm] | a [mm] | c [mm] | b [mm] | a [mm] | c [mm] | b [mm] | a [mm] | c [mm] |
| 12 | 200 | 95 | 140 | 360 | 180 | 80 | 350 | 180 | 70 |
| 14 | 200 | 115 | 160 | 420 | 210 | 90 | 350 | 180 | 80 |
| 16 | 260 | 135 | 190 | 180 | 240 | 100 | 500 | 250 | 85 |
| 18 | 300 | 155 | 210 | 540 | 270 | 110 | 600 | 300 | 95 |
| 20 | 350 | 170 | 215 | 600 | 300 | 120 | 600 | 300 | 100 |
| 24 | 440 | 220 | 270 | 690 | 345 | 135 | 800 | 400 | 115 |
| 30 | 550 | 275 | 335 | 900 | 450 | 170 | 1000 | 500 | 140 |
| 36 | 600 | 300 | 420 | | | | 1300 | 650 | 160 |
| 42 | 800 | 400 | 480 | | | | 1300 | 650 | 175 |
| 52 | | | | | | | 1500 | 750 | 215 |

About JENKA Lifting System

Figure 22. JENKA Short Inserts geometry requirements.



PLEASE NOTE:

The geometry specification requires that installation is within the tolerances defined in section 2.

1.2.5 Reinforcement for JENKA Short Inserts

The use of lifting systems requires a minimum level of reinforcement in the concrete elements. The reinforcement that is defined by structural design can be considered by taking into account the existing cross section. The required reinforcement level can be attained using single reinforcing bars or wire mesh with an equivalent or greater cross section (mm^2/m or cm^2/m). If the designed reinforcement must be removed or cut to install the JENKA Lifting Insert, this area must be repaired by adding a similar cross section of reinforcement (single bars or wire mesh) with sufficient overlapping length.



WARNING:

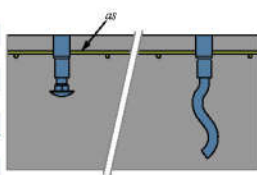
Always check that sufficient reinforcement is designed and installed. Too little reinforcement can result in severe accidents and collapsing elements.

The reinforcement described in this section supports only the load impact of the lifting system on the concrete element. The structural designer must bear in mind that the element may bend as a result of the transportation process. Additional reinforcement may be needed to prevent the element from cracking. This must be defined separately. Surface reinforcement (mm^2/m) must be considered and installed cross-wise for each element direction.

JENKA Short Inserts require only a top surface that must have a reinforcement layer. *Table 19* and *Table 20* show the required reinforcement level.

Table 19. Reinforcement for JENKA BSA and WAS Short Inserts.

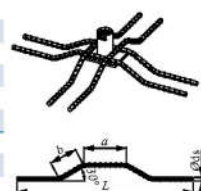
| Item No. JRd/JM | BSA | | WAS | |
|--------------------|---|---|---|---|
| | Surface reinforcement [mm ² /m] |
| 12 | 131 | 131 | 131 | 131 |
| 14 | 131 | 131 | 131 | 131 |
| 16 | 131 | 131 | 131 | 131 |
| 18 | 188 | 188 | 188 | 188 |
| 20 | 188 | 188 | 188 | 188 |
| 24 | 188 | 188 | 188 | 188 |
| 30 | 188 | 188 | 188 | 188 |
| 36 | | | 188 | 188 |
| 42 | | | 188 | 188 |



The PSA insert type is designed to fit into very flat and slim elements. For this reason, the insert requires anchoring bars in addition to surface reinforcement. The anchoring bars must run in pressure contact with the base steel plate. *Table 20* illustrates the installation and detailed dimensions of anchoring bars.

Table 20. Reinforcement for JENKA PSA Short Inserts.

| Item No. JRd/JM | PSA surface Reinforcement [mm ² /m] | Amount [pcs.] | Anchoring bars for PSA | | | |
|--------------------|--|------------------|-------------------------------|------------------|------------------|------------------|
| | | | <i>Ød_b</i> [mm] | <i>L</i> [mm] | <i>a</i> [mm] | <i>b</i> [mm] |
| 12 | 131 | 2 | 6 | 250 | 60 | 60 |
| 14 | 131 | 2 | 6 | 360 | 60 | 70 |
| 16 | 131 | 2 | 8 | 420 | 90 | 70 |
| 18 | 188 | 2 | 8 | 530 | 90 | 80 |
| 20 | 188 | 2 | 8 | 640 | 90 | 80 |
| 24 | 188 | 4 | 10 | 640 | 90 | 100 |
| 30 | 221 | 4 | 12 | 830 | 90 | 110 |
| 36 | 221 | 4 | 14 | 1140 | 140 | 120 |
| 42 | 513 | 4 | 16 | 1250 | 140 | 120 |
| 52 | 513 | 4 | 20 | 1530 | 140 | 150 |



About JENKA Lifting System

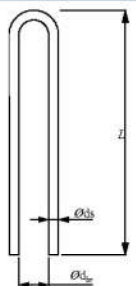
1.2.6 Types and geometry of additional reinforcement

Reinforcement for diagonal pull (from 12.5° to 45°)

Diagonal pull on the inserts requires special reinforcement around the socket to support the insert. This reinforcement must always have direct pressure contact with the socket. This can either be achieved by wire fixing or by using Peliko DSM item which enables double sided curved fixing for the additional rebar. A smaller diameter for the rebar can be used for limitations up to a maximum of 30°. Depending on the angle that must remain within 45°, the reinforcement is shown in *Table 21*.

Table 21. Diagonal rebar for all insert types.

| Item No. JRd/JM | For all insert types | | | |
|--------------------|--------------------------|-----------|--------------------------|-----------|
| | 12.5° ≤ β ≤ 45° | | 12.5° ≤ β ≤ 30° | |
| | $\varnothing ds$ [mm] | L [mm] | $\varnothing ds$ [mm] | L [mm] |
| 12 | 6 | 150 | 6 | 150 |
| 14 | 6 | 200 | 6 | 200 |
| 16 | 8 | 200 | 8 | 250 |
| 18 | 8 | 250 | 8 | 200 |
| 20 | 8 | 300 | 8 | 250 |
| 24 | 10 | 300 | 8 | 300 |
| 30 | 12 | 400 | 10 | 350 |
| 36 | 14 | 550 | 12 | 450 |
| 42 | 16 | 600 | 14 | 600 |
| 52 | 20 | 750 | 16 | 700 |



About JENKA Lifting System

1.2.6 Types and geometry of additional reinforcement

Reinforcement for diagonal pull (from 12.5° to 45°)

Diagonal pull on the inserts requires special reinforcement around the socket to support the insert. This reinforcement must always have direct pressure contact with the socket. This can either be achieved by wire fixing or by using Peliko DSM item which enables double sided curved fixing for the additional rebar. A smaller diameter for the rebar can be used for limitations up to a maximum of 30°. Depending on the angle that must remain within 45°, the reinforcement is shown in *Table 21*.

Table 21. Diagonal rebar for all insert types.

| Item No. JRd/JM | For all insert types | | | |
|--------------------|--------------------------|-----------|--------------------------|-----------|
| | 12.5° ≤ β ≤ 45° | | 12.5° ≤ β ≤ 30° | |
| | $\varnothing ds$ [mm] | L [mm] | $\varnothing ds$ [mm] | L [mm] |
| 12 | 6 | 150 | 6 | 150 |
| 14 | 6 | 200 | 6 | 200 |
| 16 | 8 | 200 | 8 | 250 |
| 18 | 8 | 250 | 8 | 200 |
| 20 | 8 | 300 | 8 | 250 |
| 24 | 10 | 300 | 8 | 300 |
| 30 | 12 | 400 | 10 | 350 |
| 36 | 14 | 550 | 12 | 450 |
| 42 | 16 | 600 | 14 | 600 |
| 52 | 20 | 750 | 16 | 700 |



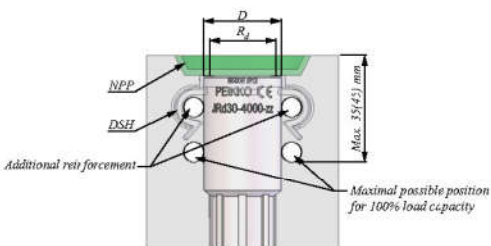
The recommendation for the bending diameter of the diagonal rebar “ d_{br} ” is the outer diameter of the insert socket. This ensures a precise finish and limits the possibility of installation errors. As an alternative, a sufficiently large bending diameter according to EN1992-1-1:2011 can be implemented so that the rebar encloses the socket.

The diagonal pull rebar must be installed at an angle of approximately 20° as demonstrated in *Figure 23* and *Figure 24*.

Figure 23. Installation for JENKA Short Inserts.



Figure 24. Installation tolerances.



About JENKA Lifting System

1.3 JENKA Lifting keys

1.3.1 Dimensions

JENKA Lifting Keys are used to attach the crane hook, lifting slings, or chains to the JENKA Lifting Insert, which is cast into the concrete element. Different JENKA Lifting Keys are designed for different load directions. JENKA Lifting Keys can be used with all of the JENKA Lifting System's insert types. Information on the dimensions of standard items is shown in Figure 25 and Table 22. Peikko's standard products are always delivered with Peikko Rd thread. Lifters with Rd thread do not fit into inserts with M thread. The length of TLL and JLW can be customized with wire length h upon request. All threaded JENKA Lifting Keys must be screwed into the insert with full length of the thread.

Figure 25. TLL, JL, and JLW JENKA Lifting Keys.

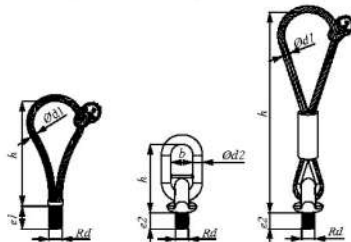
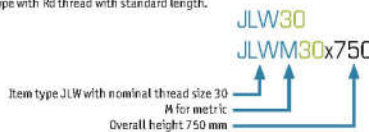


Table 22. Dimensions of JENKA lifting keys.

| Item No. JRD/JM | Dimensions | | | | | | TLL [mm] | JL [mm] | JLW [mm] | TLL, JL, JLW SWL for β 0-45° | | JL, JLW SWL for γ of 90° | |
|--------------------|--------------|-------------|-------------|------------|------------|-----------|-------------|------------|-------------|---|------|---------------------------------------|------|
| | Rd/M [mm] | Od1 [mm] | Od2 [mm] | e1 [mm] | e2 [mm] | B [mm] | | | | [kN] | [kN] | [kN] | [kN] |
| 12 | 12 | 6 | 13 | 22 | 19 | 50 | 133 | 137 | 205 | 5 | 2.5 | | |
| 14 | 14 | 7 | 13 | 25 | 21 | 50 | 130 | 137 | 320 | 8 | 4.0 | | |
| 16 | 16 | 8 | 13 | 27 | 24 | 50 | 138 | 137 | 335 | 12 | 6.0 | | |
| 18 | 18 | 9 | 16 | 34 | 27 | 50 | 156 | 146 | 370 | 16 | 8.0 | | |
| 20 | 20 | 10 | 16 | 35 | 29 | 50 | 180 | 146 | 385 | 20 | 10.0 | | |
| 24 | 24 | 12 | 16 | 43 | 35 | 50 | 212 | 146 | 410 | 25 | 12.5 | | |
| 30 | 30 | 16 | 22 | 55 | 43 | 50 | 265 | 155 | 475 | 40 | 20.0 | | |
| 36 | 36 | 18 | 22 | 67 | 52 | 50 | 293 | 155 | 525 | 63 | 31.5 | | |
| 42 | 42 | 20 | 26 | 75 | 60 | 66 | 350 | 192 | 615 | 80 | 40.0 | | |
| 52 | 52 | 26 | 26 | 95 | 73 | 66 | 435 | 192 | 710 | 125 | 62.5 | | |

Order example for Pelkkö JENKA JLW lifting key.

Item type with Rd thread with standard length.



PLEASE NOTE:

Selecting items such as JLW30 or JLW30x75 defines same product because a standard length will be selected when no other information is added. For customized lengths please use following code: JLW30x(h in mm). This also applies to TLL loops.

1.3.2 Weights of system components

Component weights are given in *Table 23*. This information is valid for both Rd and M threaded products with electro galvanized or black finishes. This table considers only the standard product dimensions.

Table 23. Weight of JENKA Lifting Keys.

| Item No. JRD/JM | TLL | JL | JLW [kg/pcs] |
|--------------------|-----|-----|-----------------|
| 12 | 0.1 | 0.5 | 0.3 |
| 14 | 0.1 | 0.5 | 0.5 |
| 16 | 0.2 | 0.5 | 0.5 |
| 18 | 0.2 | 1.0 | 0.9 |
| 20 | 0.3 | 1.0 | 1.1 |
| 24 | 0.5 | 1.0 | 1.4 |
| 30 | 0.9 | 2.4 | 3.0 |
| 36 | 1.5 | 2.5 | 3.8 |
| 42 | 2.1 | 4.8 | 6.3 |
| 52 | 4.6 | 5.2 | 10.2 |

PC PILES

PC PILES

DESCRIPTION

| | |
|-------------------|---|
| Type of Piles | Prestressed Concrete Square Piles Prestressed Concrete Spun Piles Prestressed Concrete Spun Square Piles Prestressed Concrete Triangular Piles |
| System of Joints | Welded at steel joint plate |
| Type of Shoe | Concrete Pencil Shoe (Standard) for PC Spun Piles, Spun Square Pile & Square Piles Mamira Shoe (Special Order) for PC Spun Pile |
| Method of Driving | Dynamic Pile Driving : Diesel Hammer and Hydraulic Hammer Static Pile Driving :Hydraulic Static Pile Driver (Jacking Pile) |

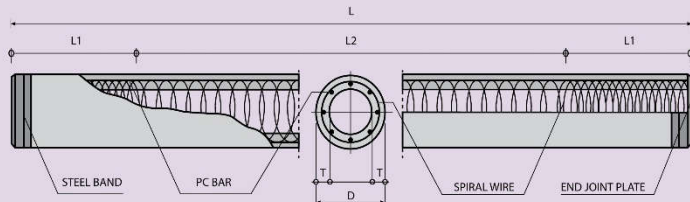


DESIGN & MANUFACTURING REFERENCE

| | | |
|---------------|---------------------------------------|--|
| Design | ACI 543R - 00 SNI 03 - 2847 - 2002 | Design, Manufactured and Installation of Concrete Piles Indonesian Standard Code for Concrete |
| Manufacturing | WB - PRD - PS - 16 | Production Manufacturing Procedure |

SPUN PILE WITH TEKCON TECHNOLOGIES, WIKA CLT STANDARD

UPPER / MIDDLE PILE (DOUBLE JOINT)



| Outer Diameter of Piles D (mm) | Wall Thickness T (mm) | Spiral Wire Diameter (mm) | Pitch | | Length of Pitch | |
|--------------------------------------|-----------------------------|---------------------------------|--------------|--------------|-----------------|------------|
| | | | Zone L1 (mm) | Zone L2 (mm) | L1 (mm) | L2 (mm) |
| 300 | 60 | 3.2 | 50 | 100 | 900 | L - 2 (L1) |
| 350 | 70 | 3.2 | 50 | 100 | 1050 | L - 2 (L1) |
| 400 | 75 | 3.2 | 50 | 100 | 1200 | L - 2 (L1) |
| 450 | 80 | 4.0 | 50 | 100 | 1350 | L - 2 (L1) |
| 500 | 90 | 4.0 | 50 | 100 | 1500 | L - 2 (L1) |
| 600 | 100 | 4.0 | 50 | 100 | 1800 | L - 2 (L1) |

January - 2015

PRE-TENSIONED SPUN CONCRETE PILES SPECIFICATION

Structural Properties

| Outer Diameter (mm) | Concrete Wall Thickness (mm) | Class | PC Bar | | | Concrete Sectional Area (cm ²) | Concrete Moment Inertia (cm ⁴) | Effective Prestress (kg/cm ²) | Allowable Axial Load (ton) | Bending Moment | Nominal Weight (kg/m) |
|---------------------|------------------------------|-------|---------------|-------------|-----------------------------------|--|--|---|----------------------------|----------------|-----------------------|
| | | | Diameter (mm) | Number (mm) | Sectional Area (cm ²) | | | | | | |
| 300 | 60 | A | 7.4 | 6 | 2.40 | 452 | 35472 | 47.03 | 64 | 73 | 2.7 |
| 350 | 70 | A | 7.4 | 8 | 3.20 | 616 | 65683 | 46.15 | 87 | 99 | 4.3 |
| 400 | 75 | A | 7.4 | 10 | 4.00 | 766 | 109130 | 46.37 | 108 | 123 | 6.2 |
| | | | B | 9.2 | 12 | 7.68 | 766 | 111559 | 82.55 | 101 | 118 |
| 450 | 80 | A | 9.2 | 8 | 5.12 | 930 | 170951 | 48.65 | 131 | 149 | 8.8 |
| | | | B | 9.2 | 16 | 10.24 | 930 | 175332 | 89.27 | 121 | 141 |
| 500 | 90 | A | 9.2 | 10 | 6.40 | 1159 | 262048 | 48.77 | 163 | 186 | 12.2 |
| | | | B | 9.2 | 18 | 11.52 | 1159 | 267428 | 81.91 | 154 | 178 |
| 600 | 100 | A | 9.2 | 12 | 7.68 | 1571 | 522509 | 43.63 | 223 | 253 | 19.3 |
| | | | B | 9.2 | 24 | 15.36 | 1571 | 534509 | 80.79 | 209 | 242 |

- Note : 1) TEKCON PC Piles are manufacture in compliance with JIS A 5335-1987 Pretensioned Spun Concrete Piles and generally conforming to other specification (ACI 543-1979 & BS.8004-1986 / BS.8110-1985) (ACI 543-1979)
 2) PC Bar and Spiral Wires comply with JIS G 3137-1994 and BS.4482 respectively
 3) Allowable Axial Load is applicable for pile acting as a short strut. Calculation is based on BS.8004-1986 Foundation & ACI 543-1979
 4) Minimum compressive strength of concrete at age 28 days shall be 60 N/mm²
 5) Standard piles length is 6 M, 9 M, 10 M and 12 M
 6) Modification of the properties can be made upon orders
 7) We have a right to modify our manufacturing specification without any prior notice

PRE-TENSIONED SPUN HIGH STRENGTH CONCRETE PILES SPECIFICATION

Grade 80 Piles

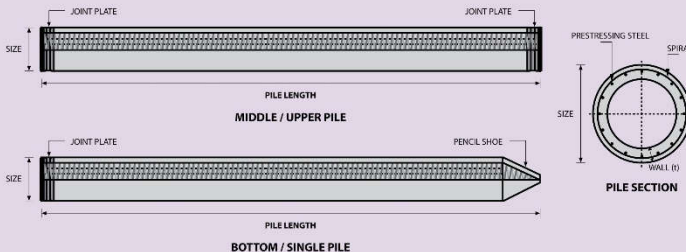
| Outer Diameter (mm) | Concrete Wall Thickness (mm) | Class | PC Bar | | | Concrete Sectional Area (cm ²) | Concrete Moment Inertia (cm ⁴) | Effective Prestress (kg/cm ²) | Allowable Axial Load (ton) | Bending Moment | Nominal Weight (kg/m) | |
|---------------------|------------------------------|-------|---------------|-------------|-----------------------------------|--|--|---|----------------------------|----------------|-----------------------|-------|
| | | | Diameter (mm) | Number (mm) | Sectional Area (cm ²) | | | | | | | |
| 300 | 60 | A | 7.1 | 6 | 2.37 | 452 | 35416 | 49.59 | 102 | 2.88 | 3.16 | |
| 350 | 70 | A | 7.1 | 8 | 3.17 | 616 | 65533 | 48.71 | 139 | 4.54 | 6.75 | |
| 400 | 75 | A | 7.1 | 10 | 3.96 | 766 | 108803 | 48.97 | 173 | 6.61 | 9.73 | |
| | | | B | 9 | 12 | 7.63 | 766 | 111001 | 87.45 | 165 | 8.88 | 13.51 |
| 450 | 80 | A | 9 | 8 | 5.09 | 930 | 170556 | 51.59 | 209 | 9.41 | 10.13 | |
| | | | B | 9 | 16 | 10.17 | 930 | 174626 | 94.54 | 198 | 12.97 | 20.27 |
| | | | C | 9 | 20 | 12.72 | 930 | 176660 | 112.77 | 194 | 14.55 | 25.34 |
| 500 | 90 | A | 9 | 10 | 6.36 | 1159 | 261750 | 51.78 | 261 | 13.02 | 14.08 | |
| | | | B | 9 | 18 | 11.45 | 1159 | 266994 | 86.95 | 250 | 17.04 | 25.34 |
| | | | C | 9 | 24 | 15.26 | 1159 | 270927 | 109.67 | 243 | 19.75 | 33.78 |
| 600 | 100 | A | 9 | 12 | 7.63 | 1571 | 522308 | 44.38 | 356 | 20.36 | 29.87 | |
| | | | B | 9 | 24 | 15.26 | 1571 | 534365 | 82.21 | 340 | 27.57 | 48.61 |
| | | | C | 9 | 32 | 20.35 | 1571 | 542404 | 103.80 | 331 | 31.89 | 55.53 |

- Note : 1) TEKCON PC Piles are manufacture in compliance with JIS A 5335-1987 Pretensioned Spun Concrete Piles and generally conforming to other specification (ACI 543-1979)
 2) PC Bar and Spiral Wires comply with JIS G 3137-1994 and BS.4482 respectively
 3) Allowable Axial Load is applicable for pile acting as a short strut. Calculation is based on ACI 543-1979
 4) Minimum compressive strength of concrete at age 28 days shall be 80 N/mm²
 5) Standard piles length is 6 M, 9 M, 10 M and 12 M
 6) Modification of the properties can be made upon orders
 7) We have a right to modify our manufacturing specification without any prior notice

MATERIAL SPECIFICATION

| ITEM | REFERENCE | DESCRIPTION | SPECIFICATION |
|-------------|--|---|---|
| Aggregate | ASTM C 33 / C 33M-11a | Standard Specification for Concrete Aggregates | |
| Cement | SNI 15 - 2049 - 2004 | Portland Cement | Standard Product Type I Special Order : Type II or V |
| Admixture | ASTM C 494 / C 494M - 99a | Standard Specification for Chemical Admixture for Concrete | Type F : High Range Water Reducing Admixture |
| Concrete | SNI 03 - 2834 - 1993 SNI 03 - 2493 - 1991 | Concrete Mix Design Making and Curing Concrete Sample | |
| PC Strand | ASTM A 416 / A 416M - 99 | Standard Specification for Steel Strand, Uncoated Seven-Wire for Prestressed Concrete | Grade 270 (Low Relaxation Type) |
| PC Wire | JIS G 3536 - 1999 | Uncoated Stress-Relieved Steel Wires and Strands for Prestressed Concrete | SWPD1 (Deformed Wire Type) |
| PC Bar | JIS G 3137 - 1994 | Small Size-Deformed Steel Bars for Prestressed Concrete | Grade D - Class 1 - SBPD 1275/1420 |
| Rebar | SNI 07 - 2052 - 2002 | Reinforcement Steel for Concrete | Steel Class : BJT5 40 (Deformed) Steel Class : BJT 24 (Round) |
| Spiral Wire | JIS G 3532 - 2000 | Low Carbon Steel Wires | SWM-P (Round Type) Cold-reduced steel wire for the reinforcement of concrete and the manufacture of welded fabric. |
| Joint Plate | JIS G 3101 - 2004 | Rolled Steels for General Structure | SS400 (Tensile Strength 400 N/mm ²) Applicable steel product for steel plates and sheets, steel strip in coil, sections, flats and bars. |
| Welding | ANSI / AWS D1.1 - 900 | Structural Welding Code Steel | AWS A5.1/E6013 NIKKO STEEL RB 26 / RD 260, LION 26, or equivalent. |

PILE SHAPE & SPECIFICATION | PRESTRESSED CONCRETE SPUN PILES



PRESTRESSED CONCRETE SPUN PILES SPECIFICATION

Concrete Compressive Strength $f_c' = 52 \text{ MPa}$ (Cube 600 kg/cm³)

| Size (mm) | Thickness (mm) | Cross Section (cm ²) | Section Inertia (cm ⁴) | Unit Weight (kg/m) | Class | Bending Moment | | Allowable Compression (ton) | Decompression (ton) | Length of Pile ** (m) |
|--------------|-------------------|--|--|--------------------------|-------|---------------------|------------------|-----------------------------------|------------------------|-----------------------------|
| | | | | | | Crack ^{*)} | Break (ton.m) | | | |
| 300 | 60 | 452.39 | 34,607.78 | 113 | A2 | 2.50 | 3.75 | 72.60 | 23.11 | 6-12 |
| | | | | | A3 | 3.00 | 4.50 | 70.75 | 29.86 | 6-13 |
| | | | | | B | 3.50 | 6.30 | 67.50 | 41.96 | 6-14 |
| | | | | | C | 4.00 | 8.00 | 65.40 | 49.66 | 6-15 |
| 350 | 65 | 581.98 | 62,162.74 | 145 | A1 | 3.50 | 5.25 | 93.10 | 30.74 | 6-13 |
| | | | | | A3 | 4.20 | 6.30 | 89.50 | 37.50 | 6-14 |
| | | | | | B | 5.00 | 9.00 | 86.40 | 49.93 | 6-15 |
| | | | | | C | 6.00 | 12.00 | 85.00 | 60.87 | 6-16 |
| 400 | 75 | 765.76 | 106,488.95 | 191 | A2 | 5.50 | 8.25 | 121.10 | 38.62 | 6-14 |
| | | | | | A3 | 6.50 | 9.75 | 117.60 | 45.51 | 6-15 |
| | | | | | B | 7.50 | 13.50 | 114.40 | 70.27 | 6-16 |
| | | | | | C | 9.00 | 18.00 | 111.50 | 80.94 | 6-17 |
| 450 | 80 | 929.91 | 166,570.38 | 232 | A1 | 7.50 | 11.25 | 149.50 | 39.28 | 6-14 |
| | | | | | A2 | 8.50 | 12.75 | 145.80 | 53.39 | 6-15 |
| | | | | | A3 | 10.00 | 15.00 | 143.80 | 66.57 | 6-16 |
| | | | | | B | 11.00 | 19.80 | 139.10 | 78.84 | 6-17 |
| 500 | 90 | 1,159.25 | 255,324.30 | 290 | A1 | 12.50 | 25.00 | 134.90 | 100.45 | 6-18 |
| | | | | | A2 | 10.50 | 15.75 | 185.30 | 54.56 | 6-15 |
| | | | | | A3 | 12.50 | 18.75 | 181.70 | 68.49 | 6-16 |
| | | | | | B | 14.00 | 21.00 | 178.20 | 88.00 | 6-17 |
| 600 | 100 | 1,570.80 | 510,508.81 | 393 | A1 | 15.00 | 27.00 | 174.90 | 94.13 | 6-18 |
| | | | | | A2 | 17.00 | 34.00 | 169.00 | 122.04 | 6-19 |
| | | | | | A3 | 19.00 | 28.50 | 249.00 | 77.68 | 6-17 |
| | | | | | B | 22.00 | 33.00 | 243.20 | 104.94 | 6-18 |
| 800 | 120 | 2,563.54 | 1,527,869.60 | 641 | A1 | 25.00 | 45.00 | 238.30 | 131.10 | 6-19 |
| | | | | | A2 | 29.00 | 58.00 | 229.50 | 163.67 | 6-20 |
| | | | | | A3 | 40.00 | 60.00 | 415.00 | 119.34 | 6-20 |
| | | | | | B | 46.00 | 69.00 | 406.10 | 151.02 | 6-21 |
| 1000 *** | 140 | 3,782.48 | 3,589,571.20 | 946 | A1 | 51.00 | 76.50 | 399.17 | 171.18 | 6-22 |
| | | | | | A2 | 55.00 | 99.00 | 388.61 | 215.80 | 6-23 |
| | | | | | A3 | 65.00 | 130.00 | 368.17 | 290.82 | 6-24 |
| | | | | | B | 75.00 | 112.50 | 613.52 | 169.81 | 6-22 |
| 1200 *** | 150 | 4,948.01 | 6,958,136.85 | 1,237 | A1 | 82.00 | 123.00 | 601.27 | 215.16 | 6-23 |
| | | | | | A2 | 93.00 | 139.50 | 589.66 | 258.19 | 6-24 |
| | | | | | A3 | 105.00 | 189.00 | 575.33 | 311.26 | 6-24 |
| | | | | | B | 120.00 | 240.00 | 555.23 | 385.70 | 6-24 |
| 1200 *** | 150 | 4,948.01 | 6,958,136.85 | 1,237 | A1 | 120.00 | 180.00 | 802.80 | 221.30 | 6-24 |
| | | | | | A2 | 130.00 | 195.00 | 794.50 | 252.10 | 6-24 |
| | | | | | A3 | 145.00 | 217.50 | 778.60 | 311.00 | 6-24 |
| | | | | | B | 170.00 | 306.00 | 751.90 | 409.60 | 6-24 |
| 1200 *** | 150 | 4,948.01 | 6,958,136.85 | 1,237 | C | 200.00 | 400.00 | 721.50 | 522.20 | 6-24 |

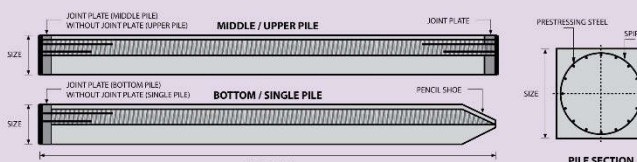
Note : *) Crack Moment Based on JIS A 5335-1987 (Prestressed Spun Concrete Piles)

Unit Conversion : 1 ton = 9,806.0 KN

**) Length of pile may exceed usual standard whenever lifted in certain position

***) Type of Shoe for Bottom Pile is Mamira Shoe

PILE SHAPE & SPECIFICATION | PRESTRESSED CONCRETE SQUARE PILES



PRESTRESSED CONCRETE SQUARE PILES SPECIFICATION

Concrete Compressive Strength $f_c' = 42 \text{ MPa}$ (Cube 500 kg/cm²)

Unit Conversion : 1 ton = 9.8060 kN

| Size (mm) | Cross Section (cm ²) | Section Inertia (cm ⁴) | Weight (kg/m) | Class | Bending Moment | Allowable Compression (ton.m) | Decompression Tension (ton) | Length of pile* | Splice Class |
|--------------|--|--|------------------|-------|-------------------|-------------------------------------|-----------------------------------|--------------------|----------------------|
| | | | | | Crack Ultimate | | | | to Body M_{max} |
| 200 x 200 | 400 | 13,333 | 100 | A | 1.55 | 3.49 | 37.47 | 6 - 9 | I II |
| | | | | B | 2.29 | 3.46 | 81.40 | 6 - 10 | III IV |
| 250 x 250 | 625 | 32,552 | 156 | A | 2.52 | 4.33 | 79.63 | 6 - 11 | II - |
| | | | | C | 2.78 | 5.19 | 77.92 | 6 - 11 | I II |
| 300 x 300 | 900 | 67,500 | 225 | A | 3.64 | 5.19 | 118.59 | 6 - 11 | IV V |
| | | | | B | 3.98 | 6.23 | 116.76 | 6 - 11 | III IV/V |
| | | | | C | 4.48 | 7.47 | 114.66 | 50.20 | 6 - 12 II - |
| | | | | D | 4.92 | 9.34 | 111.60 | 61.90 | 6 - 12 I III/IV/V |
| 350 x 350 | 1,225 | 125,052 | 306 | A | 5.33 | 6.57 | 163.98 | 38.06 | 6 - 11 III IV |
| | | | | B | 6.07 | 7.58 | 160.56 | 50.90 | 6 - 12 II - |
| | | | | C | 6.65 | 10.90 | 157.45 | 63.10 | 6 - 12 I IV |
| | | | | D | 7.30 | 13.08 | 154.32 | 75.00 | 6 - 13 I III/IV/V |
| 400 x 400 | 1,600 | 213,333 | 400 | A | 7.89 | 9.96 | 213.96 | 51.40 | 6 - 12 IV V |
| | | | | B | 8.71 | 12.45 | 210.60 | 63.80 | 6 - 12 III IV/V |
| | | | | C | 9.51 | 14.95 | 207.32 | 76.00 | 6 - 13 I III/IV/V |
| | | | | D | 11.84 | 22.42 | 198.01 | 111.60 | 6 - 14 I II/III/IV/V |
| 450 x 450 | 2,025 | 341,719 | 506 | A | 11.17 | 14.01 | 270.98 | 64.30 | 6 - 12 III IV |
| | | | | B | 12.10 | 16.81 | 267.61 | 76.80 | 6 - 13 I II/III/IV/V |
| | | | | C | 13.60 | 19.63 | 264.30 | 89.10 | 6 - 13 II III/IV/V |
| | | | | D | 14.78 | 22.22 | 257.98 | 113.30 | 6 - 14 I II/III/IV/V |
| 500 x 500 | 2,500 | 520,833 | 625 | A | 15.16 | 18.68 | 335.12 | 77.30 | 6 - 13 III IV |
| | | | | B | 16.19 | 21.79 | 331.72 | 89.90 | 6 - 13 II III/IV/V |
| | | | | C | 17.21 | 24.91 | 328.38 | 102.20 | 6 - 14 I II/III/IV/V |
| | | | | D | 18.22 | 28.02 | 325.09 | 114.50 | 6 - 14 I II/III/IV/V |

Note : *) Length of pile may exceed usual standard whenever lifted in certain position

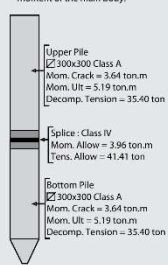
TYPICAL SPLICE SPECIFICATION

| Size (mm) | Class | Bending Moment | | Tension | |
|--------------|-------|----------------|----------|-----------|----------|
| | | Allowable | Ultimate | Allowable | Ultimate |
| 200 x 200 | I | 1.56 | 2.11 | 41.82 | 47.05 |
| | II | 0.76 | 1.02 | 16.34 | 18.38 |
| 250 x 250 | I | 3.17 | 4.28 | 55.22 | 62.12 |
| | II | 2.99 | 4.07 | 41.41 | 46.59 |
| | III | 3.34 | 3.17 | 40.61 | 48.59 |
| | IV | 3.29 | 3.74 | 44.50 | 27.57 |
| 300 x 300 | I | 5.96 | 8.05 | 83.64 | 94.10 |
| | II | 4.53 | 6.12 | 62.73 | 70.57 |
| | III | 4.28 | 5.78 | 55.22 | 62.12 |
| | IV | 3.95 | 5.35 | 41.41 | 46.59 |
| 350 x 350 | I | 7.67 | 10.35 | 83.64 | 94.10 |
| | II | 6.68 | 9.19 | 83.64 | 94.10 |
| | III | 5.71 | 7.77 | 57.01 | 62.12 |
| | IV | 5.30 | 6.45 | 27.61 | 31.06 |
| 400 x 400 | I | 12.20 | 16.47 | 177.95 | 132.69 |
| | II | 11.28 | 15.23 | 88.46 | 99.52 |
| | III | 9.41 | 12.71 | 83.64 | 94.10 |
| | IV | 8.58 | 11.58 | 62.73 | 70.57 |
| V | 3.97 | 5.36 | 27.61 | 31.06 | |
| 450 x 450 | I | 15.80 | 21.33 | 147.43 | 165.86 |
| | II | 13.20 | 17.27 | 88.46 | 99.52 |
| | III | 10.37 | 12.57 | 83.64 | 94.10 |
| | IV | 6.55 | 8.84 | 41.41 | 47.05 |
| 500 x 500 | I | 19.72 | 26.63 | 118.60 | 133.43 |
| | II | 16.51 | 22.29 | 117.95 | 132.69 |
| | III | 15.14 | 20.43 | 88.46 | 99.52 |
| | IV | 7.55 | 10.21 | 41.82 | 47.05 |

EXAMPLES OF SPLICE SELECTION

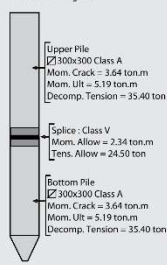
Case 1 : Compatible to Body

Moment Crack
Splice of PC Piles having equivalent performance to the crack bending moment of the main body.

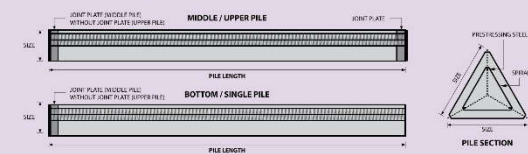


Case 2 : Optional Splice

Application of optional splices should be approved by structure designer.



PILE SHAPE & SPECIFICATION | PRESTRESSED CONCRETE TRIANGULAR PILES



PRESTRESSED CONCRETE TRIANGULAR PILES SPECIFICATION

Concrete Compressive Strength $f'_c = 42 \text{ MPa}$ (Cube 500 kg/cm³)

| Size (mm) | Gross Section (cm ²) | Section Inertia (cm ⁴) | Unit Weight (kg/m) | Class | Bending Moment | | Allowable Compression (ton) | Length of Pile * (m) |
|--------------|--|--|--------------------------|-------|------------------|----------------------|-----------------------------------|----------------------------|
| | | | | | Crack (ton.m) | Ultimate (ton.m.) | | |
| 280 | 318.7 | 9,080.50 | 79.7 | A | 0.66 | 0.92 | 42.26 | 6 - 8 |
| | | | | B | 0.90 | 1.77 | 39.50 | 6 - 9 |
| 320 | 422.6 | 16,188.90 | 105.7 | A | 0.89 | 1.11 | 57.02 | 6 - 8 |
| | | | | B | 1.20 | 2.15 | 54.10 | 6 - 9 |

Unit Conversion : 1 ton = 9.8060 kN

PILE SHAPE & SPECIFICATION | PRESTRESSED CONCRETE SPUN SQUARE PILES



PRESTRESSED CONCRETE SPUN SQUARE PILES SPECIFICATION

Concrete Compressive Strength $f'_c = 52 \text{ MPa}$ (Cube 600 kg/cm³)

| Size (mm) | Thickness Wall (t) | Cross Section (cm ²) | Section Inertia (cm ⁴) | Unit Weight (kg/m) | Class | Bending Moment | | Allowable Compression (ton) | Decompression Tension (ton) | Length of Pile * (m) |
|--------------|-----------------------|--|--|--------------------------|-------|------------------|----------------------|-----------------------------------|--------------------------------|-------------------------|
| | | | | | | Crack (ton.m) | Ultimate (ton.m.) | | | |
| 400 X 400 | 75 | 1109.13 | 194,159 | 277 | A2 | 6.50 | 10.00 | 182.63 | 38.00 | 6 - 13 |
| | | | | | A3 | 8.00 | 12.00 | 180.62 | 45.30 | 6 - 14 |
| | | | | | B | 10.00 | 18.00 | 173.15 | 73.10 | 6 - 15 |
| 450 X 450 | 80 | 1364.48 | 307,000 | 341 | A1 | 11.00 | 22.00 | 169.49 | 91.70 | 6 - 16 |
| | | | | | A2 | 8.50 | 12.50 | 227.01 | 38.20 | 6 - 13 |
| | | | | | A3 | 11.00 | 17.00 | 222.95 | 52.90 | 6 - 15 |
| | | | | | B | 13.00 | 20.90 | 219.05 | 67.10 | 6 - 16 |
| | | | | | C | 13.50 | 24.00 | 215.32 | 80.90 | 6 - 16 |
| | | | | | | 15.50 | 31.00 | 208.10 | 114.00 | 6 - 16 |

Note : *) Length of pile may exceed usual standard whenever lifted in certain position

Unit Conversion : 1 ton = 9.8060 kN

PRODUCT APPLICATION



Piles foundation for Power Plant or Industrial Factory



Piles for Marine Structure



Piles Foundation for Building



Piles Foundation for Bridges

PT CITRA LAUTAN TEDUH

Head Office & Factory

Jl. Hang Jebat Km. 01 Batu Besar, Batam - Indonesia | Ph. (062) 778 761185, 761186 | Fax. (062) 778 761184 | Visit us : <http://www.wikacit.co.id>

Factory Support

Bintan (North Sumatra), Tegineneng (Lampung South Sumatera), Kailanda (Lampung South Sumatera), Bogor, Karawang, Majalengka (West Java), Boyolali (Central Java), Pasuruan (East Java), Balikpapan (East Borneo in Progress), Makassar (South Celebes)



MODIX Rebar Cougplers

Safe and flexible rebar splicing system

Version: Peikko Group 01/2016



Technical Manual

About MODIX Rebar Couplers

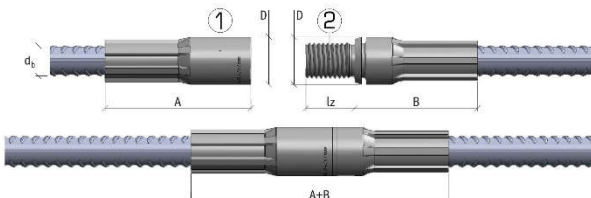
MODIX® SM (Standard Coupler)

- For connecting bars with the same diameter
- At least one bar can be moved axially and rotated

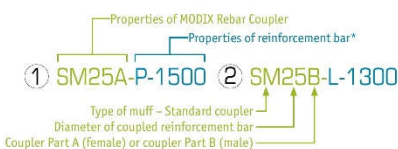


| Coupler type | Bar Ø d _b [mm] | Coupler Ø D [mm] | Length Part A [mm] | Length Part B [mm] | Parts A+B fitted together [mm] | ISO metric thread M | Thread length l _z [mm] | Color of thread protector |
|--------------|---------------------------|------------------|--------------------|--------------------|--------------------------------|---------------------|-----------------------------------|---------------------------|
| SM10 | 10 | 17.5 | 52 | 46 | 96 | M 12 x 1.75 | 16.0 | Orange |
| SM12 | 12 | 21.0 | 63 | 52 | 113 | M 16 x 2 | 21.2 | Yellow |
| SM14 | 14 | 24.0 | 72 | 57 | 127 | M 18 x 2.5 | 24.8 | Blue |
| SM16 | 16 | 27.0 | 80 | 63 | 141 | M 20 x 2.5 | 27.5 | White |
| SM20 | 20 | 33.0 | 98 | 77 | 173 | M 24 x 3 | 31.6 | Gray |
| SM25 | 25 | 41.0 | 122 | 98 | 218 | M 30 x 3.5 | 39.0 | Red |
| SM28 | 28 | 47.0 | 141 | 111 | 250 | M 36 x 4 | 46.0 | Black |
| SM32 | 32 | 53.0 | 156 | 124 | 278 | M 42 x 4.5 | 53.5 | Brown |
| SM40 | 40 | 63.5 | 163 | 136 | 297 | M 48 x 5.0 | 61.7 | Green |

- Part A and Part B can be ordered separately.



Example of a product code:



*Detailed explanations of the properties of reinforcement bars are described in Annex A

Application

MODIX SM Standard Couplers are used as regular connections for reinforcement bars with the same diameters with full tension and compression capacity.



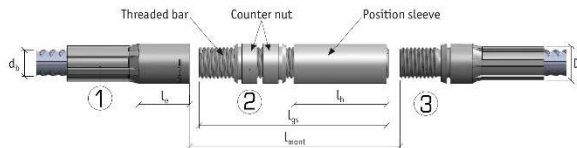
About MODIX Rebar Couplers

MODIX® PM (Position Coupler)

- For connecting straight or bent bars
- None of the bars can move axially or rotate

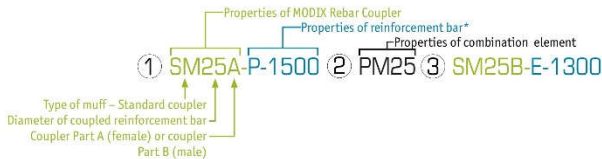


| Coupler type | Bar Ø d _b [mm] | Coupler Ø D [mm] | Length Part A [mm] | Thread length Part A l _A | Length l _b | Length l _c | Length of position sleeve l _b | Length threaded bar l _{tp} | Max. free spacing l _{max} | Length L | ISO metric thread M | Color of thread protector |
|--------------|------------------------------|---------------------|-----------------------|--|-----------------------|-----------------------|---|--|---------------------------------------|----------|------------------------|------------------------------|
| PM10 | 10 | 17,5 | 52 | 21 | 58 | 95 | 37 | 79 | 59 | 74 | M 12 x 1,75 | Orange |
| PM12 | 12 | 21,0 | 63 | 26 | 72 | 119 | 48 | 98 | 73 | 93 | M 16 x 2 | Yellow |
| PM14 | 14 | 24,0 | 72 | 30 | 81 | 135 | 55 | 111 | 82 | 105 | M 18 x 2,5 | Blue |
| PM16 | 16 | 27,0 | 80 | 33 | 88 | 148 | 61 | 121 | 89 | 115 | M 20 x 2,5 | White |
| PM20 | 20 | 33,0 | 98 | 37 | 99 | 167 | 69 | 136 | 100 | 130 | M 24 x 3 | Gray |
| PM25 | 25 | 41,0 | 122 | 44 | 117 | 200 | 83 | 161 | 118 | 156 | M 30 x 3,5 | Red |
| PM28 | 28 | 47,0 | 141 | 51 | 136 | 233 | 97 | 187 | 137 | 182 | M 36 x 4 | Black |
| PM32 | 32 | 53,0 | 156 | 59 | 155 | 267 | 112 | 214 | 156 | 208 | M 42 x 4,5 | Brown |
| PM40 | 40 | 63,5 | 163 | 65 | 175 | 301 | 127 | 240 | 173 | 234 | M 48 x 5,0 | Green |



About MODIX Rebar Couplers

Example of a product code:



*Properties of reinforcement bars are described in detail in Annex A.

Application

MODIX PM Position Couplers are used when none of the bars can rotate or move (such as connections of bent bars or connections of two precast elements).

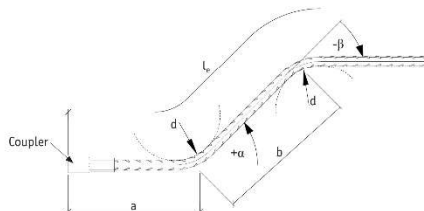
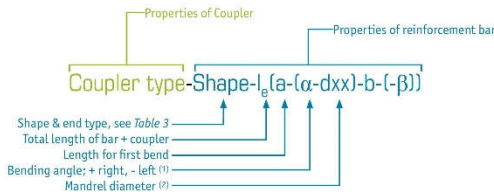


Annex A – Shape of reinforcement bars

Reinforcement bars connected with MODIX may be processed to the forms specified in *Table 3*. The geometry of the reinforcement bar must be specified in the product code or product shape list (*Table 2*) following the instructions below.

General product code principles

Single-sided:



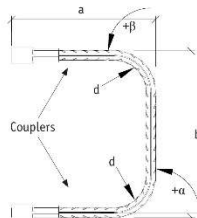
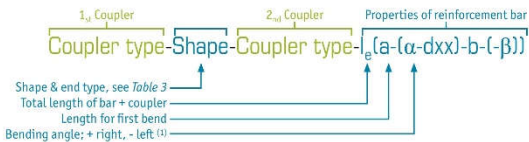
Example: SM25A-P26-1200(400-(45)-500-(-45))

(1) The bending angle must be defined in shapes 15, 25, 26 according to *Table 3*. Shapes 12, 13, 21 have standard bending angle $\geq 12, 21 = 90^\circ; 13 = 180^\circ$

(2) The mandrel diameter \varnothing m must be defined only if the value is differ from the minimum requirements of EN 1992-1-1 8.3.

Annex A - Shape of reinforcement bars

Double-sided:



Example : SM20A-D21-SM20A-1100(400-300)

⁽¹⁾ The Bending angle must be defined in shapes 15, 25, 26 according to Table 3.
Shapes 12, 13, 21 have standard bending angle $\Rightarrow 12, 21 = 90^\circ; 13 = 180^\circ$

Table 2. MODIX Rebar Coupler list examples.

| # | Pcs | MODIX | | Reinforcement bar | | | Dimensions | | | | | Notes ^(A) | |
|------------------|-----|---------------------|---------------------|--------------------------|--------------------|----------|------------|------------|--------|--------|---------------|----------------------|----------|
| | | 1 st end | 2 nd end | Bending shape + End type | \varnothing [mm] | Material | Standard | l_c [mm] | a [mm] | b [mm] | α [mm] | β [mm] | |
| 1 ^(B) | 38 | SM25A | -- | P26 | 25 | B500B | EN 10080 | 1200 | 400 | 500 | 45 | 45 | d200 |
| 2 ^(B) | 5 | SM20A | RM16A | D21 | 20 | B500B | EN 10080 | 1100 | 400 | 300 | 90 | 90 | -- |
| 3 ^(B) | 30 | SM16A | -- | E | 16 | B500B | EN 10080 | 800 | -- | -- | -- | -- | 10x50x50 |

^(A) Additional information can be specified, e.g. if the required mandrel diameter \varnothing_m differs from the standard values specified in Table 5 or custom dimensions of anchor plates are in group E

^(B) Examples

Annex A - Shape of reinforcement bars

Table 3. MODIX rebar Product shape list.

| P - Straight end | D - Double sided | E - End plate | L - Headed stud |
|---|------------------|---------------|-----------------|
| | | | |
| Total length calculation: $l_t = a$ Example of product code: SM25A-E-1200 | | | |
| | | | |
| P12 | D12 | E12 | L12 |
| Total length calculation: $l_t = a + b - \sqrt{d^2 - d_b^2}$ Example of product code: SM25A-P12-1200(500) | | | |
| | | | |
| P13 | D13 | E15 | L15 |
| Total length calculation: $l_t = a + 0.57b + c - 1.57d_b$ or $l_t = 2a + 0.57b - 1.57d_b$ Example of product code: SM25A-D13-SM25A-1200(500-300) | | | |
| | | | |
| P15 | D15 | E15 | L15 |
| Total length calculation: $l_t = a + b$ Example of product code: SM25A-E15-1000(500-(-30)) | | | |
| | | | |
| P21 | D21 | E25 | L25 |
| Total length calculation: $l_t = a + b + c - \frac{1}{2}d - 2d_b$ Example of product code: SM25A-P21-1500(700-600) | | | |
| | | | |
| P25 | D25 | E25 | L25 |
| Total length calculation: $l_t = a + b + c$ Example of product code: SM25A-L25-1500(700-(45)-600-(45)) | | | |
| | | | |
| P26 | D26 | E26 | L26 |
| Total length calculation: $l_t = a + b + c$ Example of product code: SM25A-L26-1500(700-(45)-600-(45)) | | | |

NMB SPLICE-SLEEVE® SYSTEMS



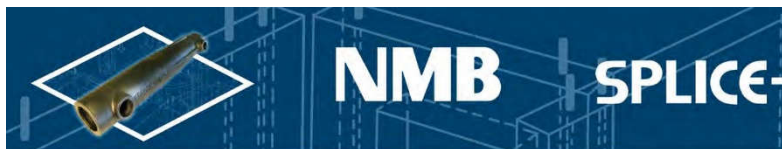
REVISED
2017

The Paramount Tower, San Francisco

Over 30 Million Sold World-Wide



Splice Sleeve North America, Inc.



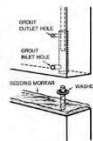
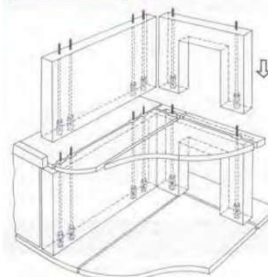
The NMB SPLICE-SLEEVE® is an efficient coupler for splicing reinforcing bars which uses a cylindrical-shaped steel sleeve interior of which is filled with SS MORTAR® grout a cementitious, non-metallic, non-shrink high-early-strength grout. Reinforcing bars to be spliced are inserted into the sleeve to meet approximately at the center of the sleeve. The resulting splices will develop tensile and compressive strengths in excess of the specified minimum for ASTM Grade 60 bars conforming to the ACI Building Code Requirements for both Type 1 and Type 2 conditions.

The NMB SPLICE-SLEEVE® SYSTEM is a proven method for connecting precast reinforced concrete structural members. At the precast plant, the sleeves are embedded precast element on one end of the main reinforcing bars to be connected. The bars protrude from the other end of the precast member. At the building site, the precast members are joined by inserting the protruding bars from the end of one precast member into the sleeves of the adjacent member. The sleeves are then grouted, in effect making the reinforcing bars continuous through the connection.

This is called "Emulation" and the NMB is categorized as an emulative connection for precast systems. (Refer to ACI 550.1R-09 for more information).

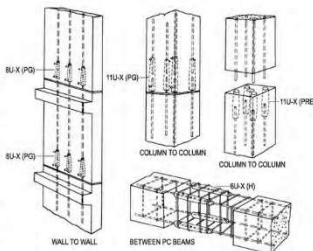
Patented Worldwide

1





The NMB SPLICE-SLEEVE® is particularly appropriate for use in joining vertical precast concrete structural elements (columns and shearwalls). This is because the sleeve can be embedded completely in the precast elements at the manufacturing yard and when the elements are joined in the erection process, there is no need to make a closure pour or to perform other cosmetic patching after the bars are joined. This is sometimes referred to as a "blind" connection. When used in cast-in-place situations, the NMB SPLICE-SLEEVE performs the same function as other mechanical rebar splicing devices, basically that of extending the rebar length.



APPLICATIONS

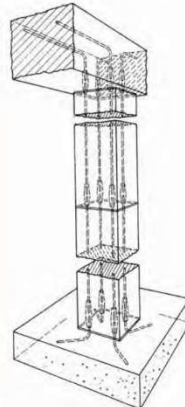
NMB SPLICE-SLEEVES have been used in a number of different applications both in cast-in-place and precast concrete structures.

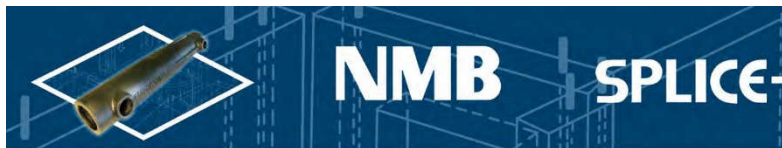
Precast Concrete Connections:

- Column-to-column
- Column-to-beam
- Column-to-foundation
- Beam-to-beam
- Shear wall to shear wall
- Shear wall to foundation
- Elevator and stair cores
- Airport control towers
- Bridge piers and Pier caps
- Caissons
- Large diameter hollow columns

Cast-in-place Concrete Structures:

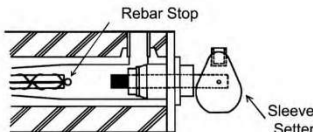
- Connections of prefabricated column reinforcing cages
- Connections of new bars to old in vertical and horizontal rehabilitation work
- Stress relief joints in post-tensioned cast-in-place floor slabs





NMB SPLICE-SLEEVES are installed and held firmly in place in the forms during concrete pouring by means of a Sleeve Setter featuring a fast-acting cam operated locking device.

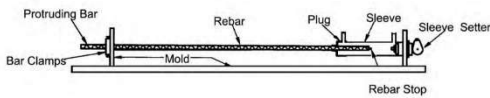
The NMB SPLICE-SLEEVE has an integral Rebar Stop in the mid-portion which assures the specified embedment of the rebar into the sleeve and an optional setscrew to hold the bar in the narrow end.



The uniform exterior dimension of the sleeve permits use of stirrups or hoops of the same size throughout the length of the sleeve.

No special treatment such as threading of rebar ends is required.

NMB SPLICE-SLEEVE can connect bars of the same size or up to two sizes smaller than the sleeve size.



The NMB can be epoxy coated and used to connect epoxy coated bars without removing the coating.





8 Day Bridge – Epping, NH

Salt Lake City – Front Runner Railway

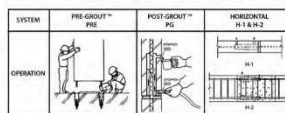
F35 Training Facility ATCT

ERCTION

During erection, precast concrete elements are set into position one of three ways (see diagrams). The rebar dowels projecting from either the foundation or opposite piece are inserted into NMB Splice-Sleeves embedded in the precast element. The wide (field) end of the sleeves is designed larger than the rebar to provide tolerance to accommodate bar misalignment. The sleeve also allows tolerance with inserted rebar length (see chart on Page 5).

If needed, additional tolerance can be gained by "Upsizing" to a bigger sleeve. This can be one or two sizes (max.) bigger than the rebar. Similar to Upsizing, different rebar sizes can be "Transition Spliced" in the NMB Splice-Sleeve (for details see User's Manual). These abilities allow all bars to be quickly mated and grouted simultaneously, saving crane time and speeding erection.

The precast elements are temporarily braced while the grout cures sufficiently in the sleeves. Typically EORs specify 4,000 psi which is comfortably above a yield strength connection. This is achieved in less than 24 hours at 68°F (see chart above), contributing to rapid construction.



| Curing Temp | Compressive Strength (psi) | | | | | |
|-------------|----------------------------|-------|-------|--------|--------|---------|
| | 12 hr | 18 hr | 1 day | 3 days | 7 days | 28 days |
| 41°F 5°C | — | 834 | 1,869 | 5,823 | 8,871 | 13,860 |
| 50°F 10°C | 410 | 1,869 | 2,905 | 6,858 | 9,907 | 14,895 |
| 68°F 20°C | 1,869 | 3,326 | 4,364 | 8,317 | 11,366 | 16,354 |
| 86°F 30°C | 2,905 | 4,364 | 5,399 | 9,352 | 12,401 | 17,389 |
| 104°F 40°C | 3,708 | 5,167 | 6,202 | 10,155 | 13,204 | 18,192 |

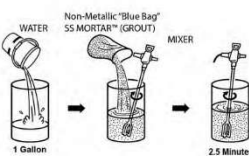
Calculated Strength = calculated from the formula $(4x.758)L \times \text{Cumulative Temperature} - 54.183$

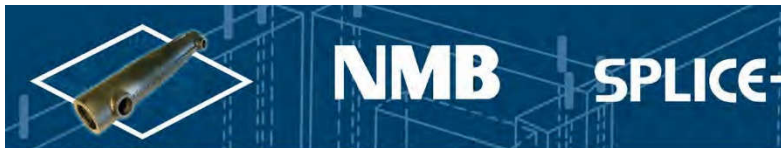
GROUTING

For PRE-GROUT applications, the SS MORTAR grout is simply poured into the sleeve and consolidated before the next precast member is set in position.

For POST-GROUT and HORIZONTAL applications, the grout is pumped into the sleeve by means of a hand-operated pump. With both these systems, grouting operations can be performed after bracing and do not interfere with erection progress.

In total, NMB SPLICE-SLEEVE contributes to speed of construction.





NMB SPLICE-SLEEVE

Steel Specification: The material properties of the NMB Splice Sleeve® iron castings conform to proprietary specification based on ASTM A536-84. The Models 5U-X and 6U-X satisfy the ASTM A536 Grade 65-45-12 [minimum yield and tensile strength of 65,000 and 45,000 psi respectively], Model 7U-X through Model 14U-X, Model A11W, and Model SNX11 satisfy ASTM A536 [Grade 80-55-06] with a Grade of 85-60-06 [minimum yield and tensile strength of 85,000 and 60,000 psi respectively].

Grout Specification: The grout used in the NMB must be non-metallic, "SS Mortar®". Minimum grout strength requirements for ASTM A615 Grade 60 rebars:

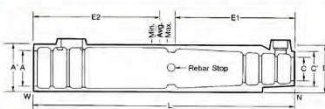
| | | |
|-----------------|------------------------------|-----------|
| Type 2 (ACI)* | (100% Fu = 150% Fy = 90 ksi) | 9,500 psi |
| Type 1 & AASHTO | (125% Fy = 75 ksi) | 6,500 psi |
| Yield Strength | (100% Fy = 60 ksi) | 4,000 psi |

NOTE: to allow for variations in curing, typically cube breaks of 4,000-psi are specified by the EOR for removal of bracing and continued erection.

*Note that for ASTM A706 Grade 60 rebars, 100% of specified tensile equals 133% of specified yield.

| Sleeve No. | Bar Diameter | DIMENSIONS OF NMB SPLICE-SLEEVES* | | | | | | | | RECOMMENDED REBAR EMBEDMENT LENGTH | | | | | |
|------------|--------------|-----------------------------------|--------|--------------------------------|-----------------------|------------------------|----------------------------|-----------------------|------------------------------|------------------------------------|----------------|-------------------------------|----------------|--------------------------------|---------------------------|
| | | ASTM Bar Size | | Steeve Length (L) inch (mm) | Narrow End Diameter | | Max. Dia. (B) inch (mm) | Wide End Diameter | | Factory Dowel (E1) inch (mm) | | Field Dowel (E2) inch (mm) | | SS Mortar lbs. per Sleeve (kg) | |
| | | U.S. | Metric | | I.D. (C) inch (mm) | O.D. (C') inch (mm) | | I.D. (A) inch (mm) | Total Tolerance inch (mm) | O.D. (A') inch (mm) | Min. | Max. | Min. | Avg. | Max. |
| 5U-X | 0.625 | #5 | 16 MM | 9.65 (245) | 0.87 (22) | 1.50 (38) | 1.81 (46) | 1.26 (32) | 0.63 (16) | 1.89 (48) | 4.13 (105) | 4.33 (110) | 4.13 (105) | 4.53 (115) | 4.92 (125) (0.57) |
| 6U-X | 0.750 | #6 | 20 MM | 11.22 (285) | 1.02 (26) | 1.65 (42) | 1.97 (50) | 1.42 (36) | 0.67 (17) | 2.05 (52) | 4.92 (125) | 5.12 (130) | 4.92 (125) | 5.32 (135) (0.80) | 5.71 (145) (1.76) |
| 7U-X | 0.875 | #7 | 22 MM | 12.80 (325) | 1.14 (29) | 1.77 (45) | 2.28 (58) | 1.73 (44) | 0.86 (22) | 2.36 (60) | 5.71 (145) | 5.91 (150) | 5.71 (145) | 6.11 (155) (1.20) | 6.50 (165) (2.65) |
| 8U-X | 1.000 | #8 | 25 MM | 14.57 (370) | 1.30 (33) | 1.93 (49) | 2.48 (63) | 1.89 (48) | 0.89 (23) | 2.52 (64) | 6.50 (165) | 6.69 (170) | 6.50 (165) | 6.99 (178) (1.57) | 7.48 (190) |
| 9U-X | 1.128 | #9 | 28 MM | 16.34 (415) | 1.42 (36) | 2.06 (52) | 2.60 (66) | 2.01 (51) | 0.89 (23) | 2.67 (68) | 7.40 (188) | 7.56 (192) | 7.40 (188) | 7.88 (200) (1.79) | 8.35 (212) (3.95) |
| 10U-X | 1.270 | #10 | 32 MM | 17.91 (455) | 1.57 (40) | 2.28 (58) | 2.80 (71) | 2.16 (55) | 0.89 (23) | 2.87 (73) | 8.19 (208) | 8.35 (212) | 8.19 (208) | 8.66 (220) (2.24) | 9.13 (232) (4.94) |
| 11U-X | 1.410 | #11 | 35 MM | 19.49 (495) | 1.73 (44) | 2.40 (61) | 3.03 (77) | 2.32 (59) | 0.91 (23) | 3.03 (77) | 9.98 (228) | 9.13 (232) | 9.88 (228) | 9.45 (240) (2.73) | 9.92 (252) (6.02) |
| SNX11 | 1.410 | #11 | 35 MM | 19.09 (465) | 1.59 (43) | 3.03 (77) | 3.03 (77) | 2.32 (59) | 0.91 (23) | 3.03 (77) | 8.86 (225) | 9.25 (235) | 8.27 (210) | 8.86 (225) (4.89) | 9.45 (240) (6.89) |
| A11W | 1.410 | #11 | 35 MM | 19.49 (495) | 1.73 (44) | 3.31 (64) | 3.30 (84) | 2.60 (66) | 1.19 (30) | 3.30 (84) | 8.86 (225) | 9.68 (246) | 8.27 (210) | 8.96 (228) (5.52) | 9.50 (241) (7.74) |
| 14U-X | 1.693 | #14 | 40 MM | 24.41 (620) | 2.01 (51) | 2.80 (71) | 3.46 (88) | 2.60 (66) | 0.91 (23) | 3.46 (88) | 11.42 (290) | 11.61 (295) | 11.42 (290) | 11.91 (303) (4.17) | 12.40 (315) (9.19) |
| 18U | 2.257 | #18 | 57 MM | 36.22 (920) | 2.68 (68) | 3.66 (93) | 4.72 (120) | 3.27 (83) | 1.01 (26) | 4.25 (108) | 17.06 (432) | 18.11 (460) | 17.00 (432) | 17.56 (446) (38.11) | 18.11 (460) (25.31) |

**The minimum embedment length for the bars using a larger size sleeve must follow the requirements for the sleeve size, not the bar size. For example, for a #9 bar with #11U-X sleeve, the embedment length must be based upon 11U-X, i.e. the maximum factory dowel (E1) is 9.13"; the maximum field dowel (E2) is 9.92".





NEW PRODUCTS!

SNX11

- US PVC grout tubes
- 3/4" inlet & 1/2" outlet
- Screw in Rubber Plugs
- 9/11 RP for upsizing
- More Tolerance

A11W



How to specify NMB SPLICE-SLEEVES:

SPECIFIC: Show sleeve size and grouting system.

Examples: NMB SPLICE SLEEVE 8U-X(PG), 11U-X (PRE) from Splice Sleeve North America, Inc. Livonia, Michigan.

GENERIC: Mechanical rebar splices by means of grout-filled steel sleeves with frusto-conical geometry into which a non-shrink, high-strength grout is introduced using a low pressure pump, the splice to meet the TYPE 1 or 2 requirements of ACI 318.

AASHTO:

The NMB SPLICE-SLEEVE exceeds the requirements (min. 125%Fy) of the AASHTO, Standard Specification for Highway Bridges, Division I- Design, Section 8.32.2. This article sets down requirements for fatigue design of mechanical connections. The NMB is listed generically as the "Grout-filled sleeve (without threaded ends), with or without epoxy coated rebar", which gains the 18-ksi stress category (highest) under 5 million cycle testing per NCHRP 10-35 methodology.

APPROVAL AND RECOGNITION

- ESR-3433: ICC Evaluation Service, Inc.
- New York State Department of Transportation
- Various U.S. State Department of Transportation
- New York City Board of Standards and Appeals, Calendar No. 329-89-SM
- City of Los Angeles, Departments of Building and Safety, Research Report



Splice Sleeve North America, Inc.
38777 W. Six Mile Road, Suite 205
Livonia, Michigan 48152
For More Information, Call: 734-838-0420
On the Web: www.splicesleeve.com



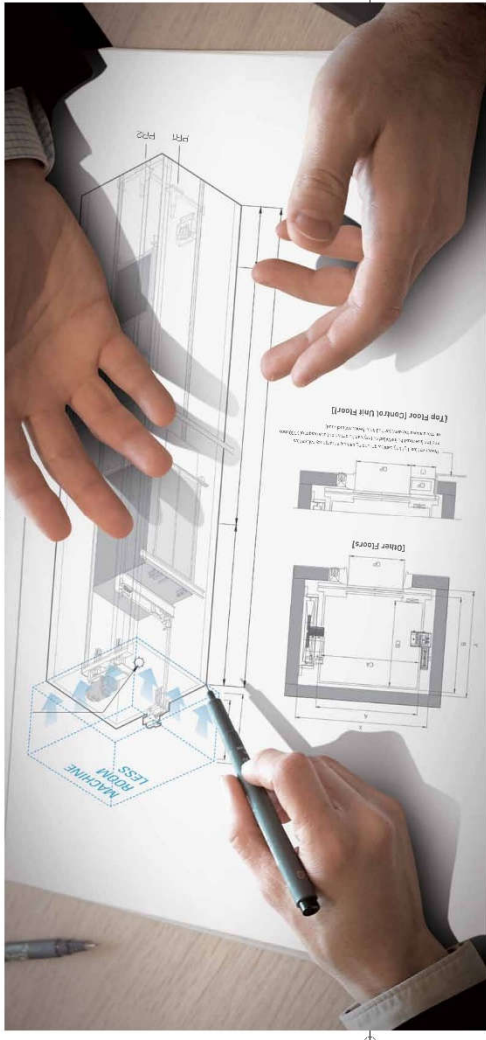
□ YZER I 22F 84.0m

www.yzer.co.kr



YZER I





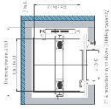
More convenient, more comfortable Elevator that understands people

An elevator that values people and space.
Efficient movement, speed that fits everyone's needs and an interior with no corners.
It's what we do's outstanding gift that achieves a building's soul in a space. It's a weightless "void" space embodied by
Hyundai Elevator's V2ER-L.

Measured pit length (700 mm) and depth (200 mm)
200 mm from bottom of pit floor to top of pit wall
x - width of pit floor (min. 1000 mm)



High-performance, eco-friendly traction
machines
2. A high-energy consumption
drive system designed to
reduce energy consumption
and save costs. The system
uses the direct drive system
of the motor and the integrated
inverter to reduce energy
consumption.



Minimal Space, Maximum Value!

In 1990, Hyundai Lifter introduced the YER, Korea's first VSL Machine Room Less elevator.

In 2013, the company retooled its history with the introduction of the YER I.

By minimizing building size, the YER I reduces capital investment while increasing customer value.



Enhanced Safety through Application

Aftermarket Standards

• A wide range of safety options are available



Simple Installation, Fast Delivery

As part of machine room less system

• Easy to install

• Short delivery period

• Short construction period

• Short installation period

• Short maintenance period

• Short commissioning period



Low Volume in Construction Design and Installation

Machine room less system

• Low volume in construction

• Low volume in installation

• Low volume in maintenance

• Low volume in inspection

• Low volume in decommissioning

• Low volume in disposal

• Low volume in storage

• Low volume in transportation

• Low volume in handling

• Low volume in assembly

• Low volume in dismantling

• Low volume in transport

• Low volume in storage

• Low volume in handling

• Low volume in assembly

• Low volume in dismantling

• Low volume in transport

• Low volume in storage

• Low volume in handling

• Low volume in assembly

• Low volume in dismantling

• Low volume in transport

• Low volume in storage

• Low volume in handling

• Low volume in assembly

• Low volume in dismantling

• Low volume in transport

• Low volume in storage

• Low volume in handling

• Low volume in assembly

• Low volume in dismantling

• Low volume in transport

• Low volume in storage

• Low volume in handling

• Low volume in assembly

• Low volume in dismantling

• Low volume in transport

• Low volume in storage

• Low volume in handling

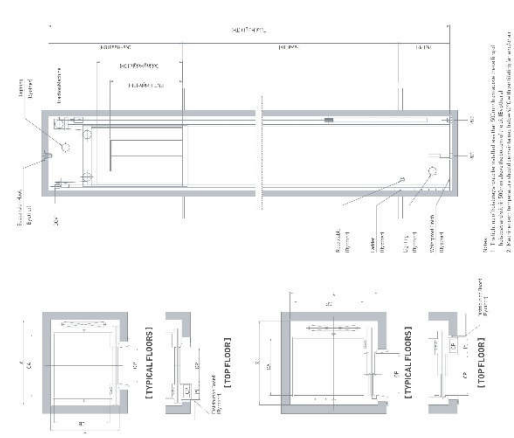
• Low volume in assembly

• Low volume in dismantling

Hoistway Plan and Section

YER has been designed to accommodate standard machine room less system. It can be used in a standard framework of Worlcom, Schindler or Schiffsberg design. Standard dimensions of the user hall support requirements in various main areas.

Layout of Hoistway



1. Full width hoistway can be used for the 2000kg capacity model.

2. Standard dimensions of the user hall support requirements in various main areas.

3. Standard dimensions of the user hall support requirements in various main areas.



Technical Data

Works to Be Done by Others

| Species | Number of individuals | |
|---|-----------------------|-----|-----------------------|-----|-----------------------|-----|-----------------------|-----|
| | Mean | SD | Mean | SD | Mean | SD | Mean | SD |
| <i>Arctozenus rufus</i> | | | | | | | | |
| ♂ | 1.0 | 0.0 | 1.0 | 0.0 | 1.0 | 0.0 | 1.0 | 0.0 |
| ♀ | 1.0 | 0.0 | 1.0 | 0.0 | 1.0 | 0.0 | 1.0 | 0.0 |
| <i>Calathus fuscipes</i> | | | | | | | | |
| ♂ | 1.0 | 0.0 | 1.0 | 0.0 | 1.0 | 0.0 | 1.0 | 0.0 |
| ♀ | 1.0 | 0.0 | 1.0 | 0.0 | 1.0 | 0.0 | 1.0 | 0.0 |
| <i>C. ruficollis</i> | | | | | | | | |
| ♂ | 1.0 | 0.0 | 1.0 | 0.0 | 1.0 | 0.0 | 1.0 | 0.0 |
| ♀ | 1.0 | 0.0 | 1.0 | 0.0 | 1.0 | 0.0 | 1.0 | 0.0 |
| <i>C. ruficollis</i> + <i>C. fuscipes</i> | | | | | | | | |
| ♂ | 1.0 | 0.0 | 1.0 | 0.0 | 1.0 | 0.0 | 1.0 | 0.0 |
| ♀ | 1.0 | 0.0 | 1.0 | 0.0 | 1.0 | 0.0 | 1.0 | 0.0 |
| <i>C. ruficollis</i> + <i>A. rufus</i> | | | | | | | | |
| ♂ | 1.0 | 0.0 | 1.0 | 0.0 | 1.0 | 0.0 | 1.0 | 0.0 |
| ♀ | 1.0 | 0.0 | 1.0 | 0.0 | 1.0 | 0.0 | 1.0 | 0.0 |
| <i>C. ruficollis</i> + <i>C. fuscipes</i> + <i>A. rufus</i> | | | | | | | | |
| ♂ | 1.0 | 0.0 | 1.0 | 0.0 | 1.0 | 0.0 | 1.0 | 0.0 |
| ♀ | 1.0 | 0.0 | 1.0 | 0.0 | 1.0 | 0.0 | 1.0 | 0.0 |

Works to Be Done by Others

WILHELM WOLFGANG KÖHLER / 283

Preliminary Results

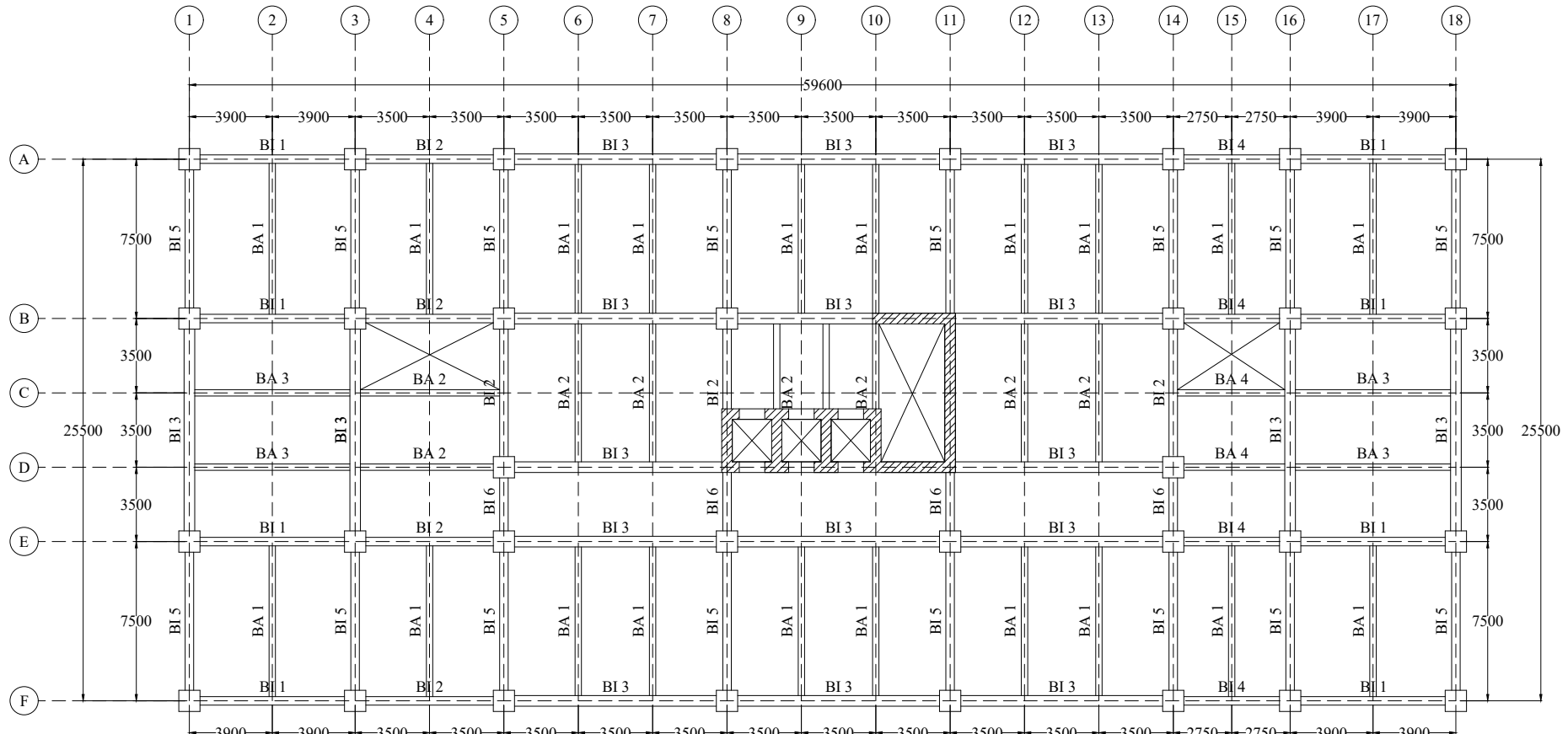
Power Supply Plan

Power supply plan for the system consists of two main components:

- **External power source:** A 12V DC power adapter is used to provide power to the Arduino Uno R3 board.
- **Internal power source:** A 5V DC LDO regulator is used to step down the 12V input to 5V for the ESP32 module.

The total power consumption of the system is approximately 1.5W.

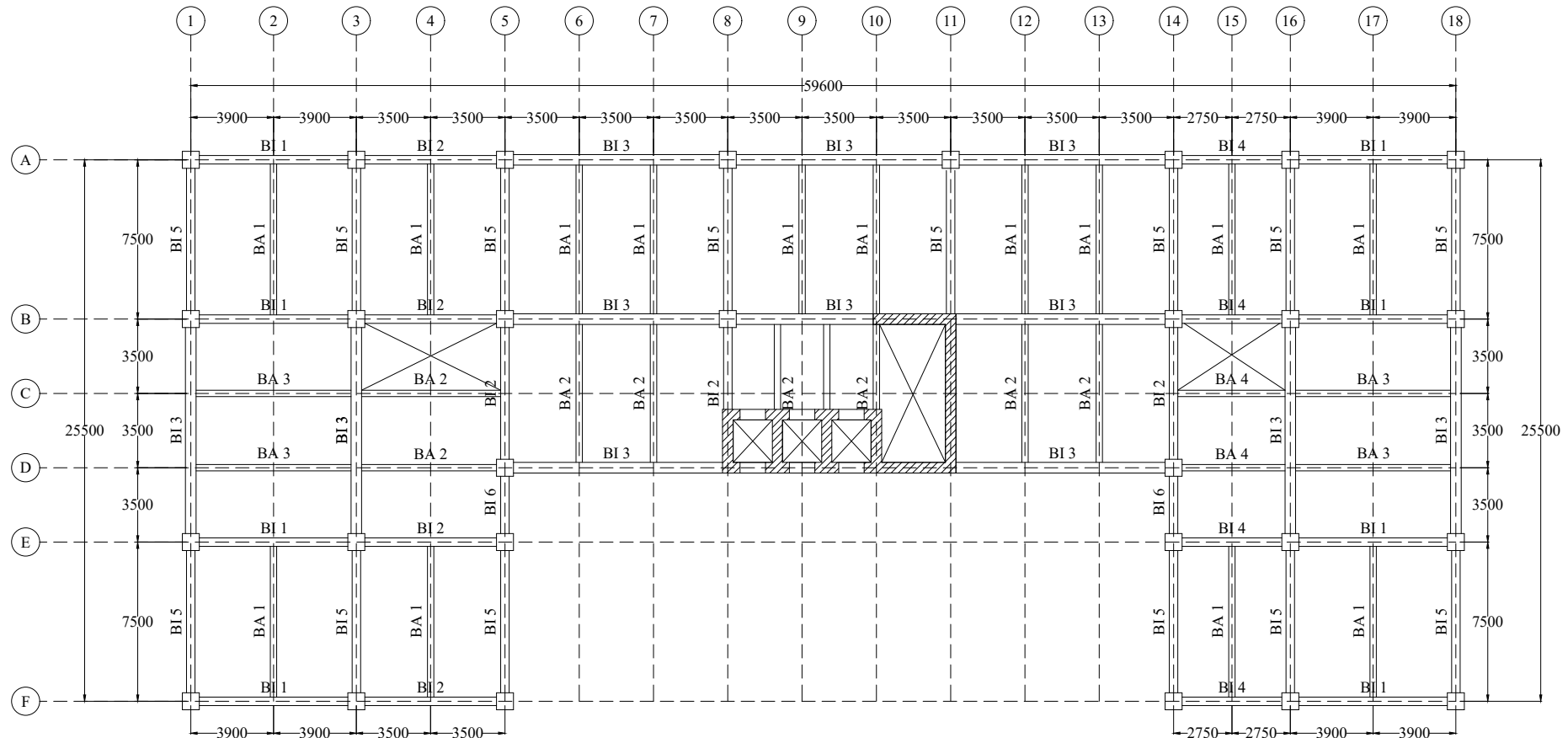
• *Wingfield et al.* • *Developmental Changes in the Human Brain* • *J. Neurosci., Vol. 30, No. 10, March 24, 2010 • 3093–3106*



| Balok Induk | | | Balok Anak | | |
|-------------|------|--------------------|------------|------|--------------------|
| No. | Tipe | Dimensi Balok (mm) | No. | Tipe | Dimensi Balok (mm) |
| 1 | BI1 | 400x700 | 1 | BA1 | 300x550 |
| 2 | BI2 | 400x700 | 2 | BA2 | 300x550 |
| 3 | BI3 | 500x750 | 3 | BA3 | 300x550 |
| 4 | BI4 | 400x700 | 4 | BA4 | 300x550 |
| 5 | BI5 | 400x700 | | | |
| 6 | BI6 | 400x700 | | | |

DENAH BALOK LT.1 - LT.5
SKALA 1:300

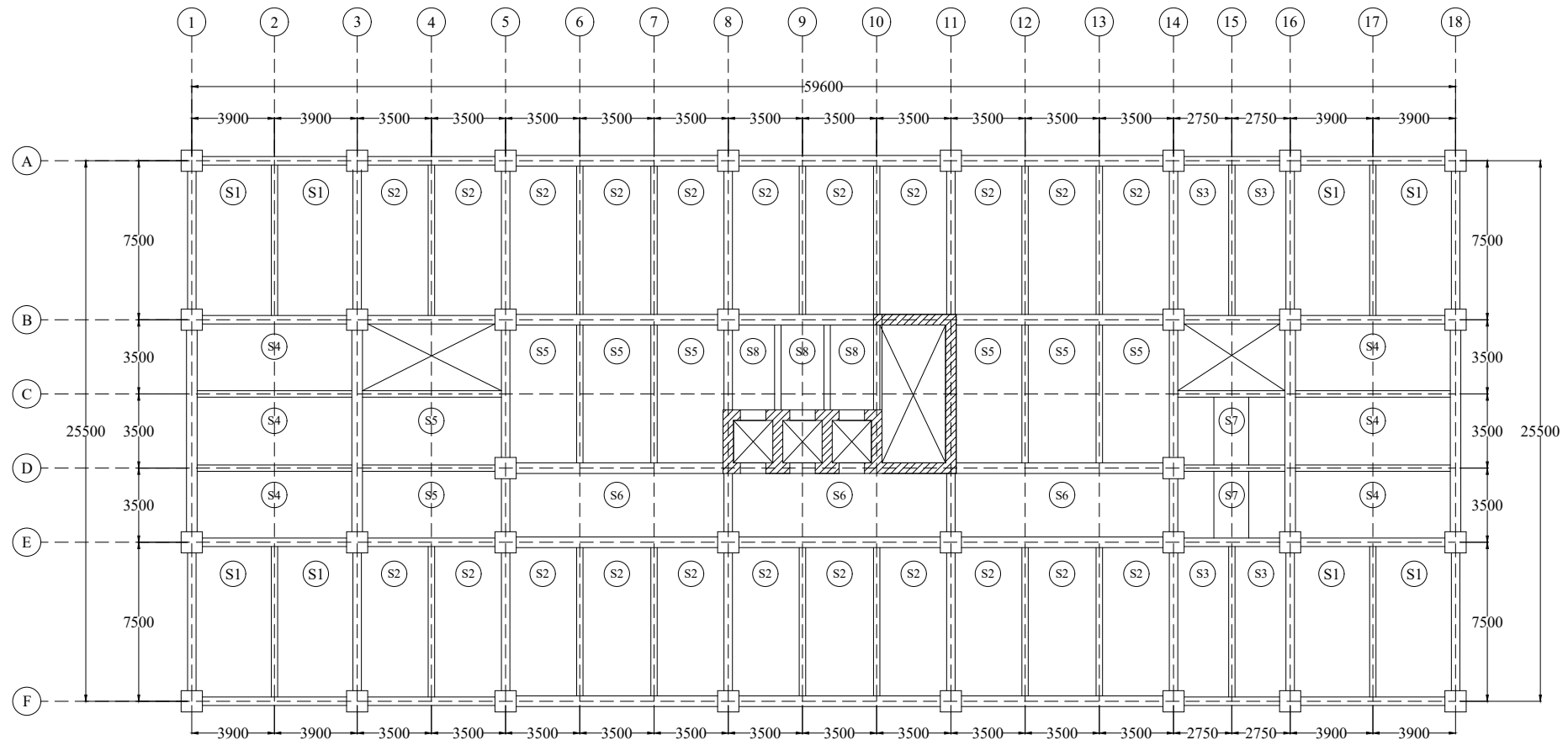




| Balok Induk | | | Balok Anak | | |
|-------------|------|--------------------|------------|------|--------------------|
| No. | Tipe | Dimensi Balok (mm) | No. | Tipe | Dimensi Balok (mm) |
| 1 | BI1 | 400x700 | 1 | BA1 | 300x550 |
| 2 | BI2 | 400x700 | 2 | BA2 | 300x550 |
| 3 | BI3 | 500x750 | 3 | BA3 | 300x550 |
| 4 | BI4 | 400x700 | 4 | BA4 | 300x550 |
| 5 | BI5 | 400x700 | | | |
| 6 | BI6 | 400x700 | | | |

DENAH BALOK LT.6 - LT.12
SKALA 1:300

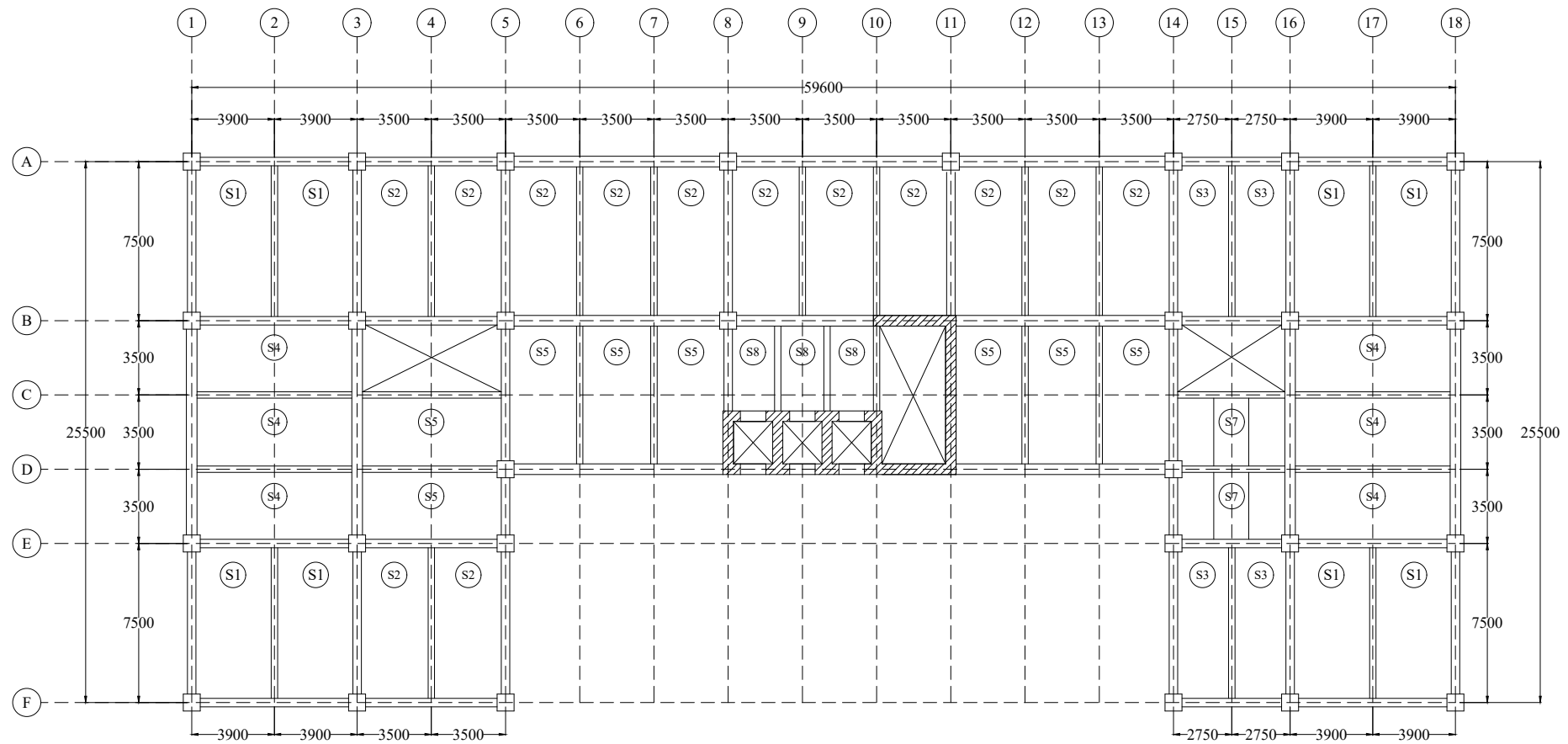




| Pelat | | | Pelat | | |
|-------|------|--------------------|-------|------|--------------------|
| No. | Tipe | Dimensi Pelat (mm) | No. | Tipe | Dimensi Pelat (mm) |
| 1 | S1 | 3900x7500 | 5 | S5 | 3500x7000 |
| 2 | S2 | 3500x7500 | 6 | S6 | 3500x10500 |
| 3 | S3 | 2750x7500 | 7 | S7 | 3500x7500 |
| 4 | S4 | 3500x7800 | 8 | S8 | 2350x7000 |

DENAH PELAT LT.1 - LT.5
SKALA 1:300

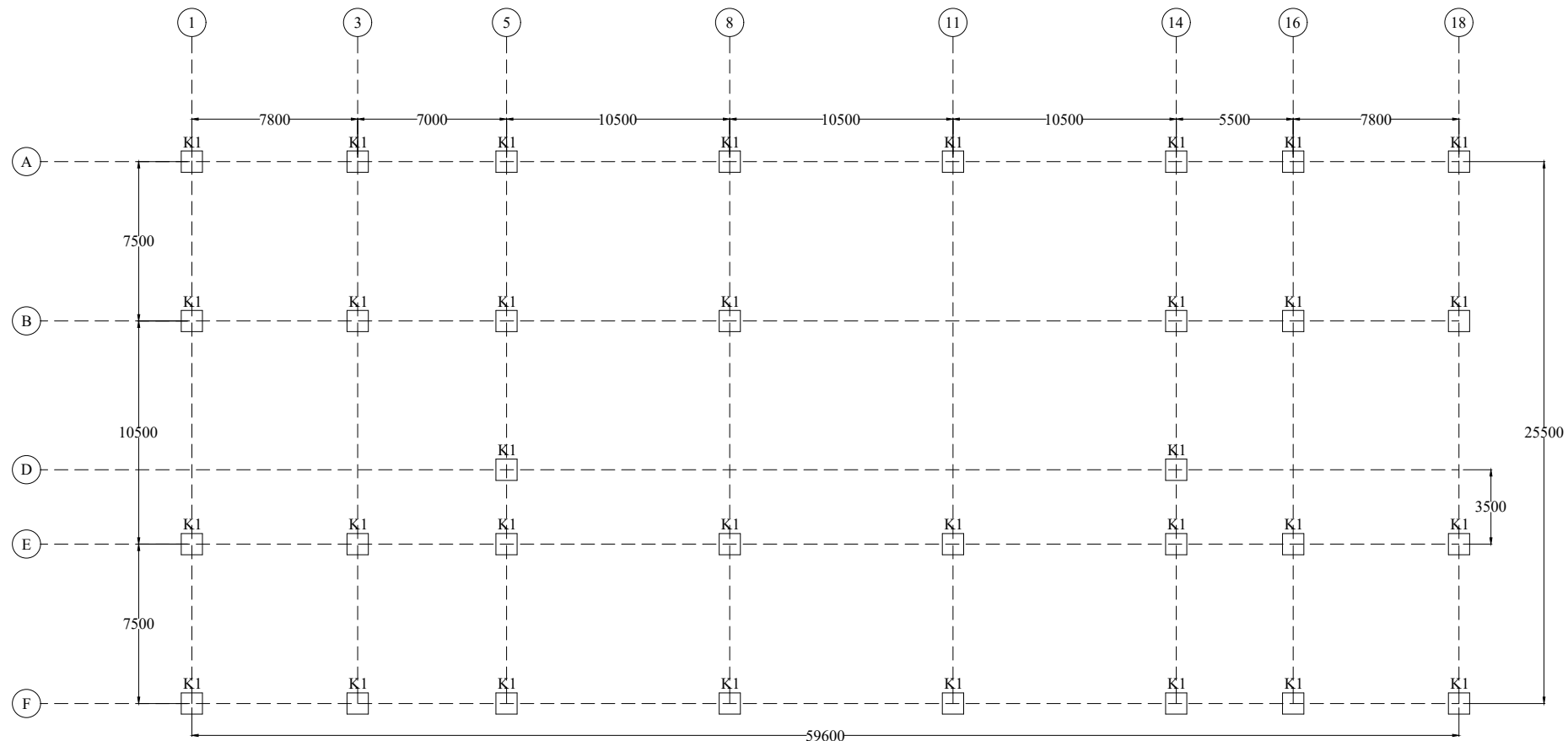




| Pelat | | | Pelat | | |
|-------|------|--------------------|-------|------|--------------------|
| No. | Tipe | Dimensi Pelat (mm) | No. | Tipe | Dimensi Pelat (mm) |
| 1 | S1 | 3900x7500 | 5 | S5 | 3500x7000 |
| 2 | S2 | 3500x7500 | 6 | S6 | 3500x10500 |
| 3 | S3 | 2750x7500 | 7 | S7 | 3500x7500 |
| 4 | S4 | 3500x7800 | 8 | S8 | 2350x7000 |

DENAH PELAT LT.6 - LT.12
SKALA 1:300

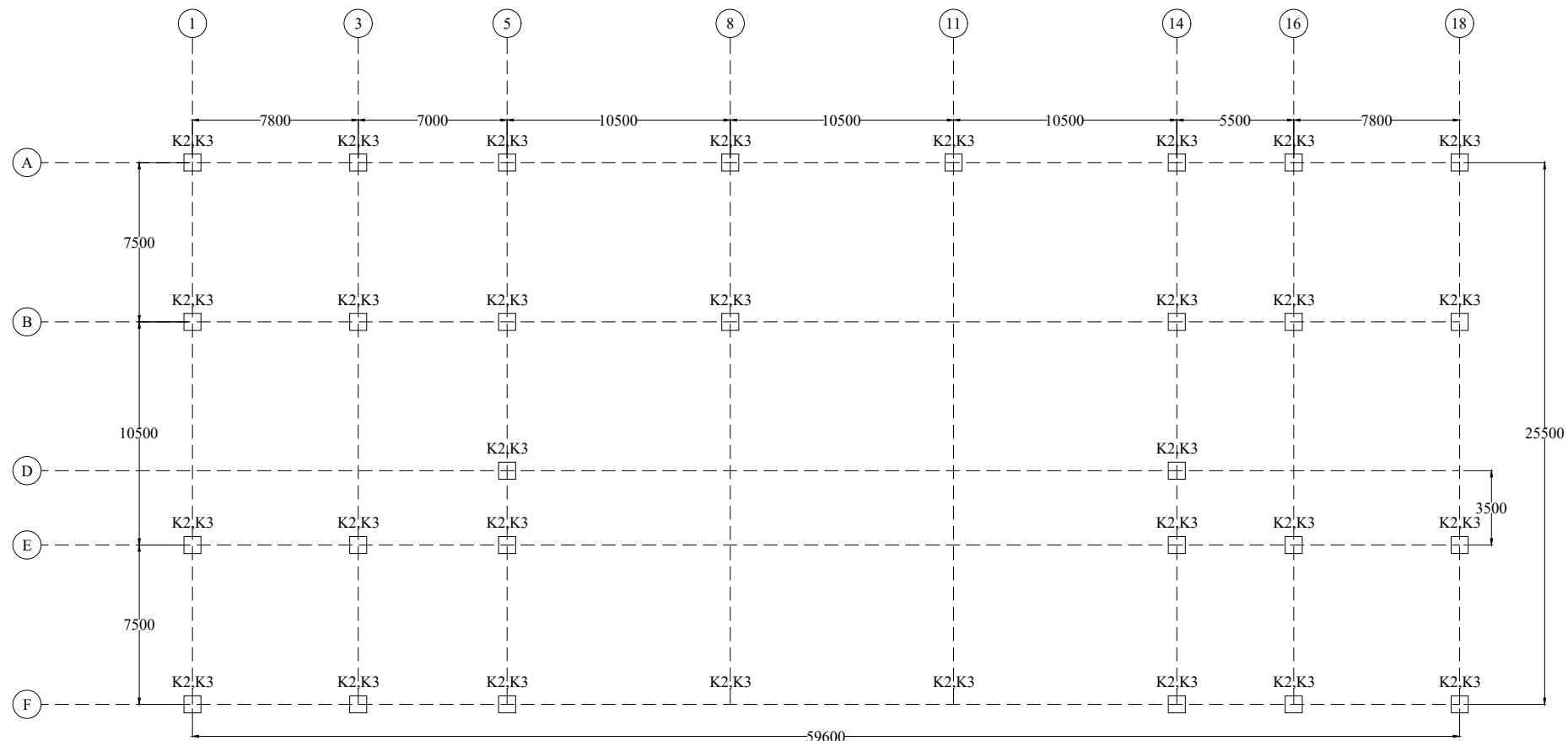




| Kolom | | |
|-------|------|--------------------|
| No. | Tipe | Dimensi Pelat (mm) |
| 1 | K1 | 1000x1000 |
| 2 | K2 | 800x800 |
| 3 | K3 | 800x800 |

DENAH KOLOM LT.1 - LT.5
SKALA 1:300

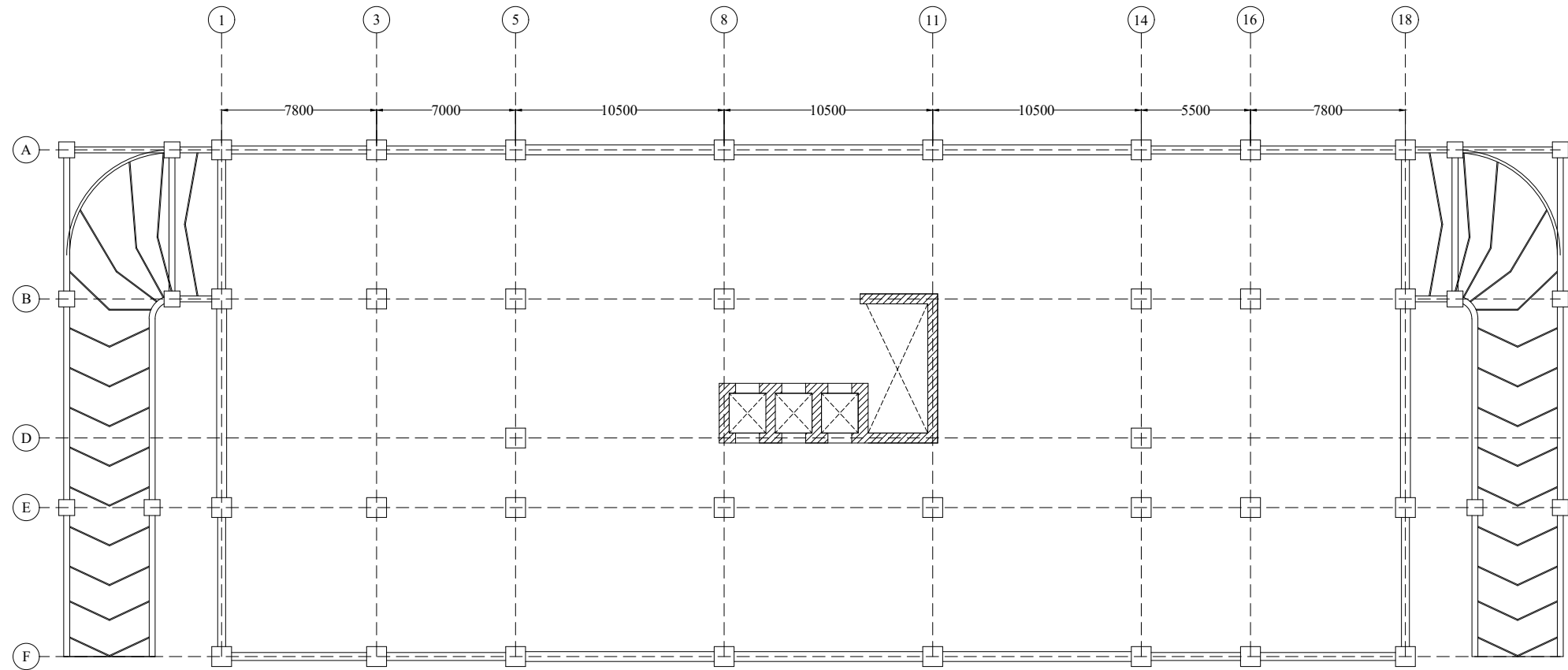




| Kolom | | |
|-------|------|--------------------|
| No. | Tipe | Dimensi Pelat (mm) |
| 1 | K1 | 1000x1000 |
| 2 | K2 | 800x800 |
| 3 | K3 | 800x800 |

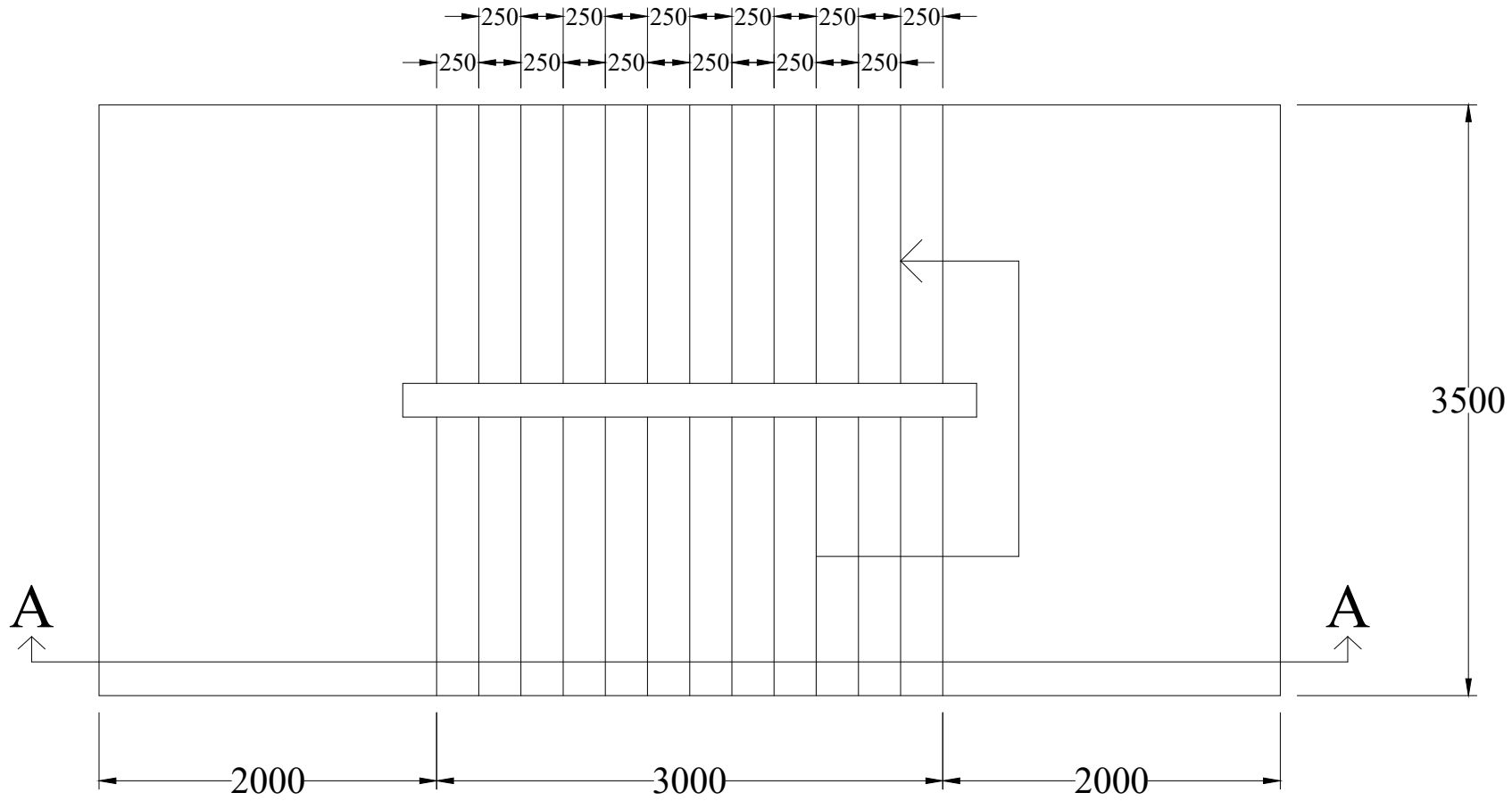
DENAH KOLOM LT.6 - LT.12
SKALA 1:300



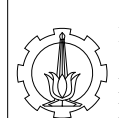


DENAH PELAT BASEMENT
SKALA 1:300

| INSTITUT TEKNOLOGI SEPULUH NOPEMBER FTSLK DEPARTEMEN TEKNIK SIPIL | JUDUL TUGAS AKHIR DESAIN MODIFIKASI GEDUNG APARTEMEN TOWER 2 THE ARUNDAYA SURABAYA DENGAN MENGGUNAKAN METODE BETON PRACETAK DAN DUAL SYSTEM SESUAI ACI 318M-14 | DOSEN PEMBIMBING Prof. Tavio, S.T., M.T., Ph.D. Dr. Ir. Djoko Irawan, M.S. | MAHASISWA Vinson Intar Zakaria (03111540000057) | JUDUL GAMBAR DENAH PELAT BASEMENT | NO / TOTAL LEMBAR 07 / 44 |
|--|--|--|---|---|----------------------------------|
|--|--|--|---|---|----------------------------------|



DENAH TANGGA
SKALA 1:40



INSTITUT TEKNOLOGI
SEPULUH NOPEMBER
FTSLK
DEPARTEMEN TEKNIK SIPIL

JUDUL TUGAS AKHIR

DESAIN MODIFIKASI GEDUNG APARTEMEN
TOWER 2 THE ARUNDAYA SURABAYA DENGAN
MENGGUNAKAN METODE BETON PRACETAK
DAN *DUAL SYSTEM* SESUAI ACI 318M-14

DOSEN PEMBIMBING

Prof. Tavio, S.T., M.T., Ph.D.
Dr. Ir. Djoko Irawan, M.S.

MAHASISWA

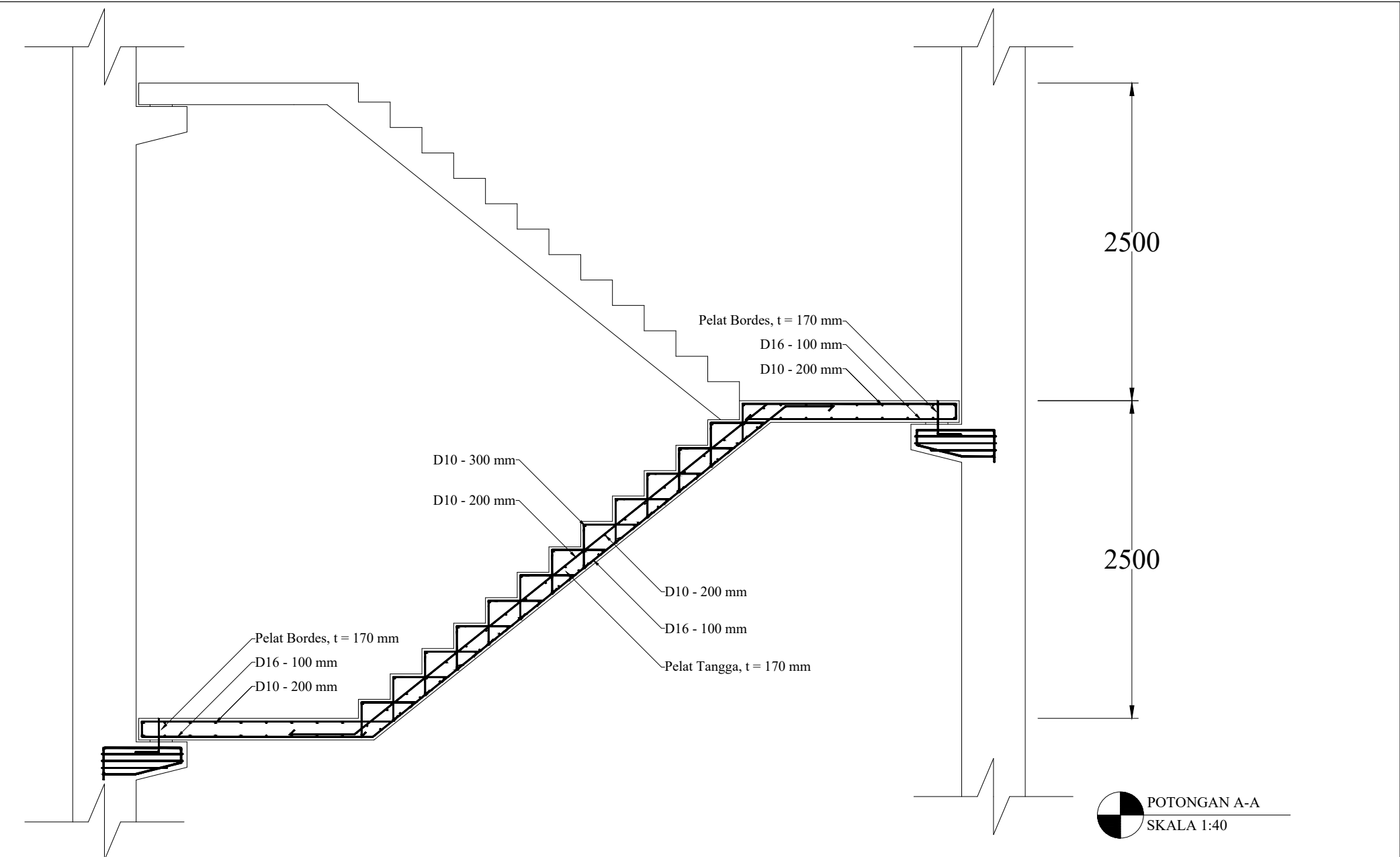
Vinson Intar Zakaria
(03111540000057)

JUDUL GAMBAR

DENAH
TANGGA

NO / TOTAL LEMBAR

08 / 44



INSTITUT TEKNOLOGI
SEPULUH NOPEMBER
FTSLK
DEPARTEMEN TEKNIK SIPIL

JUDUL TUGAS AKHIR

DESAIN MODIFIKASI GEDUNG APARTEMEN
TOWER 2 THE ARUNDAYA SURABAYA DENGAN
MENGGUNAKAN METODE BETON PRACETAK
DAN DUAL SYSTEM SESUAI ACI 318M-14

DOSEN PEMBIMBING

Prof. Tavio, S.T., M.T., Ph.D.
Dr. Ir. Djoko Irawan, M.S.

MAHASISWA

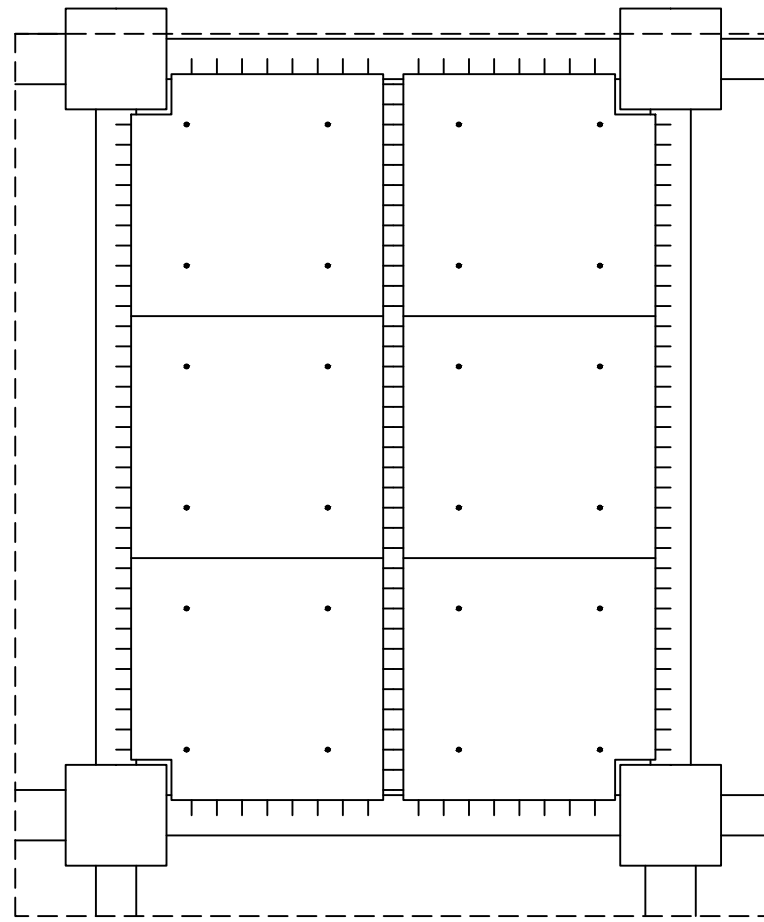
Vinson Intar Zakaria
(03111540000057)

JUDUL GAMBAR

POTONGAN
A-A

NO / TOTAL LEMBAR

09 / 44



DETAIL PELAT TIPE 3
SKALA 1:75



INSTITUT TEKNOLOGI
SEPULUH NOPEMBER
FTSLK
DEPARTEMEN TEKNIK SIPIL

JUDUL TUGAS AKHIR

DESAIN MODIFIKASI GEDUNG APARTEMEN
TOWER 2 THE ARUNDAYA SURABAYA DENGAN
MENGGUNAKAN METODE BETON PRACETAK
DAN DUAL SYSTEM SESUAI ACI 318M-14

DOSEN PEMBIMBING

Prof. Tavio, S.T., M.T., Ph.D.
Dr. Ir. Djoko Irawan, M.S.

MAHASISWA

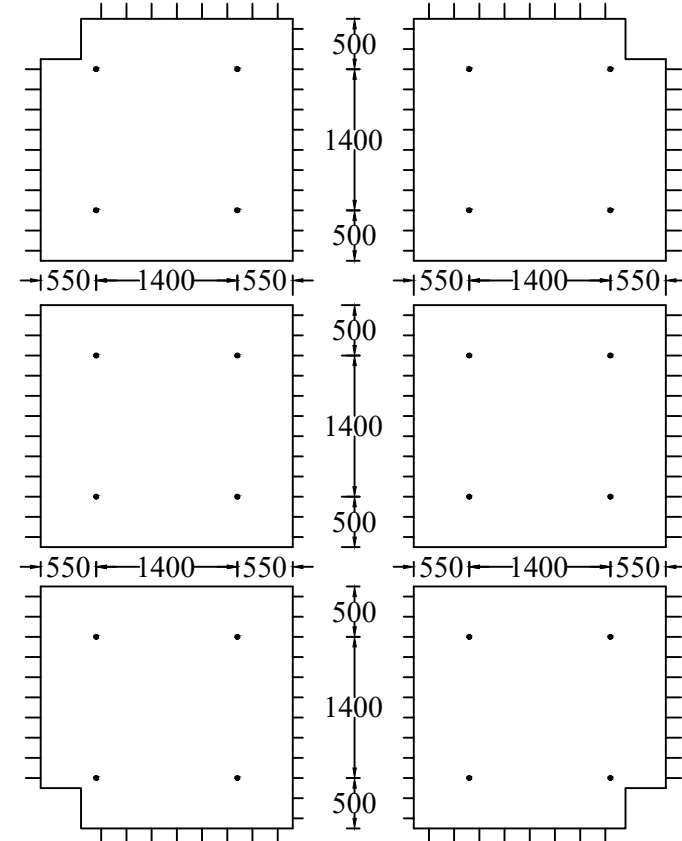
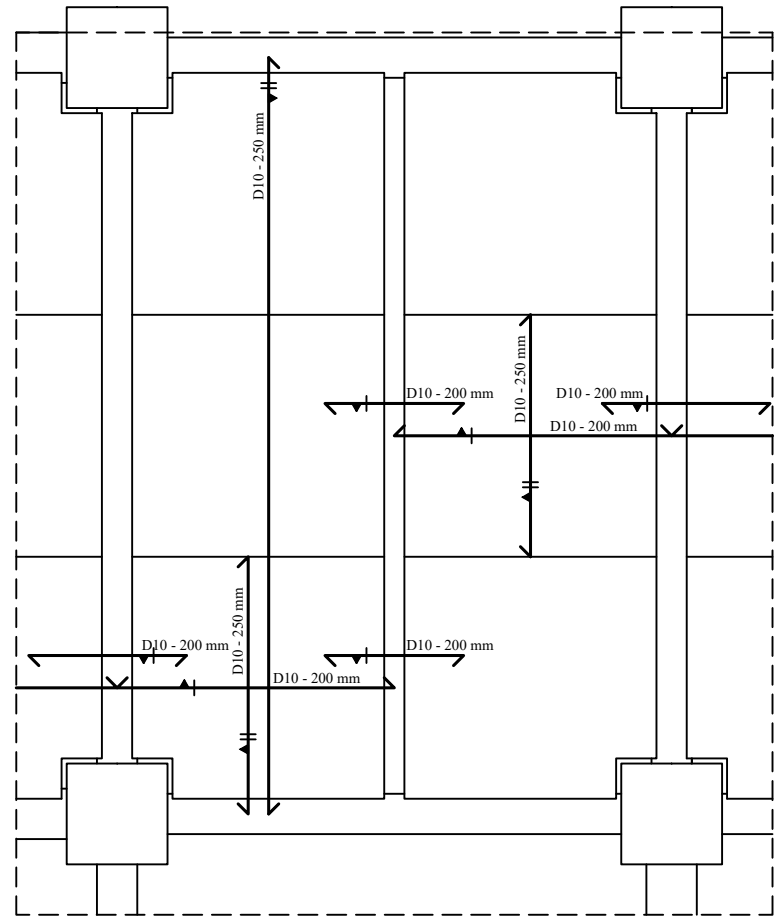
Vinson Intar Zakaria
(03111540000057)

JUDUL GAMBAR

DETAIL PELAT

NO / TOTAL LEMBAR

10 / 44



 DETAIL PELAT TIPE 3
SKALA 1:75



INSTITUT TEKNOLOGI
SEPULUH NOPEMBER
FTSLK
DEPARTEMEN TEKNIK SIPIL

JUDUL TUGAS AKHIR

DESAIN MODIFIKASI GEDUNG APARTEMEN
TOWER 2 THE ARUNDAYA SURABAYA DENGAN
MENGGUNAKAN METODE BETON PRACETAK
DAN DUAL SYSTEM SESUAI ACI 318M-14

DOSEN PEMBIMBING

Prof. Tavio, S.T., M.T., Ph.D.
Dr. Ir. Djoko Irawan, M.S.

MAHASISWA

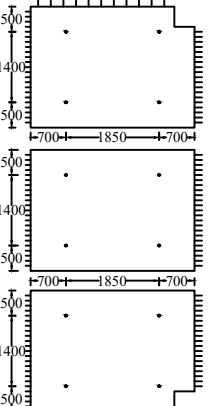
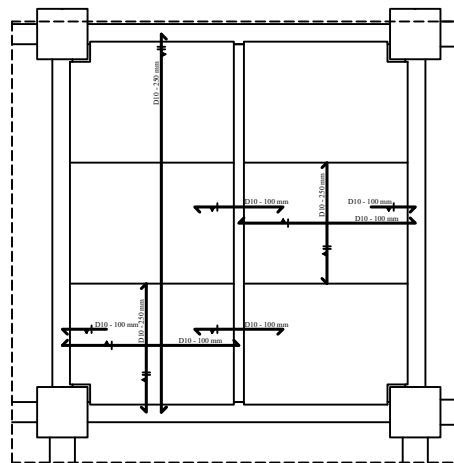
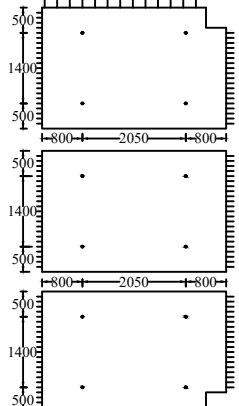
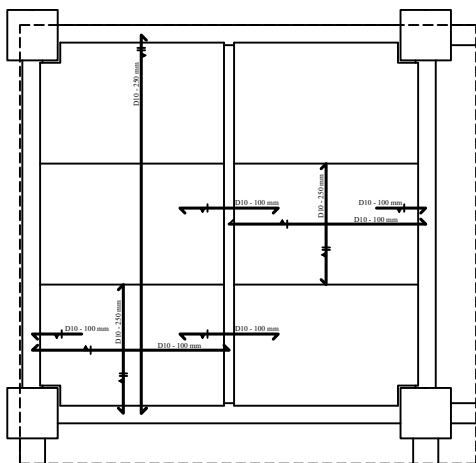
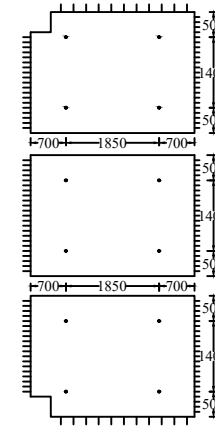
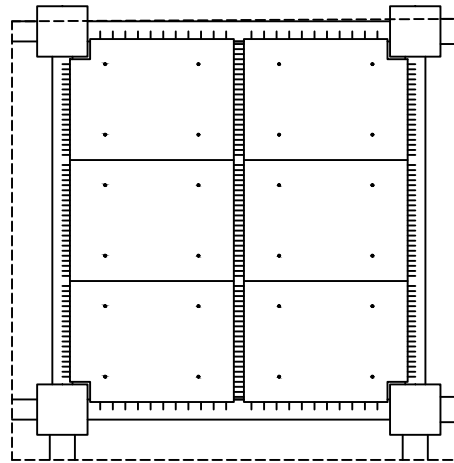
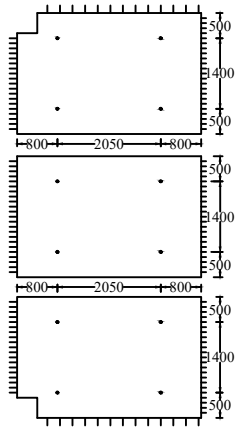
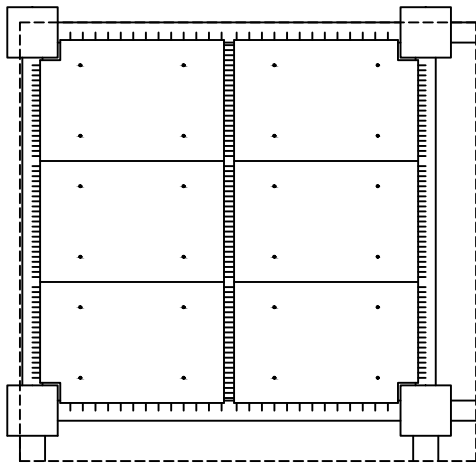
Vinson Intar Zakaria
(03111540000057)

JUDUL GAMBAR

DETAIL PELAT

NO / TOTAL LEMBAR

11 / 44



DETAIL PELAT TIPE 1
SKALA 1:150

DETAIL PELAT TIPE 2
SKALA 1:150



INSTITUT TEKNOLOGI
SEPULUH NOPEMBER
FTSLK
DEPARTEMEN TEKNIK SIPIL

JUDUL TUGAS AKHIR

DESAIN MODIFIKASI GEDUNG APARTEMEN
TOWER 2 THE ARUNDAYA SURABAYA DENGAN
MENGGUNAKAN METODE BETON PRACETAK
DAN DUAL SYSTEM SESUAI ACI 318M-14

DOSEN PEMBIMBING

Prof. Tavio, S.T., M.T., Ph.D.
Dr. Ir. Djoko Irawan, M.S.

MAHASISWA

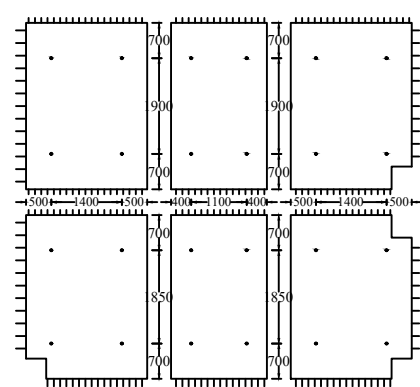
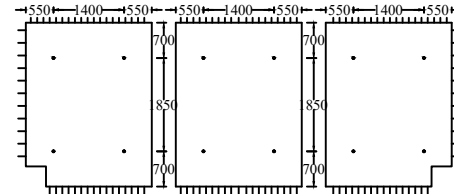
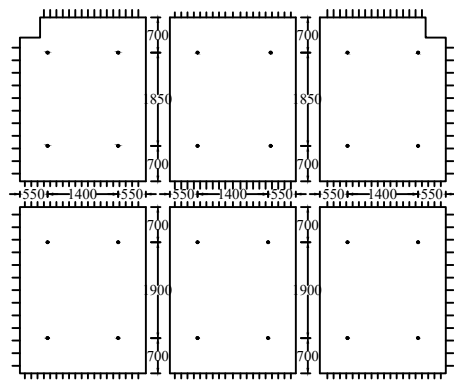
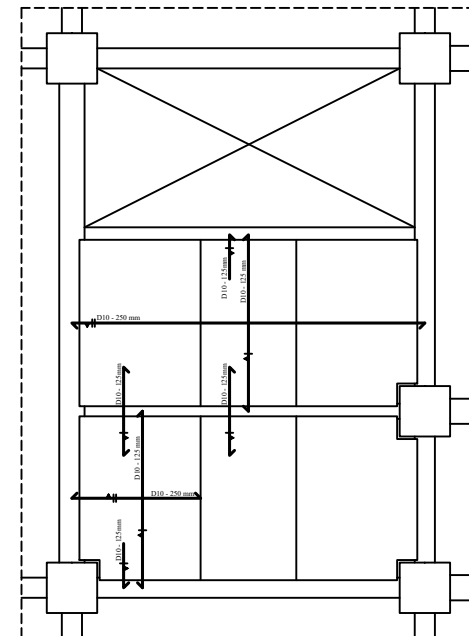
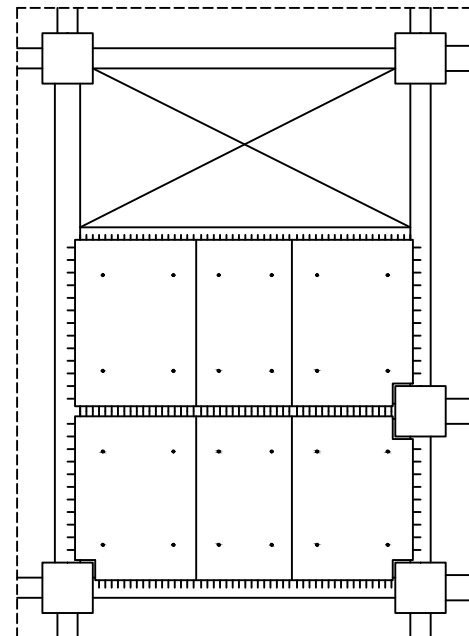
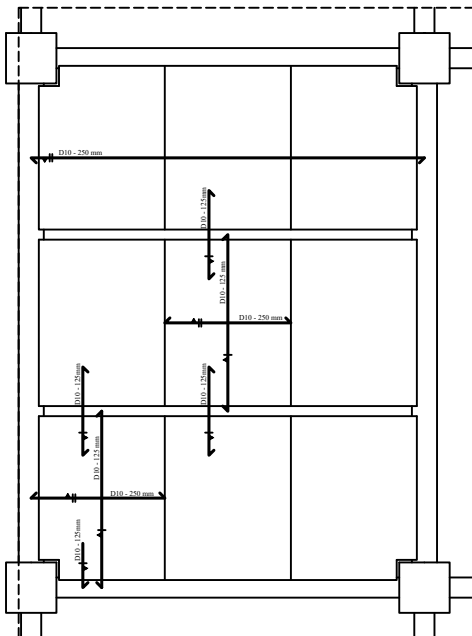
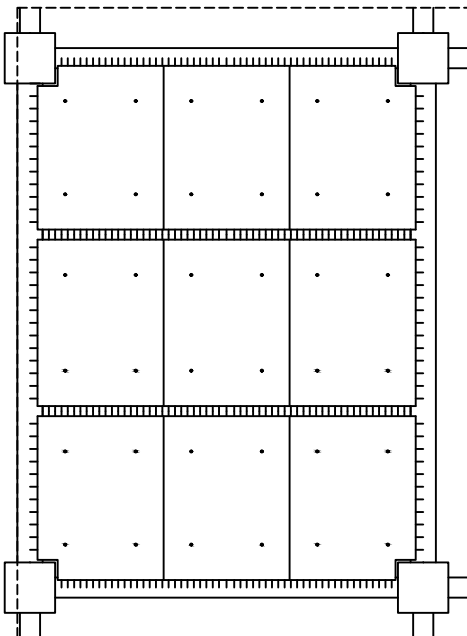
Vinson Intar Zakaria
(03111540000057)

JUDUL GAMBAR

DETAIL PELAT

NO / TOTAL LEMBAR

12 / 44



DETAIL PELAT TIPE 4
SKALA 1:150

DETAIL PELAT TIPE 5
SKALA 1:150



INSTITUT TEKNOLOGI
SEPULUH NOPEMBER
FTSLK
DEPARTEMEN TEKNIK SIPIL

JUDUL TUGAS AKHIR

DESAIN MODIFIKASI GEDUNG APARTEMEN
TOWER 2 THE ARUNDAYA SURABAYA DENGAN
MENGGUNAKAN METODE BETON PRACETAK
DAN DUAL SYSTEM SESUAI ACI 318M-14

DOSEN PEMBIMBING

Prof. Tavio, S.T., M.T., Ph.D.
Dr. Ir. Djoko Irawan, M.S.

MAHASISWA

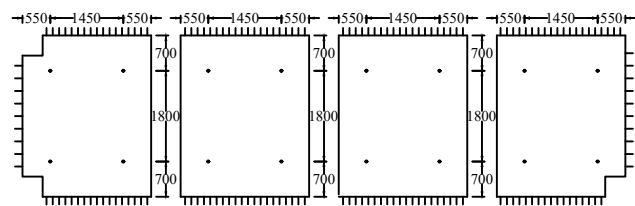
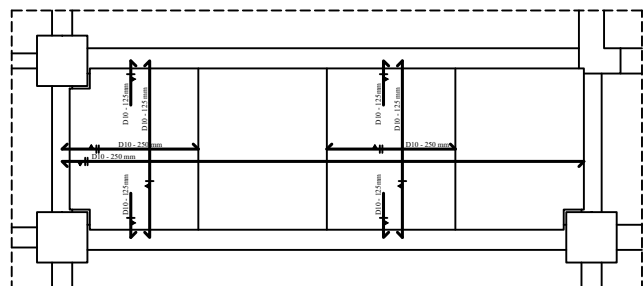
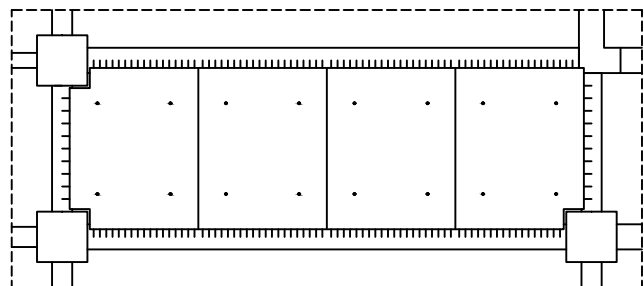
Vinson Intar Zakaria
(03111540000057)

JUDUL GAMBAR

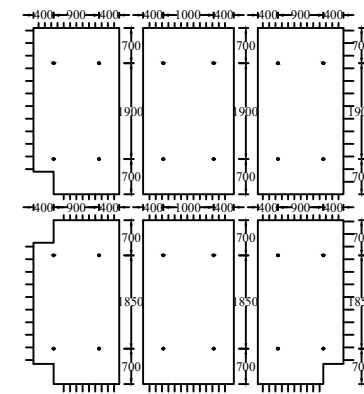
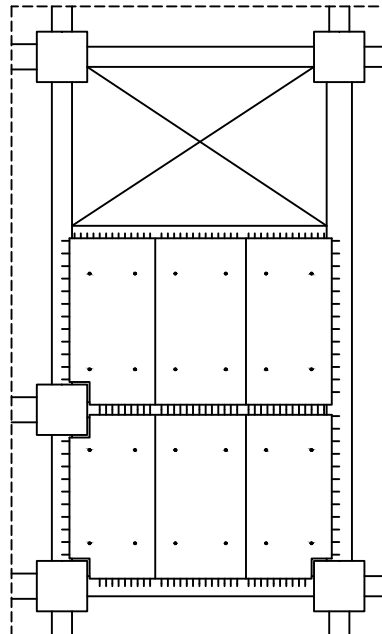
DETAIL PELAT

NO / TOTAL LEMBAR

13 / 44



DETAIL PELAT TIPE 6
SKALA 1:150



DETAIL PELAT TIPE 7
SKALA 1:150



INSTITUT TEKNOLOGI
SEPULUH NOPEMBER
FTSLK
DEPARTEMEN TEKNIK SIPIL

JUDUL TUGAS AKHIR

DESAIN MODIFIKASI GEDUNG APARTEMEN
TOWER 2 THE ARUNDAYA SURABAYA DENGAN
MENGGUNAKAN METODE BETON PRACETAK
DAN DUAL SYSTEM SESUAI ACI 318M-14

DOSEN PEMBIMBING

Prof. Tavio, S.T., M.T., Ph.D.
Dr. Ir. Djoko Irawan, M.S.

MAHASISWA

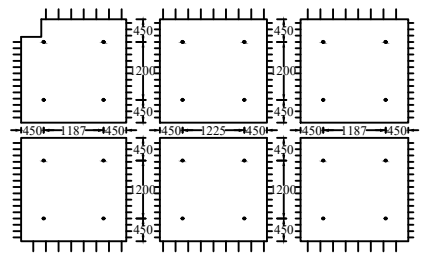
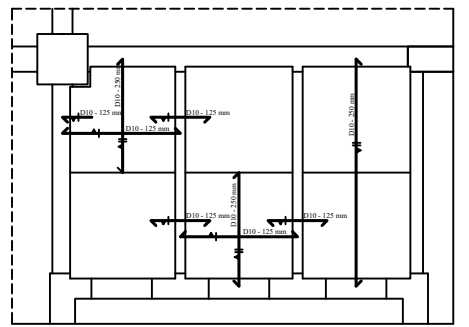
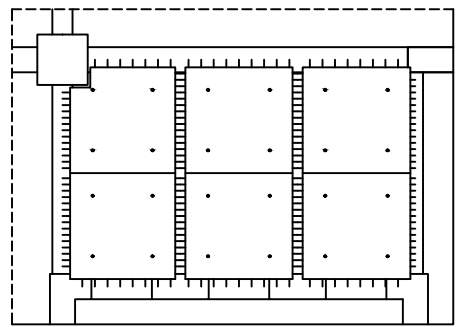
Vinson Intar Zakaria
(03111540000057)

JUDUL GAMBAR

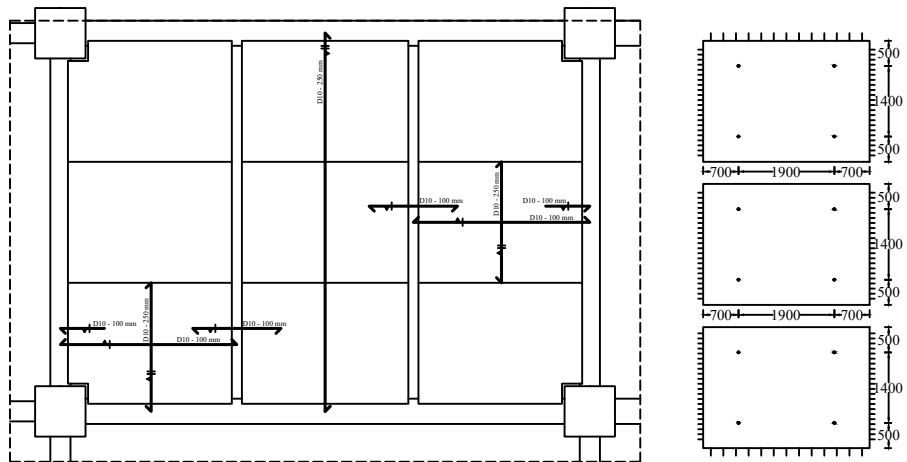
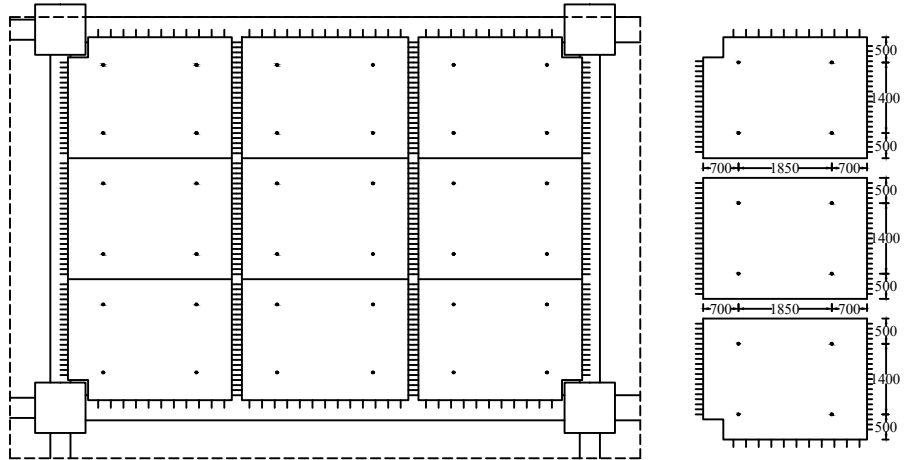
DETAIL PELAT

NO / TOTAL LEMBAR

14 / 44



DETAIL PELAT TIPE 8
SKALA 1:150



DETAIL PELAT TIPE 2.1
SKALA 1:150



INSTITUT TEKNOLOGI
SEPULUH NOPEMBER
FTSLK
DEPARTEMEN TEKNIK SIPIL

JUDUL TUGAS AKHIR

DESAIN MODIFIKASI GEDUNG APARTEMEN
TOWER 2 THE ARUNDAYA SURABAYA DENGAN
MENGGUNAKAN METODE BETON PRACETAK
DAN DUAL SYSTEM SESUAI ACI 318M-14

DOSEN PEMBIMBING

Prof. Tavio, S.T., M.T., Ph.D.
Dr. Ir. Djoko Irawan, M.S.

MAHASISWA

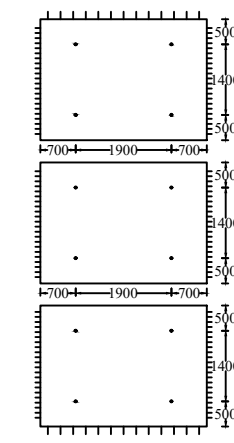
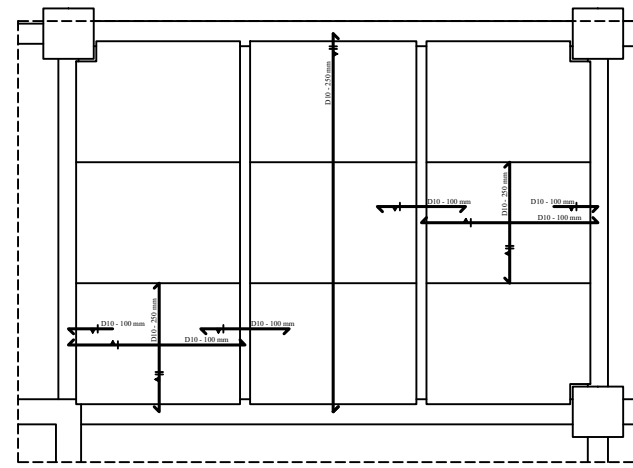
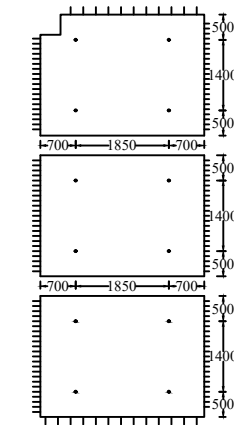
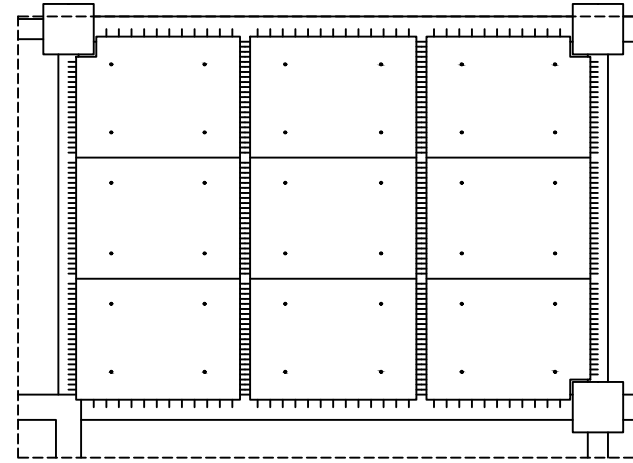
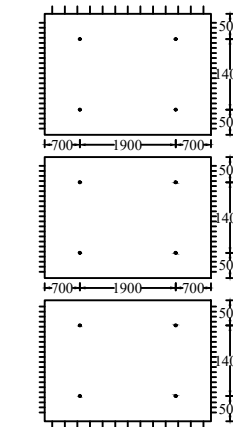
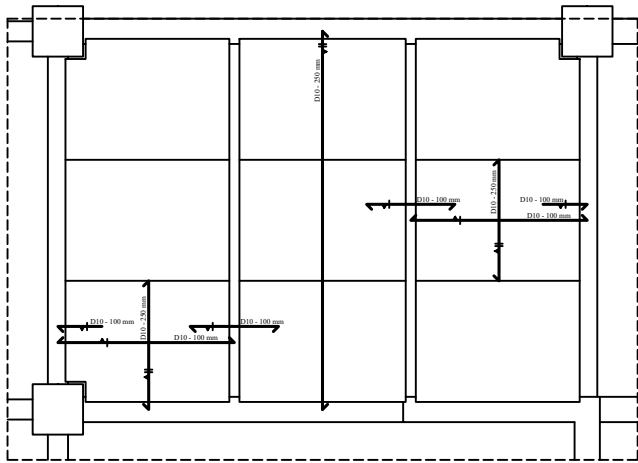
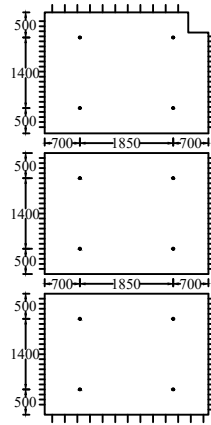
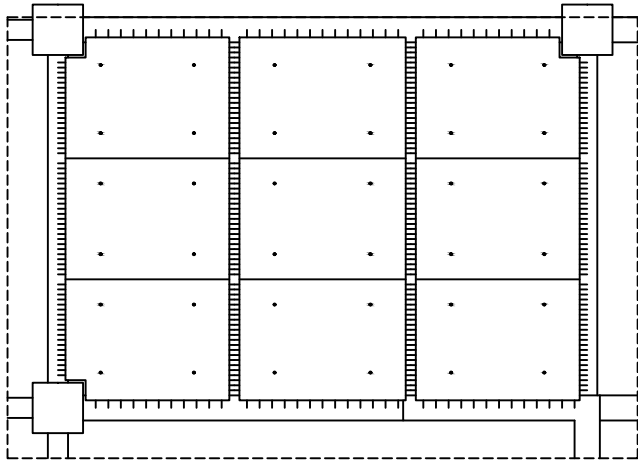
Vinson Intar Zakaria
(03111540000057)

JUDUL GAMBAR

DETAIL PELAT

NO / TOTAL LEMBAR

15 / 44



DETAIL PELAT TIPE 2.2
SKALA 1:150

DETAIL PELAT TIPE 2.3
SKALA 1:150



INSTITUT TEKNOLOGI
SEPULUH NOPEMBER
FTSLK
DEPARTEMEN TEKNIK SIPIL

JUDUL TUGAS AKHIR

DESAIN MODIFIKASI GEDUNG APARTEMEN
TOWER 2 THE ARUNDAYA SURABAYA DENGAN
MENGGUNAKAN METODE BETON PRACETAK
DAN DUAL SYSTEM SESUAI ACI 318M-14

DOSEN PEMBIMBING

Prof. Tavio, S.T., M.T., Ph.D.
Dr. Ir. Djoko Irawan, M.S.

MAHASISWA

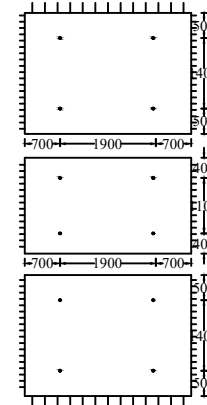
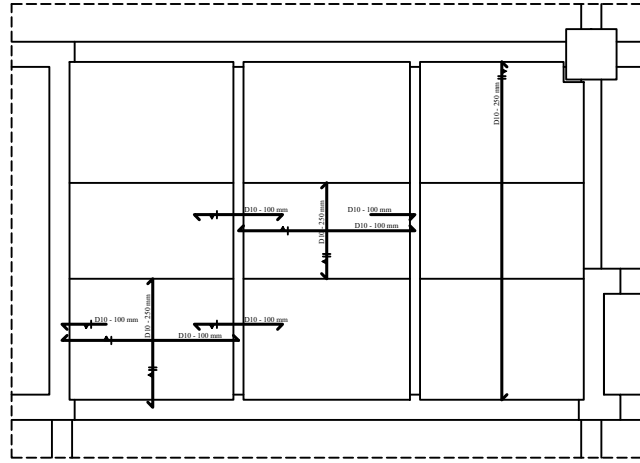
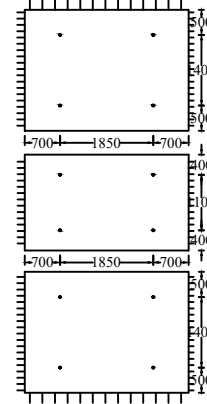
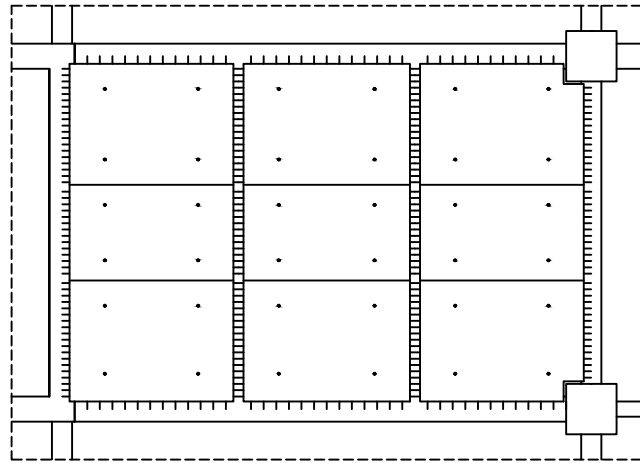
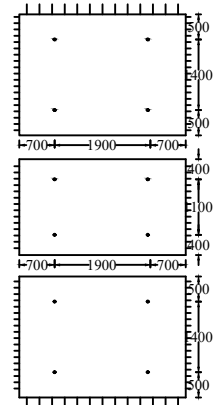
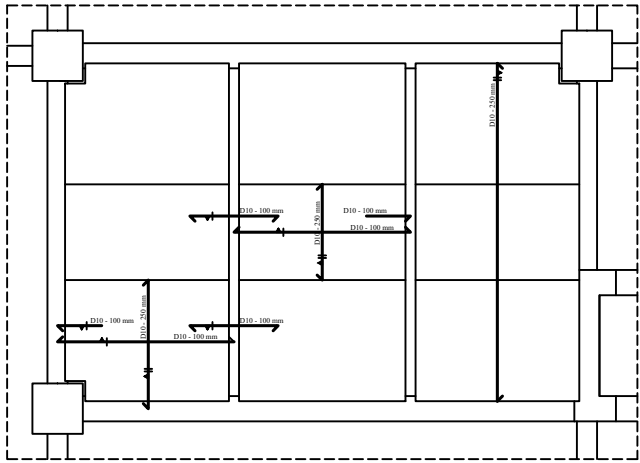
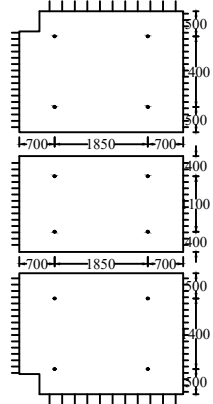
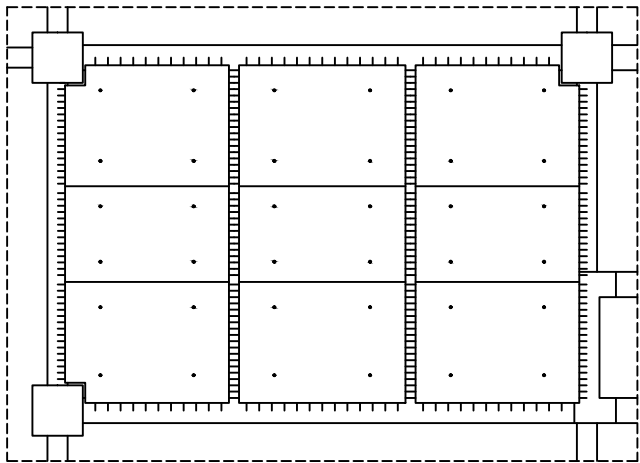
Vinson Intar Zakaria
(03111540000057)

JUDUL GAMBAR

DETAIL PELAT

NO / TOTAL LEMBAR

16 / 44



DETAIL PELAT TIPE 5.1
SKALA 1:150

DETAIL PELAT TIPE 5.2
SKALA 1:150



INSTITUT TEKNOLOGI
SEPULUH NOPEMBER
FTSLK
DEPARTEMEN TEKNIK SIPIL

JUDUL TUGAS AKHIR

DESAIN MODIFIKASI GEDUNG APARTEMEN
TOWER 2 THE ARUNDAYA SURABAYA DENGAN
MENGGUNAKAN METODE BETON PRACETAK
DAN DUAL SYSTEM SESUAI ACI 318M-14

DOSEN PEMBIMBING

Prof. Tavio, S.T., M.T., Ph.D.
Dr. Ir. Djoko Irawan, M.S.

MAHASISWA

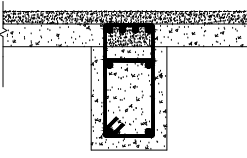
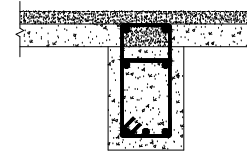
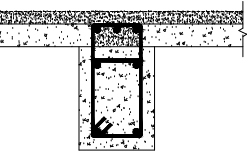
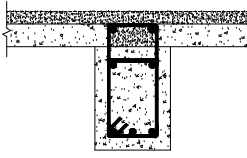
Vinson Intar Zakaria
(03111540000057)

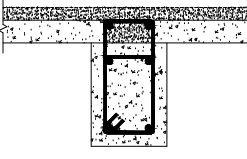
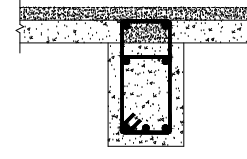
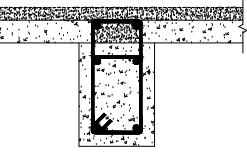
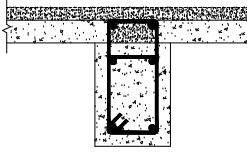
JUDUL GAMBAR

DETAIL PELAT

NO / TOTAL LEMBAR

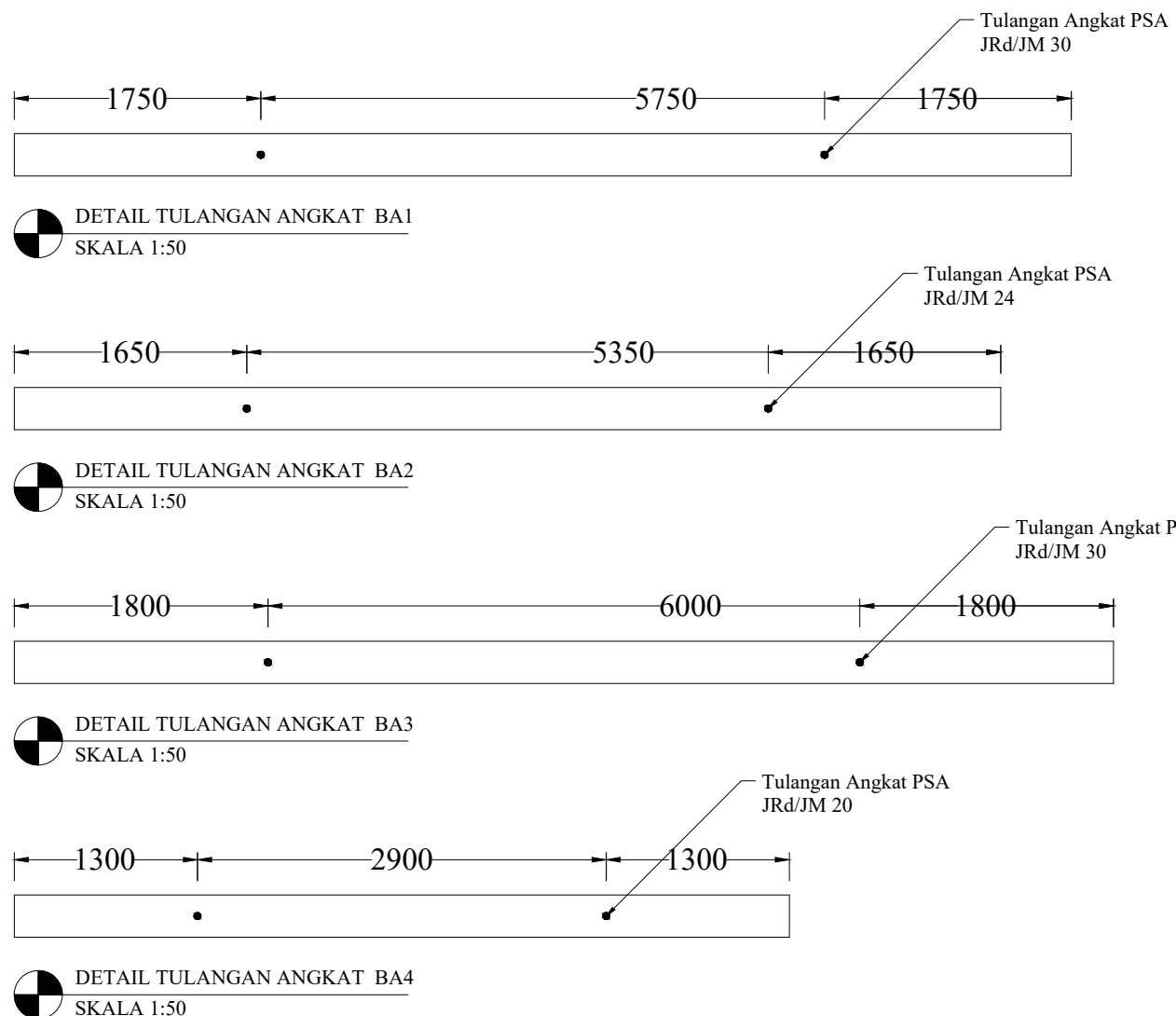
17 / 44

| TIPE BALOK | BA1 | | BA2 | | |
|------------------|--------|---|--|---|---|
| | POSISI | TUMPUAN | LAPANGAN | TUMPUAN | LAPANGAN |
| DETAIL BALOK | |  |  |  |  |
| DIMENSI | | 300 × 550 mm | 300 × 550 mm | 300 × 550 mm | 300 × 550 mm |
| TULANGAN ATAS | | 4 D25 | 2 D25 | 3 D25 | 2 D25 |
| TULANGAN SAMPING | | 2 D25 | 2 D25 | 2 D25 | 2 D25 |
| TULANGAN BAWAH | | 2 D25 | 3 D25 | 2 D25 | 3 D25 |
| SENGKANG | | 2 D10 - 150 mm | 2 D10 - 150 mm | 2 D10 - 150 mm | 2 D10 - 150 mm |

| TIPE BALOK | BA3 | | BA4 | | |
|------------------|--------|--|---|--|--|
| | POSISI | TUMPUAN | LAPANGAN | TUMPUAN | LAPANGAN |
| DETAIL BALOK | |  |  |  |  |
| DIMENSI | | 300 × 550 mm | 300 × 550 mm | 300 × 550 mm | 300 × 550 mm |
| TULANGAN ATAS | | 2 D25 | 2 D25 | 2 D25 | 2 D25 |
| TULANGAN SAMPING | | 2 D25 | 2 D25 | 2 D25 | 2 D25 |
| TULANGAN BAWAH | | 2 D25 | 3 D25 | 2 D25 | 2 D25 |
| SENGKANG | | 2 D10 - 150 mm | 2 D10 - 150 mm | 2 D10 - 200 mm | 2 D10 - 200 mm |

 DETAIL BALOK ANAK
SKALA 1:30

| INSTITUT TEKNOLOGI SEPULUH NOPEMBER FTSLK DEPARTEMEN TEKNIK SIPIL | JUDUL TUGAS AKHIR | DOSEN PEMBIMBING | MAHASISWA | JUDUL GAMBAR | NO / TOTAL LEMBAR |
|--|---|--|--|----------------------|-------------------|
| | DESAIN MODIFIKASI GEDUNG APARTEMEN TOWER 2 THE ARUNDAYA SURABAYA DENGAN MENGGUNAKAN METODE BETON PRACETAK DAN DUAL SYSTEM SESUAI ACI 318M-14 | Prof. Tavio, S.T., M.T., Ph.D. Dr. Ir. Djoko Irawan, M.S. | Vinson Intar Zakaria (03111540000057) | DETAIL BALOK ANAK | 18 / 44 |

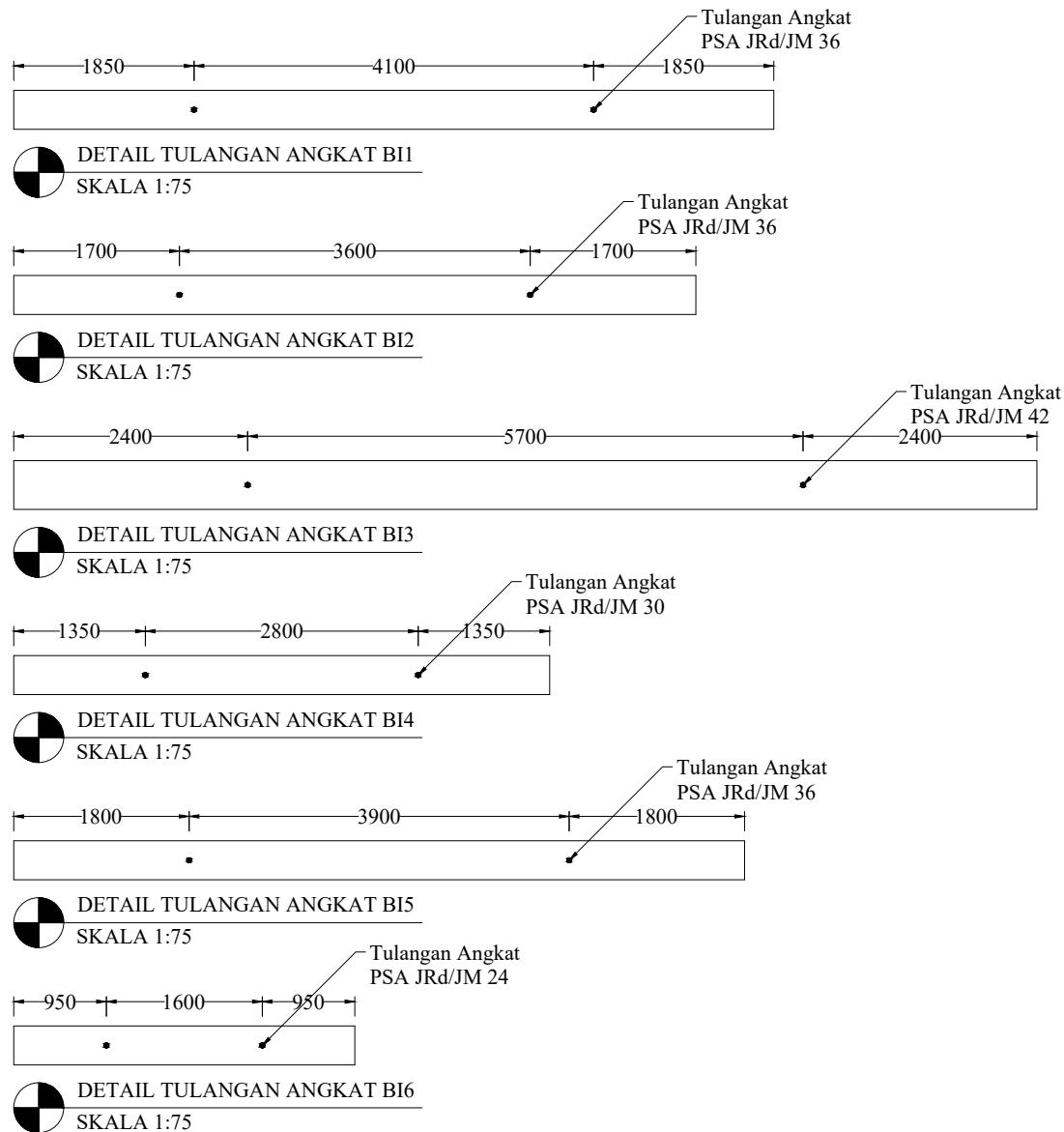


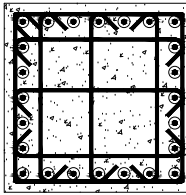
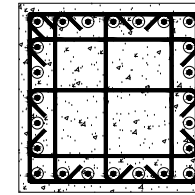
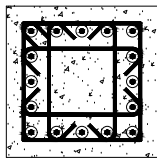
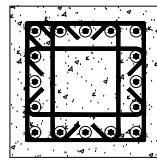
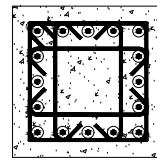
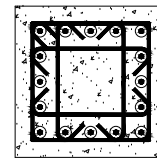
| TIPE BALOK | BI1 | | BI2 | | BI3 | | |
|------------------|--------|----------------|----------------|----------------|----------------|---------------|----------------|
| | POSISI | TUMPUAN | LAPANGAN | TUMPUAN | LAPANGAN | TUMPUAN | LAPANGAN |
| DETAIL BALOK | | | | | | | |
| DIMENSI | | 400 × 700 mm | 500 × 750 mm | 500 × 750 mm |
| TULANGAN ATAS | | 5 D25 | 3 D25 | 5 D25 | 3 D25 | 10 D25 | 5 D25 |
| TULANGAN SAMPING | | 2 D25 | 2 D25 | 2 D25 | 2 D25 | 4 D25 | 4 D25 |
| TULANGAN BAWAH | | 3 D25 | 4 D25 | 3 D25 | 4 D25 | 6 D25 | 9 D25 |
| SENGKANG | | 2 D13 - 120 mm | 2 D13 - 240 mm | 2 D13 - 120 mm | 2 D13 - 240 mm | 2 D13 - 80 mm | 2 D13 - 120 mm |

| TIPE BALOK | BI4 | | BI5 | | BI6 | | |
|------------------|--------|----------------|----------------|----------------|----------------|---------------|----------------|
| | POSISI | TUMPUAN | LAPANGAN | TUMPUAN | LAPANGAN | TUMPUAN | LAPANGAN |
| DETAIL BALOK | | | | | | | |
| DIMENSI | | 400 × 700 mm | 400 × 700 mm | 400 × 700 mm |
| TULANGAN ATAS | | 4 D25 | 3 D25 | 5 D25 | 3 D25 | 7 D25 | 4 D25 |
| TULANGAN SAMPING | | 2 D25 | 2 D25 | 2 D25 | 2 D25 | 2 D25 | 2 D32 |
| TULANGAN BAWAH | | 3 D25 | 3 D25 | 3 D25 | 4 D25 | 4 D25 | 5 D25 |
| SENGKANG | | 2 D13 - 120 mm | 2 D13 - 240 mm | 2 D13 - 120 mm | 2 D13 - 240 mm | 2 D13 - 80 mm | 2 D13 - 120 mm |

 DETAIL BALOK INDUK
SKALA 1:40

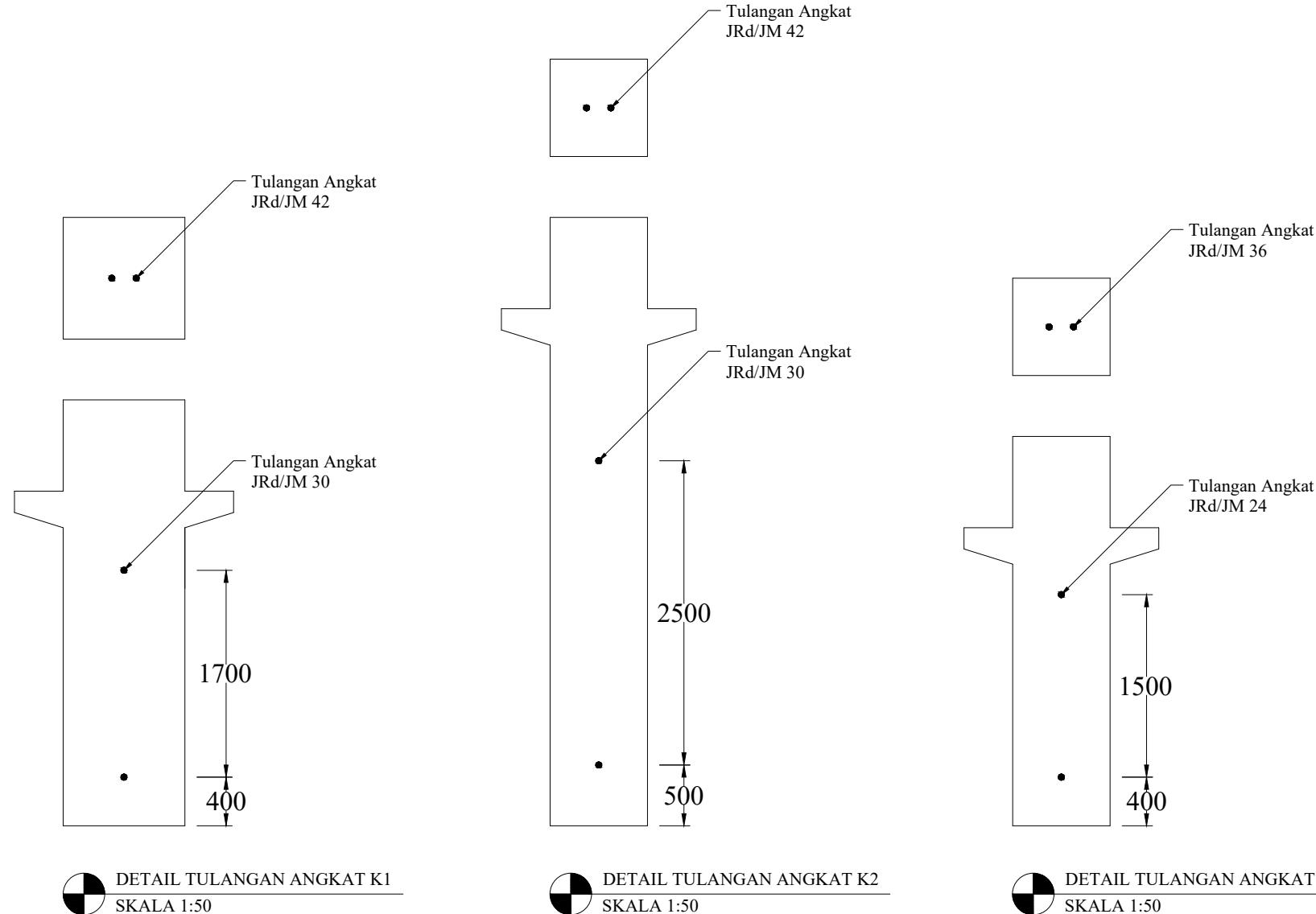
| INSTITUT TEKNOLOGI SEPULUH NOPEMBER FTSLK DEPARTEMEN TEKNIK SIPIL | JUDUL TUGAS AKHIR | DOSEN PEMBIMBING | MAHASISWA | JUDUL GAMBAR | NO / TOTAL LEMBAR |
|--|---|--|--|-----------------------|-------------------|
| | DESAIN MODIFIKASI GEDUNG APARTEMEN TOWER 2 THE ARUNDAYA SURABAYA DENGAN MENGGUNAKAN METODE BETON PRACETAK DAN DUAL SYSTEM SESUAI ACI 318M-14 | Prof. Tavio, S.T., M.T., Ph.D. Dr. Ir. Djoko Irawan, M.S. | Vinson Intar Zakaria (03111540000057) | DETAIL BALOK INDUK | 20 / 44 |

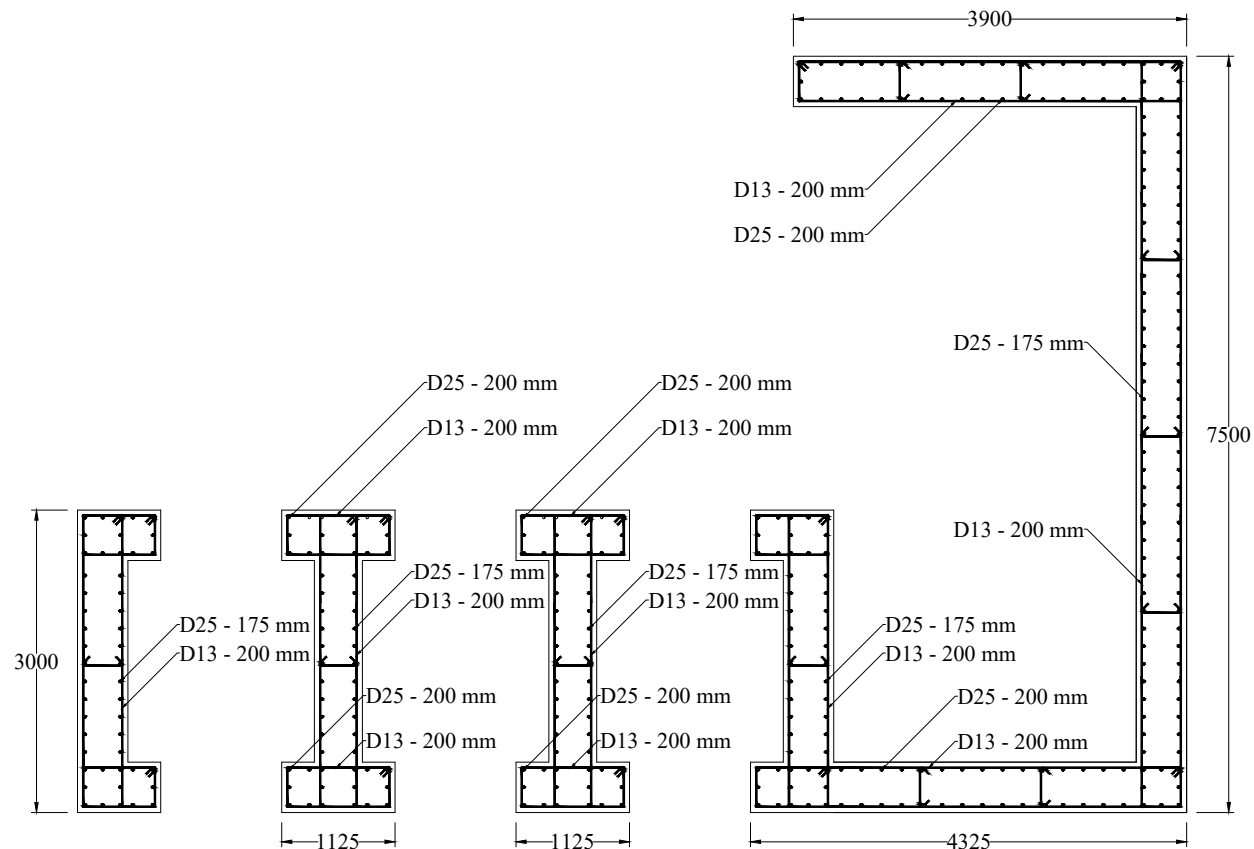


| TIPE KOLOM | K1 | | K2 | | K3 | |
|--------------|---|---|--|---|---|---|
| POSISI | TUMPUAN | LAPANGAN | TUMPUAN | LAPANGAN | TUMPUAN | LAPANGAN |
| DETAIL KOLOM |  |  |  |  |  |  |
| DIMENSI | 1000 × 1000 mm | 1000 × 1000 mm | 800 × 800 mm | 800 × 800 mm | 800 × 800 mm | 800 × 800 mm |
| TULANGAN | 24 D25 | 24 D25 | 16 D25 | 16 D25 | 16 D25 | 16 D25 |
| SENGKANG | 5 D16 - 100 mm | 5 D16 - 150 mm | 4 D16 - 100 mm | 4 D16 - 150 mm | 4 D16 - 100 mm | 4 D16 - 150 mm |


DETAIL KOLOM
 SKALA 1:40

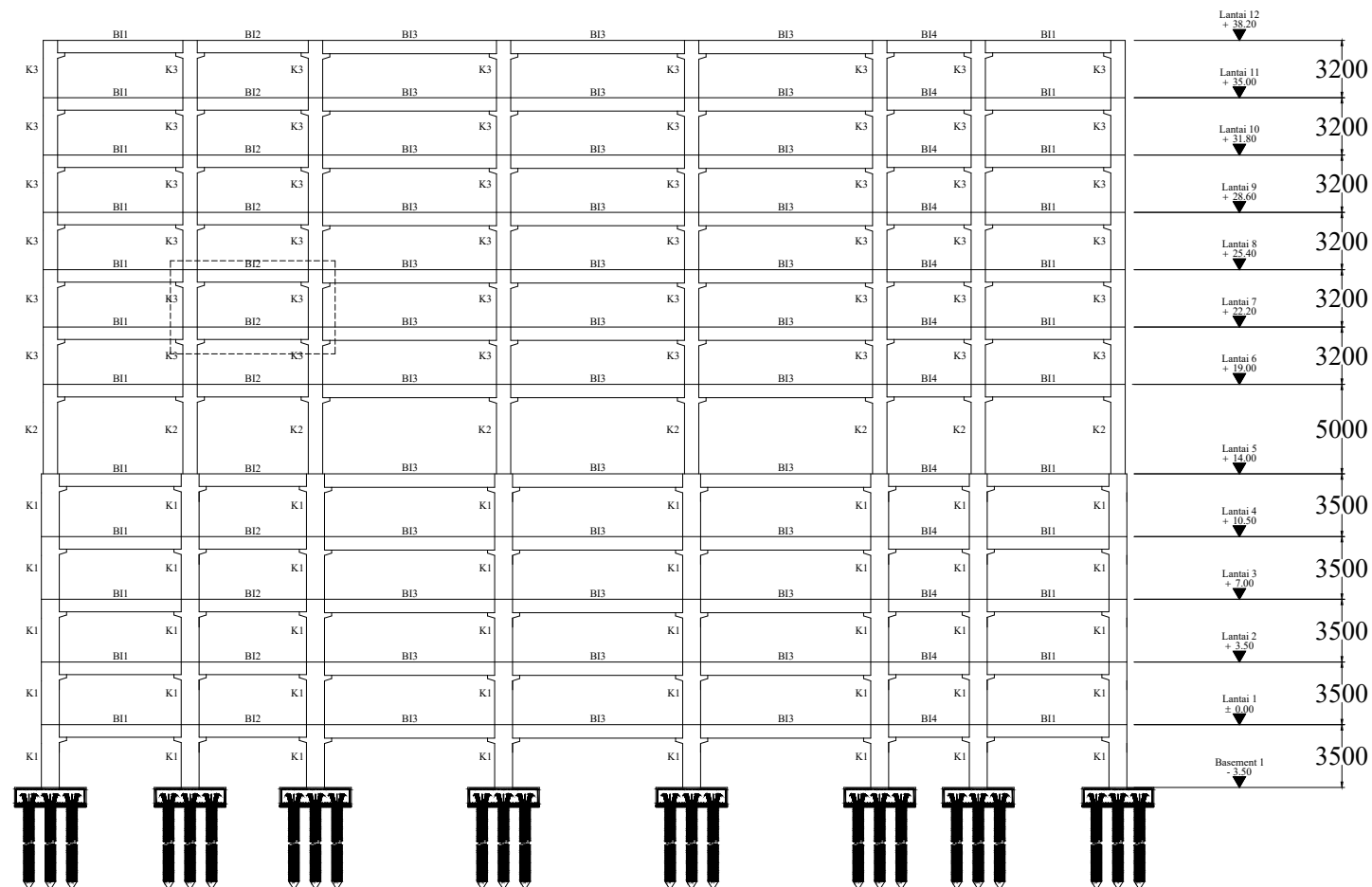
| INSTITUT TEKNOLOGI SEPULUH NOPEMBER FTSLK DEPARTEMEN TEKNIK SIPIL | JUDUL TUGAS AKHIR | DOSEN PEMBIMBING | MAHASISWA | JUDUL GAMBAR | NO / TOTAL LEMBAR |
|--|--|--|--|--------------|-------------------|
| | DESAIN MODIFIKASI GEDUNG APARTEMEN TOWER 2 THE ARUNDAYA SURABAYA DENGAN MENGGUNAKAN METODE BETON PRACETAK DAN <i>DUAL SYSTEM</i> SESUAI ACI 318M-14 | Prof. Tavio, S.T., M.T., Ph.D. Dr. Ir. Djoko Irawan, M.S. | Vinson Intar Zakaria (03111540000057) | DETAIL KOLOM | 22 / 44 |



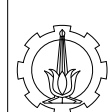


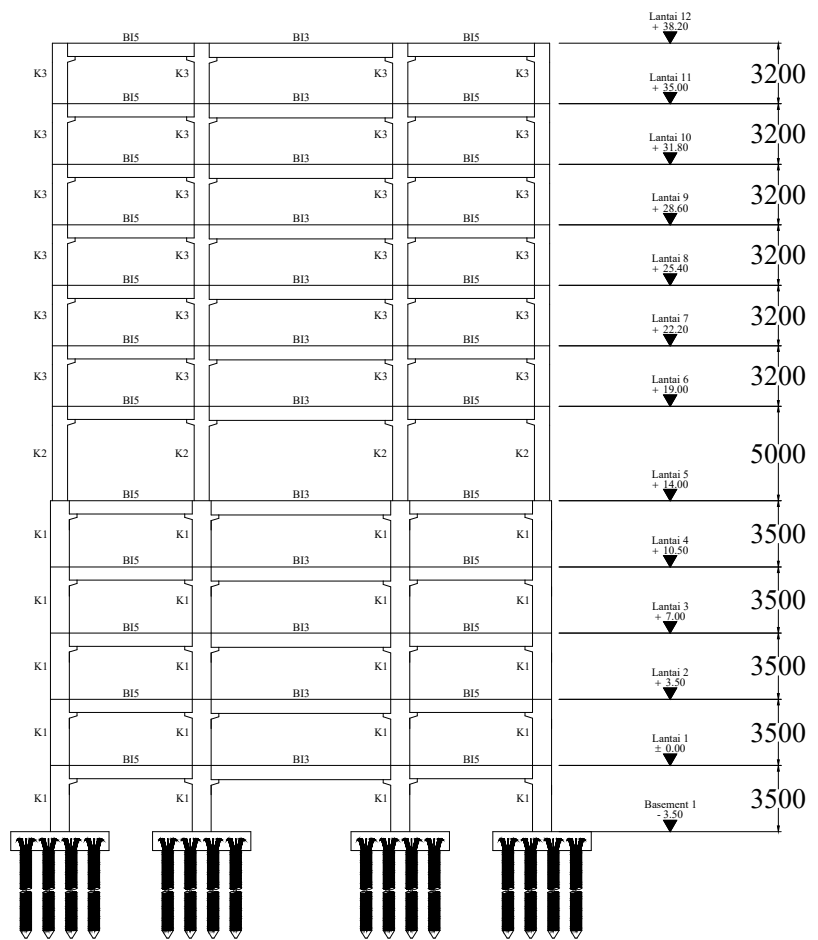
 DETAIL SHEAR WALL
SKALA 1:40

| INSTITUT TEKNOLOGI SEPULUH NOPEMBER FTSLK DEPARTEMEN TEKNIK SIPIL | JUDUL TUGAS AKHIR DESAIN MODIFIKASI GEDUNG APARTEMEN TOWER 2 THE ARUNDAYA SURABAYA DENGAN MENGGUNAKAN METODE BETON PRACETAK DAN DUAL SYSTEM SESUAI ACI 318M-14 | DOSEN PEMBIMBING Prof. Tavio, S.T., M.T., Ph.D. Dr. Ir. Djoko Irawan, M.S. | MAHASISWA Vinson Intar Zakaria (03111540000057) | JUDUL GAMBAR DETAIL SHEAR WALL | NO / TOTAL LEMBAR 24 / 44 |
|--|--|--|---|--|----------------------------------|
|--|--|--|---|--|----------------------------------|



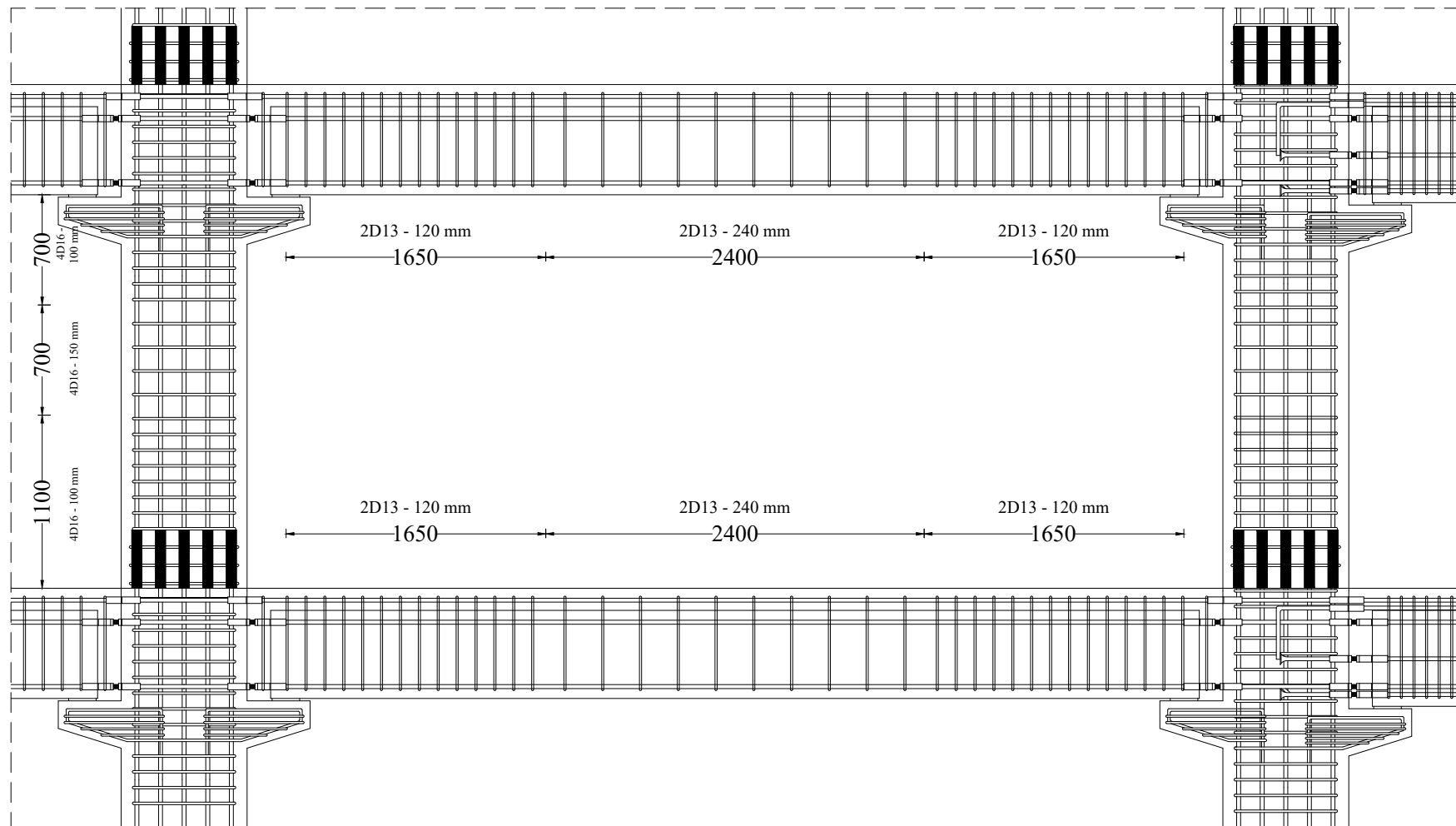
POTONGAN MEMANJANG
SKALA 1:300



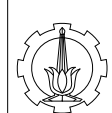


 **POTONGAN MELINTANG**
SKALA 1:300

| INSTITUT TEKNOLOGI SEPULUH NOPEMBER FTSLK DEPARTEMEN TEKNIK SIPIL | JUDUL TUGAS AKHIR | DOSEN PEMBIMBING | MAHASISWA | JUDUL GAMBAR | NO / TOTAL LEMBAR |
|--|--|--|--|-----------------------|-------------------|
| | DESAIN MODIFIKASI GEDUNG APARTEMEN TOWER 2 THE ARUNDAYA SURABAYA DENGAN MENGGUNAKAN METODE BETON PRACETAK DAN <i>DUAL SYSTEM</i> SESUAI ACI 318M-14 | Prof. Tavio, S.T., M.T., Ph.D. Dr. Ir. Djoko Irawan, M.S. | Vinson Intar Zakaria (03111540000057) | POTONGAN MELINTANG | 26/ 44 |



POTONGAN A-A
SKALA 1:40



INSTITUT TEKNOLOGI
SEPULUH NOPEMBER
FTSLK
DEPARTEMEN TEKNIK SIPIL

JUDUL TUGAS AKHIR

DESAIN MODIFIKASI GEDUNG APARTEMEN
TOWER 2 THE ARUNDAYA SURABAYA DENGAN
MENGGUNAKAN METODE BETON PRACETAK
DAN *DUAL SYSTEM* SESUAI ACI 318M-14

DOSEN PEMBIMBING

Prof. Tavio, S.T., M.T., Ph.D.
Dr. Ir. Djoko Irawan, M.S.

MAHASISWA

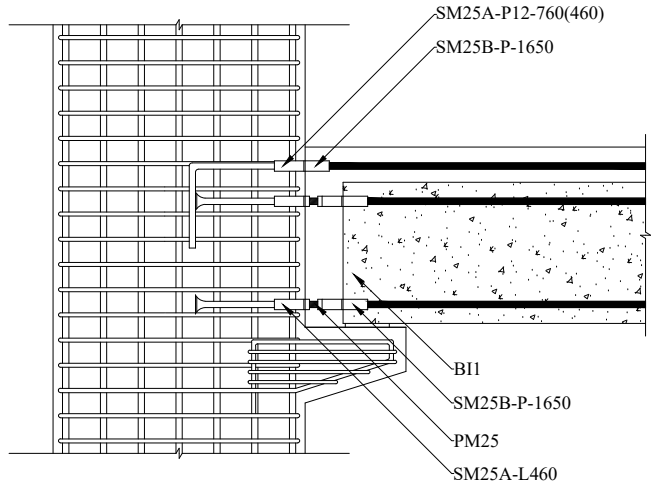
Vinson Intar Zakaria
(03111540000057)

JUDUL GAMBAR

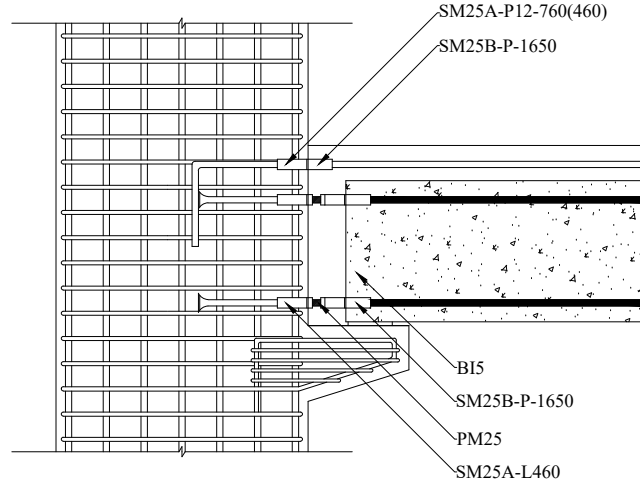
POTONGAN
A-A

NO / TOTAL LEMBAR

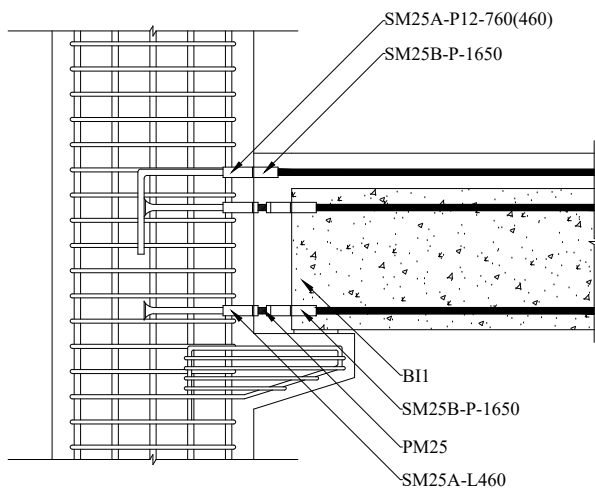
27 / 44



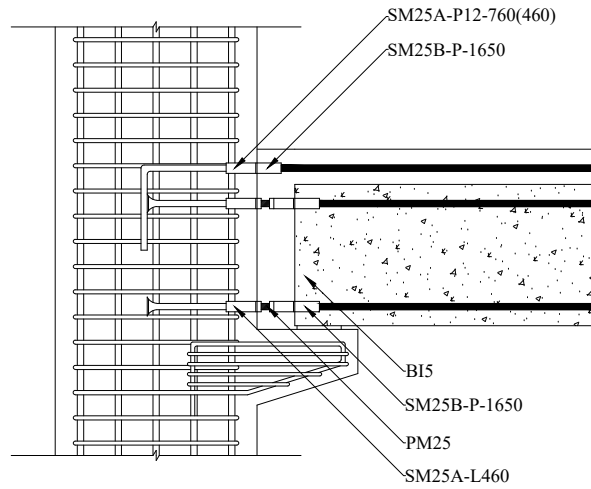
SAMBUNGAN BI1 - K1
SKALA 1:30



SAMBUNGAN BI5 - K1
SKALA 1:30

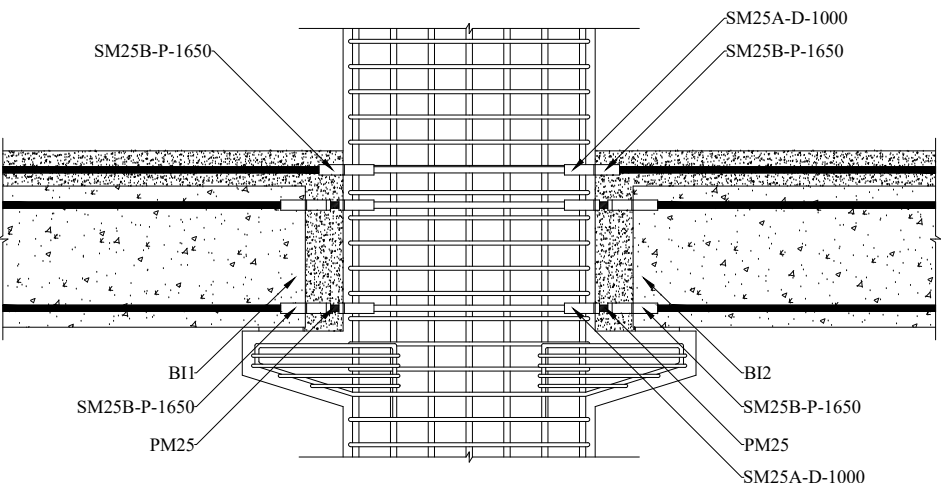


SAMBUNGAN BI1 - K2,K3
SKALA 1:30

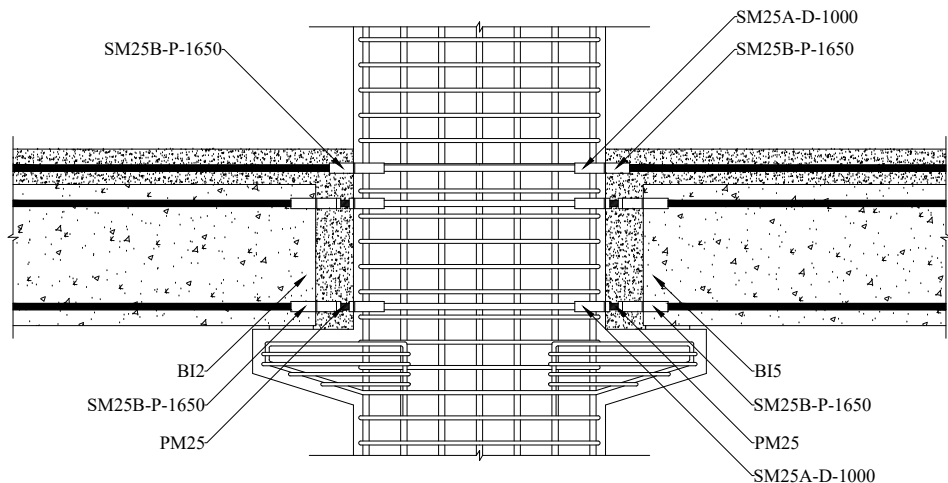


SAMBUNGAN BI5 - K2,K3
SKALA 1:30

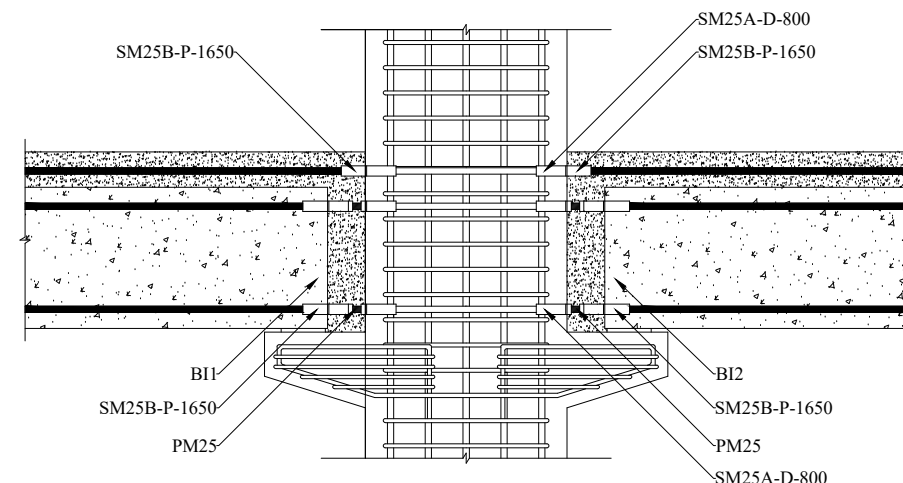




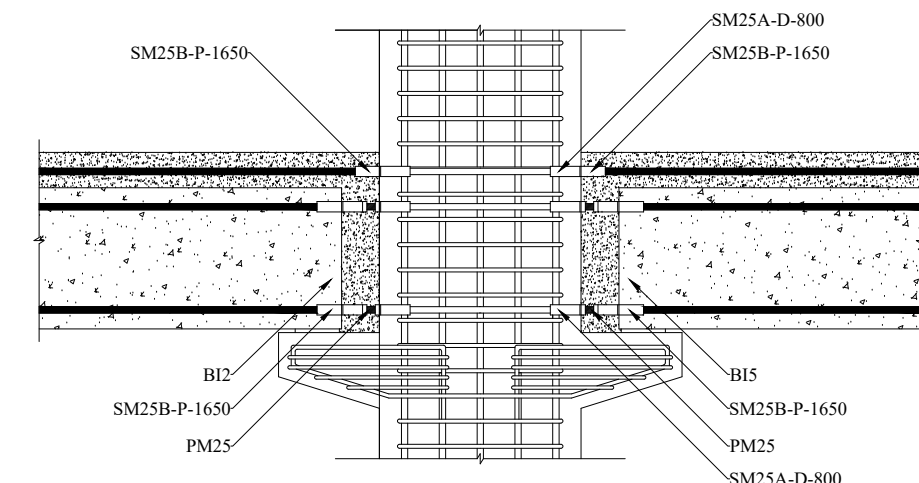
SAMBUNGAN BI1 - K1 - BI2
SKALA 1:30



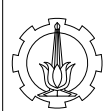
SAMBUNGAN BI2 - K1 - BI5
SKALA 1:30

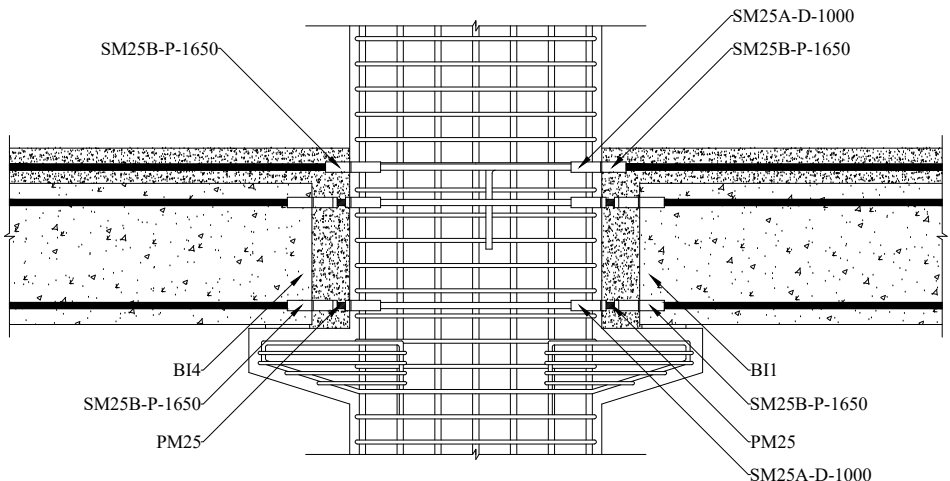


SAMBUNGAN BI1 - K2,K3 - BI2
SKALA 1:30

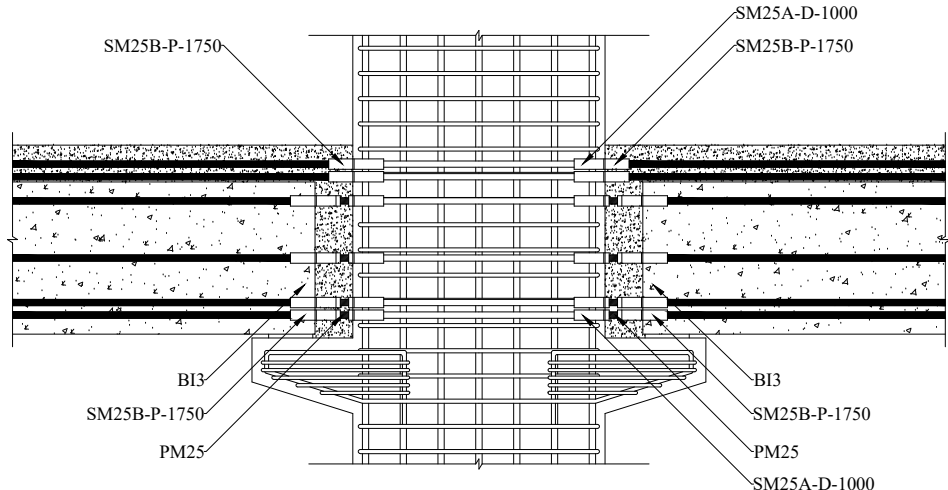


SAMBUNGAN BI2 - K2,K3 - BI5
SKALA 1:30

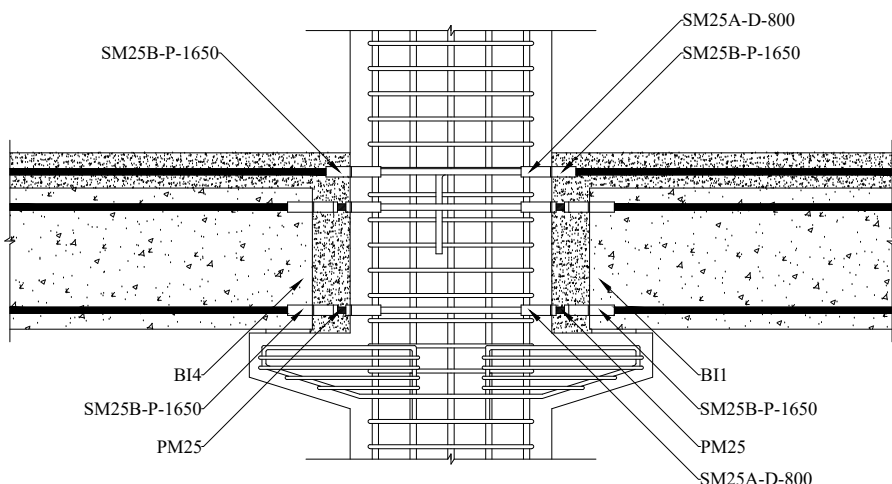




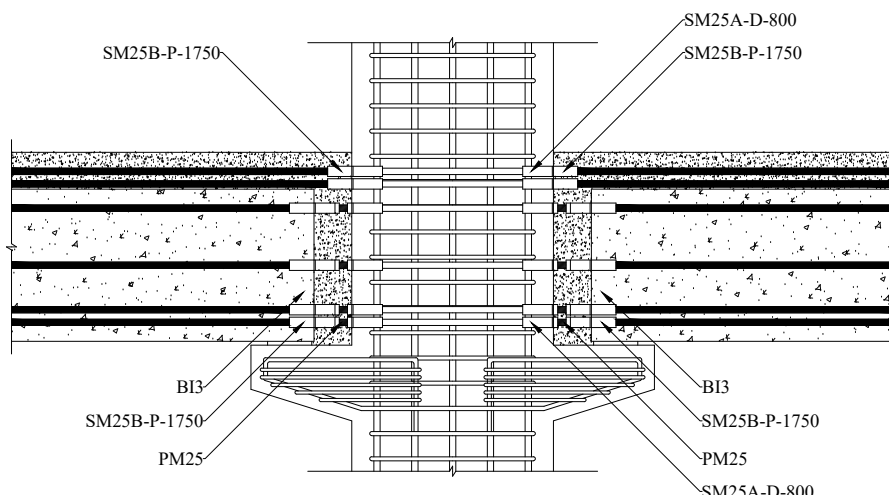
SAMBUNGAN BI4 - K1 - BI1
SKALA 1:30



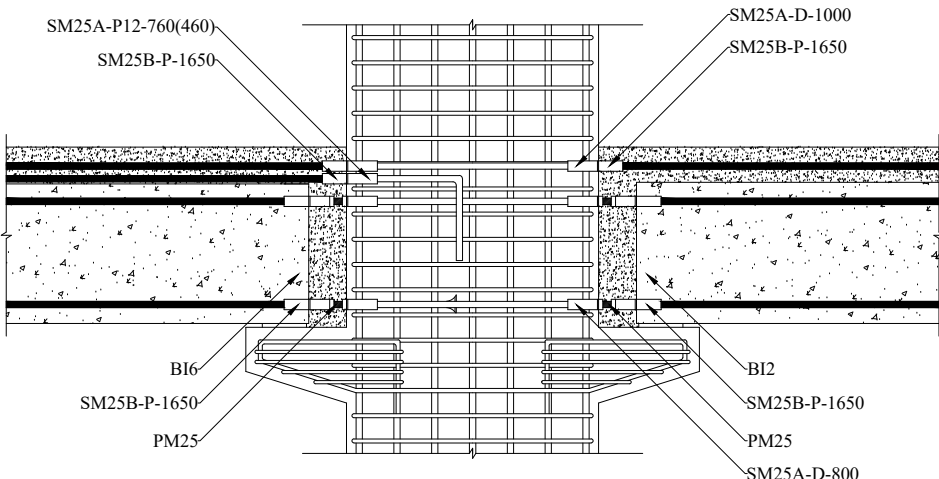
SAMBUNGAN BI3 - K1 - BI3
SKALA 1:30



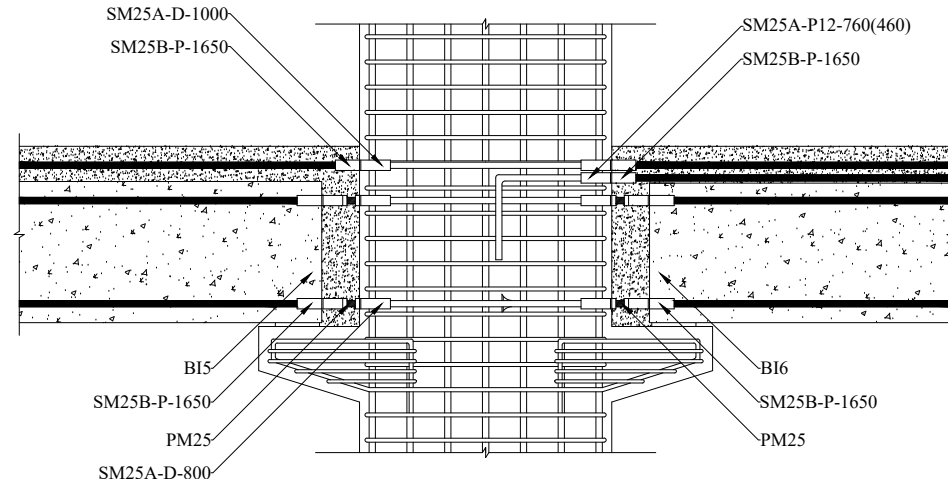
SAMBUNGAN BI4 - K2,K3 - BI1
SKALA 1:30



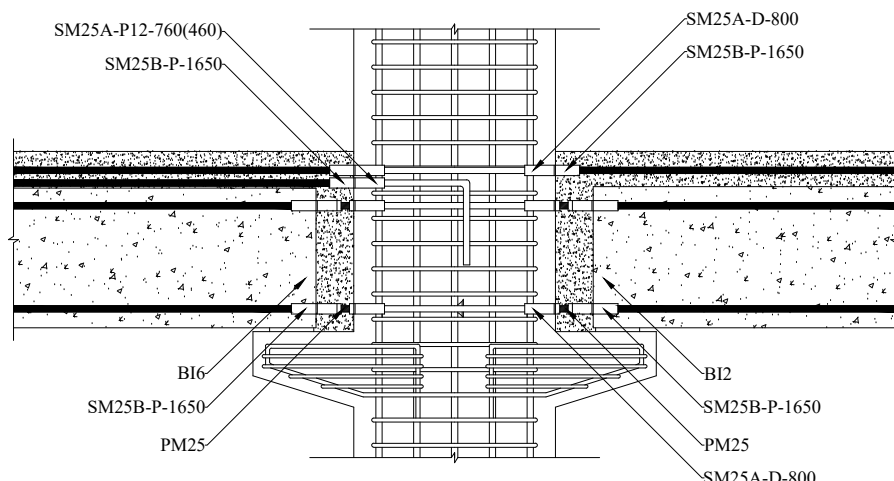
SAMBUNGAN BI3 - K2,K3 - BI3
SKALA 1:30



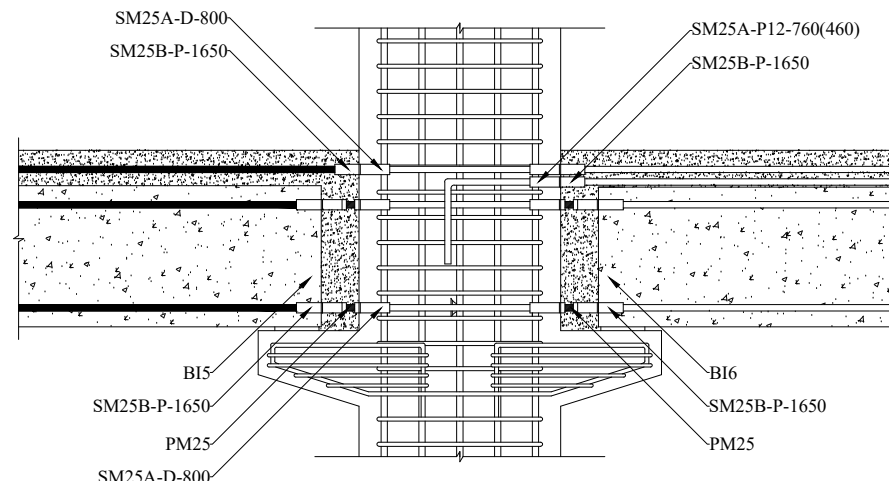
SAMBUNGAN BI6 - K1 - BI2
SKALA 1:30



SAMBUNGAN BI5 - K1 - BI6
SKALA 1:30

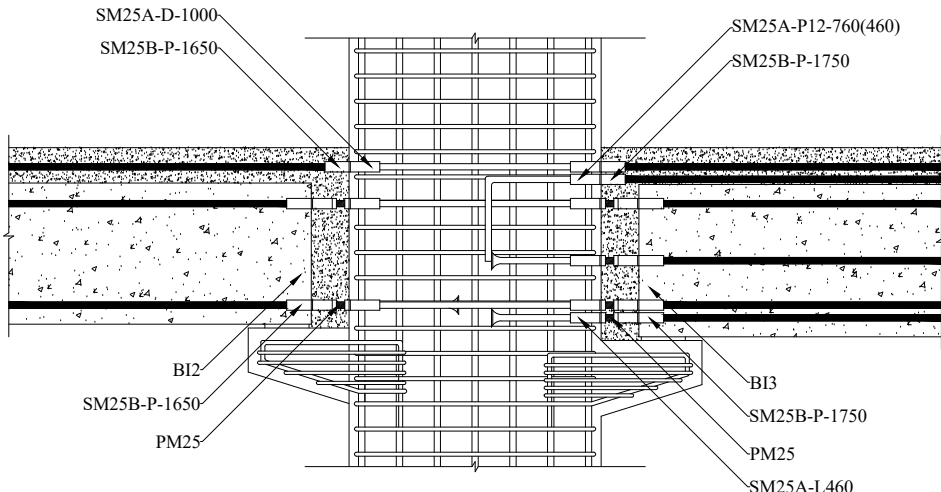


SAMBUNGAN BI6 - K2,K3 - BI2
SKALA 1:30

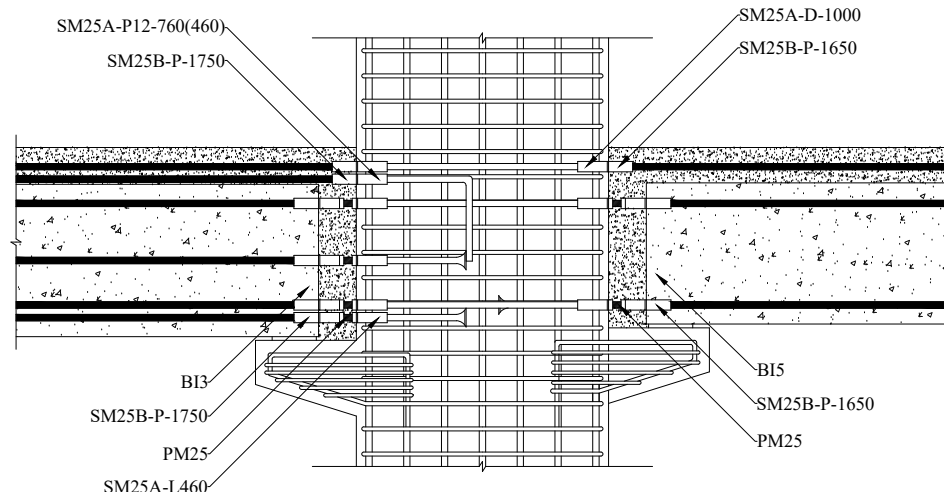


SAMBUNGAN BI5 - K2,K3 - BI6
SKALA 1:30

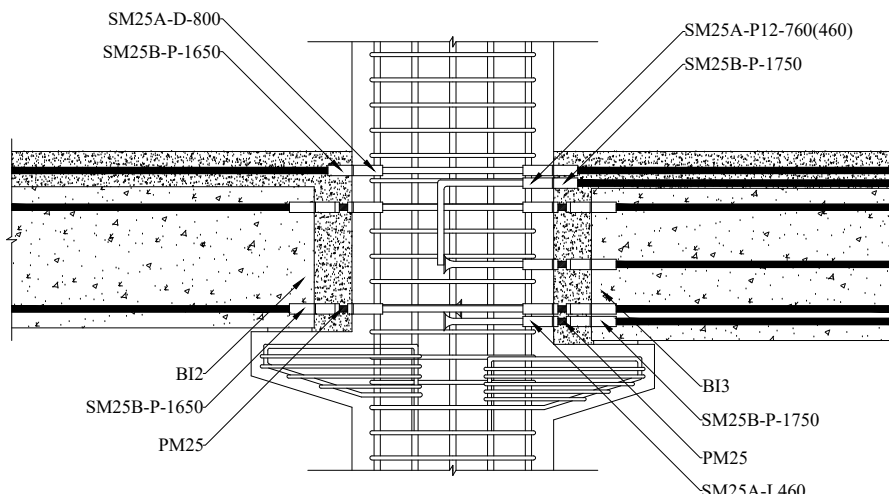




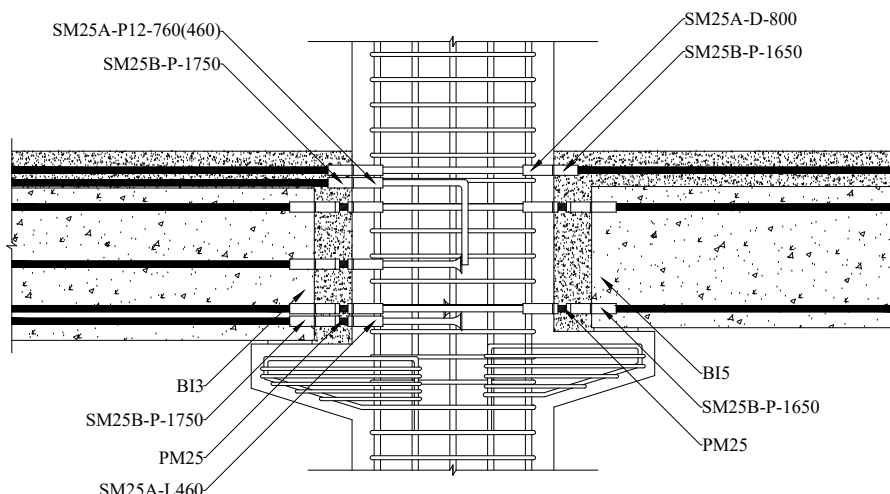
SAMBUNGAN BI2 - K1 - BI3
SKALA 1:30



SAMBUNGAN BI3 - K1 - BI5
SKALA 1:30

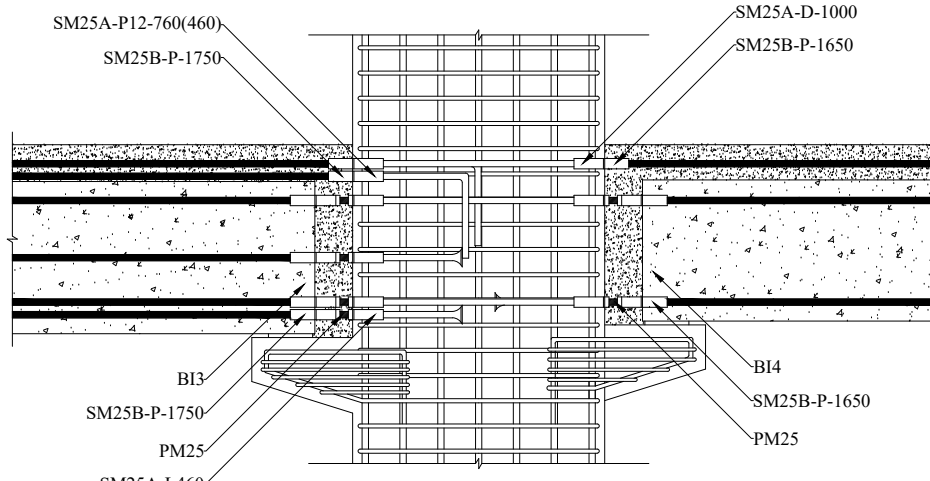


SAMBUNGAN BI2 - K2,K3 - BI3
SKALA 1:30

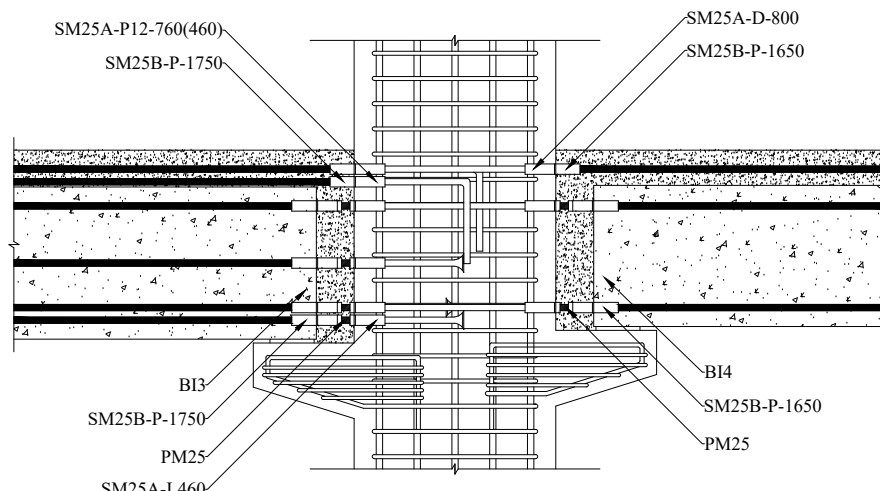


SAMBUNGAN BI3 - K2,K3 - BI5
SKALA 1:30



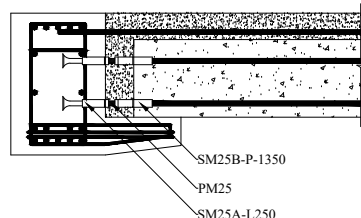


 SAMBUNGAN BI3 - K1 - BI4
SKALA 1:30

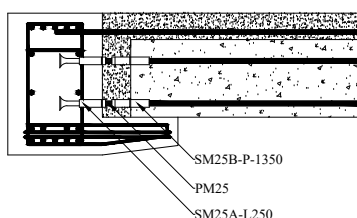


 SAMBUNGAN BI3 - K2,K3 - BI4
SKALA 1:30

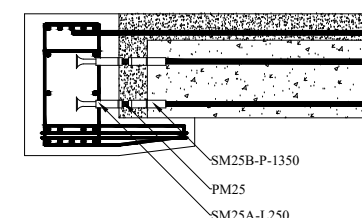
| INSTITUT TEKNOLOGI SEPULUH NOPEMBER FTSLK DEPARTEMEN TEKNIK SIPIL | JUDUL TUGAS AKHIR | DOSEN PEMBIMBING | MAHASISWA | JUDUL GAMBAR | NO / TOTAL LEMBAR |
|--|---|--|--|----------------------------|-------------------|
| | DESAIN MODIFIKASI GEDUNG APARTEMEN TOWER 2 THE ARUNDAYA SURABAYA DENGAN MENGGUNAKAN METODE BETON PRACETAK DAN DUAL SYSTEM SESUAI ACI 318M-14 | Prof. Tavio, S.T., M.T., Ph.D. Dr. Ir. Djoko Irawan, M.S. | Vinson Intar Zakaria (03111540000057) | SAMBUNGAN BALOK - KOLOM | 33 / 44 |



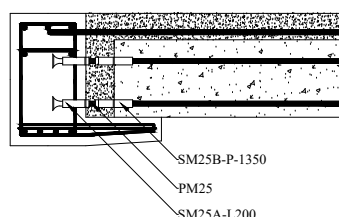
SAMBUNGAN BI3 - BA1
SKALA 1:40



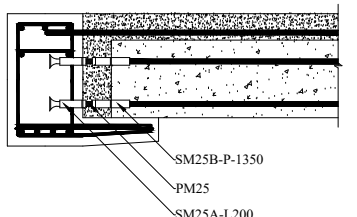
SAMBUNGAN BI3 - BA2
SKALA 1:40



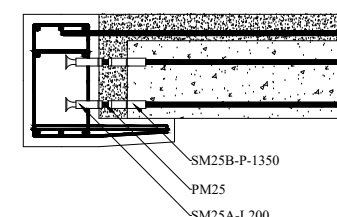
SAMBUNGAN BI3 - BA3
SKALA 1:40



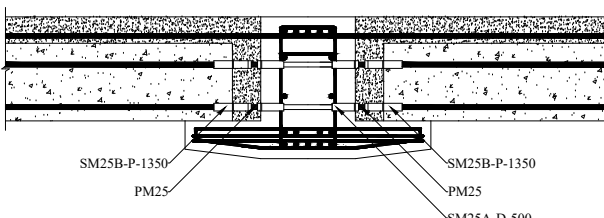
SAMBUNGAN BI1 - BA1
SKALA 1:40



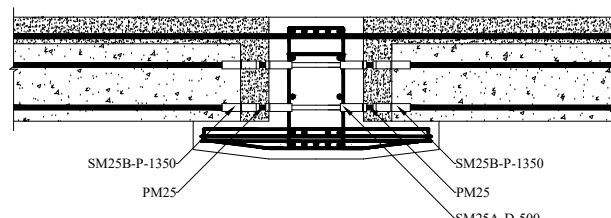
SAMBUNGAN BI2 - BA1
SKALA 1:40



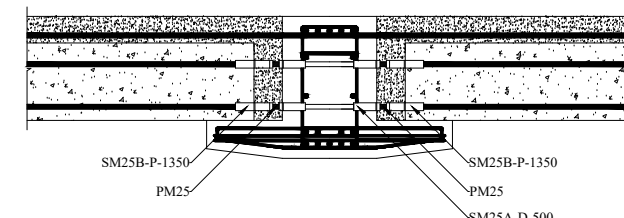
SAMBUNGAN BI4 - BA1
SKALA 1:40



SAMBUNGAN BA2 - BI3 - BA1
SKALA 1:30

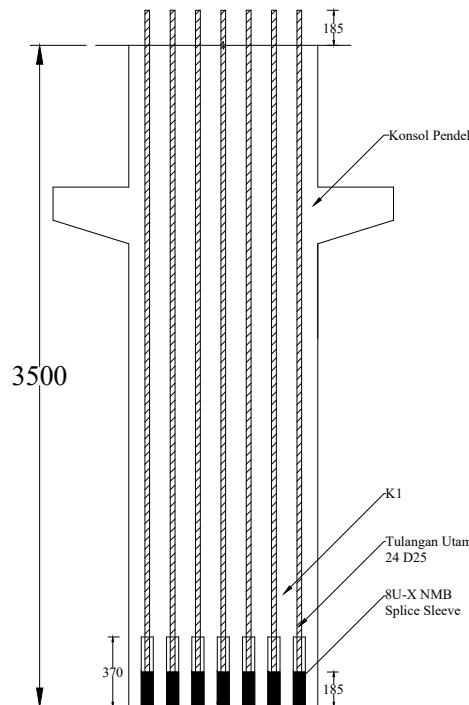


SAMBUNGAN BA3 - BI3 - BA2
SKALA 1:30

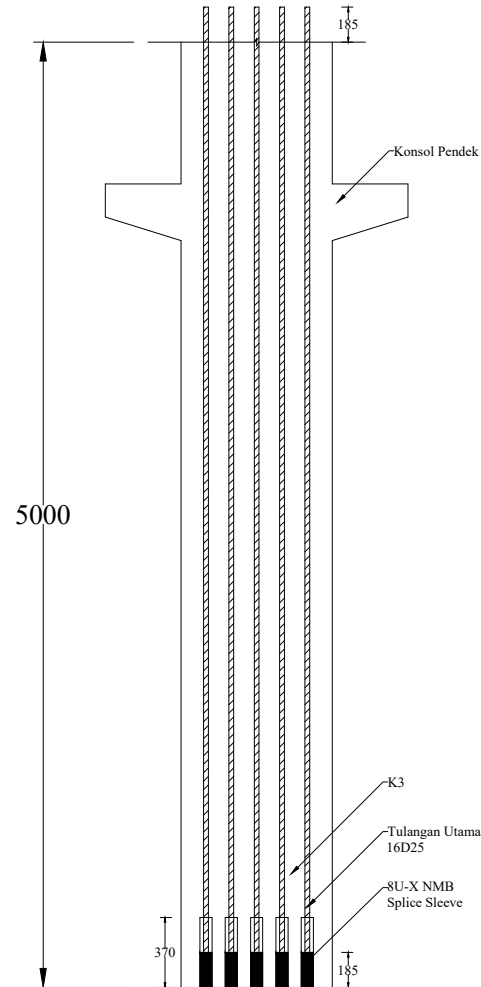


SAMBUNGAN BA4 - BI3 - BA3
SKALA 1:30

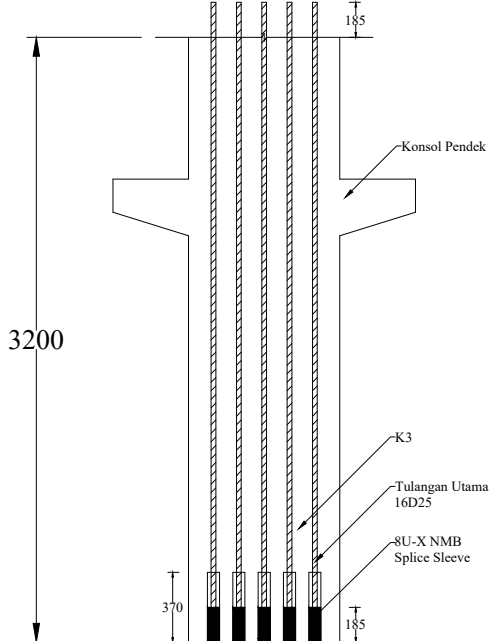




POTONGAN K1-K1
SKALA 1:40

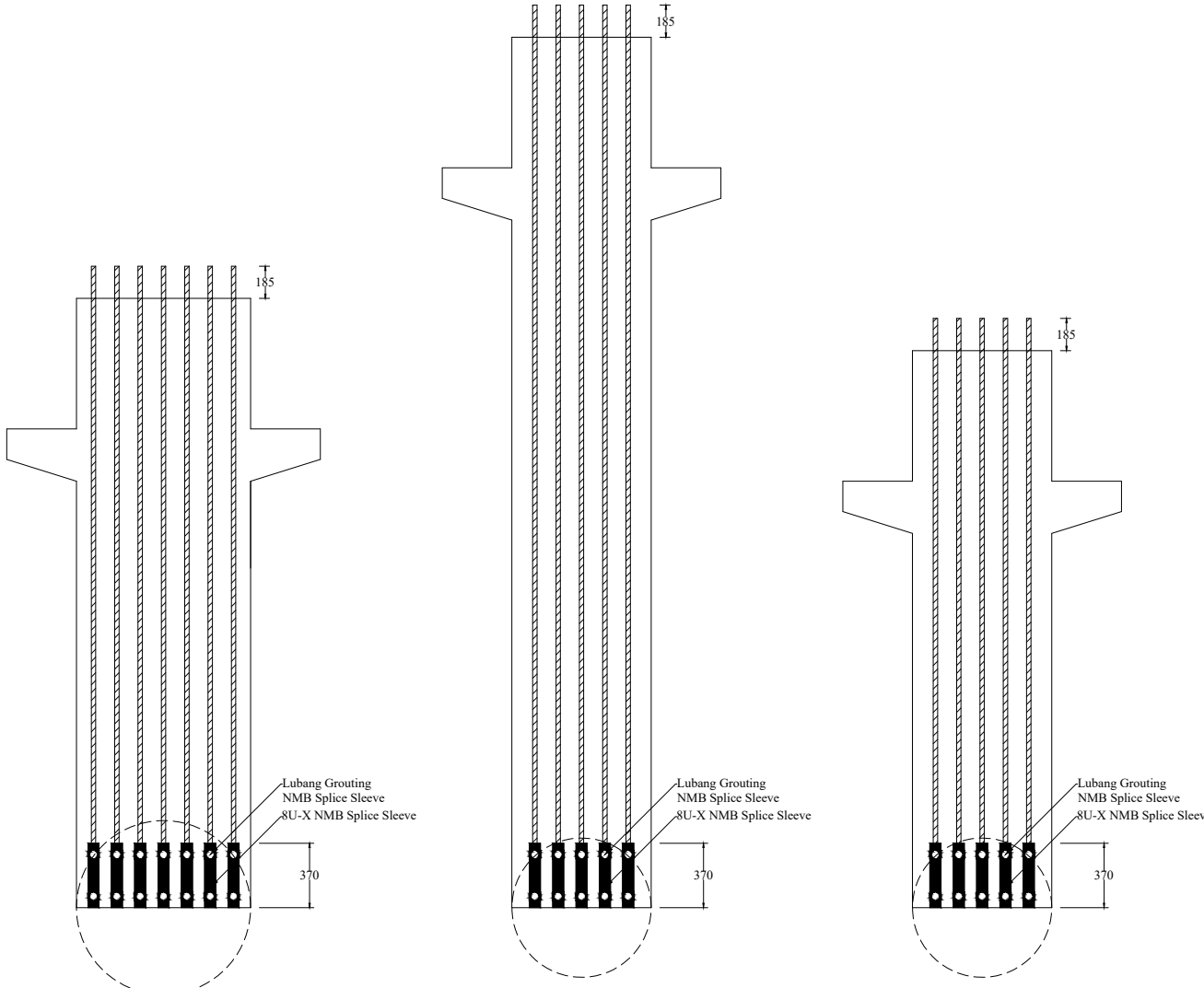


POTONGAN K2-K2
SKALA 1:40

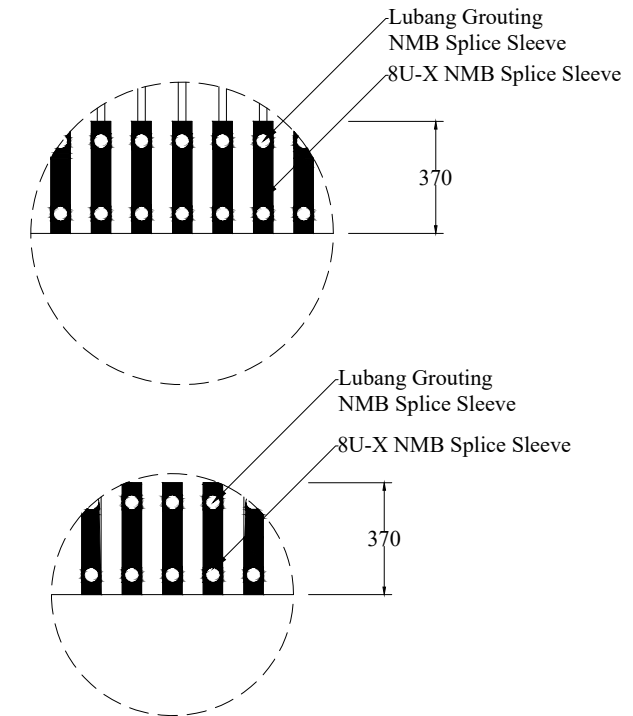


POTONGAN K3-K3
SKALA 1:40





LUBANG GROUTING K1, K2, K3
SKALA 1:40



DETAIL LUBANG GROUTING
SKALA 1:25



INSTITUT TEKNOLOGI
SEPULUH NOPEMBER
FTSLK
DEPARTEMEN TEKNIK SIPIL

JUDUL TUGAS AKHIR

DESAIN MODIFIKASI GEDUNG APARTEMEN
TOWER 2 THE ARUNDAYA SURABAYA DENGAN
MENGGUNAKAN METODE BETON PRACETAK
DAN DUAL SYSTEM SESUAI ACI 318M-14

DOSEN PEMBIMBING

Prof. Tavio, S.T., M.T., Ph.D.
Dr. Ir. Djoko Irawan, M.S.

MAHASISWA

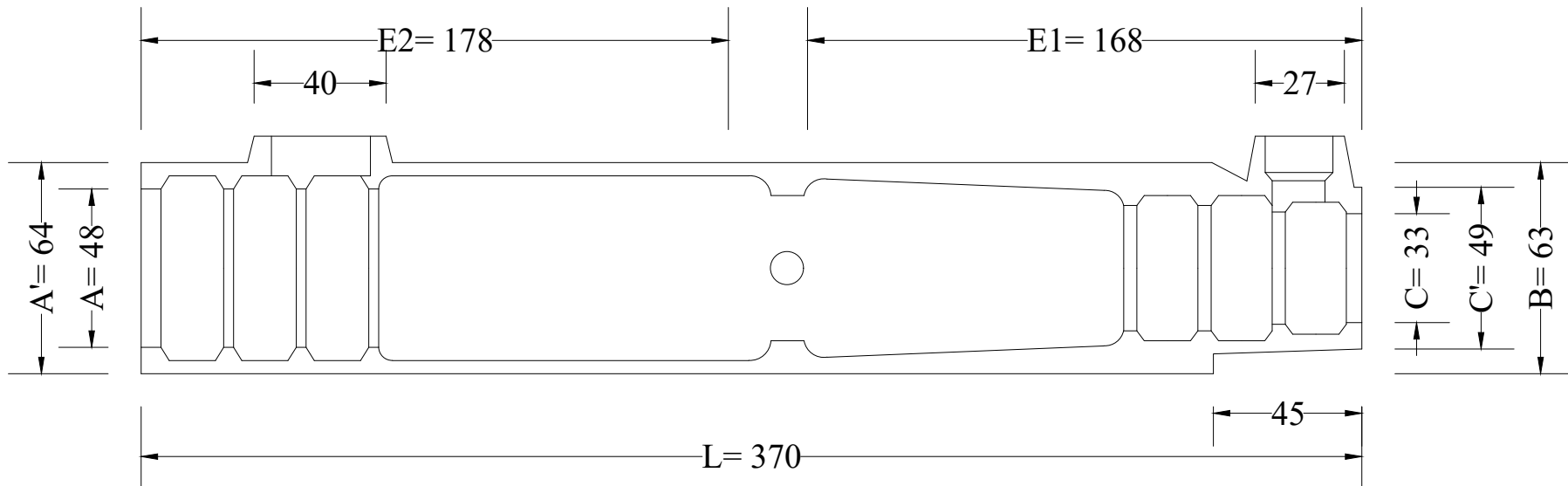
Vinson Intar Zakaria
(03111540000057)

JUDUL GAMBAR

LUBANG
GROUTING
KOLOM

NO / TOTAL LEMBAR

36 / 44



DETAIL NMB SPLICE SLEEVE
SKALA 1:2



INSTITUT TEKNOLOGI
SEPULUH NOPEMBER
FTSLK
DEPARTEMEN TEKNIK SIPIL

JUDUL TUGAS AKHIR

DESAIN MODIFIKASI GEDUNG APARTEMEN
TOWER 2 THE ARUNDAYA SURABAYA DENGAN
MENGGUNAKAN METODE BETON PRACETAK
DAN DUAL SYSTEM SESUAI ACI 318M-14

DOSEN PEMBIMBING

Prof. Tavio, S.T., M.T., Ph.D.
Dr. Ir. Djoko Irawan, M.S.

MAHASISWA

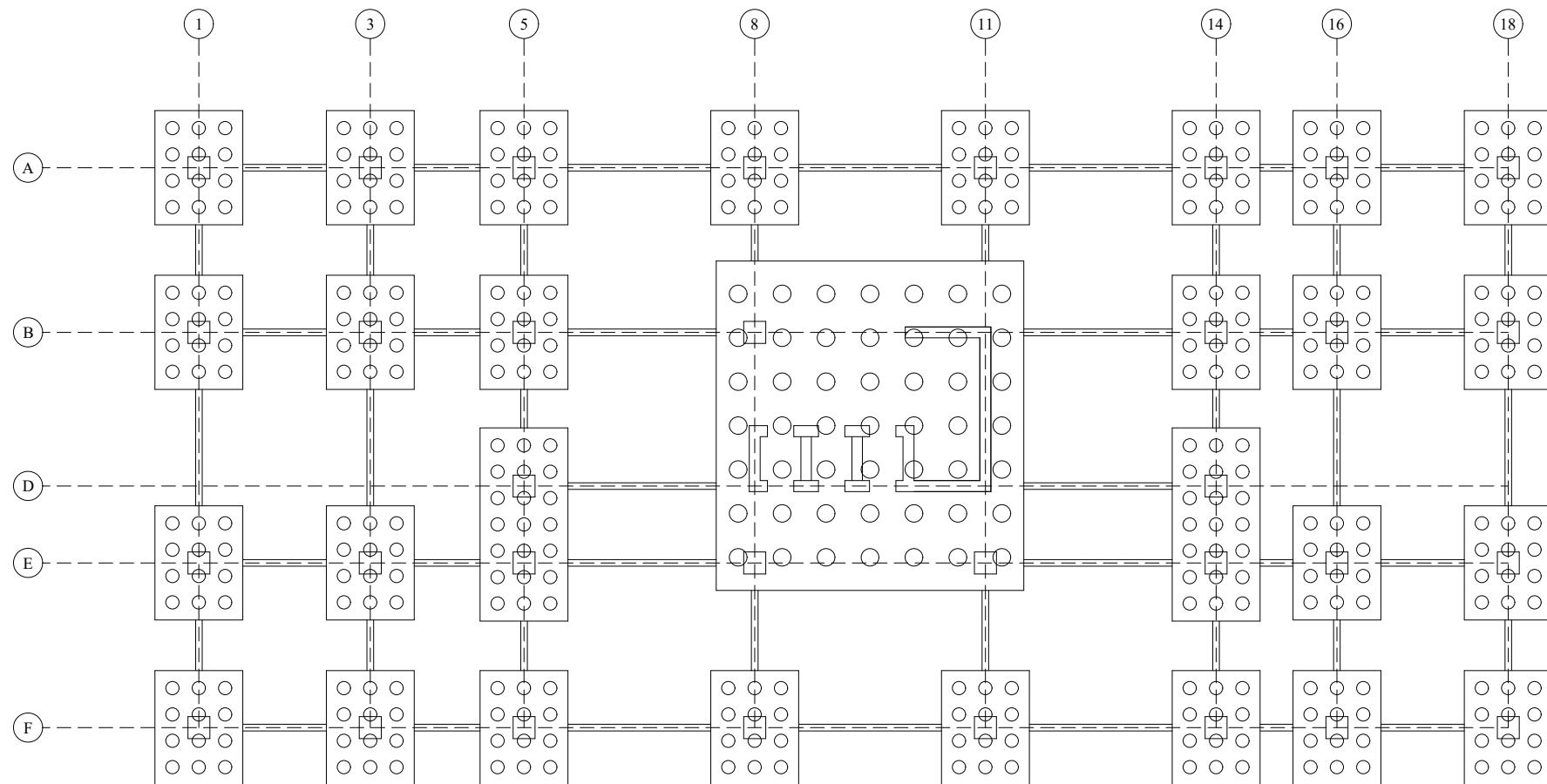
Vinson Intar Zakaria
(03111540000057)

JUDUL GAMBAR

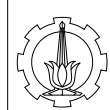
DETAIL NMB
SPLICE SLEEVE

NO / TOTAL LEMBAR

37 / 44



DENAH PONDASI
SKALA 1:300



INSTITUT TEKNOLOGI
SEPULUH NOPEMBER
FTSLK
DEPARTEMEN TEKNIK SIPIL

JUDUL TUGAS AKHIR

DESAIN MODIFIKASI GEDUNG APARTEMEN
TOWER 2 THE ARUNDAYA SURABAYA DENGAN
MENGGUNAKAN METODE BETON PRACETAK
DAN *DUAL SYSTEM* SESUAI ACI 318M-14

DOSEN PEMBIMBING

Prof. Tavio, S.T., M.T., Ph.D.
Dr. Ir. Djoko Irawan, M.S.

MAHASISWA

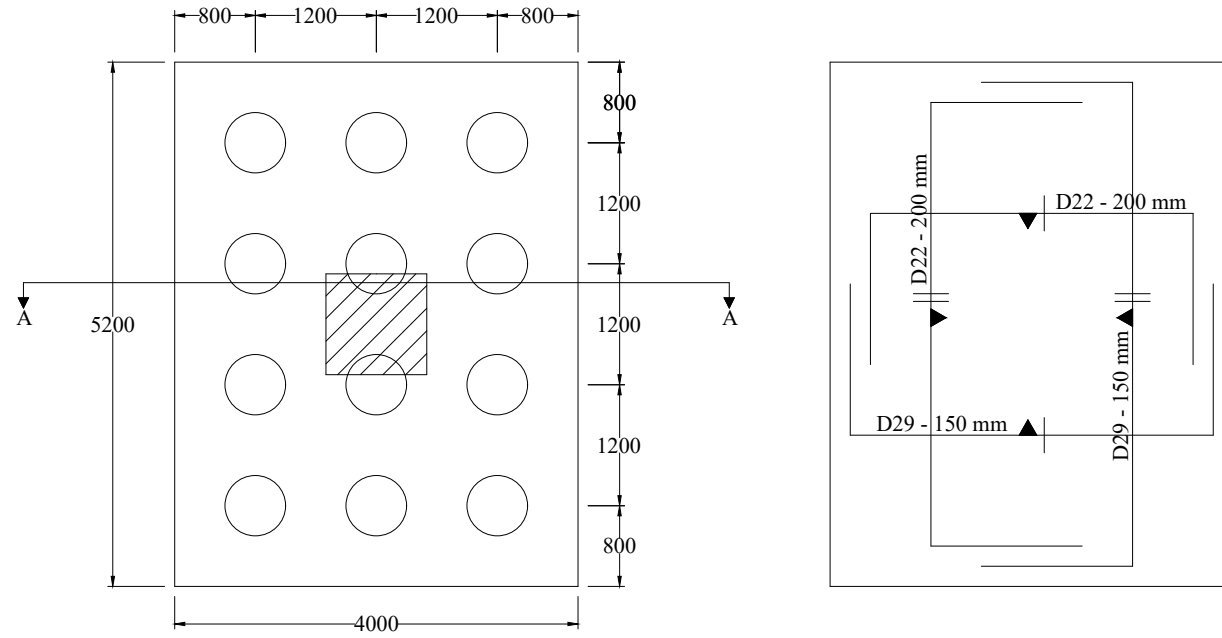
Vinson Intar Zakaria
(03111540000057)

JUDUL GAMBAR

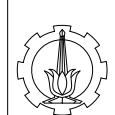
DENAH
PONDASI

NO / TOTAL LEMBAR

38 / 44



POER TIPE 1
SKALA 1:75



INSTITUT TEKNOLOGI
SEPULUH NOPEMBER
FTSLK
DEPARTEMEN TEKNIK SIPIL

JUDUL TUGAS AKHIR

DESAIN MODIFIKASI GEDUNG APARTEMEN
TOWER 2 THE ARUNDAYA SURABAYA DENGAN
MENGGUNAKAN METODE BETON PRACETAK
DAN DUAL SYSTEM SESUAI ACI 318M-14

DOSEN PEMBIMBING

Prof. Tavio, S.T., M.T., Ph.D.
Dr. Ir. Djoko Irawan, M.S.

MAHASISWA

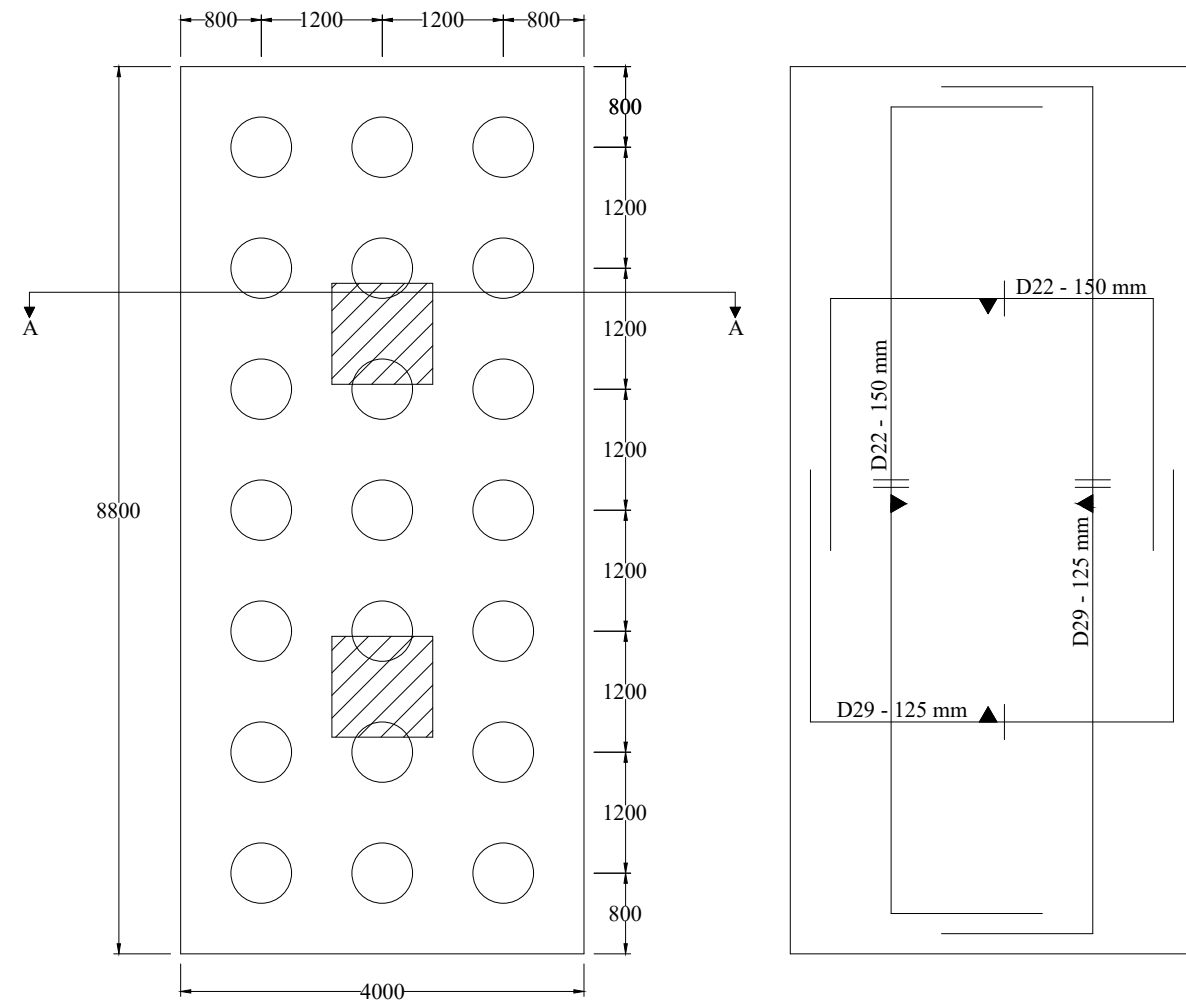
Vinson Intar Zakaria
(03111540000057)

JUDUL GAMBAR

DETAIL POER
TIPE 1

NO / TOTAL LEMBAR

39 / 44



POER TIPE 2
SKALA 1:75



INSTITUT TEKNOLOGI
SEPULUH NOPEMBER
FTSLK
DEPARTEMEN TEKNIK SIPIL

JUDUL TUGAS AKHIR

DESAIN MODIFIKASI GEDUNG APARTEMEN
TOWER 2 THE ARUNDAYA SURABAYA DENGAN
MENGGUNAKAN METODE BETON PRACETAK
DAN DUAL SYSTEM SESUAI ACI 318M-14

DOSEN PEMBIMBING

Prof. Tavio, S.T., M.T., Ph.D.
Dr. Ir. Djoko Irawan, M.S.

MAHASISWA

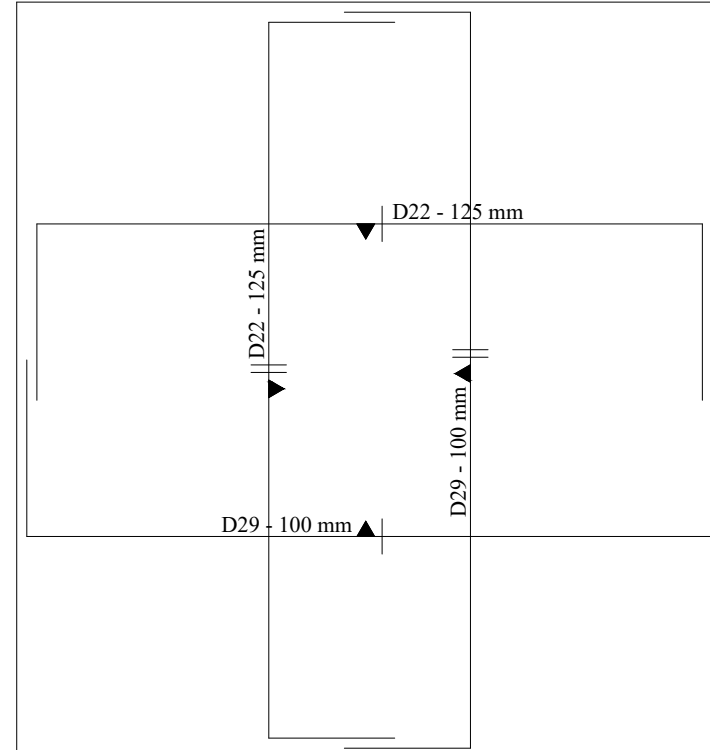
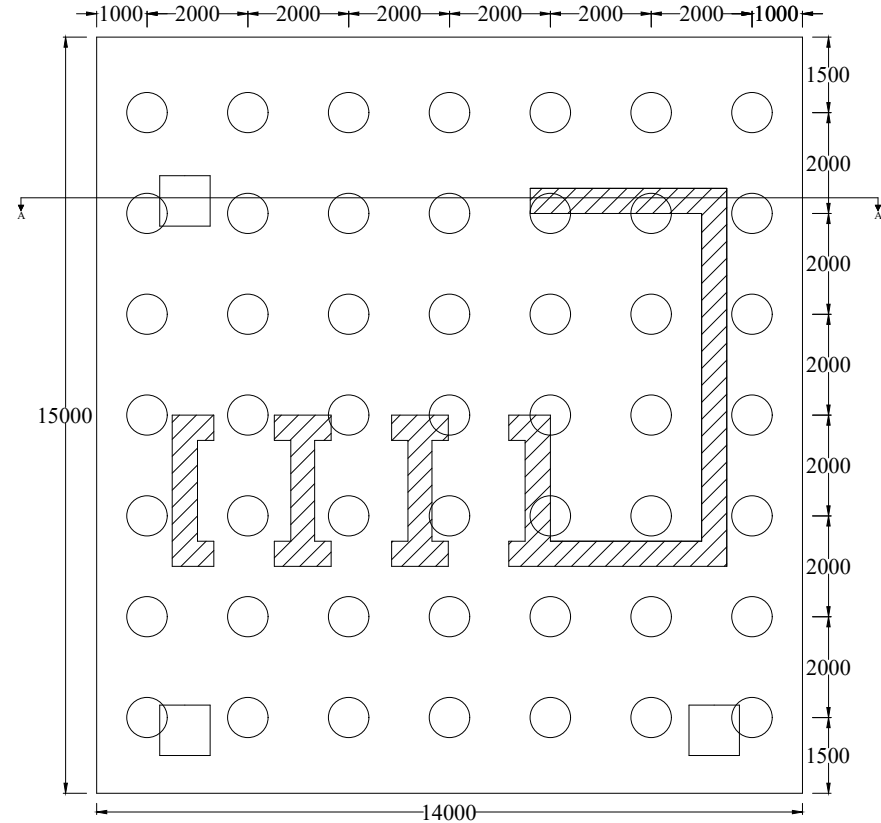
Vinson Intar Zakaria
(03111540000057)

JUDUL GAMBAR

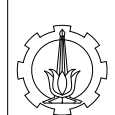
DETAIL POER
TIPE 2

NO / TOTAL LEMBAR

40 / 44



POER TIPE 3
SKALA 1:150



INSTITUT TEKNOLOGI
SEPULUH NOPEMBER
FTSLK
DEPARTEMEN TEKNIK SIPIL

JUDUL TUGAS AKHIR

DESAIN MODIFIKASI GEDUNG APARTEMEN
TOWER 2 THE ARUNDAYA SURABAYA DENGAN
MENGGUNAKAN METODE BETON PRACETAK
DAN DUAL SYSTEM SESUAI ACI 318M-14

DOSEN PEMBIMBING

Prof. Tavio, S.T., M.T., Ph.D.
Dr. Ir. Djoko Irawan, M.S.

MAHASISWA

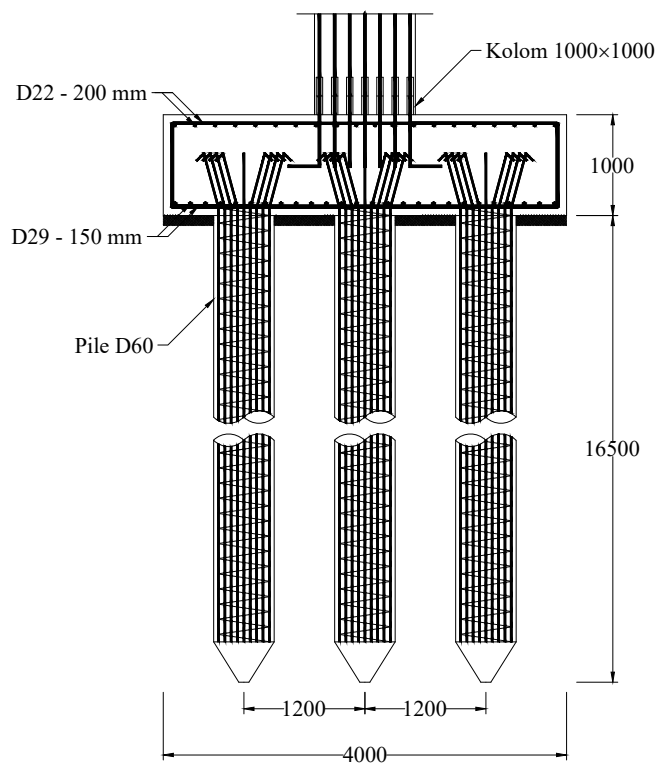
Vinson Intar Zakaria
(03111540000057)

JUDUL GAMBAR

DETAIL POER
TIPE 3

NO / TOTAL LEMBAR

41 / 44



POTONGAN POER TIPE 1
SKALA 1:75



INSTITUT TEKNOLOGI
SEPULUH NOPEMBER
FTSLK
DEPARTEMEN TEKNIK SIPIL

JUDUL TUGAS AKHIR

DESAIN MODIFIKASI GEDUNG APARTEMEN
TOWER 2 THE ARUNDAYA SURABAYA DENGAN
MENGGUNAKAN METODE BETON PRACETAK
DAN *DUAL SYSTEM* SESUAI ACI 318M-14

DOSEN PEMBIMBING

Prof. Tavio, S.T., M.T., Ph.D.
Dr. Ir. Djoko Irawan, M.S.

MAHASISWA

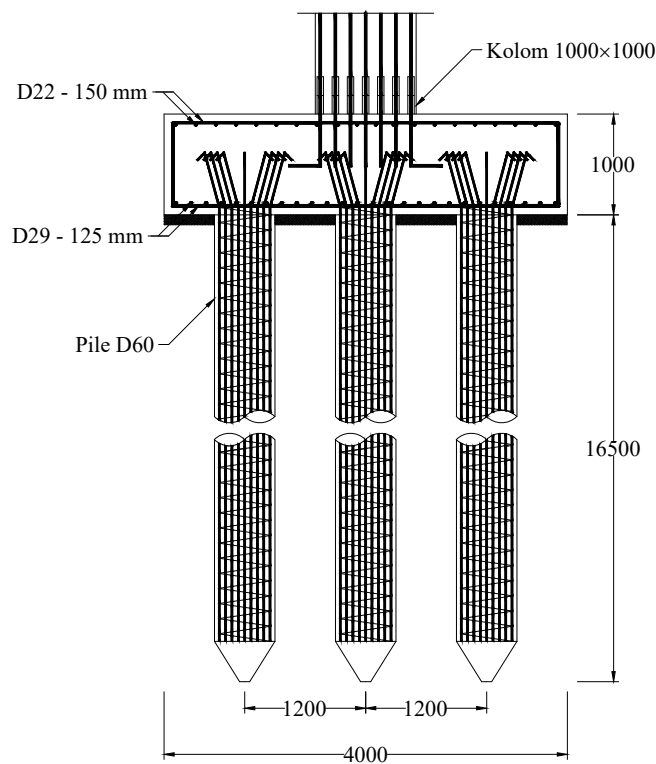
Vinson Intar Zakaria
(03111540000057)

JUDUL GAMBAR

POTONGAN
POER TIPE 1

NO / TOTAL LEMBAR

42 / 44



POTONGAN POER TIPE 2
SKALA 1:75



INSTITUT TEKNOLOGI
SEPULUH NOPEMBER
FTSLK
DEPARTEMEN TEKNIK SIPIL

JUDUL TUGAS AKHIR

DESAIN MODIFIKASI GEDUNG APARTEMEN
TOWER 2 THE ARUNDAYA SURABAYA DENGAN
MENGGUNAKAN METODE BETON PRACETAK
DAN DUAL SYSTEM SESUAI ACI 318M-14

DOSEN PEMBIMBING

Prof. Tavio, S.T., M.T., Ph.D.
Dr. Ir. Djoko Irawan, M.S.

MAHASISWA

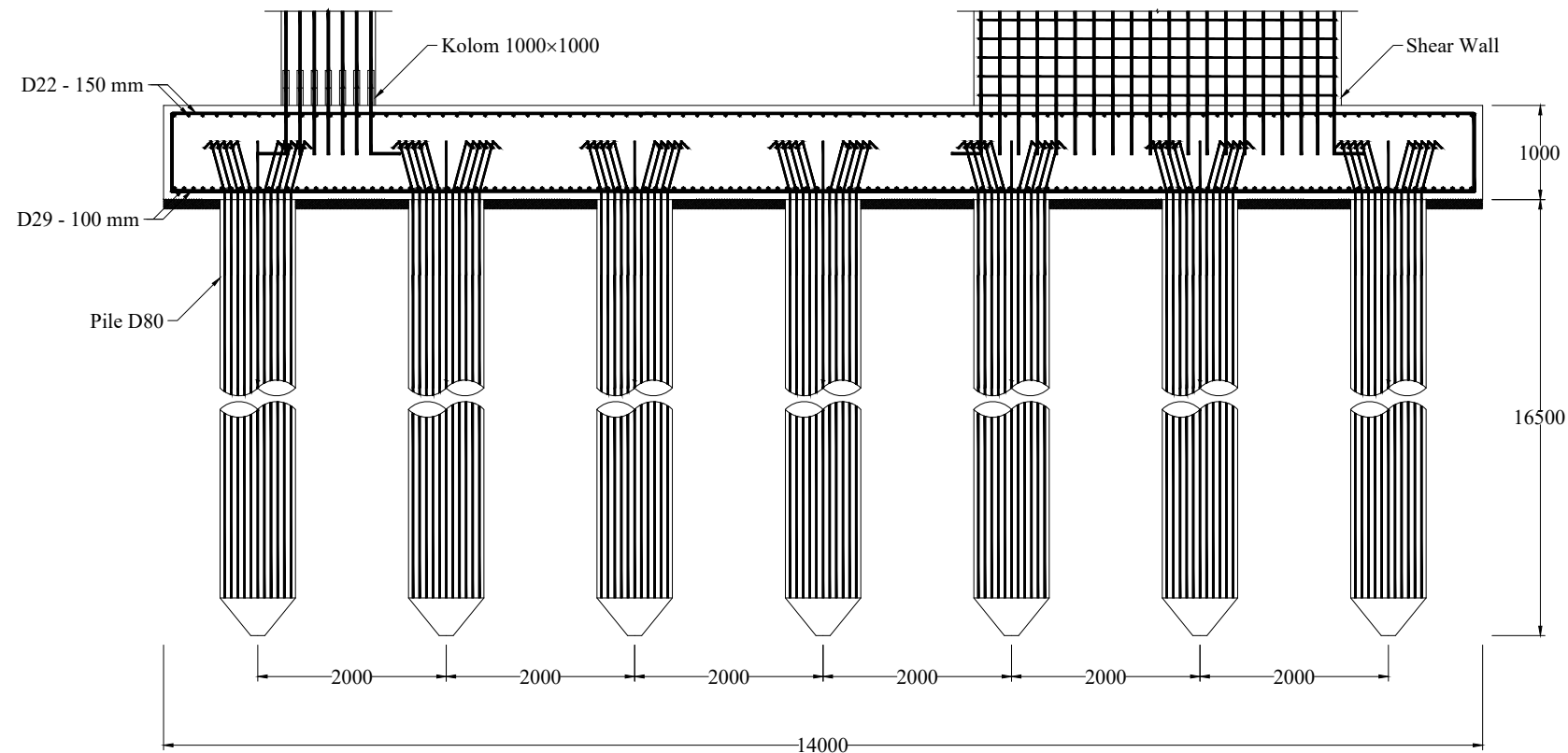
Vinson Intar Zakaria
(03111540000057)

JUDUL GAMBAR

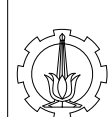
POTONGAN
POER TIPE 2

NO / TOTAL LEMBAR

43 / 44



POTONGAN POER TIPE 3
SKALA 1:75



INSTITUT TEKNOLOGI
SEPULUH NOPEMBER
FTSLK
DEPARTEMEN TEKNIK SIPIL

JUDUL TUGAS AKHIR

DESAIN MODIFIKASI GEDUNG APARTEMEN
TOWER 2 THE ARUNDAYA SURABAYA DENGAN
MENGGUNAKAN METODE BETON PRACETAK
DAN DUAL SYSTEM SESUAI ACI 318M-14

DOSEN PEMBIMBING

Prof. Tavio, S.T., M.T., Ph.D.
Dr. Ir. Djoko Irawan, M.S.

MAHASISWA

Vinson Intar Zakaria
(03111540000057)

JUDUL GAMBAR

POTONGAN
POER TIPE 3

NO / TOTAL LEMBAR

44 / 44

BIODATA PENULIS



Penulis dengan nama lengkap Vinson Intar Zakaria dilahirkan di Surabaya, Jawa Timur pada tanggal 19 Februari 1997. Penulis telah menempuh pendidikan formal di SD Petra 13, Sidoarjo, SMP Petra 3, Surabaya, dan SMA Petra 2, Surabaya. Penulis kemudian melanjutkan pendidikan program sarjana (S1) di Departemen Teknik Sipil ITS pada tahun 2015 melalui program SNMPTN 2015 dan terdaftar dengan nomor pokok (NRP) mahasiswa 03111540000057. Gelar sarjana teknik diperoleh penulis pada

tahun 2019 dengan judul Tugas Akhir “Desain Modifikasi Gedung Apartemen Tower 2 The Arundaya Surabaya dengan Menggunakan Metode Beton Pracetak dan *Dual System* Sesuai ACI 318M-14”.

Email: vinsonintar97@gmail.com

